

Zur Ernährungsweise von Isopoden in Trinkwasserverteilungssystemen

vorgelegt von
Diplom-Biologe
Michael Mayer
aus Paderborn

von der Fakultät III – Prozesswissenschaften
der Technischen Universität Berlin
zur Erlangung des akademischen Grades

Doktor der Naturwissenschaften
– Dr. rer. nat. –

genehmigte Dissertation

Promotionsausschuss:

Vorsitzender: Prof. Dr. rer. nat. Wolfgang Rotard, TU Berlin
Gutachter: Prof. Dr. rer. nat. Ulrich Szewzyk, TU Berlin
Gutachter: Prof. Dr. rer. nat. Hans-Curt Flemming, Universität Duisburg-Essen
Gutachter: Prof. Dr.-Ing. Hans-Joachim Warnecke, Universität Paderborn

Tag der wissenschaftlichen Aussprache: 30. September 2013

Paderborn 2013

D83

Die vorliegende Arbeit entstand in Kooperation der Technischen Universität Berlin, Fachgebiet Umweltmikrobiologie, Prof. Dr. rer. nat. Ulrich Szewzyk mit der Universität Paderborn, Technische Chemie und Chemische Verfahrenstechnik, Prof. Dr.-Ing. Hans-Joachim Warnecke.

Hiermit möchte ich mich sehr herzlich bei Herrn Prof. Ulrich Szewzyk für die biologische/mikrobiologische Betreuung und die Möglichkeit zum experimentellen Arbeiten in den Laborräumen des Fachgebietes Umweltmikrobiologie bedanken.

Bei Herrn Prof. Hans-Curt Flemming bedanke ich mich herzlich für die Übernahme des Zweitgutachtens.

Herrn Prof. Hans-Joachim Warnecke danke ich aus ganzem Herzen für die langjährige Betreuung und Begleitung – und vor allem für die unzähligen fachlichen und aufmunternden Gespräche, die jederzeit sehr gute Zusammenarbeit sowie die Zukunftsperpektive.

Danke an Josephin Schröder, Burga Braun, Susan Mattke, Felix Mildner und Heinz Danner für die stete Hilfsbereitschaft.

Bei Sandra habe ich mich für Ihre unendliche Geduld zu bedanken!

Kurzfassung

Wasserasseln sind „Allesfresser“, doch welche Nahrungsquellen werden im primär nährstoffarmen Trinkwasser genutzt, welche werden präferiert? Um diese Fragen beantworten zu können, wurden Isopoden aus unterschiedlichen deutschen Trinkwasserverteilungssystemen über Hydrantenspülungen gesammelt und parallel hierzu Tiere im Labor unter definierten Bedingungen gehältert und mit unterschiedlichen Nahrungsquellen gefüttert. Die Darminhalte der Asseln wurden molekularbiologisch auf Basis der 16S und 18S rDNA untersucht und charakterisiert.

Die aus Trinkwassersystemen gesammelten Tiere konnten eindeutig den Taxa *Asellus aquaticus* (LINNÉ, 1758) und *Proasellus cavaticus* (LEYDIG, 1871) zugeordnet werden. Die Fressversuche weisen darauf hin, dass Pilzmyzelien, Bakterienzellen und selbst tote Artgenossen geeignete Nahrungsquellen für Wasserasseln darstellen – Schimmelpilze werden hierbei präferiert.

Die Ergebnisse der durchgeführten DNA-Analysen zeigen, dass Wasserasseln bei ihrer Nahrungssuche in Trinkwasserverteilungssystemen Bodensedimente in Stagnationsbereichen bevorzugt aufsuchen. Dabei stellen neben unterschiedlichen Bakterientaxa auch Protozoen und insbesondere Schlauchpilze (Ascomycota) bevorzugte Futterquellen dar. Ein Nachweis hygienisch relevanter Mikroorganismen im Trinkwasser ist über die in dieser Arbeit vorgestellte Untersuchungsmethode möglich. Molekularbiologische Untersuchungen der Darminhalte von Wasserasseln aus Trinkwasserverteilungssystemen ermöglichen eine Charakterisierung der Biozönosen und somit eine biologische Beurteilung dieser geschlossenen Ökosysteme. Auch können hierüber Veränderungen der Rohwasserzusammensetzung, Lecks im Rohrsystem oder Fremdwassereinspeisungen erkannt, bzw. die Effektivität von Rohrnetzspülungen überprüft werden. Wasserasseln, die bei massenhaftem Vorkommen stets auf eine Störung, wie z. B. erhöhte Nährstoffkonzentrationen hinweisen, sind somit gute Indikatororganismen zur Beurteilung der jeweiligen Trinkwasserqualität und erlauben zudem eine frühzeitige Erkennung von technischen Problemen in Versorgungsnetzen.

Abstract

Fresh water isopods are omnivore. But which food sources do they use in primary oligotroph drinking-water, which do they prefer? To answer these questions fresh water isopods were collected from different German drinking-water distribution systems by hydrant flushing. Additionally individuals were reared in the laboratory under defined conditions and fed with different food sources. The contents of the isopods guts were examined and characterized based on 16S und 18S rDNA analysis.

The collected animals are definitely allocated to the taxa *Asellus aquaticus* (LINNÉ, 1758) and *Proasellus cavaticus* (LEYDIG, 1871). The feeding experiments indicate that mycelia, bacteria and even dead individuals of the same species constitute convenient food sources for fresh water isopods whereas moulds are preferred.

The results of the DNA-analysis show that fresh water isopods prefer to stay for foraging in soil sediments of stagnation areas in the pipes. Beside bacteria also protozoa and especially ascomycetes are preferred food sources. The research method developed in this thesis shows evidence of hygienic relevant micro-organisms in the drinking-water. Molecularbiological investigations of the contents of the guts are a profound base to characterize the biocenosis and thereby assess biologically the closed ecosystems. Furthermore changes in the composition of raw water, leaks in the pipe system or infiltrations can be recognized. Thus the efficiency of flushing can be evaluated. On one hand the occurrence of fresh water isopods indicate a disturbance of the ecosystem like increased food concentration. On the other hand they are a useful indicator to assess the drinking-water quality and allow for early detection of technical problems in public water supplies.

Inhaltsverzeichnis

	Seite:
1 Einleitung	1
1.1 Lebensraum Trinkwasserverteilungssystem	1
1.2 Wasserasseln in Trinkwasserverteilungssystemen	2
1.3 Fragestellung und Zielsetzung	3
2 Material und Methoden	5
2.1 Material	5
2.1.1 Isopoda	5
2.1.2 Fungi und Schwarzerlenblätter	7
2.1.3 Prokaryota	8
2.2 Methoden	8
2.2.1 Probenahme	9
2.2.2 Hälterung der Isopoden	10
2.2.3 Fressversuche	11
2.2.3.1 Fungi	11
2.2.3.2 Schwarzerlenblätter	12
2.2.3.3 Prokaryota	12
2.2.3.4 Fungi und Prokaryota	12
2.2.4 Morphologische Artbestimmung	13
2.2.5 Abtöten und Präparation der Tiere	14
2.2.6 Rasterelektronenmikroskopische EDX Untersuchungen	15
2.2.7 Lichtmikroskopische Untersuchungen	17
2.2.8 Chemikalien	17
2.2.9 DNA-Extraktion	18
2.2.9.1 DNA-Extraktion der Proben	18
2.2.9.2 Quantifizierung der DNA	18
2.2.10 Polymerase-Kettenreaktion (PCR)	19
2.2.10.1 Amplifikation der 16S rDNA	19
2.2.10.2 Amplifikation der 18S rDNA	20

2.2.10.2.1 Laborfressversuche <i>Asellus aquaticus</i> / <i>Cladosporium herbarum</i>	20
2.2.10.2.2 Freilandproben <i>Asellus aquatilis</i> und <i>Proasellus cavaticus</i>	21
2.2.10.3 Überprüfung der PCR-Produkte	21
2.2.11 DNA-Sequenzierung	22
2.2.11.1 Sequenzierung der 16S rDNA	22
2.2.11.2 Sequenzierung der 18S rDNA	22
2.2.12 Auswertung der Sequenzierungsergebnisse	23
3 Ergebnisse	24
3.1 Probenahme	24
3.2 Morphologische Artbestimmung	26
3.3 Fressversuche	30
3.3.1 Prokaryota	30
3.3.2 Prokaryota und Fungi	31
3.4 Rasterelektronenmikroskopische EDX Untersuchungen	38
3.4.1 Freilandindividuum <i>Proasellus cavaticus</i> (Probe E1)	38
3.4.2 Freilandindividuum <i>Asellus aquaticus</i> (Probe Br1)	38
3.4.3 Hungerversuch <i>Asellus aquaticus</i> (Probe 12)	39
3.4.4 Freilandindividuum <i>Proasellus cavaticus</i> (Probe E45)	39
3.5 Molekularbiologische Untersuchungen	48
3.5.1 Fressversuch <i>Asellus aquaticus</i> / <i>Cladosporium herbarum</i>	48
3.5.1.1 Probe 10P	48
3.5.1.2 Probe 11P	49
3.5.1.3 Probe 10E	50
3.5.1.4 Probe 11E	50
3.5.2 Hungerversuch	51
3.5.2.1 Probe 12P	51
3.5.2.2 Probe 13P	52
3.5.3 Fressversuch <i>Asellus aquaticus</i> / Schwarzerlenblätter	52
3.5.3.1 Probe B1P	53

3.5.3.2 Probe B2P	54
3.5.3.3 Probe B1E	55
3.5.3.4 Probe B2E	55
3.5.4 Freilandprobe <i>Asellus aquaticus</i>	55
3.5.4.1 Probe Br1P	55
3.5.4.2 Probe Br1E	56
3.5.5 Freilandproben <i>Proasellus cavaticus</i>	56
3.5.5.1 Probe E1P	56
3.5.5.2 Probe EIP	57
3.5.5.3 Probe EIIP	58
3.5.5.4 Probe E45P	58
3.5.5.5 Probe EIIIP	59
3.5.5.6 Probe EIVP	59
3.5.5.7 Probe E1E	60
3.5.5.8 Probe EVE	60
3.5.5.9 Probe EVIE	61
3.5.5.10 Probe E45E	62
3.5.5.11 Probe EVIIE	62
3.5.5.12 Probe EVIIIE	62
3.5.6 Zusammenfassende Darstellungen der DNA-Analysen	63
4 Diskussion	66
4.1 Morphologische Artbestimmung	66
4.2 Isopoden in Trinkwasserverteilungssystemen	67
4.3 Rasterelektronenmikroskopische EDX Untersuchungen	68
4.4 Fressversuche	70
4.4.1 Prokaryota	71
4.4.2 Prokaryota und Fungi	72
4.5 Molekularbiologische Untersuchungen	73
4.5.1 Laborversuche	73
4.5.1.1 Fressversuche <i>Asellus aquaticus / Cladosporium herbarum</i>	74

4.5.1.2 Fressversuche <i>Asellus aquaticus</i> / Schwarzerlenblätter	76
4.5.1.3 Hungerversuch <i>Asellus aquaticus</i>	77
4.5.2 Freilandproben	78
4.5.2.1 Freilandprobe <i>Asellus aquaticus</i>	78
4.5.2.2 Freilandproben <i>Proasellus cavaticus</i>	79
4.5.3 Fazit	80
5 Zusammenfassung	82
6 Literaturverzeichnis	85
7 Anhang	95
7.1 Streubereiche & Mittelwerte der maximalen Identitäten	96
7.2 Sequenzlängen & maximale Identitäten	99
7.3 Zuordnungen der Klon-Sequenz-Nummern	116
7.4 Originalsequenzen der ermittelten Taxa	130
7.5 Verzeichnis der Abbildungen	174
7.6 Verzeichnis der Tabellen	179
7.7 Liste der Abkürzungen	185

1 Einleitung

In §4 der Trinkwasserverordnung wird definiert, dass Wasser für den menschlichen Gebrauch frei von Krankheitserregern, genusstauglich und rein sein muss (TrinkwV 2001). Viele Endverbraucher denken daher, dass unser wichtigstes Grundnahrungsmittel steril und somit frei von Mikroorganismen und anderen Lebewesen ist. Doch Trinkwasser ist kein unbelebtes Medium, sondern ein belebtes, in seiner Gänze jedoch noch immer wenig erforschtes System.

1.1 Lebensraum Trinkwasserverteilungssystem

Alle Systeme zur Gewinnung, Aufbereitung und Verteilung von Trinkwasser sind von Organismen besiedelt (RATHSACK & MICHELS 2006). Schätzungsweise 95 % der gesamten Biomasse in Trinkwasserverteilungssystemen befinden sich nach FLEMMING et al. (2002) auf den Rohroberflächen. Die Mikroorganismen sind hierbei in einer Matrix aus extrazellulären polymeren Substanzen (EPS) eingebettet, die von ihnen selbst produziert werden (FLEMMING & WINGENDER 2010). Das Zusammenleben in solchen Biofilmen bietet nach FLEMMING (2009) den unterschiedlichsten Taxa zahlreiche ökologische Vorteile, so dass beinahe alle Mikroorganismen in biofilmähnlichen Aggregaten leben. KEINÄNEN et al. (2004) geben an, dass die Zusammensetzung der mikrobiellen Gemeinschaft eines Biofilms im Trinkwasserverteilungsnetz von ganz unterschiedlichen Parametern, wie z. B. der chemischen Zusammensetzung des Rohwassers, der Art der Wasseraufbereitung, der Wassertemperatur aber auch dem Material und der Beschaffenheit der verbauten Rohre abhängt. VAN DER KOOIJ (1999) beschreibt, dass schon geringste Konzentrationen biologisch abbaubarer Substanzen im Trinkwasser eine erhebliche Biofilmbildung verursachen können. Die wichtigste Maßnahme zur Vermeidung einer übermäßigen Biofilmbildung stellt somit sicherlich eine Limitierung von Nährstoffen im System dar. Daher sollten auch alle in Trinkwasserverteilungsnetzen verwendeten Materialien, die mit dem Wasser in Kontakt kommen, nicht biologisch verwertbar sein. Neben den in Biofilmen gebundenen oder im Wasserkörper frei suspendierten Bakterien sind in diesen Ökosystemen auch bakterienfressende Protozoen und selbst kleine Metazoen, wie zum Beispiel Rädertiere, „Würmer“ (Anneliden, Nematoden und Plathelminthen) und Kleinkrebse (Cladoceren, Copepoden, Ostracoden und Isopoden) anzutreffen (VAN LIVERLOO et al. 2012). Eine Aufkonzentration von Biomass-

se in Biofilmen kann als Nahrungsquelle für bakterienfressende Taxa fungieren und gegebenenfalls eine Massenentwicklung dieser Organismen nach sich ziehen – auch die von Wasserasseln.

Aktuell werden bei standardisierten mikrobiologischen Trinkwasseruntersuchungen nach Trinkwasserverordnung lediglich die zum Zeitpunkt der Probenahme in der Was serphase befindlichen und durch anschließende Kultivierung nachweisbaren Bakterien erfasst. Hygienisch ebenfalls relevante Taxa, wie pathogene Bakterien oder Mikroorganismen fäkalen Ursprungs, die auf Grenzflächen oder in Zwischenräumen ansiedeln und persistieren können (z. B. MORITZ et al. 2010; BRESSLER et al. 2009; FEAZEL et al. 2009; DONLAN 2002; SZEWSZYK et al. 2000), bleiben hierdurch jedoch zumeist unerkannt. RATHSACK und MICHELS (2006) weisen zudem darauf hin, dass einheitliche Verfahren zur Beprobung und Bewertung von tierischen Organismen im Trinkwasser sogar gänzlich fehlen. Detaillierte Kenntnisse über die Lebensgemeinschaften in diesen Habitaten geben jedoch nicht nur Aufschluss über die Nährstoffsituation im Verteilungssystem, sie stellen gleichzeitig auch ein geeignetes Mittel dar, um mögliche technische und/oder hygienische Probleme rechtzeitig erkennen, bewerten und beheben zu können.

1.2 Wasserasseln in Trinkwasserverteilungssystemen

Asseln (Isopoden) bilden eine artenreiche Gruppe innerhalb der Krebstiere und besiedeln sehr unterschiedliche Biotope. Es gibt einige rein terrestrische Formen, doch die meisten Taxa leben im Meer oder im Süßwasser. Auch Trinkwasserverteilungssysteme stellen geeignete Lebensräume für Wasserasseln dar. Obwohl bei Rohrspülungen oftmals keine lebenden oder toten Individuen gefunden werden, kann über deren Ausscheidungsprodukte, kleine rostbraune Pellets, auf die Anwesenheit der Tiere geschlossen werden. Über das Vorkommen von Wasserasseln in Trinkwasserverteilungssystemen existieren zahlreiche, wenn auch zumeist ältere Berichte (z. B. MITCHAM & SHELLY 1980; BEGER et al. 1966; SCHWARZ et al. 1966; ENGLISH 1958; HOLLAND 1956; TURNER 1956; HEUSDEN 1948 und KEMPER 1933a, b). Einige aktuellere Fachbeiträge zum Thema liegen aus Holland (VAN LIEVERLOO et al. 2004), Dänemark (CHRISTENSEN et al. 2011b; 2012) und Deutschland (GUNKEL & SCHEIDELER 2011) vor. Zumeist handelt es sich bei den dokumentierten Tieren um Individuen der Art *Asellus aquaticus* (LINNÉ, 1758), welche in der populärwissenschaftlichen deutschen Literatur oftmals als

„Gemeine Wasserassel“ bezeichnet wird. Das Taxon ist in Europa weit verbreitet und besiedelt ein breites Spektrum unterschiedlicher Lebensräume. Populationen sind in kleinen Teichen, im Uferbereich von Seen aber auch in der Uferzone fließender Gewässer und vereinzelt sogar in unterirdischen Gewässern vorzufinden (z. B. HENRY & MAGNIEZ 1995, HENRY et al. 1994, SCHMALFUSS & SCHAWALLER 1984; DEELEMAN-REINHOLD 1965). *Asellus aquaticus* lässt sich im Labor problemlos hältern und eignet sich daher sehr gut für unterschiedlichste Versuche und Untersuchungen.

Als wichtigste Eintragsquellen für Wasserasseln in Trinkwasserrohrsysteme führt CHRISTENSEN (2011a) den Weg über das Rohwasser, Rohrbrüche und Baumaßnahmen im Verteilungsnetz an. Die ersten dokumentierten Funde rein unterirdisch lebender Isopoden im Trinkwasser stammen von FUHLROTT (1849) aus einem Brunnen bei Elberfeld (heutiger Stadtteil Wuppertals). Zur heimischen Stygofauna zählt WÄGELE (2007) die Arten *Proasellus cavaticus* (LEYDIG, 1871), *Proasellus coxalis* (DOLLFUS, 1892), *Proasellus slavus* (REMY, 1948), *Proasellus nolli* (KARAMAN, 1952) und *Proasellus walteri* (CHAPPUIS, 1948). HENRY (1976) und GRUNER (1965) charakterisieren die genannten Taxa als bodenlebende und schlecht schwimmende Kleinkrebse. Die ökologischen und morphologischen Beschreibungen der Grundwasserarten sind jedoch noch immer überwiegend unvollständig und teilweise als sehr lückenhaft zu werten. Gründe hierfür sind in der schlechten Zugänglichkeit subterräner, aquatischer Lebensräume und in den daraus resultierenden technischen Problemen bei der Probeentnahme zu suchen. Massenvorkommen von sogenannten „Grundwasserasseln“ in Trinkwasserverteilungsnetzen wurden bislang nicht dokumentiert.

1.3 Fragestellung und Zielsetzung

Wasserasseln können sich als „Allesfresser“ von Bakterien, Pilzen, Pflanzen und Tieren ernähren (WÄGELE 2007). Doch welche Nahrungsquellen werden im primär nährstoffarmen Trinkwasser genutzt, welche werden präferiert? Um diese Fragen beantworten zu können, wurden Isopoden aus unterschiedlichen deutschen Trinkwasserverteilungssystemen über Hydrantenbeprobungen gesammelt und parallel hierzu Tiere im Labor unter definierten Bedingungen gehältert und mit unterschiedlichen Nahrungsquellen gefüttert. Die Darminhalte ausgewählter Asseln wurden molekularbiologisch auf Basis der 16S

und 18S rDNA untersucht und charakterisiert. Ergänzend hierzu wurden elektronen- und lichtmikroskopische Untersuchungen durchgeführt.

Ziel der vorliegenden Arbeit ist es zu klären, ob über diese innovative Untersuchungsmethode neue Erkenntnisse zur Ernährungsweise von Wasserasseln in Trinkwassersystemen und gleichzeitig detailliertere Informationen über die komplexen Lebensgemeinschaften, einschließlich der für den Menschen hygienisch relevanten Taxa, in diesen abgeschlossenen Ökosystemen gewonnen werden können. Auch soll geklärt werden, ob sich Isopoden als mögliche Indikatororganismen zur Beurteilung der jeweiligen Trinkwasserqualität eignen.

2 Material und Methoden

2.1 Material

In diesem Kapitel werden die verwendeten Organismen vorgestellt und die zoologischen Fachtermini definiert.

2.1.1 Isopoda

Wasserasseln wurden zwischen September 2010 und November 2012 aus unterschiedlichen deutschen Trinkwasserverteilungssystemen über Hydrantenspülungen entnommen (Abschn. 2.2.1) und deren Darminhalte molekularbiologisch untersucht (Abschn. 2.2.9-2.2.12). Parallel hierzu wurden aus diesen Proben stammende Individuen von *Asellus aquaticus* (Abb. 1) an der Universität Paderborn unter definierten Bedingungen gehältert (Abschn. 2.2.2), in unterschiedlichen Fressversuchen eingesetzt (Abschn. 2.2.3) und hieraus stammende Darminhalte ebenfalls molekularbiologisch analysiert. Ergänzend hierzu wurden an ausgewählten Darmpräparaten rasterelektronenmikroskopische Untersuchungen durchgeführt (Abschn. 2.2.6).



Abb. 1: Habitus eines männlichen Individuums von *Asellus aquaticus* (Lateralansicht)

Detaillierte Kenntnisse zur Morphologie von Isopoden stellen die wichtigste Grundlage für eine exakte Artbestimmung und erfolgreiche Präparation der Asseldärme dar. Am Beispiel der Habituszeichnung eines Individuums von *Asellus aquaticus* (Abb. 2) wird der typische Körperbau heimischer Wasserasseln nachfolgend beschrieben. Die in die-

ser Arbeit verwendeten zoologischen Fachbegriffe und Abkürzungen werden in Tab. 1 definiert.

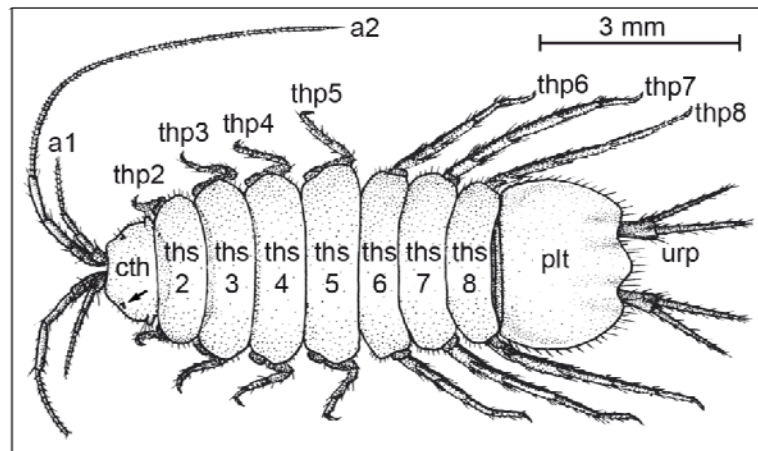


Abb. 2: Habitus von *Asellus aquaticus*, ♀ (Dorsalansicht); Original in Anlehnung an G. O. SARS, 1897; modifizierte Vorlage nach GRUNER (1965)

Adulte männliche Tiere von *Asellus aquaticus* erreichen Körperlängen zwischen 12 und 20 mm, weibliche Individuen solche zwischen 8 und 15 mm (GRUNER 1965). Der Körper oberirdisch lebender Populationen ist meist dunkelbraun oder graubraun gefärbt, lediglich an den Muskelansatzstellen der Extremitäten sind hellere Flecken erkennbar (Abb. 1). WÄGELE (2007) beschreibt, dass Tiere aus unterirdischen Gewässern weniger oder nicht pigmentiert sind. Der Kopf ist etwa doppelt so lang, wobei der Vorderrand konkav ausgebuchtet und dabei wesentlich kürzer als der Hinterrand ist. Der lang-ovale Körper ist etwa 2,5- bis 3-mal so lang wie breit und hat seine größte Breite am 4. und 5. Thorakomer. An den Seitenrändern der Segmente und des Pleotelsons befinden sich kurze Borsten. Seitlich am Kopf besitzen die Tiere kleine schwarze Augen (Abb. 2, Pfeil).

Begriff	Abkürzung	Erklärung
Antenna	a2	zweite Extremität der Euarthropoden, Antenne 2
Antennula	a1	erste Extremität der Euarthropoden, Antenne 1
Cephalothorax	cth	spezieller Terminus für die Erweiterung des Kopfes von Crustaceen unter Einbezug und Spezialisierung weiterer Körpersegmente und den entsprechenden Extremitäten
Crustacea		Krebse, Krebstiere, Krustentiere
distal		vom Körper entfernt
Endopodit	en	Innenast der Euarthropoden-Extremität
Exopodit	ex	Außenast der Euarthropoden-Extremität
Euarthropoda		„Echte“ Arthropoda (Gliederfüßer)

Genitalpapille	gen. pap.	am Übertrag der Spermaflüssigkeit an die Pleopoden 1 beteiligt
Gonopode		Extremität zur sexuellen Fortpflanzung, bei Isopoda Pleopod 2
lateral/laterad		an der Außenseite / nach außen
Maxilla	mx2	Maxille 2 = 5., ursprünglich erstes Rumpfbein des Euarthropodenkörpers, in der Stammlinie zu den Eucrustacea zum letzten Kopfbein werdend, aber erst innerhalb der Eucrustacea in einigen Taxa als Mundwerkzeug differenziert
Maxillula	mx1	Maxille 1 = 4. Bein des Euarthropodenkopfes, Mundwerkzeug
medial		zur Mitte hin, an der Innenseite
Pleon		hinterer Teil des Thorax der Malacostraca = Thorax II
Pleomer		Pleonsegment
Pleopod	plp	Schwanzbein des Pleon
Pleotelson	plt	Körperabschnitt aus einem oder mehreren Pleomeren und dem Telson bestehend
Protopodit	prot	basaler Abschnitt der Euarthropoden-Extremität, primär vermutlich ungegliedert oder dreigliedrig
proximal		in der Nähe des Körpers
Telson	tel	konischer Endabschnitt der Crustacea, davor die Sprossungszone, am Ende der After und ventroterminal die Insertionsorte der Furkaläste
Thorakomer	ths	beintragendes Rumpfsegment der Eucrustacea
Thorakopod	thp	nachmaxillare Extremität der Eucrustacea
Uropod	urp	speziell umgebildeter letzter (6.) Pleopod

Tab. 1: Terminologie Crustacea

2.1.2 Fungi und Schwarzerlenblätter

Bei Voruntersuchungen zu dieser Arbeit konnte im Juli 2010 das zu den Schlauchpilzen zählende Taxon *Cladosporium herbarum* in der Wasserphase einiger deutscher Trinkwasserverteilungssysteme nachgewiesen werden (Abb. 3). GRAÇA et al. (1993a, b; 1994) beschreiben, dass in Oberflächengewässern der Pilzaufwuchs von Blättern, z. B. Schwarzerlenblättern, eine wichtige Nahrungsquelle für *Asellus aquaticus* darstellt. Um abzuklären, ob auch in Trinkwassersystemen Pilze von Wasserasseln gefressen werden (Abschn. 2.2.3.1), wurde eine Reinkultur von *Cladosporium herbarum* (DSM-Nr. 63422) über die Deutsche Sammlung von Mikroorganismen und Zellkulturen GmbH (Leibnitz-Institut, Braunschweig) bezogen. Parallel hierzu wurden im August 2010 Schwarzerlenblätter (*Alnus glutinosa*) für begleitende Fressversuche (Abschn. 2.2.3.2) im Freiland gesammelt.



Abb. 3: *Cladosporium herbarum* aus einem deutschen Trinkwasserverteilungssystemen (Kt: Konidienträger, K: Konidien, D: Detritus)

2.1.3 Prokaryota

Ausgewählten Wasserasseln wurden in verschiedenen Fressversuchen Kulturen der von KALMBACH et al. (1999) aus Biofilmen des Berliner Trinkwassersystems beschriebenen Bakterienart *Aquabacterium commune* und dem aus einem deutschen Tagebau-Brunnen isolierten Actinobakterium *Marmoricola* spec. (SCHRÖDER 2011, persönliche Mitteilung) angeboten (Abschn. 2.2.3.3 und 2.2.3.4). Die Flüssigkulturen wurden von der FG Umweltmikrobiologie, TU Berlin zur Verfügung gestellt.

2.2 Methoden

In diesem Kapitel werden die Probenahme (Abschn. 2.2.1), die Hälterung der Isopoden (Abschn. 2.2.2), die Versuchsbedingungen bei den unterschiedlichen Freßversuchen (Abschn. 2.2.3), die morphologische Artbestimmung der Asseln (Abschn. 2.2.4), das Abtöten und Präparieren der Krebse (Abschn. 2.2.5) sowie die rasterelektronenmikroskopischen EDX Untersuchungen (Abschn. 2.2.6) und die lichtmikroskopischen Untersuchungen (Abschn. 2.2.7) beschrieben. Anschließend werden die verwendeten Chemikalien (Abschn. 2.2.8) dargestellt und die DNA-Extraktion (Abschn. 2.2.9) sowie die Versuchsbedingungen für die Amplifikation der DNA (Abschn. 2.2.10) mit nachfolgender Sequenzierung (Abschn. 2.2.11) und Auswertung der Ergebnisse (Abschn. 2.2.12) erläutert.

2.2.1 Probenahme

Da eine direkte Beprobung der Rohroberflächen von Trinkwasserverteilungssystemen nicht oder nur mit sehr hohem technischen Aufwand realisiert werden kann, wurde im gewählten Netzabschnitt eine ausreichend hohe Fließgeschwindigkeit erzeugt über deren hydraulischen Wirkung Isopoden von den Rohrinnenwandungen abgelöst, aber möglichst unbeschädigt in die Wasserphase überführt und über spezielle 25 µm- und 100 µm-Edelstahl-Filtergazen (Abb. 4B) gesammelt wurden. Der jeweilige zu beprobende Hydrant wurde hierzu über ein Standrohr mit einem C-Schlauch an einer speziellen Beprobungs- und Filterapparatur (Scheideler Verfahrenstechnik GmbH, Haltern) angeschlossen (Abb. 4A). Für den Transport wurden die Isopoden in mit 500 ml Leitungswasser gefüllte 1-Liter-Polyethylen-Weithalsflaschen überführt und in einer Kühlbox gelagert.



Abb. 4: A. Mobile Beprobungs- und Filterapparatureinheit der Firma
Scheideler Verfahrenstechnik GmbH
B. Roter Pfeil markiert die Position der 100 µm-Filtereinheit

In dieser Arbeit wird auf Wunsch der Betreiber der beteiligten Wasserwerke und Trinkwasserverteilungssysteme keine Nennung der Probenahmestandorte vorgenommen. Die verwendeten Probenbezeichnungen lassen somit keine Rückschlüsse auf die Entnahmestellen zu.

2.2.2 Hälterung der Isopoden

Individuen von *Asellus aquaticus* wurden nach der Probenahme für ca. 2 Sekunden in 20 %-igem Propanol und anschließend für ca. 5 Sekunden in VE-Wasser gewaschen. Danach wurden die Tiere in mit 2,5 Liter 0,2 µl-sterilfiltriertem Leitungswasser gefüllte Glas-Exsikkatoren überführt (Abb. 5). Täglich wurden mit einer sterilen Pipette Kotpellets vom Boden der Gefäße abgesammelt und danach ca. 30 % des Wassers in den Reaktoren durch frisches, sterilfiltriertes Leitungswasser ersetzt. Um eine möglichst konstante, kühle Wassertemperatur in den Zuchtreaktoren gewährleisten zu können, wurde ein abgedunkelter Kellerraum an der Universität Paderborn als Labor genutzt. Sauerstoff wurde über handelsübliche Aquarien-Luftpumpen (Firma Eheim) in die geschlossenen Systeme eingebracht. Sämtliche verwendeten Schläuche und andere in den Reaktoren befindliche Bauteile wurden vor Versuchsbeginn autoklaviert. Die Wasserqualität wurde täglich auf die Parameter Sauerstoffgehalt, pH, elektrische Leitfähigkeit und Wassertemperatur hin untersucht. In Tab. 2 sind die über die Versuchsdauer gemessenen Werte dargestellt. Um die Ergebnisse der Fressversuche nicht zu verfälschen, verblieben die Tiere für 6 Wochen in diesen Exsikkatoren und wurden bis zur Überführung in die jeweiligen Versuchsreaktoren nicht gefüttert. Nach HENRY (1976) überleben Wasserasseln bis zu 18 Monate im Labor ohne Nahrung.



Abb. 5: Hälterungs- und Versuchsreaktor

Parameter	Wert	Einheit
Sauerstoffgehalt	8,9 bis 9,7	mg/l
pH-Wert	7,3 bis 7,6	–
elektrische Leitfähigkeit	529 bis 573	µS/cm
Wassertemperatur	9,9 bis 12,8	°C

Tab. 2: Physikalische Wasserparameter während der Hälterung der Isopoden in den Reaktoren

2.2.3 Fressversuche

Die für die unterschiedlichen Fressversuche verwendeten Reaktoren entsprachen im Aufbau den unter Abschn. 2.2.2 beschriebenen Hälterungsreaktoren. Jeder Exsikkator war auch hier mit jeweils 2,5 Liter 0,2 µl-sterilfiltriertem Leitungswasser gefüllt. Das Wasser wurde während der jeweiligen Versuchsdauer nicht ausgetauscht.

2.2.3.1 Fungi

Die von der Deutschen Sammlung von Mikroorganismen und Zellkulturen bezogene Reinkultur von *Cladosporium herbarum* (Abschn. 2.1.2) wurde auf gebrauchsfertigen 90 mm Agarplatten (VWR International GmbH, Darmstadt; Tab. 3) im Brutschrank bei einer von SCHUBERT et al. (2007) empfohlenen optimalen Wachstumstemperatur von 25 °C für 9 bis 11 Wochen kultiviert.

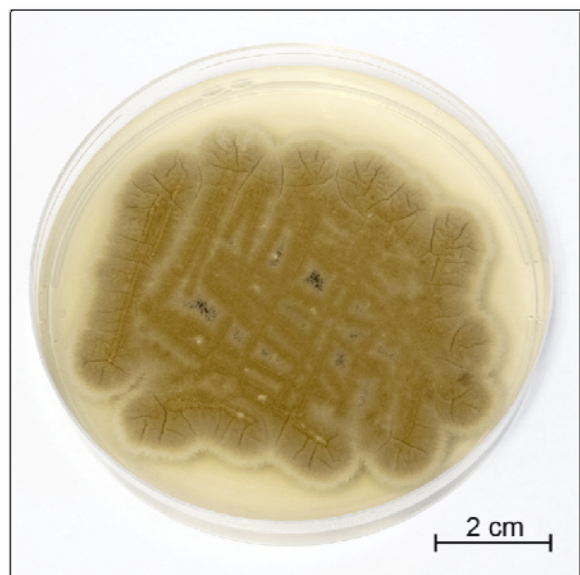


Abb. 6: Myzel von *Cladosporium herbarum* auf Agar; nach 10 Wochen bei 25 °C im Brutschrank

Danach wurden die Myzelien (Abb. 6) flächig mit einem sterilen, breiten Laborspatel (100 x 20 mm) vorsichtig vom Nährboden abgetragen und in einen Reaktor überführt. Zum Start des Versuchsansatzes wurden 20 adulte Individuen von *Asellus aquaticus* in den Reaktor eingesetzt, nach 10 Tagen wieder entnommen, bis auf Artniveau bestimmt und danach deren Därme präpariert.

2.2.3.2 Schwarzerlenblätter

Die im Freiland gesammelten Schwarzerlenblätter (Abschn. 2.1.2) wurden in mit 400 ml 0,2 µl-sterilfiltriertem Leitungswasser gefüllten und zuvor autoklavierten 0,5-Liter-Weithalsflaschen eingelegt und dort für die Dauer von 6 Wochen quellen gelassen. Danach wurden 4 6x6 cm große Blattstücke ausgeschnitten und diese in einen Versuchsreaktor überführt. Auch zum Start dieses Versuchsansatzes wurden 20 adulte Individuen von *Asellus aquaticus* in den Reaktor eingesetzt. Nach 10 Tagen wurden die Tiere aus dem Versuchsgefäß entnommen, bis auf Artniveau bestimmt und die Därme präpariert.

2.2.3.3 Prokaryota

Die in jeweils 1000 ml Flüssignährmedium vorliegenden stationären Reinkulturen von *Aquabacterium commune* und *Marmoricola* spec. (Abschn. 2.1.3) wurden über eine Wasserstrahlpumpe auf den entsprechenden Cellulose-Acetatfilter (Sartorius GmbH, Göttingen; Durchmesser 48 mm) mit einer Porengröße von 0,45 µm aufgetragen. Anschließend wurden beide Filter zusammen mit einem unpräparierten Filter als Kontrolle in einen Versuchsreaktor überführt (Abschn. 3.3.1), 10 Individuen von *A. aquaticus* mittig zwischen den Filtern eingesetzt und dort für die Zeitdauer von 5 Tagen belassen. An den ersten 4 Tagen wurde die Versuchsanordnung jeweils täglich um 7 Uhr und um 17 Uhr und am 5. Tag abschließenden um 7 Uhr per Digitalkamera dokumentiert.

2.2.3.4 Fungi und Prokaryota

In weiteren Fressversuchen wurden jeweils 10 Individuen von *Asellus aquaticus* Myzelien von *Cladosporium herbarum* (Abschn. 2.1.2) und eine Bakterienreinkultur des Taxons *Marmoricola* spec. (Abschn. 2.1.3) als Nahrungsquelle angeboten. Hierzu wurden die Myzelien vorsichtig, wie in Abschn. 2.2.3.1 beschrieben, vom Nährmedium abge-

tragen, in 500 ml 0,2 µl-sterilfiltriertes Leitungswasser überführt und anschließend die sich in dieser Suspension befindlichen Pilzfäden über eine Wasserstrahlpumpe auf die Oberfläche eines Cellulose-Acetatfilters (Durchmesser 48 mm) mit einer Porengröße von 0,45 µm aufgetragen. Über denselben Arbeitsschritt wurde auch eine in 1000 ml Flüssignährmedium befindliche stationäre Reinkultur von *Marmoricola* spec. auf eine Filteroberfläche überführt. Um den Fütterungsversuch parallel zweimal durchführen zu können, wurden die Filter jeweils mit einer autoklavierten Metallschere halbiert. Über einen Zeitraum von 9 Tagen wurden dabei täglich um 7 und 19 Uhr die Versuchsanordnungen per Digitalkamera dokumentiert (Abschn. 3.3.2).

2.2.4 Morphologische Artbestimmung

Zur exakten morphologischen Artbestimmung der unterschiedlichen Isopodentaxa ist die Präparation und mikroskopische Identifikation der ventral am Pleotelson befindlichen 2. Pleopoden der männlichen Tiere das aktuell verlässlichste Bestimmungsmerkmal (Abb. 7).

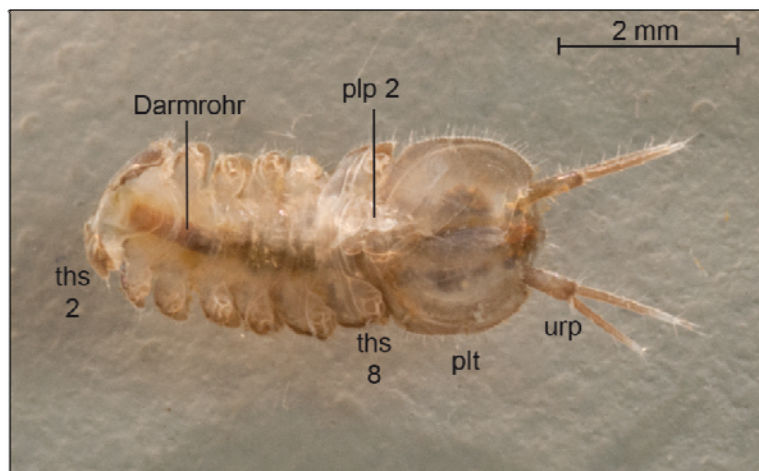


Abb. 7: Lage des Pleopoden 2 (plp 2) am Pleotelson (plt) von *Asellus aquaticus*, ♂ (Ventralansicht); Cephalothorax und Thorakopoden wurden abpräpariert; mit Nahrungsbrei gefüllter Darm

Lage und Aufbau dieser spezialisierten, im Dienste der Reproduktion stehenden Pleopoden 2 ist in Abb. 8 am Beispiel der „Gemeinen Wasserassel“ dargestellt. Bei *Asellus aquaticus* ist die Protopodit (gelb) der Gonopoden jeweils vergrößert, der Exopodit (blau) zweigliedrig und mit einem breiten, gerundeten 2. Glied versehen. Der Endopodit (grün) besitzt einen für die Art charakteristischen langen Sporn, der zur Bauchseite ge-

richtet ist. Da nach WÄGELE (2007) in Deutschland Verwechslungen von *A. aquaticus* mit *Proasellus meridianus* (RACOVITZA, 1919), einer Art, die auch Augen besitzt, pigmentiert sein kann und an einigen Orten zusammen mit *Asellus aquaticus* vorkommt, möglich sind, wurden für die durchgeführten Untersuchungen ausschließlich adulte männliche Tiere verwendet.

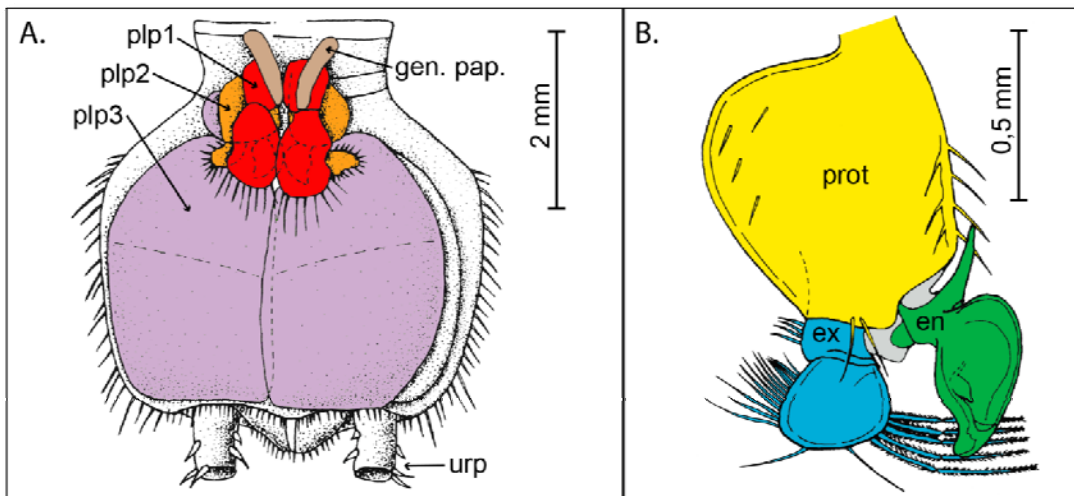


Abb. 8: A. Detailszeichnung Pleotelson von *Asellus aquaticus*, ♂ (Ventralansicht); modifizierte Vorlage nach RACOVITZA (1919)
B. Detailszeichnung Pleopod 2 von *Asellus aquaticus*, ♂ (grau = Strukturen/Elemente unsicherer Zuordnung), modifizierte Vorlage nach STAMMER (1932)

2.2.5 Abtöten und Präparation der Tiere

Die im Rahmen der molekularbiologischen, rasterelektronenmikroskopischen, lichtmikroskopischen und fotografischen Untersuchungen verwendeten Tiere wurden nach der Probenahme oder nach Beendigung der jeweiligen Freßversuche in 70 %-igem Propanol abgetötet und bis zur Präparation der Gonopoden und des Darmrohrs in kleinen Schnappdeckelgläschchen aufbewahrt, welche mit einem Zahlencode versehen waren, um die Tiere später zuordnen zu können. Die Pleopoden 2 aller untersuchten männlichen Tiere wurden unter einer Stereolupe (Elvar der Firma Leitz, Wetzlar) mit Hilfe einer Kaltlichtquelle (KL 1500 der Firma Schott) als Oberlicht präpariert und anschließend unter dem Lichtmikroskop (DM 2500 der Firma Leica) charakterisiert und mit einer Mikroskopkamera (DFC 425 der Firma Leica) digital dokumentiert. Zur Darmpräparation wurde den Tieren zunächst der Cephalothorax und die Thorakopoden entfernt. Anschließend wurde das Darmrohr vorsichtig freigelegt (Abb. 9). Bis zur DNA-Extraktion wurden die Asseldärme bei -20 °C im Tiefkühlschrank kurzfristig gelagert. Die im

Rahmen der rasterelektronenmikroskopischen Untersuchungen verwendeten Isopoden-därme wurden bis zur Weiterbearbeitung in 70 %-igem Propanol konserviert.

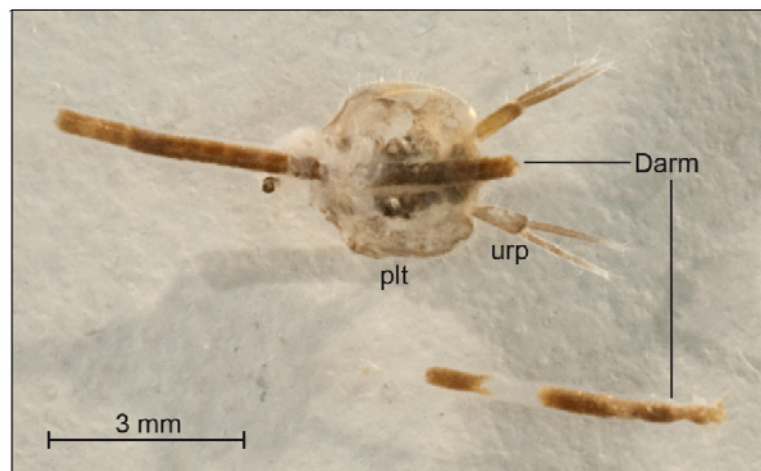


Abb. 9: Darmpräparation bei *Asellus aquaticus* (Ventralansicht)

2.2.6 Rasterelektronenmikroskopische EDX Untersuchungen

Eine qualitative chemische Charakterisierung biologischer Proben im mikroskopischen Maßstab kann am Rasterelektronenmikroskop (REM) mittels Energiedispersiver Röntgenanalyse (EDX) zerstörungsfrei durchgeführt werden. Hierbei werden die Atome im Untersuchungsobjekt durch einen Elektronenstrahl einheitlicher Energie angeregt, woraufhin die Atome instantan Röntgenstrahlung einer für das jeweilige Element spezifischen Energie aussenden. Diese charakteristische Röntgenstrahlung gibt Aufschluss über die Elementzusammensetzung der Probe, wobei chemische Elemente ab der Ordnungszahl 6 (Kohlenstoff) bestimmt werden können. Die Auswertung der Ergebnisse erfolgt über EDX-Spektren (Absch. 3.4). Die Kritisch-Punkt-Trocknung der Asseldärme wurde in der Zentralen Einrichtung Elektronenmikroskopie an der Universität Ulm durchgeführt, das Bedampfen des Materials sowie alle rasterelektronischenmikroskopischen EDX-Untersuchungen an der Zentraleinrichtung Elektronenmikroskopie (ZELMI) der Technischen Universität Berlin. Vor der Kritisch-Punkt-Trocknung wurden ausgewählte Asseldärme in eine Alkoholreihe überführt. Hierbei wurden sie langsam über 80 %-iges und 90 %-iges in 100 %-iges Propanol überführt. Die geringe Größe der Asseldärme und damit die Gefahr eines Verlustes der Präparate bei der Kritisch-Punkt-Trocknung erforderte die Anfertigung spezieller Trocknungsgefäße (Abb. 10). Handelsüblichen Eppendorf-Gefäßen wurden zu diesem Zweck die Spitze entfernt und

das somit offene Ende mit einer 55-µm-Gazeschicht verschlossen. Der innere Deckelbereich der Eppendorf-Gefäße wurde mit einer Lochzange ausgestanzt und ebenfalls mit 55-µm-Gaze versehen.

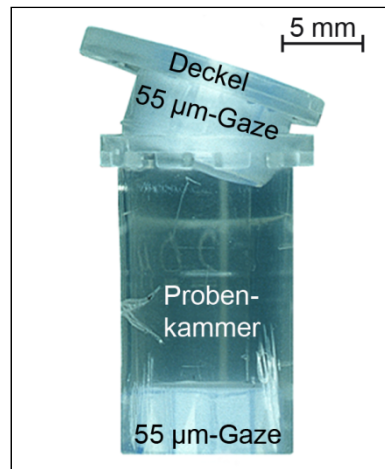


Abb. 10: Trocknungsgefäß

Nachdem die Proben in die Trocknungsgefäße überführt waren, wurde das Material in einem Kritisch-Punkt-Trockner (CPD 030 der Firma Balzers Union) mit flüssigem Kohlendioxid getrocknet. Um Verwechslungen ausschließen zu können befand sich immer nur ein Asseldarm in einem Gefäß. Die getrockneten Proben wurden unter der Stereo-Lupe und Zuhilfenahme eines auf einen Glimmspan geklebten Haares auf einen mit einem Leit-Tab versehenen Aluminium-Probenteller (Durchmesser = 12 mm der Firma Plano GmbH, Wetzlar) aufgebracht. Die Lage der einzelnen Asseldärme auf dem Probenteller wurde mittels digitaler Fotografien dokumentiert (Abb. 11).

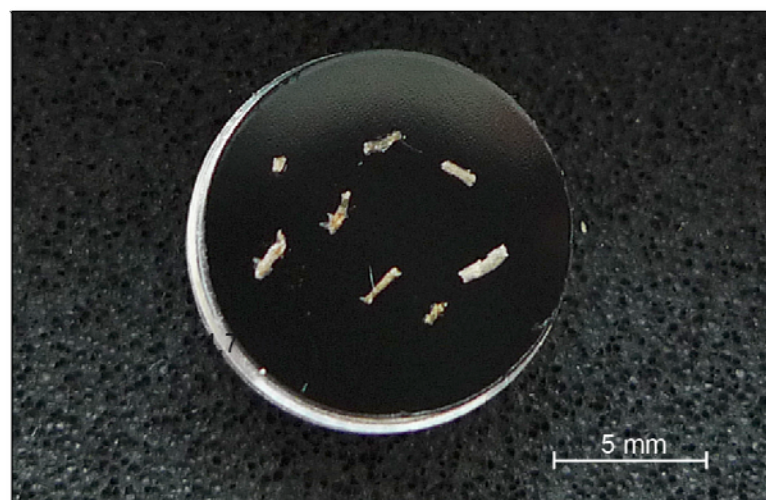


Abb. 11: Getrocknete Asseldärme auf einem Probenteller

In einer Aufdampfanlage (E12E2 der Firma Edwards) wurden die Proben mit einer ca. 8 nm dicken Kohlenstoffschicht versehen. Anschließend wurden die Därme bei 15 bis 20 kV und unterschiedlichen Blendeneinstellungen unter einem digitalen Rasterelektronenmikroskop (S-400 der Firma Hitachi) betrachtet und digitalisiert (Abschn. 3.4).

2.2.7 Lichtmikroskopische Untersuchungen

Die 2. Pleopoden aller im Rahmen der verschiedenen Untersuchungen verwendeten Isopoden wurden an einem Lichtmikroskop bei unterschiedlichen Vergrößerungsstufen betrachtet und über eine Mikroskopkamera digital dokumentiert. Die mikroskopischen Untersuchungen wurden an der Universität Paderborn durchgeführt (Abschn. 2.2.5).

2.2.8 Chemikalien

Im Folgenden sind die in dieser Arbeit eingesetzten Chemikalien aufgelistet (Tab. 3, 4 und 5).

Chemikalie	Menge
Pepton aus Kasein	15 g/L
Soja-Pepton	5 g/L
NaCl	5 g/L
Agar	15 g/L

Tab. 3: Zusammensetzung der gebrauchsfertigen Agarplatten für die Kultivierung von *Cladosporium herbarum*

Name	Chemikalie	Menge
50x TAE	Tris	242 g
	Eisessig	57,1 ml
	0,5 M EDTA (pH 8,0)	100 ml
	Demineralisiertes Wasser (VE)	ad 1 l
Gelladepuffer	Bromphenolblau	0,25 Vol.-%
	Xylencyanol	0,25 Vol.-%
	Glycerin in H ₂ O	30 Gew.-%

Tab. 4: Puffer und Lösungen für die Gelelektrophorese

Chemikalie	Hersteller
Agarose NEEO Ultra-Qualität	Roth, Karlsruhe
Bromphenolblau	Merck, Darmstadt
EDTA	Merck, Darmstadt
Eisessig	Merck, Darmstadt
Ethidiumbromid	Sigma, Steinheim
EURx GeneMATRIX Soil DNA Purification Kit	Roboklon, Berlin
Glycerin	Roth, Karlsruhe
PCR-Wasser	Fluka, Buchs (CH)
Perfect™ 100 bp DNA Ladder	Roboklon, Berlin
Primer 1387r (5' GGG CGG WGT GTA CAA GGC 3')	TIP MOLBIOL, Berlin
Primer 63f (5' CAG GCC TAA CAC ATG CAA GTC 3')	TIP MOLBIOL, Berlin
Primer Ami6F2 (5' CCA GCT CCA AGA GTG TAT ATT 3')	TIP MOLBIOL, Berlin
Primer Ami9R (5' GTT GAG TCG AAT TAA GCC GC 3')	TIP MOLBIOL, Berlin
Primer LR1 (5' GGT TGG TTT CTT TCC T 3')	TIP MOLBIOL, Berlin
Primer SR6R (5' AAG TAG AAG TCG TAA CAA GG 3')	TIP MOLBIOL, Berlin
2-Propanol	Merck, Darmstadt
TAE, 50x, pH 8	Bio-Rad Laboratories, München
Taq PCR MasterMix	Roboklon, Berlin
Tris	Bio-Rad Laboratories, München
Xylencyanol FF	Merck, Darmstadt

Tab. 5: Chemikalien für die Präparation der Isopoden, die PCR und die Gelelektrophorese

2.2.9 DNA-Extraktion

2.2.9.1 DNA-Extraktion der Proben

Die in den unterschiedlichen Proben befindliche DNA wurde mit dem zur Klonierung von Umweltproben geeigneten EURx GeneMATRIX Soil DNA Purification Kit (Roboklon, Berlin) nach den Anweisungen des Herstellers extrahiert, in 50 µl des im Kit enthaltenen Puffers eluiert und abschließend bei -20 °C gelagert.

2.2.9.2 Quantifizierung der DNA

Die Konzentration der extrahierten DNA wurde mit dem Nano Drop 2000c UV-Vis Spektrophotometer (Thermo Scientific, Wilmington, USA) gemessen. Zur Messung wurde jeweils 1 µl Probe eingesetzt. Als Nullprobe wurde der Elutionspuffer aus dem EURx GeneMATRIX Soil DNA Purification Kit (Roboklon, Berlin) verwendet.

2.2.10 Polymerase-Kettenreaktion (PCR)

Die PCR ist eine molekularbiologische Methode, bei der DNA in vitro und unter Verwendung eines Enzyms, einer thermostabilen DNA-Polymerase, sowie zwei passenden Oligonukleotidprimer, Pufferlösung und Nukleotiden über unterschiedliche Reaktionstemperaturen und -zeiten vervielfältigt wird. In den folgenden Abschnitten werden die Versuchsbedingungen der PCRs für die Klonierung der 16S und 18S rDNA (Abschn. 2.2.10.1 bis 2.2.10.2) und die Überprüfung der PCR-Produkte (Abschn. 2.2.10.3) beschrieben.

2.2.10.1 Amplifikation der 16S rDNA

Zur Vervielfältigung der aus den unterschiedlichen Darminhaltsproben (Tab. 7; Prokaryota) extrahierten DNA wurde die 16S rDNA mit dem von MARCHESI et al. (1998) publizierten Vorwärts-Primer 63f und Rückwärts-Primer 1387r (Tab. 5) mittels PCR amplifiziert. Jeder PCR-Ansatz enthielt bei einem Endvolumen von 50 µl jeweils 25 µl *Taq* PCR MasterMix (Roboklon, Berlin; Tab. 6), 1,5 µl Primer 63f, 1,5 µl Primer 1387r, zwischen 2 und 5 µl Template sowie zwischen 17 und 20 µl H₂O. Einige Proben wurden verdünnt (Tab. 7).

Reagenz	Endkonzentration
1x Pol Puffer B	1x
MgCl ₂	1,5 mM
OptiTaq DNA Polymerase	1,25 U
dNTP	0,2 mM (je dNTP)

Tab. 6: Zusammensetzung *Taq* PCR MasterMix

Probe	Verdünnung	Template	H ₂ O	<i>Taq</i> PCR Master Mix		Primer 63f (µl)	Primer 1387r (µl)
				(µl)	(µl)		
10P	–	2	20	25	1,5	1,5	
11P	–	2	20	25	1,5	1,5	
12P	1:100	2	20	25	1,5	1,5	
13P	–	2	20	25	1,5	1,5	
B1P	1:50	2	20	25	1,5	1,5	
B2P	1:50	2	20	25	1,5	1,5	
Br1P	–	2	20	25	1,5	1,5	
E1P	–	2	20	25	1,5	1,5	
EIP	–	2	20	25	1,5	1,5	
EIIP	–	2	20	25	1,5	1,5	

E45P	–	2	20	25	1,5	1,5
EIIIP	–	2	20	25	1,5	1,5
EIVP	–	2	20	25	1,5	1,5

Tab 7: Zusammensetzung der PCR-Ansätze für die Vervielfältigung der prokaryotischen DNA-Sequenzen

Für die PCR wurde der Thermocycler peqSTAR 96 Universal Gradient (PEQLAB Biotechnologie GmbH, Erlangen) verwendet. Nach einem 2-minütigem initialen Denaturierungsschritt bei 95 °C wurden 35 Zyklen bei 95 °C für 20 s, 55 °C für 30 s und 72 °C für 2 min durchgeführt. Die PCR wurde mit einer finalen Elongation für 10 min bei 72 °C abgeschlossen und dann auf 8 °C abgekühlt. Bei jeder PCR wurde ein Ansatz ohne DNA als Negativkontrolle mitgeführt.

2.2.10.2 Amplifikation der 18S rDNA

2.2.10.2.1 Laborfressversuche *Asellus aquaticus* / *Cladosporium herbarum*

Zur Vervielfältigung der aus den Darminhaltsproben (Tab. 8; Eukaryota, Fungi) extrahierten DNA wurde die 18S rDNA mit dem von GAMS & MEYER (1998) publizierten und für Pilz-DNA optimierten Vorwärts-Primer LR1 und Rückwärts-Primer SR6R (Tab. 5) mittels PCR amplifiziert. Jeder PCR-Ansatz enthielt bei einem Endvolumen von 50 µl jeweils 25 µl *Taq* PCR MasterMix (Roboklon, Berlin; Tab. 6), 1,5 µl Primer LR1, 1,5 µl Primer SR6R, 2 µl Template und 20 µl H₂O (Tab. 8).

Probe	Verdünnung	Template	H ₂ O	Taq PCR		Primer 63f (µl)	Primer 1387r (µl)
				Master Mix	(µl)		
10E	–	2	20	25		1,5	1,5
11E	–	2	20	25		1,5	1,5

Tab. 8: Zusammensetzung der PCR-Ansätze für die Vervielfältigung der eukaryotischen DNA-Sequenzen (Fressversuche mit *Cladosporium herbarum*, Fungi)

Für die PCR wurde der Thermocycler peqSTAR 96 Universal Gradient (PEQLAB Biotechnologie GmbH, Erlangen) verwendet. Nach einem 2-minütigem initialen Denaturierungsschritt bei 94 °C wurden 30 Zyklen bei 94 °C für 1 min, 50 °C für 1 min und 74 °C für 1,5 min durchgeführt. Die PCR wurde mit einer finalen Elongation für 7 min

bei 74 °C abgeschlossen und dann auf 4 °C abgekühlt. Bei jeder PCR wurde ein Ansatz ohne DNA als Negativkontrolle mitgeführt.

2.2.10.2.2 Freilandproben *Asellus aquaticus* und *Proasellus cavaticus*

Zur Vervielfältigung der aus den Darminhaltsproben (Tab. 9; Eukaryota) extrahierten DNA wurde die 18S rDNA mit dem von THOMAS et al. (2006) publizierten Vorwärts-Primer Ami6F2 und Rückwärts-Primer Ami9R (Tab. 5) mittels PCR amplifiziert. Jeder PCR-Ansatz enthielt bei einem Endvolumen von 50 µl jeweils 25 µl *Taq* PCR Master-Mix (Roboklon, Berlin; Tab. 6), 1,5 µl Primer Ami6F2, 1,5 µl Primer Ami9R, 2 µl Template und 20 µl H₂O. Einige Proben wurden verdünnt (Tab. 9).

Probe	Verdünnung	Template	H ₂ O	Taq PCR	Primer	Primer
			(µl)	Master Mix	Ami6F2	Ami9R
B1E	1:50	2	20	25	1,5	1,5
B2E	1:50	2	20	25	1,5	1,5
Br1E	–	2	20	25	1,5	1,5
E1E	–	2	20	25	1,5	1,5
EVE	–	2	20	25	1,5	1,5
EVIE	–	2	20	25	1,5	1,5
E4SE	–	2	20	25	1,5	1,5
EVIIIE	–	2	20	25	1,5	1,5
EVIIIIE	–	2	20	25	1,5	1,5

Tab. 9: Zusammensetzung des PCR-Ansatzes für die Vervielfältigung der eukaryotischen DNA-Sequenzen (Freilandproben)

Für die PCR wurde der Thermocycler peqSTAR 96 Universal Gradient (PEQLAB Biotechnologie GmbH, Erlangen) verwendet. Nach einem 5-minütigen initialen Denaturierungsschritt bei 94 °C wurden 40 Zyklen bei 94 °C für 1 min, 55 °C für 30 s und 72 °C für 2 min durchgeführt. Die PCR wurde mit einer finalen Elongation für 10 min bei 72 °C abgeschlossen und dann auf 8 °C abgekühlt. Bei jeder PCR wurde ein Ansatz ohne DNA als Negativkontrolle mitgeführt.

2.2.10.3 Überprüfung der PCR-Produkte

Die erfolgreiche Amplifikation der PCRs wurde mittels Gelelektrophorese in einem 1%-igen Agarose-Gel (Roth, Karlsruhe) nachgewiesen. Als Gelpuffer wurde 1x TAE und als Laufpuffer 0,5x TAE verwendet. Es wurden jeweils 8 µl PCR-Produkt mit 2 µl

6x Gelladepuffer versetzt und auf das Gel aufgetragen. Für die Amplifikate wurde als Größenstandard 5 µl des PerfectTM 100 bp DNA Ladder (Roboklon, Berlin) eingesetzt. Die Auftrennung der DNA-Moleküle erfolgte für die PCR-Produkte der Prokaryonten-Ansätze bei 100 V für 60 min und für die PCR-Produkte der Eukaryonten-Ansätze bei 100 V für 90 min. Zur Detektion wurde das Agarosegel im Ethidiumbromidbad (1 µg/L in VE H₂O) für 20 min gefärbt und mit der Geldokumentation MultiImageTM Light Cabinet, AlphaImager[®] EC (Alpha Innotech, USA) fotografiert.

2.2.11 DNA-Sequenzierung

2.2.11.1 Sequenzierung der 16S rDNA

Die DNA-Sequenzierung wurde von der Firma Macrogen Inc. (Seoul, Südkorea) durchgeführt. Hierfür wurde der Primer 63f (Tab. 5) verwendet und pro Probe 48 Klone erstellt (Tab. 10; Prokaryota).

2.2.11.2 Sequenzierung der 18S rDNA

Die DNA-Sequenzierung wurde von der Firma Macrogen Inc. (Seoul, Südkorea) unter Verwendung des Primer LR1 (Tab. 5 und Tab. 10; Eukaryota, Fungi) oder Ami6F2 (Tab. 5 und Tab. 10; Eukaryota) durchgeführt. Pro Probe wurden 24 oder 48 Klone erstellt (Tab. 10).

Probe	Nachweis	Primer	Klone
10P	Prokaryota	63f	48
11P	Prokaryota	63f	48
10E	Eukaryota, Fungi	LR1	24
11E	Eukaryota, Fungi	LR1	24
12P	Prokaryota	63f	48
13P	Prokaryota	63f	48
B1P	Prokaryota	63f	48
B2P	Prokaryota	63f	48
B1E	Eukaryota	Ami6F2	48
B2E	Eukaryota	Ami6F2	48
Br1P	Prokaryota	63f	48
Br1E	Eukaryota	Ami6F2	48
E1P	Prokaryota	63f	48
EIP	Prokaryota	63f	48
EIIP	Prokaryota	63f	48
E1E	Eukaryota	Ami6F2	48

EVE	Eukaryota	Ami6F2	48
EVIE	Eukaryota	Ami6F2	48
E45P	Prokaryota	63f	48
EIIIP	Prokaryota	63f	48
EIVP	Prokaryota	63f	48
E45E	Eukaryota	Ami6F2	48
EVIIIE	Eukaryota	Ami6F2	48
EVIIIE	Eukaryota	Ami6F2	48

Tab. 10: Zuordnung der verwendeten Primer und Anzahl der Klone für die DNA-Sequenzierung

2.2.12 Auswertung der Sequenzierungs-Ergebnisse

Die Ergebnisse der DNA-Sequenzierungen wurden mit dem Computerprogramm BioEdit Sequence Alignment Editor (Ibis Biosciences, USA) bearbeitet und anschließend unter Verwendung des Internet-Tools BLAST¹ über die jeweilige Sequenzabfolge das zum Zeitpunkt der Bearbeitung am nächsten verwandte Taxon gesucht.

¹<http://blast.ncbi.nlm.nih.gov/Blast.cgi>

3 Ergebnisse

3.1 Probenahme

Bei Hydrantenspülungen an ausgewählten Standorten in deutschen Trinkwasserverteilungssystemen wurden an mehreren Entnahmepunkten Isopoden nachgewiesen und gesammelt. Das untersuchte Wasservolumen betrug dabei jeweils 1 m³. Charakteristisch für die Anwesenheit von Asseln war an allen Standorten eine gewisse Trübung und Braunfärbung der über einen 25 µm-Filter aufkonzentrierten Wasserproben (Abb. 12). Die Proben bestanden dabei bis zu 70 % aus Asselkot-Pellets (Abb. 13).

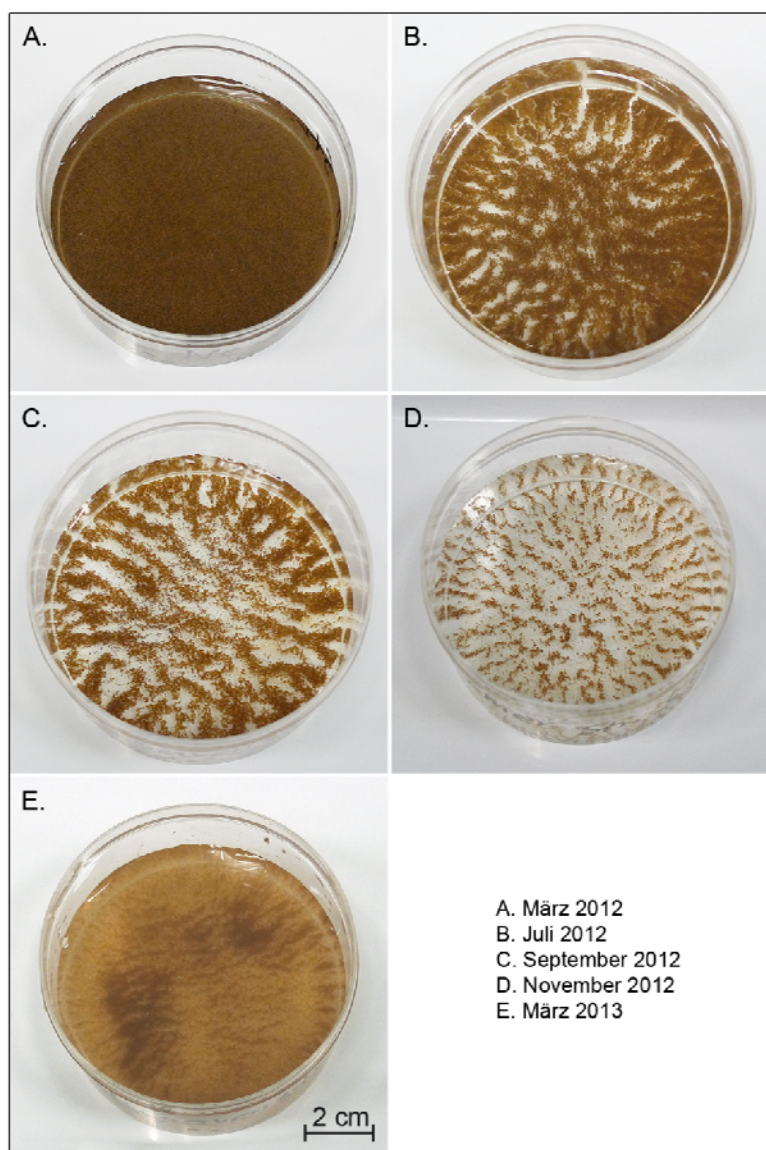


Abb. 12: Aufkonzentrierte (25 µm) Trinkwasserproben von einer Entnahmestelle über einen Zeitraum von 12 Monaten (A.-E.)

Tabelle 11 zeigt exemplarisch die Untersuchungsergebnisse einer 384 m langen Grauguss-Rohrstrecke ($d = 80$ mm), welche von März 2012 bis März 2013 insgesamt fünfmal beprobt wurde. Die Proben wiesen stets Asseln auf. Neben den Assel-Individuendichten wurden auch organoleptische, physikalische und chemische Parameter, sowie das Vorkommen von Detrituspartikeln und Asselkot-Pellets (Abb. 13) dokumentiert. Als Detritus wird die Summe der überwiegend aus Organismenresten bestehenden Schweb- und Sinkstoffe in aquatischen Lebensräumen bezeichnet. Darminhalte der hier im März 2012, September 2012 und November 2012 gesammelt Isopoden wurden zusätzlich molekularbiologisch untersucht (Abschn. 3.5.5).

Probenahmezeitraum	03.2012	07.2012	09.2012	11.2012	03.2013
Probenbezeichnung DNA-Sequenzierung	E1P / E1E	–	EIP / EVE	EIIP / EVIE	–
Trübung Wasserprobe	sehr stark	stark	stark	schwach	stark
Färbung Wasserprobe	dunkelbraun	dunkelbraun	bräunlich	schwach bräunlich	bräunlich
Geruch Wasserprobe	stark modrig	modrig	schwach modrig	sehr schwach modrig	schwach modrig
Wassertemperatur (°C)	8,7	15,6	13,2	10,4	10,7
pH	7,5	7,4	7,5	7,6	7,6
Leitfähigkeit (µS/cm)	460	486	473	514	480
Sauerstoffgehalt (mg/l)	9,3	8,1	9,5	10,0	9,9
PO ₄ -P (mg/l)	0,36	0,3	0,09	< 0,01	0,08
NO ₃ -N (mg/l)	1,4	1,7	1,9	2,2	2,3
Fe (mg/l)	2,89	1,31	0,73	0,13	0,71
Detrituspartikel (H)	massenhaft	massenhaft	viel	mäßig	viel
Asselkot-Pellets (H)	massenhaft	massenhaft	viel	mäßig	viel
<i>P. cavaticus</i> (I)	588	236	196	16	57

Tab. 11: Ergebnisse der organoleptisch-physikalisch-chemischen und biologischen Trinkwasseruntersuchungen (H = Häufigkeit, I = Individuendichte)

Die Trübung, Bräunfärbung und der modriger Geruch der einzelnen Wasserproben, sowie die ermittelten Eisen- und Gesamt-Phosphat-Phosphatkonzentrationen nahmen von März 2012 bis November 2012 kontinuierlich ab und zeigten sich im März 2013 auf den der September-Untersuchung entsprechenden Niveaus. Die Wassertemperaturen lagen zwischen 8,7-15,6 °C, die pH- und Leitfähigkeitswerte in Bereichen zwischen 7,4-7,6 und 460-514 µS/cm. Die ermittelten Nitrat-Stickstoffgehalte zeigten sich insgesamt mäßig, nahmen von März 2012 bis März 2013 dabei jedoch geringfügig zu. Detritus-Partikel und Asselkot-Pellets wurden im März und Juli 2012 massenhaft in den Proben vorgefunden. Bis November 2012 nahm deren Anzahl dann stetig ab und stieg im März 2013 wieder leicht an. Isopoden waren in allen Proben vorzufinden, wobei maximal 588

Tiere pro m³ Spülvolumen gesammelt wurden. Asselkot-Pellets konnten mittels Lichtmikroskopie sicher von Detrituspartikeln unterschieden werden (Abb. 13). Insbesondere die dichte Struktur der zylinderförmigen Ausscheidungsprodukte und die unterschiedlich braun gefärbten Banden in den Pellets dienen als sicheres Abgrenzungsmerkmal gegenüber anderen organischen Partikeln.

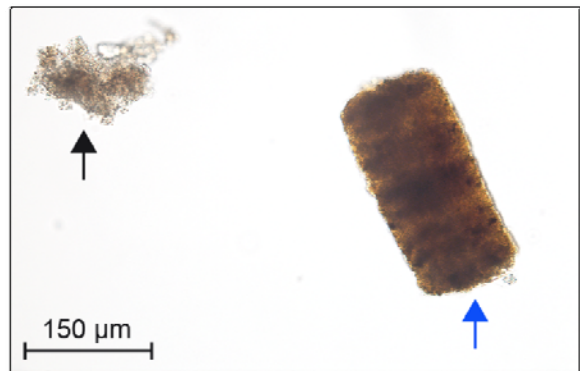


Abb. 13: Lichtmikroskopische Aufnahme Asselkot-Pellet (blauer Pfeil) und Detritus (schwarzer Pfeil)

3.2 Morphologische Artbestimmung

Die zwischen September 2010 und November 2012 bei Hydrantenspülungen in deutschen Trinkwasserverteilungssystemen gesammelten Individuen von *Asellus aquaticus* (Abb. 14) konnten über die Präparation und Identifikation des entsprechenden 2. Pleopoden (Abschn. 2.2.4, Abb. 8) sicher bis auf Artniveau bestimmt werden.



Abb. 14: *Asellus aquaticus* (Dorsalansicht)

Bei der lichtmikroskopischen Betrachtung der Extremität ist der lange, nach ventral gerichtete Sporn am Endopoditen ein besonders markantes Bestimmungsmerkmal (Abb. 15, Pfeil).

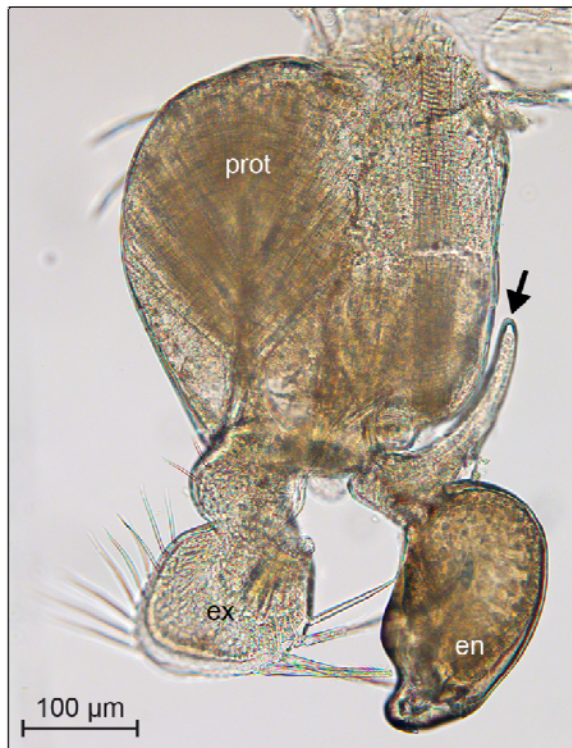


Abb. 15: Lichtmikroskopische Aufnahme des 2. Pleopoden von *Asellus aquaticus* (♂); charakteristischer Sporn am Endopoditen (Pfeil)

An einigen Probenahmepunkten wurden anstelle der vermuteten Gemeinen Wasserasel Individuen der Isopodenart *Proasellus cavaticus* (LEYDIG, 1871) vorgefunden und gesammelt (Abb. 16).



Abb. 16: Hydrantenspülung; *Proasellus cavaticus*, Detritus und Rostpartikel

Auch die gesammelten Individuen von *Proasellus cavaticus* konnten nach der Präparation und Identifikation der 2. Pleopoden (Abb. 17) sicher bis auf Artniveau bestimmt werden. Der Protopodit ist bei diesem Taxon schwach trapezförmig und zeigt an seinem Medialrand zwei lange, befiederte Borsten (Abb. 17, schwarze Pfeile). Der Exopodit ist zweigliedrig. Das erste Glied ist distal verbreitert und überragt so den inneren und äußeren proximalen Teil des zweiten Gliedes. Distolateral am zweiten Glied befinden sich zwei befiederte Borsten. Das zweite, eichelförmige Glied ist schmäler und länger als das erste und trägt am Außenrand bis zu 11 Fiederborsten und distal einen feinen Härchensaum (Abb. 17, blaue Pfeile). Der Endopodit ist etwas länger als der Exopodit, besitzt jedoch nicht wie bei *Asellus aquaticus* einen langen proximalen Sporn (Abb. 15), sondern an dessen Stelle einen kurzen, stumpf-kegelförmigen Fortsatz. Der Medialrand des Endopoditen ist konkav, der gegenüberliegende Rand des Gliedes nahezu gerade. An der Spitze des Innenastes befinden sich zwei Zipfel. Am proximalen Zipfel, der laterad gebogen ist, ist an der Spitze die feine Öffnung des Samenbehälters lokalisiert (Abb. 17, rote Pfeile). Der zweite Zipfel ist flach lappenartig und ragt distal weiter hervor als der erste (Abb. 17, grüne Pfeile).

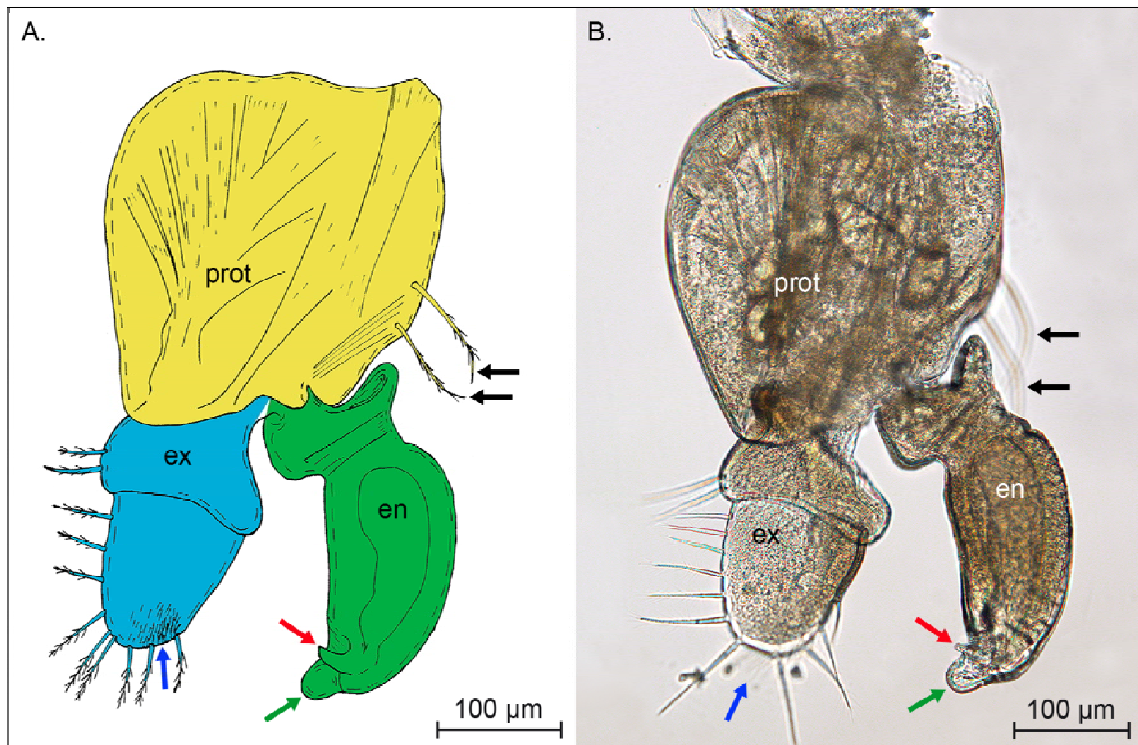


Abb. 17: A. Detailzeichnung Pleopod 2 von *Proasellus cavaticus*, ♂; modifizierte Vorlage nach HENRY (1974); B. Mikroskopisches Präparat des plp2 von *P. cavaticus*, ♂; A. & B. → schwarze Pfeile: lange, befiederte Borsten am prot, rote Pfeile: proximaler Zipfel am en mit Öffnung des Samenbehälters, grüne Pfeile: flacher, lappenartiger Zipfel am en, blaue Pfeile: feiner Härchensaum distal auf dem zweiten Glied des ex

Der Habitus der bei den Probenahmen gesammelten geschlechtsreifen Individuen von *Proasellus cavaticus* ist in Abb. 18 am Beispiel zweier Tiere fotografisch dokumentiert und nachfolgend beschrieben.

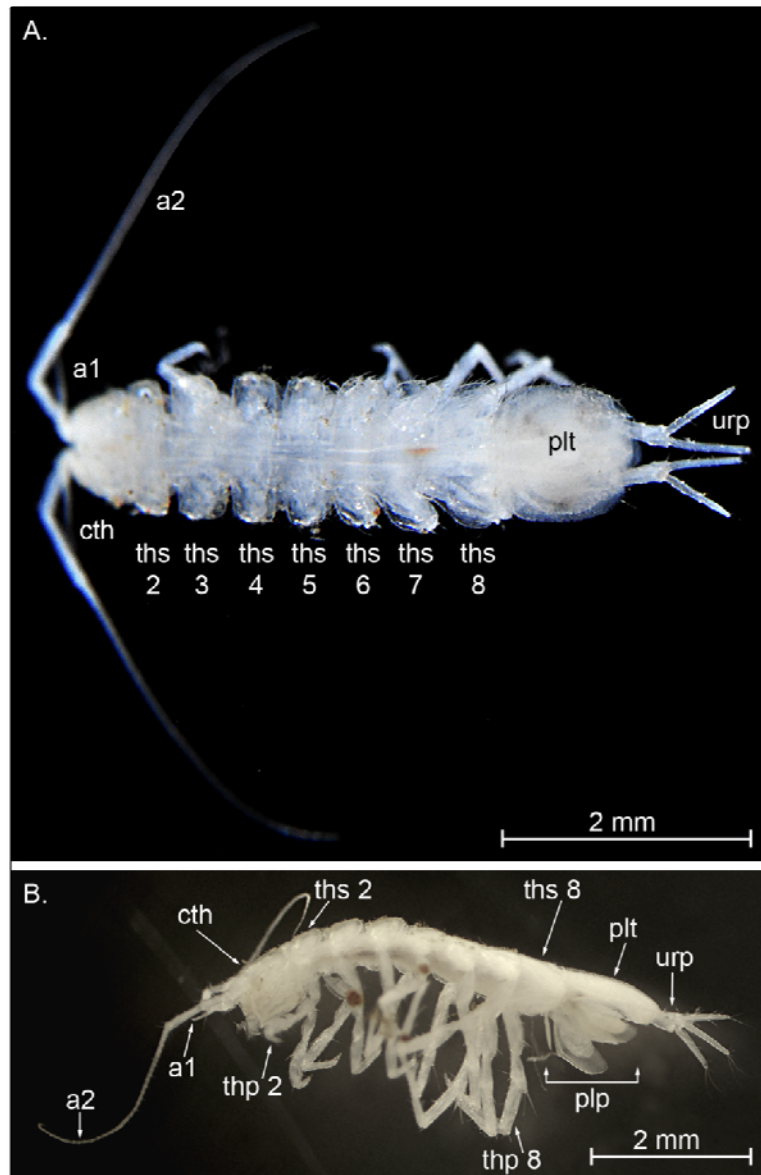


Abb. 18: A. Makroskopische Aufnahme von *Proasellus cavaticus*, ♂ (Dorsalansicht)

B. Makroskopische Aufnahme von *P. cavaticus*, ♂ (Lateralansicht)

Die Körper der untersuchten Asseln waren vom Vorderrand des Cephalothorax bis zum Hinterende des Pleotelsons maximal 7 mm lang. Die Längen der Antennen und Uropoden wurden hierbei nicht mit berücksichtigt. Der unpigmentierte, weißlich schimmernde Körper der augenlosen Tiere ist etwa viermal so lang wie breit und die Seitenränder ver-

laufen fast parallel. Der Kopf ist annähernd doppelt so breit wie lang und das Pleotelson ist länger als breit und fast rechteckig mit gerundeten Kanten. Die Uropoden sind bei nahe so lang wie das Pleotelson. Die ersten Antennen sind kurz, die zweiten wesentlich länger.

3.3 Fressversuche

Die Wasserasseln wurden im Rahmen der durchgeführten Fressversuche nur zum Zwecke der fotografischen Dokumentation täglich um 7 und 19 Uhr für jeweils maximal 5 Minuten künstlichem Licht ausgesetzt. Ansonsten blieb das Kellerlabor für die gesamte Dauer der unterschiedlichen Fütterungsversuche abgedunkelt.

3.3.1 Prokaryota

Zum Versuchsstart wurden, wie unter Abschn. 2.2.3.3 beschrieben, drei Cellulose-Acetatfilter in einen Versuchsreaktor eingesetzt. Auf einer Filteroberfläche befand sich die aufgetragene Reinkultur von *Marmoricola* spec. (Abb. 19.1 und 19.2 A.-I., braun-rötlich gefärbter Filter zwischen 14 und 16 Uhr-Position) und auf der Oberfläche eines zweiten Filters die Reinkultur von *Aquabacterium commune* (Abb. 19.1 und 19.2 A.-I., weißer Filter zwischen 17.30 und 19 Uhr-Position). Ein dritter unpräparierter Cellulose-Acetatfilter diente als Kontrollfläche (Abb. 19.1 und 19.2 A.-I., weißer Filter mit blauer Markierung „N.“, zwischen 21 und 23 Uhr-Position). Nach dem Einsetzen der 10 Individuen von *Asellus aquaticus* am Tag 1 der Versuchsreihe um 6 Uhr mittig zwischen die drei Filter wurde um 7 Uhr das erste Foto gemacht. Die verwendeten Wasserasseln saßen dabei auf dem *Marmoricola*-Filter (6 Individuen; 14 Uhr-Position), dem *Aquabakterium*-Filter (3 Individuen; 17.30 Uhr-Position) und dem Kontrollfilter „N.“ (3 Individuen; 22 Uhr-Position). Eine Assel befand sich dabei nicht auf, sondern in der Nähe des *Aquabakterium*-Filters, wurde in der Auswertung aber dennoch hierzu gezählt. Um 19 Uhr desselben Tages zeigten sich 3 Tiere auf dem unpräparierter Filter und 7 Individuen auf dem *Marmoricola*-Filter. An den Tagen 2, 3 und 4 hielten sich jeweils alle Isopoden zu beiden Dokumentationszeitpunkten ausnahmslos auf dem *Marmoricola*-Filter auf. Erst am letzten Versuchstag um 7 Uhr zeigten sich 2 Tiere am, bzw. in der Nähe des Kontrollfilters. Die vorliegenden Bilder dokumentieren, dass die Populationsdichte der auf den *Marmoricola*-Filter aufgebrachten Bakterienkultur, welche zu Ver-

suchsbeginn die Filteroberfläche flächig rot-braun färbte, während des Versuchs täglich an Volumen verlor. Gleichzeitig war eine deutliche Zunahme der Menge an Asselkot-Pellets am, bzw. um den *Marmoricola*-Filter optisch sichtbar. Der Filter mit der aufgebrachten Reinkultur von *A. commune* wurde ab dem 1. Versuchstag um 19 Uhr von den Tieren gänzlich gemieden.

3.3.2 Prokaryota und Fungi

Wie unter Abschn. 2.2.3.4 beschrieben, wurde dieser Fütterungsversuch parallel zweimal durchgeführt. Zum Versuchsstart wurde daher jeweils ein halber Cellulose-Acetatfilter mit den aufgetragenen Myzelien von *Cladosporium herbarum*, bzw. Individuen der Bakterienart *Marmoricola* spec. in den entsprechenden Versuchsreaktor eingesetzt. Zusätzlich diente je ein halber, unpräparierter Cellulose-Acetatfilter als Kontrolloberfläche. Nachfolgend werden die Ergebnisse der fotografischen Dokumentation für einen der beiden Fressversuche besprochen (Abb. 20.1-20.3, A-R). Nach dem Einsetzen der 10 Individuen von *Asellus aquaticus* am 1. Tag der Versuchsreihe um 6 Uhr mittig zwischen die drei Filtern wurde um 7 Uhr das erste Foto der Anordnung gemacht. Die Tiere waren hierbei auf den Kontrollfilter (= Position N; 4 Individuen), den Bakterien-Filter (= Position 1; 2 Individuen) und den Pilz-Filter (= Position 2; 4 Individuen) verteilt. Um 19 Uhr desselben Tages zeigten sich 2 Tiere auf der Position 1 und 8 Tiere an der Position 2, wobei sich eine Assel unter dem Pilz-Filter versteckt hielt (Abb. 20.1 B; schwarzer Pfeil). Am Tag 2 um 7 Uhr befanden sich 9 Individuen auf der Position 2 und 1 Individuum auf der Position N. Die Verteilung der Tiere in der Versuchsanordnung am Tag 2 um 19 Uhr und am Tag 3 um 7 Uhr war identisch. Jeweils alle 10 Wasserasseln verweilten an der Position 2, wobei sich auf beiden Bildern ein Tier unter dem Filter versteckte (Abb. 20.1 D und E; schwarzer Pfeil). Am Tag 3 um 19 Uhr zeigten sich 9 Tiere auf der Position 2 und 1 Tier, welches sich unter Kontrollfilter versteckte (Abb. 20.1 F; schwarzer Pfeil). Am Tag 4 um 7 Uhr zeigten sich 9 Tiere an Position 2 und 1 Tier auf Position 1, wobei sich eine Assel an Position 2 unter dem Filter versteckt hatte (Abb. 20.2 G; schwarzer Pfeil). Das Bild des 4. Tages um 19 Uhr dokumentiert alle 10 Isopoden an, bzw. in der Nähe der Position 2. Auch hier versteckte sich ein Tier unter dem Filter (Abb. 20.2 H; schwarzer Pfeil). Am Tag 5 befand sich um 7 Uhr 1 Individuum auf Position 1, die restlichen Tiere verweilten an Position 2, wobei ein Individuum erneut unter den Filter gekrochen war (Abb. 20.2 I; schwarzer Pfeil). Am Tag 5 um 19

Uhr und am darauf folgenden 6. Tag um 7 Uhr hielten sich jeweils 9 Isopoden auf, bzw. in der Nähe der Position 2 und jeweils 1 Isopode auf der Position 1 auf. Das Bild des 6. Tages um 19 Uhr dokumentiert 7 Asseln auf der Position 2, 2 Asseln an der Position 1 und 1 Individuum auf dem Kontrollfilter. An Position 1 versteckte sich dabei 1 Tier unter dem Filter (Abb. 20.2 L; schwarzer Pfeil). Am Tag 7 um 7 Uhr verweilten 6 Asseln auf der Position 1 und 4 Isopoden auf der Position 2. Das Bild der Versuchsanordnung des 7. Tages um 19 Uhr zeigt alle 10 Tiere an der Position 2, wobei ein Tier tot auf dem Filter lag (Abb. 20.3 N; blauer Pfeil) und sich, wie auch am Tag 8 zu beiden Aufnahmezeitpunkten und am Tag 9 morgens, jeweils ein Isopode unter dem Filter versteckt hielt (Abb. 20.3 N, O, P und Q; schwarze Pfeile). Am Tag 8 um 7 und 19 Uhr zeigten sich jeweils 3 Tiere an, bzw. in der Nähe der Position 1, 1 Individuum auf dem Kontrollfilter und 6 Tiere an der Position 2. Das Foto zum 8. Tag um 19 Uhr dokumentiert, dass die tote Wasserassel von einem Artgenossen angefressen wurde (Abb. 20.3 P; blauer Pfeil). Am Tag 9 um 7 Uhr befanden sich 3 Tiere auf der Position 1 und 6 Individuen an der Position 2. Von der toten Assel waren nur noch Reste des Cephalothorax und der Extremitäten im Versuchsreaktor vorzufinden (Abb. 20.3 Q; blaue Pfeile). Der Fressversuch wurde am Tag 9 um 19 Uhr beendet. 3 Tiere befanden sich hierbei auf der Position 1, 5 Tiere auf bzw. in der Nähe der Position 2 und 1 Tier an der Position N. Extremitätenreste und Teile des Cephalothorax befanden sich noch immer im Reaktor (Abb. 20.3 R; blaue Pfeile). Als bevorzugte Position der Asseln ab dem 1. Versuchstag um 19 Uhr konnte der Filter mit den aufgetragenen Pilzmyzelien identifiziert werden. Erst ab dem 6. Versuchstag wanderten die Tiere vermehrt im gesamten Reaktor umher. Die ab dem 6. Tag um 19 Uhr tot im Becken liegende Assel war bis zum Morgen des 9. Tages bis auf Reste des Cephalothorax und Extremitätenteile aufgefressen. Mit der Dauer des Versuches nahmen die Trübung des Wasserkörpers und die Menge an Asselkot-Pellets im Reaktor zu. Das Wasser wurde, wie unter Abschn. 2.2.3 beschrieben, während der gesamten Laufzeit des Fressversuches nicht ausgetauscht. Die Ergebnisse der fotografischen Dokumentation der 2., parallel durchgeführten und analog konzipierten Versuchsanordnung sind den hier besprochenen Ergebnissen nahezu identisch. Auch hier hielten sich die Tiere bis zum 5. Tage bevorzugt auf der mit Pilzhypfen präparierten Filteroberfläche auf. Als auffälligster Unterschied zum besprochenen Ansatz ist das Überleben aller alle 10 Asseln bis zum Versuchsende zu nennen.

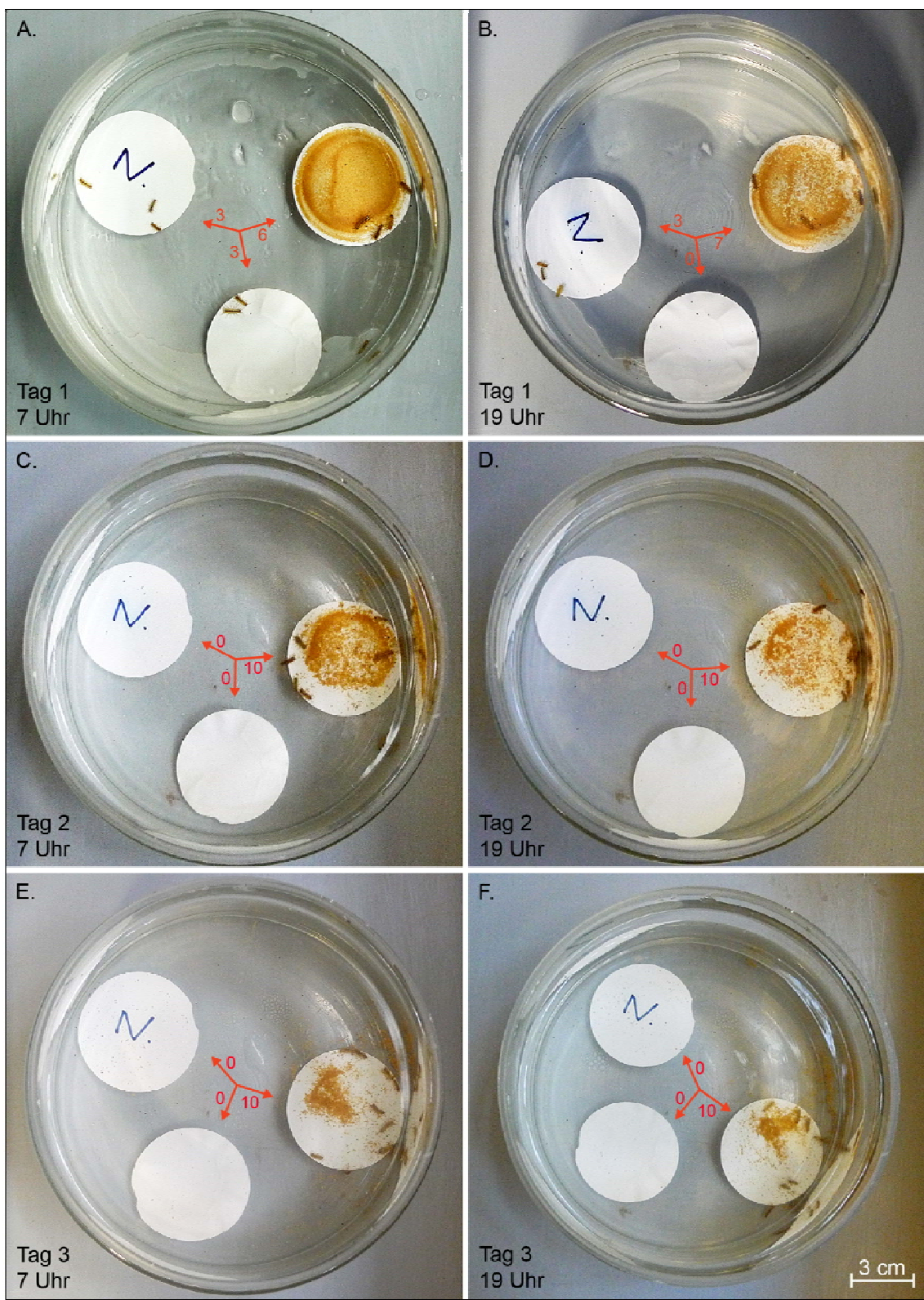


Abb. 19.1: Fressversuch mit *Asellus aquaticus*; A.: Filter links oben = Kontrollfilter („N.“), Filter rechts oben = *Marmoricola spec.*, Filter mittig unten = *Aquabacterium commune*

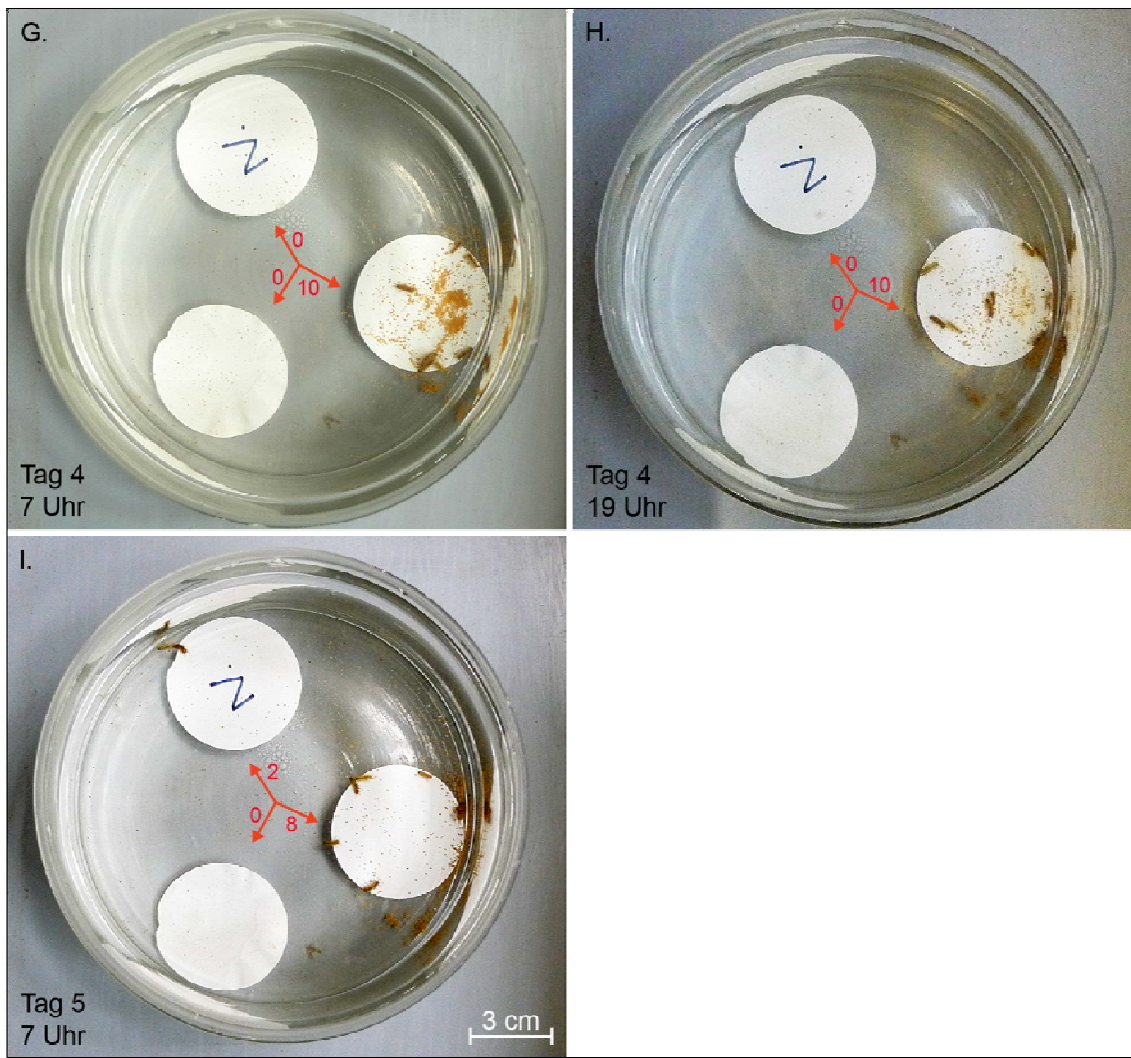


Abb. 19.2: Fressversuch mit *Asellus aquaticus*; G.: Filter oben = Kontrollfilter („N.“), Filter rechts = *Marmoricola spec.*, Filter links unten = *Aquabacterium commune*

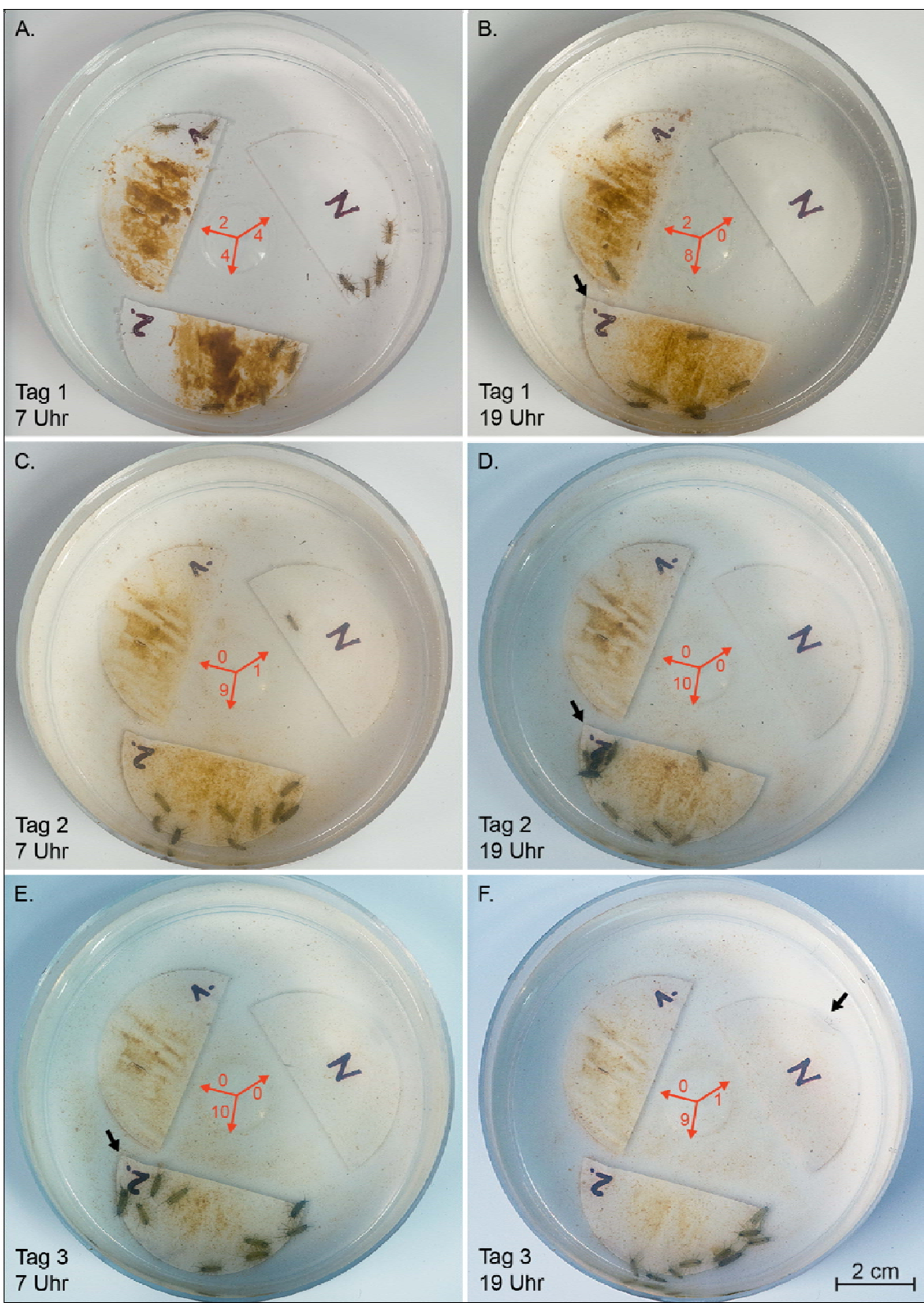


Abb. 20.1: Fressversuch mit *Asellus aquaticus*; N = Kontrollfilter, 1 = Filter mit aufgetragener Reinkultur des Bakterientaxons *Marmoricola* spec., 2 = Filter mit aufgetragenen Myzelien des Pilztaxons *Cladosporium herbarum*; schwarzer Pfeil = Individuum versteckt sich unter dem Filter

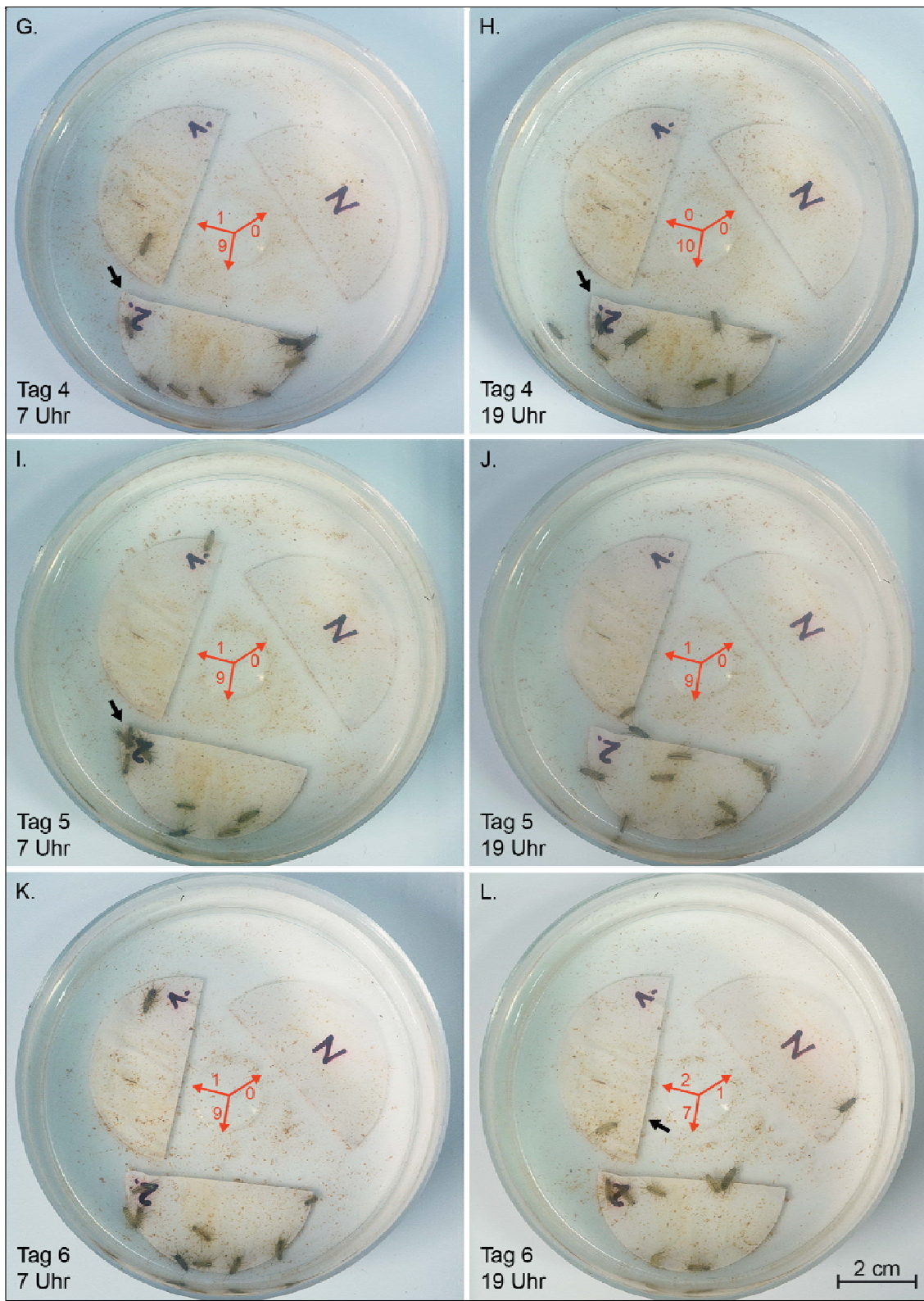


Abb. 20.2: Fressversuch mit *Asellus aquaticus*; N = Kontrollfilter, 1 = Filter mit aufgetragener Reinkultur des Bakterientaxons *Marmoricola* spec., 2 = Filter mit aufgetragenen Myzelien des Pilztaxons *Cladosporium herbarum*; schwarzer Pfeil = Individuum versteckt sich unter dem Filter

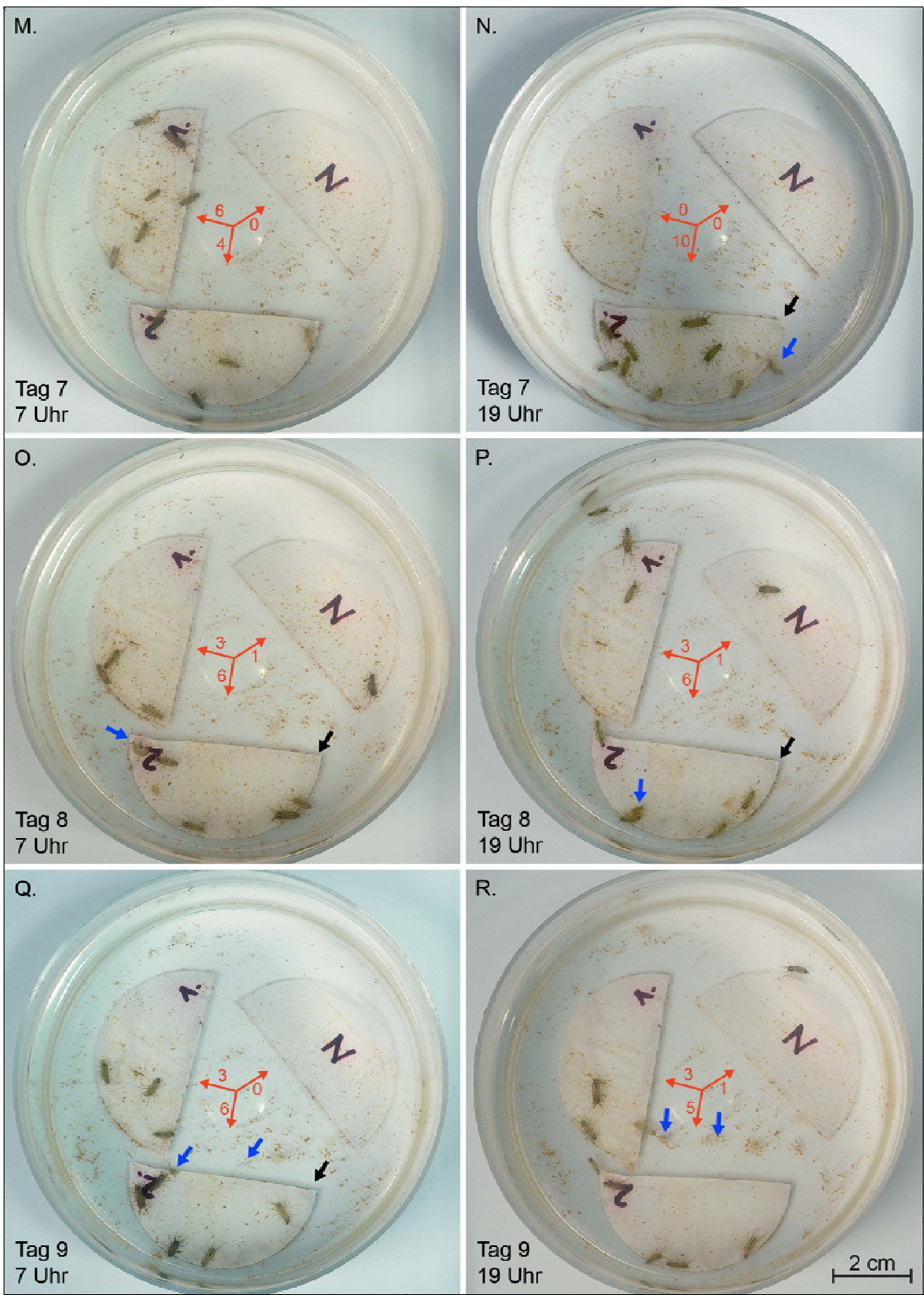


Abb. 20.3: Fressversuch mit *Asellus aquaticus*; N = Kontrollfilter, 1 = Filter mit aufgetragener Reinkultur des Bakterientaxons *Marmoricola* spec., 2 = Filter mit aufgetragenen Myzelien des Pilztaxons *Cladosporium herbarum*; schwarzer Pfeil = Individuum versteckt sich unter dem Filter, blauer Pfeil = totes Individuum oder Reste eines toten Individuums

3.4 Rasterelektronenmikroskopische EDX Untersuchungen

Im Folgenden werden in den Abb. 21, 24, 28 und 31 die rasterelektronenmikroskopischen Bilder unterschiedlicher Wasserasseldarmpräparate wiedergegeben und ausgewertet. Die dicken roten Pfeile kennzeichnen dabei die jeweilige Lage des gewählten Detailausschnittes, die dünnen roten Pfeile markieren die mittels Energiedispersiver Röntgenanalyse (EDX; Abschn. 2.2.6) untersuchten Bereiche. Die gewählten Querschnittsflächen stammten dabei stets aus dem vorderen Drittel des jeweiligen Darmrohres. Die EDX-Spektren (Abb. 22, 23, 25, 26, 27, 29, 30 und 32) bestehen aus elementspezifischen Peaks und einem breiten unspezifischen Untergrund. Auf der X-Achse der Spektren ist die Energie der Röntgenquanten in Kiloelektronenvolt (keV) aufgetragen, in Y-Richtung werden die detektierten Röntgenquanten (cnts = counts) gezählt.

3.4.1 Freilandindividuum *Proasellus cavaticus* (Probe E1)

Die Abb. 21A und 21B zeigen den Nahrungsbrei im Darmrohr eines Individuums von *Proasellus cavaticus*. Das Darmmaterial bestand aus stark komprimierten, klumpigen Flocken. In den EDX-Spektren (Abb. 22 und 23) zeigen sich die Elemente Kohlenstoff, Sauerstoff, Calcium und Eisen mit Werten zwischen 470 und 990 cnts, Silizium und Phosphor mit Werten zwischen 190 und 440 cnts sowie Aluminium, Schwefel und Mangan mit Zählwerten unter 180 cnts.

3.4.2 Freilandindividuum *Asellus aquaticus* (Probe Br1)

Der aufgelockerte Nahrungsbrei zeigt im rasterelektronenmikroskopischen Bild (Abb. 24A und 24B) deutlich gefaltete Strukturen und weiße, kantige Partikel. Im Detailbild (Abb. 24B, Pfeil 3) fallen insbesondere ca. 1 µm kleine, teils abgerundete Strukturen auf. Am Messpunkt 1 weist das Element Calcium einen Wert von rund 770 cnts auf (Abb. 25). Kohlenstoff und Sauerstoff zeigen Werte von 590, bzw. 560 cnts. Am Messpunkt 2 (Abb. 26) überragt der Kohlenstoffpeak mit 1890 gezählten Röntgenquanten die anderen Elemente deutlich. Sauerstoff liegt auf einem Wert um 350 cnts, die Elemente Phosphor, Schwefel und Calcium auf Werten jeweils unter 120 cnts. Das Element Eisen zeigte am Messpunkt 3 mit 295 cnts den deutlichsten Peak (Abb. 27).

Kohlenstoff und Sauerstoff bewegen sich auf Werten zwischen 160 und 180 cnts, die Elemente Silizium, Phosphor, Schwefel und Calcium stets unter 65 cnts.

3.4.3 Hungerversuche *Asellus aquaticus* (Probe 12)

Der Darminhalt eines Individuums von *Asellus aquaticus*, welches über eine Zeitdauer von 6 Wochen nicht gefüttert wurde (Absch. 2.2.2) zeigt einen feinen, lockeren Nahrungsbrei (Abb. 28A und 28B). Am Messpunkt 1 (Abb. 29) ist der Kohlenstoff mit 4720 cnts das dominierende Element. Sauerstoff zeigt sich mit 1000 cnts, Calcium mit rund 340 cnts. Die Elemente Phosphor, Schwefel und Mangan liegen stets unter einem Wert von 220 cnts. Am Messpunkt 2 (Abb. 30) zeigt sich der Calcium-Peak mit einem Wert von rund 1450 cnts deutlich erhöht gegenüber den Elementen Kohlenstoff (rund 450 cnts), sowie Sauerstoff und Schwefel (jeweils unter 200 cnts).

3.4.4 Freilandindividuum *Proasellus cavaticus* (Probe E45)

Der vordere Darmabschnitt eines Individuums von *Proasellus cavaticus* wurde unter dem Rasterelektronenmikroskop fotografisch dokumentiert (Abb. 31) und die Darmaußenwandung mittels Energiedispersiver Röntgenanalyse (EDX) untersucht. Das Element Kohlenstoff zeigt hier mit rund 1100 cnts den deutlichsten Peak (Abb. 32). Sauerstoff, Phosphor, Schwefel und Calcium lagen jeweils unter einem Wert von 250 cnts.

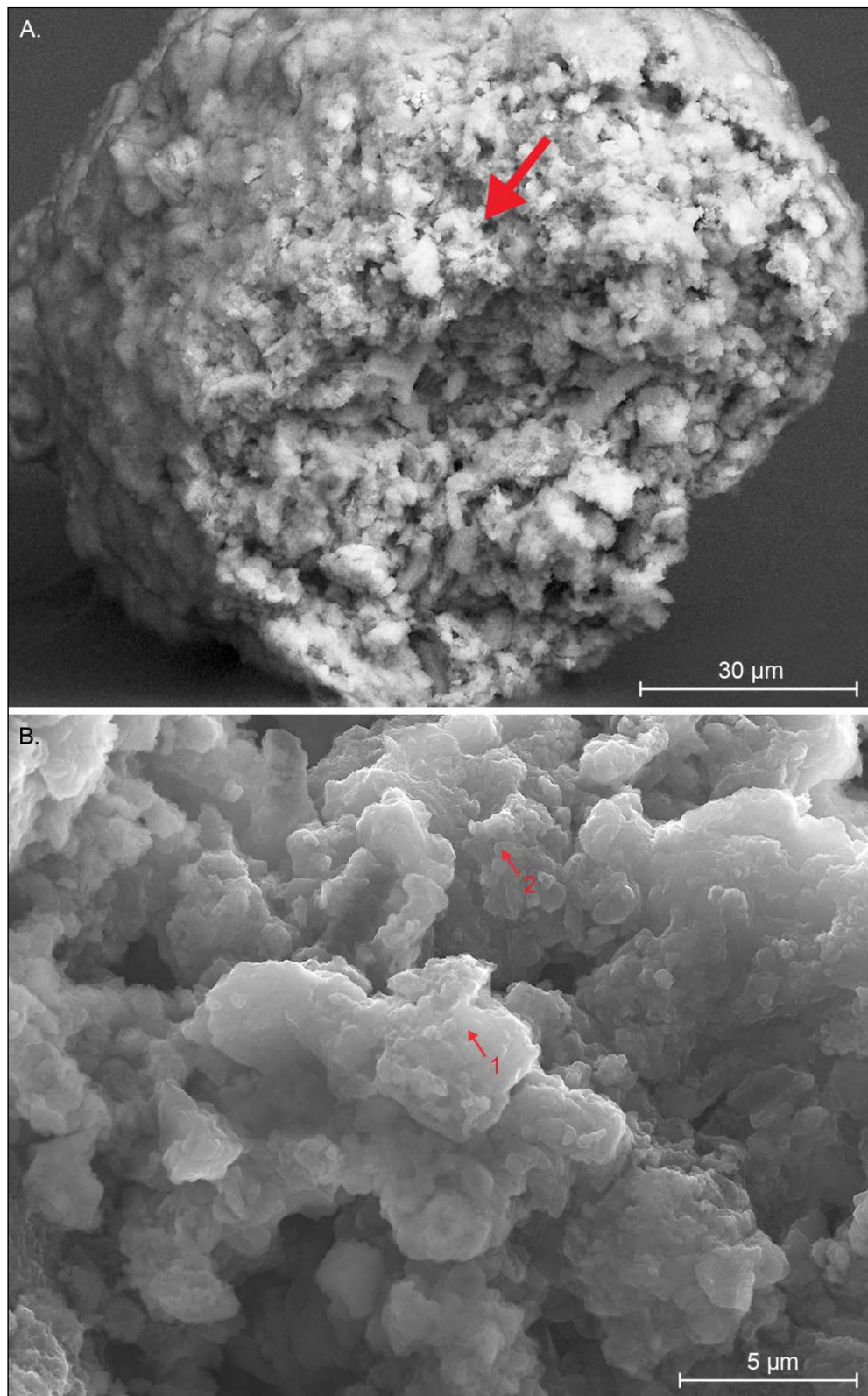


Abb. 21: Rasterelektronenmikroskopische Darmquerschnittsbilder, *Proasellus cavaticus* (Netzspülung, Probe E1)
A. Roter Pfeil markiert die Lage des gewählten Detailausschnitts (Abb. 21B)
B. Detailausschnitt; Rote Pfeile 1-2 = Messpunkte 1 (Abb. 22) und 2 (Abb. 23)

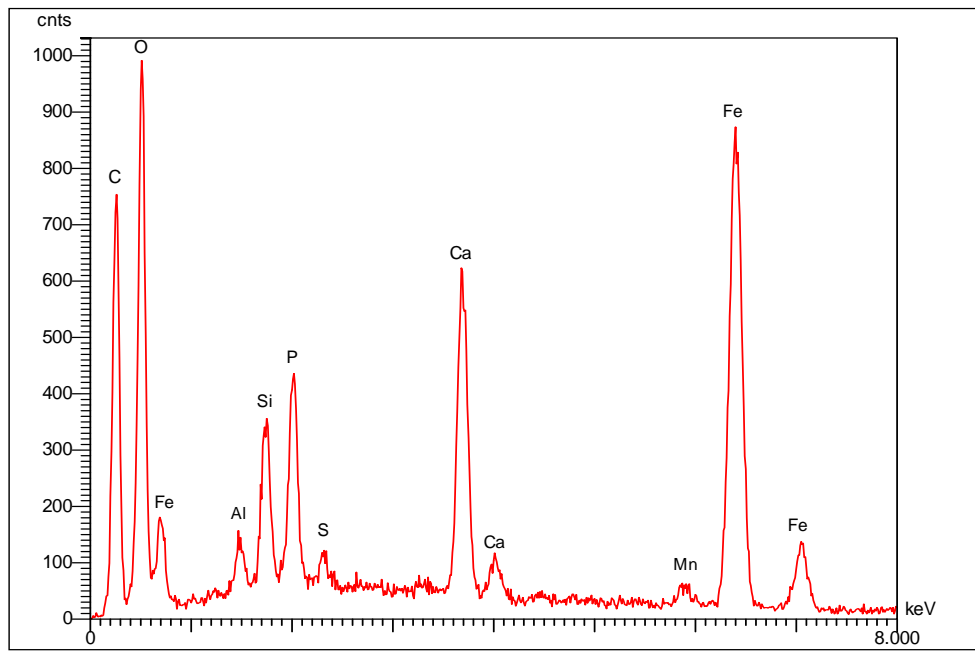


Abb. 22: EDX-Spektrum Probe E1, Messpunkt 1 (Abb. 21B, Pfeil 1)

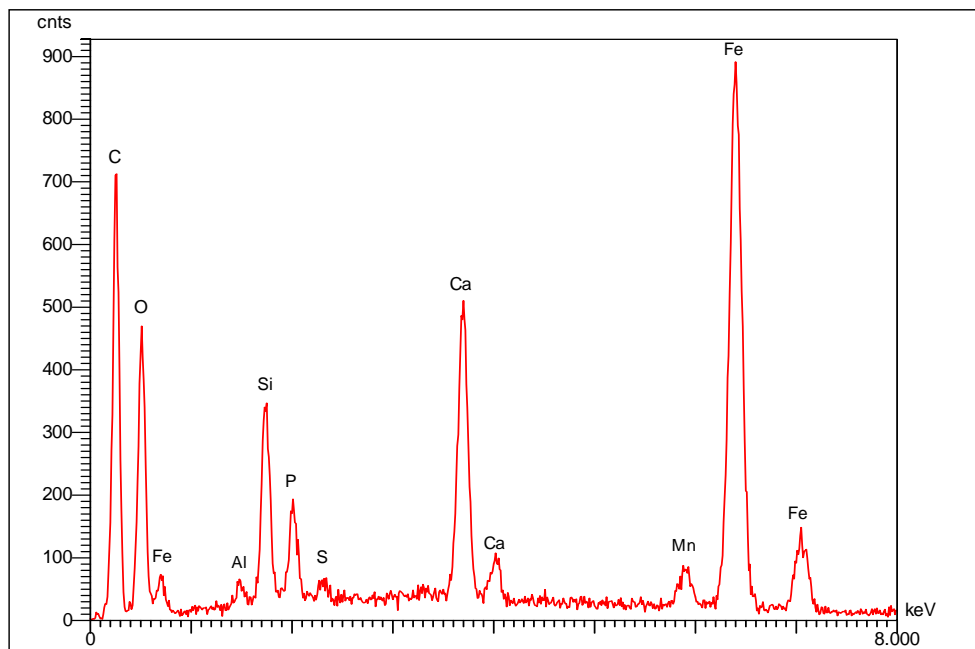


Abb. 23: EDX-Spektrum Probe E1, Messpunkt 2 (Abb. 21B, Pfeil 2)

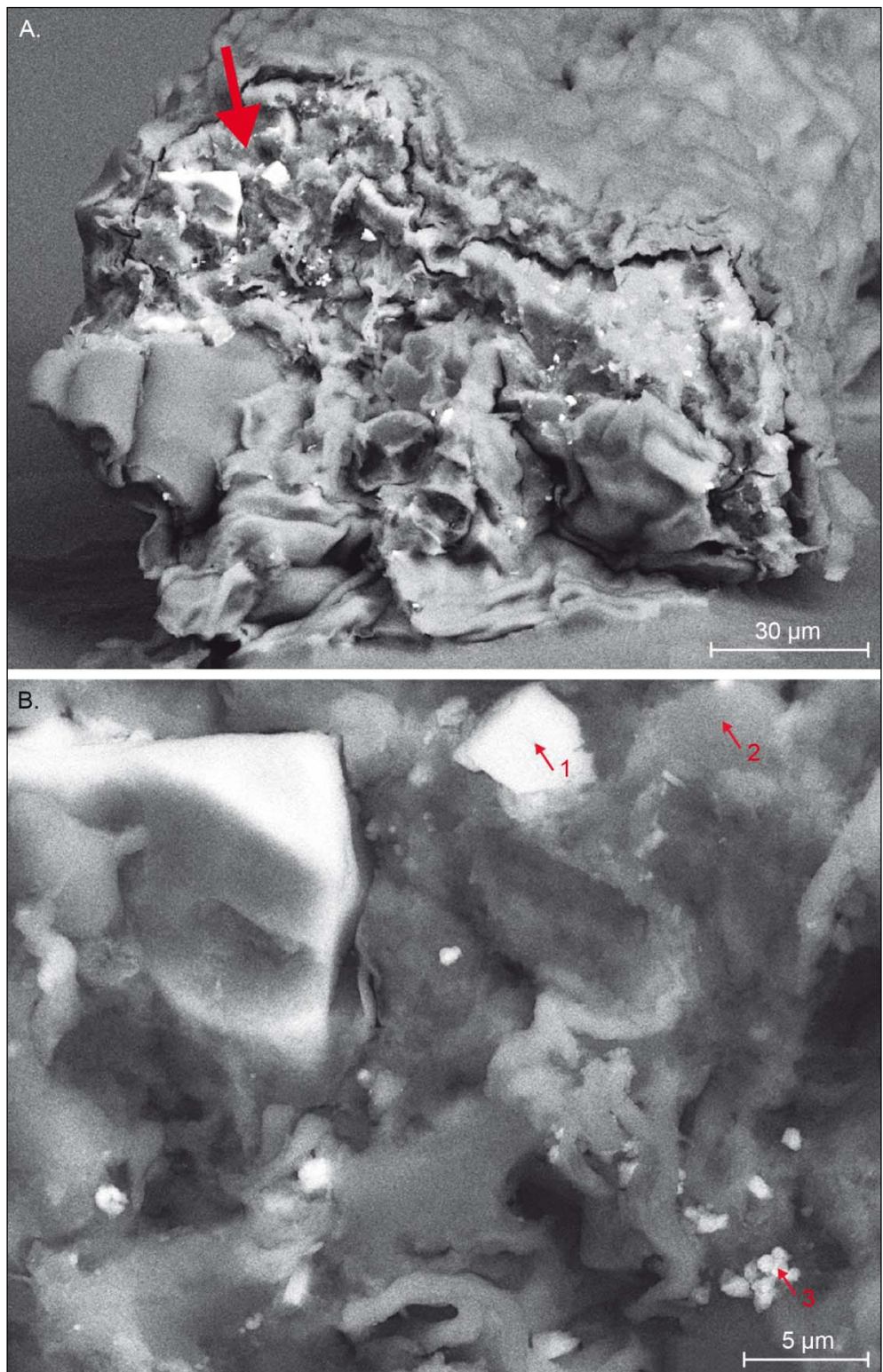


Abb. 24: Rasterelektronenmikroskopische Darmquerschnittsbilder, *Asellus aquaticus*

(Netzspülung, Probe Br1)

A. Roter Pfeil markiert die Lage des gewählten Detailausschnitts (Abb. 24B)

B. Detailausschnitt; Rote Pfeile 1-3 = Messpunkte 1 (Abb. 25), 2 (Abb. 26) und 3 (Abb. 27)

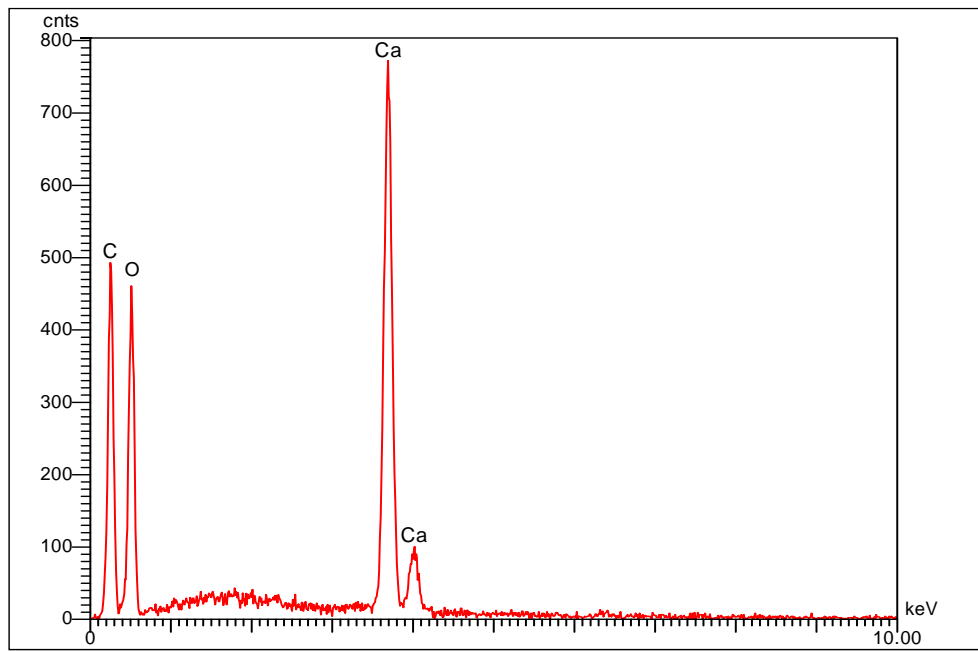


Abb. 25: EDX-Spektrum Probe Br1, Messpunkt 1 (Abb. 24B, Pfeil 1)

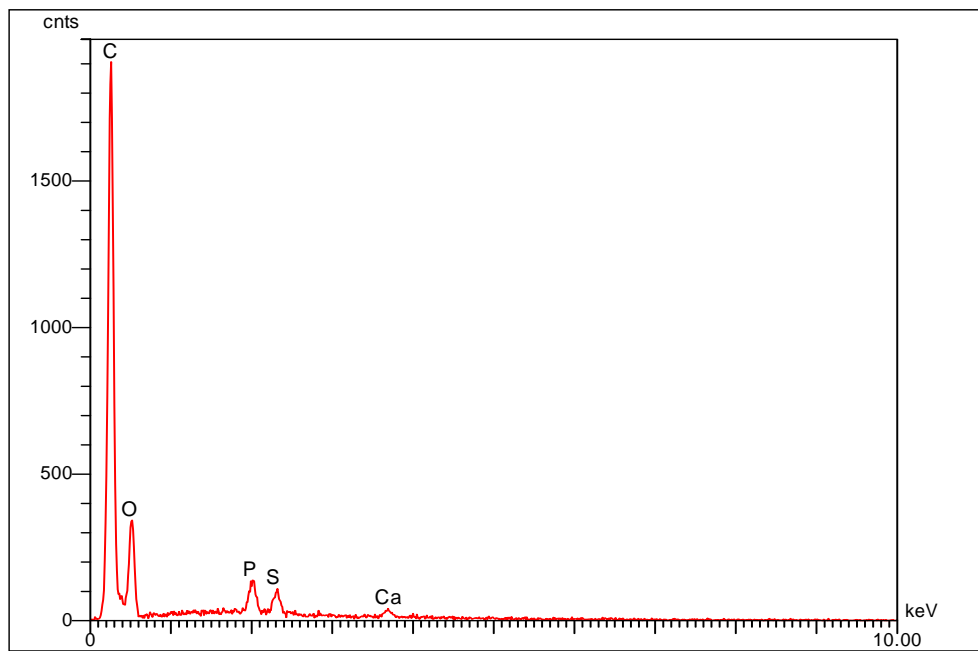


Abb. 26: EDX-Spektrum Probe Br1, Messpunkt 2 (Abb. 24B, Pfeil 2)

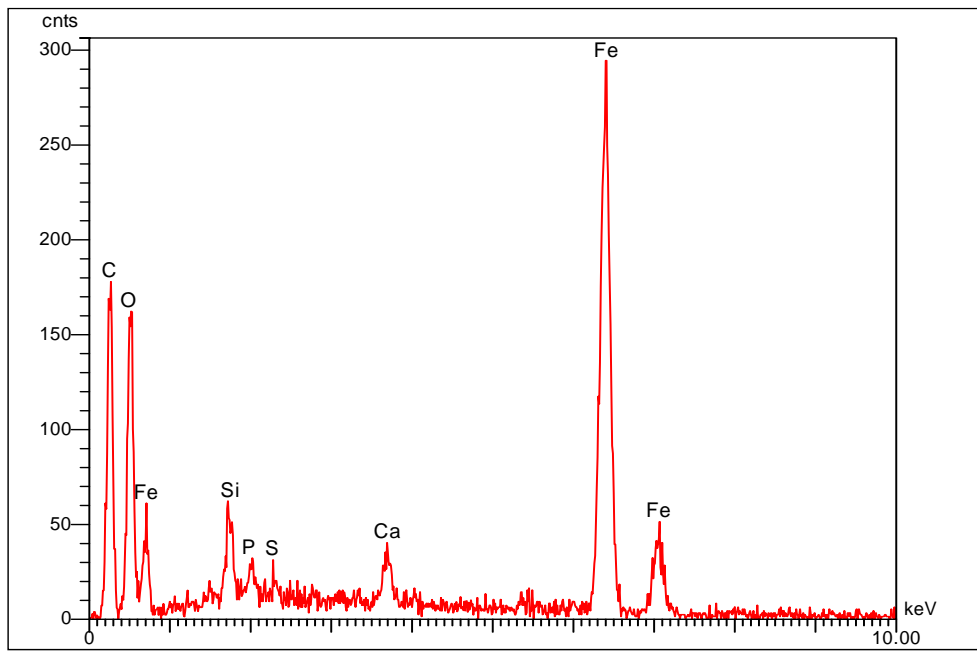


Abb. 27: EDX-Spektrum Probe Br1, Messpunkt 3 (Abb. 24B, Pfeil 3)

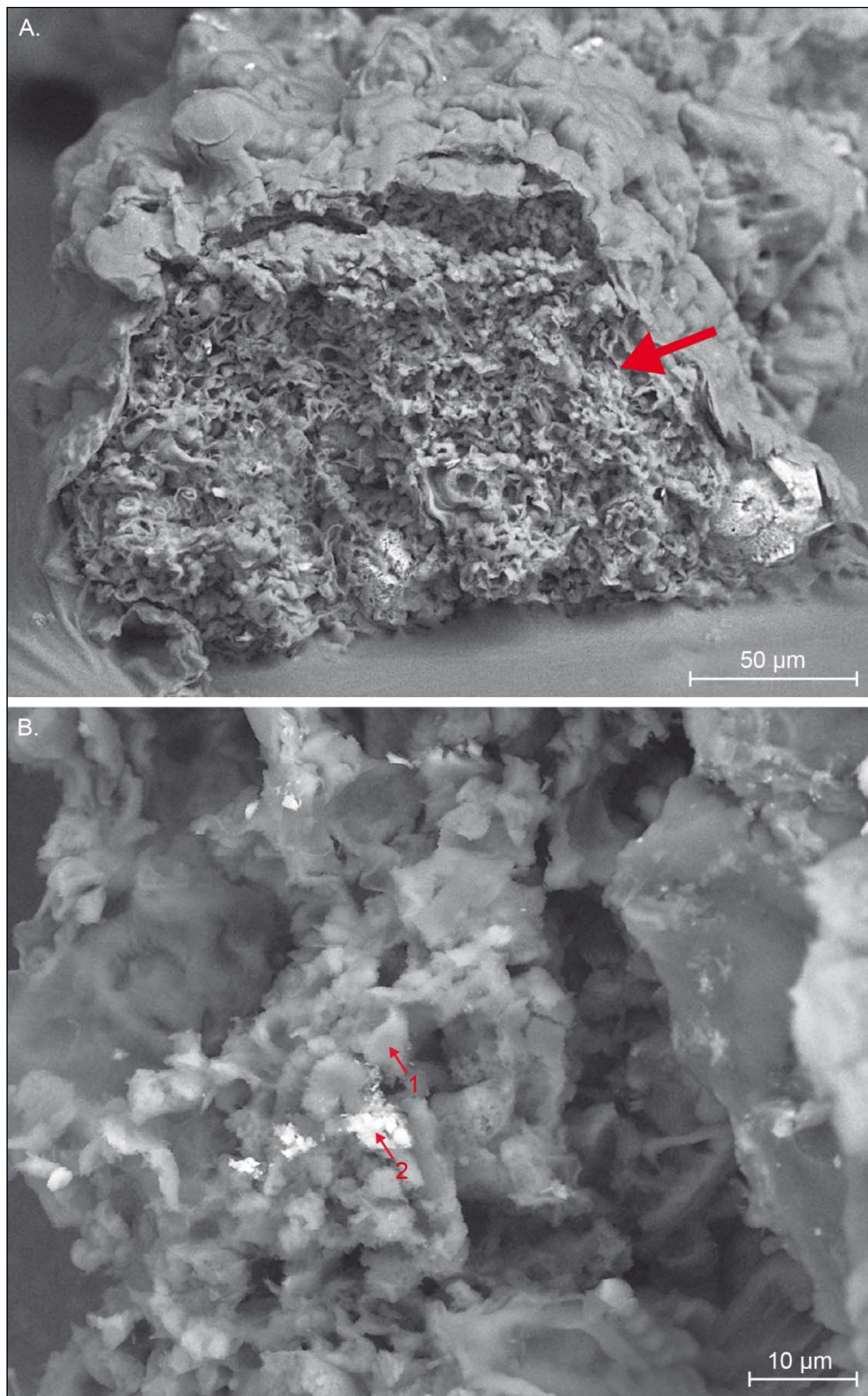


Abb. 28: Rasterelektronenmikroskopische Darmquerschnittsbilder, *Asellus aquaticus* (Hungerversuch, Probe 12)
A. Roter Pfeil markiert die Lage des gewählten Detailausschnitts (Abb. 28B)
B. Detailausschnitt; Rote Pfeile 1-2 = Messpunkte 1 (Abb. 29) und 2 (Abb. 30)

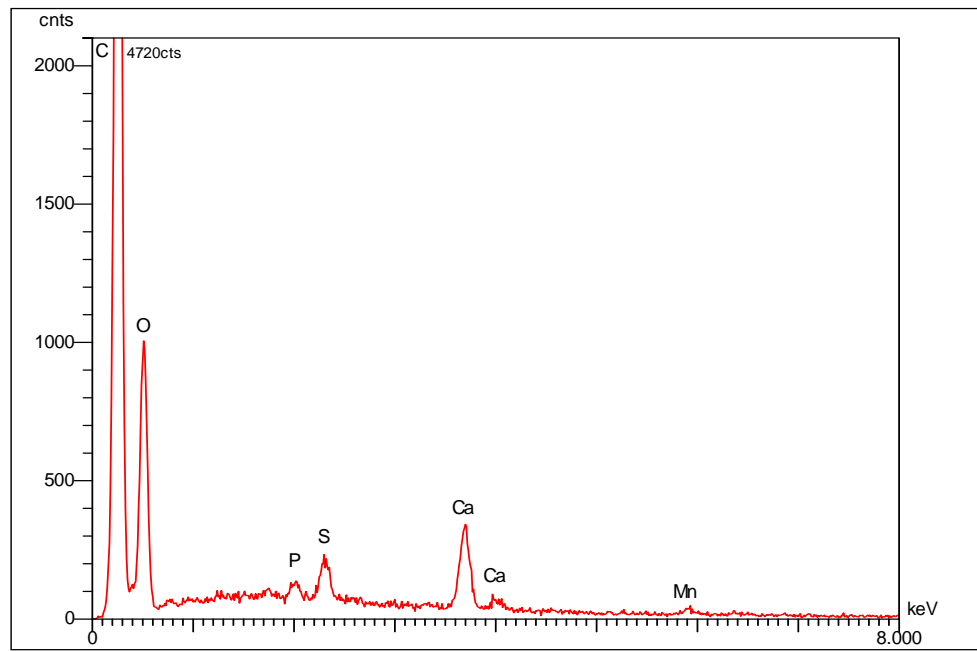


Abb. 29: EDX-Spektrum Probe 12, Messpunkt 1 (Abb. 28B, Pfeil 1)

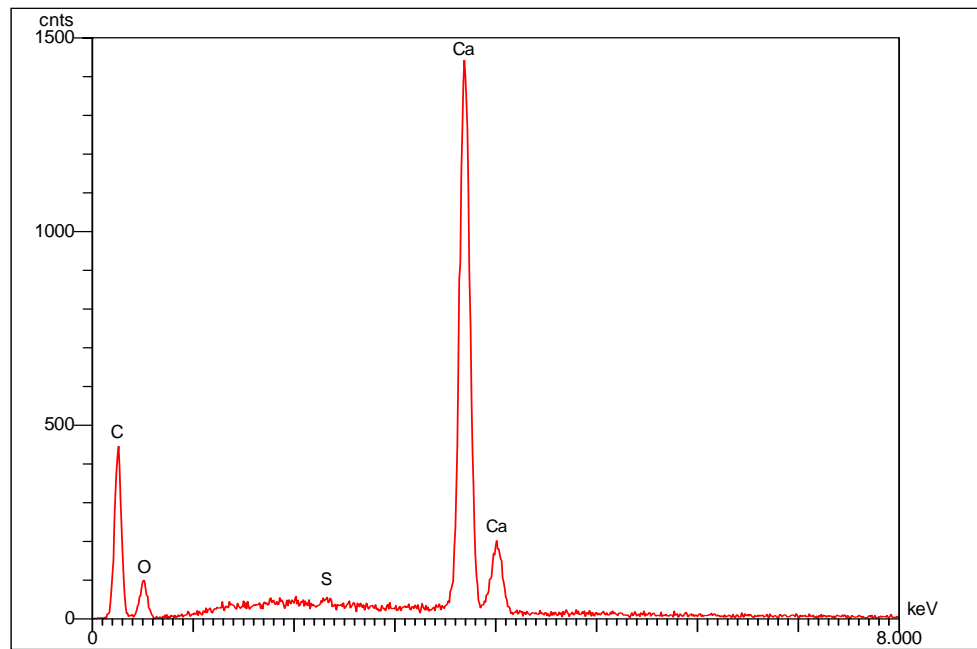


Abb. 30: EDX-Spektrum Probe 12, Messpunkt 2 (Abb. 28B, Pfeil 2)

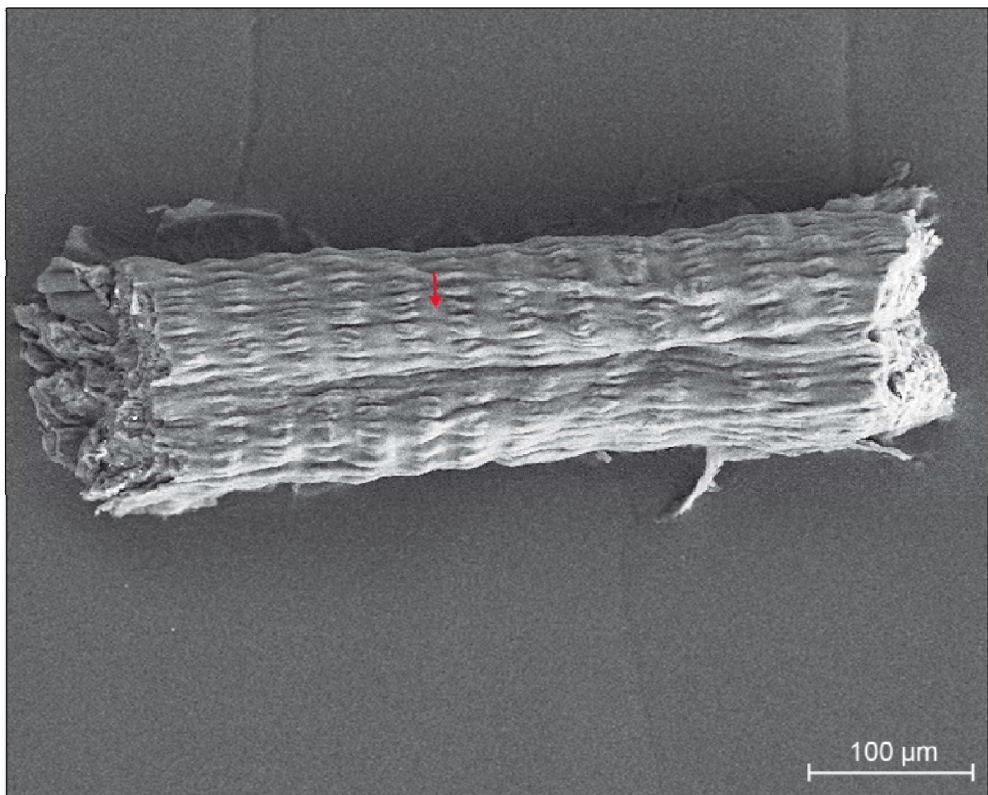


Abb. 31: Rasterelektronenmikroskopische Aufnahme eines Darmrohrs (vorderes Drittel) von *Proasellus cavaticus* (Netzspülung, Probe E45); Roter Pfeil markiert die Lage des Messpunkts (Abb. 32)

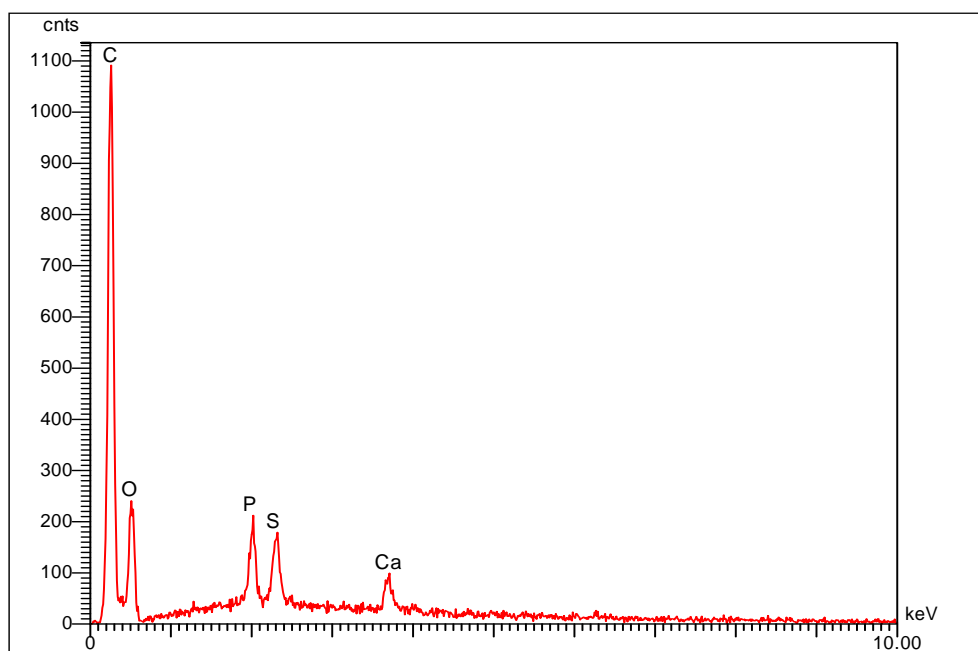


Abb. 32: EDX-Spektrum Probe E45, Messpunkt in Abb. 31, Pfeil

3.5 Molekularbiologische Untersuchungen

Die Ergebnisse der im Rahmen der molekularbiologischen Darminhaltsuntersuchungen durchgeführten DNA-Analysen (Abschn. 2.2.9-2.2.12) werden in diesem Kapitel dargestellt. Nachfolgend steht der Buchstabe „P“ (Prokaryota) als letztes Kürzel in der jeweiligen Probenbezeichnung für eine durchgeführte 16S rDNA-Untersuchung und der Buchstabe „E“ (Eukaryota) entsprechend für eine 18S rDNA-Untersuchung. Die Streubereiche der ermittelten maximalen Identitäten und die hierzu berechneten Mittelwerte sind im Abschn. 7.1 tabellarisch aufgeführt. Die Übersichtsdiagramme zu allen 1104 bearbeiteten Sequenzlängen und maximalen Identitäten, sowie die Zuordnungstabellen der ermittelten Taxa zu den entsprechenden Klonen und die Darstellung der Originalsequenzen dieser Taxa in alphabetischer Reihenfolge sind in den Abschn. 7.2-7.4 abgebildet. Die digitalen Dateien aller 1104 von der Firma Macrogen Inc. erstellten DNA-Sequenzen (Abschn. 2.2.11.2) wurden nach der Bearbeitung mit dem Computerprogramm BioEdit Sequence Alignment Editor (Abschn. 2.2.12) auf unterschiedlichen Datenträgern zur Archivierung gespeichert. Zur qualitativen Beurteilung der ermittelten maximalen Identitäten der Sequenzen wird im weiteren Text der Schwellenwert für Arten nach STACKEBRANDT & GÖBEL (1994) mit $x \geq 97\%$ und der Schwellenwert für Gattungen nach KONSTANTINIDIS & TIEDJE (2007) mit $x \geq 95\%$ verwendet. Nachfolgend steht das Kürzel bp für Basenpaare.

3.5.1 Fressversuch *Asellus aquaticus* / *Cladosporium herbarum*

Die aus Fressversuchen von *Asellus aquaticus* mit Myzelien der Pilzart *Cladosporium herbarum* als Nahrungsquelle stammenden Därme (Abschn. 2.2.3.1) wurden nach der Präparation jeweils in einen vorderen und in einen hinteren Abschnitt geteilt. Die Inhalte von 10 vorderen Darmhälften bildeten dabei jeweils eine Probe mit der Bezeichnung „10“ und die Inhalte von 10 hinteren Darmhälften jeweils eine Probe mit der Bezeichnung „11“.

3.5.1.1 Probe 10P

Den 48 ermittelten Sequenzen können Vertreter der Actinobakterien (*Micrococcus* spec.), Bacteroidetes (*Flavobacterium denitrificans*, *Flavobacterium resistens* und *Flavobacterium* spec.), Alphaproteobakterien (*Sphingomonas* spec.) und Gammaproteo-

bakterien (*Pseudomonas* spec. und *Stenotrophomonas* spec.) zugeordnet werden (Abb. 33 und 48). Die zu den Gammaproteobakterien zählende Gattung *Pseudomonas* spec. ist mit einem prozentualen Anteil von 34 % das dominante Taxon. Der Mittelwert der 48 Sequenzlängen beträgt 916 bp (siehe Abb. 53), der aller maximalen Identitäten 98,2 % (Abb. 54). Sämtliche Sequenzen zeigen sich mit den ermittelten Identitäten auf oder liegen über dem Schwellenwert für Arten oder Gattungen.

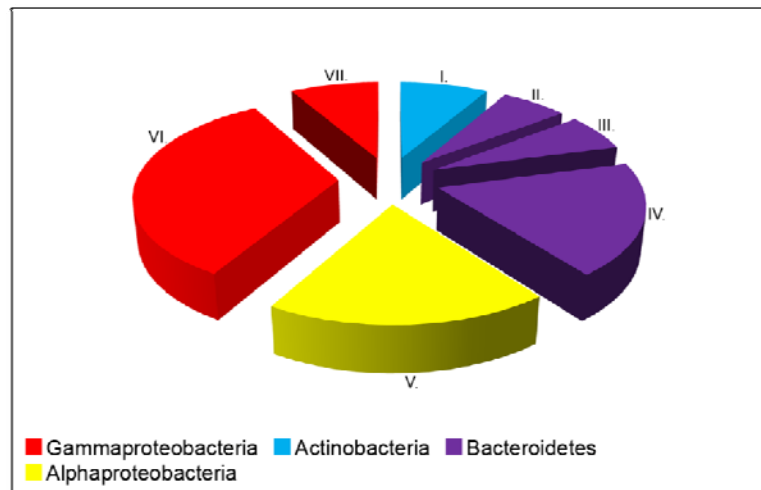


Abb. 33: Fressversuch *Asellus aquaticus* / *Cladosporium herbarum* (10P):
I. *Micrococcus* spec. (8 %); II. *Flavobacterium* spec. (6 %); III. *Flavobacterium denitrificans* (6 %); IV. *Flavobacterium resistens* (19 %); V. *Sphingomonas* spec. (19 %); VI. *Pseudomonas* spec. (34 %); VII. *Stenotrophomonas* spec. (8 %)

3.5.1.2 Probe 11P

In der vorliegenden Probe können als nächste kultivierte Verwandte Actinobakterien (*Microbacterium oxydans*, *Micrococcus* spec. und *Mycobacterium* spec.), Bacteroidetes (*Flavobacterium denitrificans*, *Flavobacterium resistens* und *Flavobacterium* spec.), Alphaproteobakterien (*Caulobacter* spec., *Rhodobacter megalophilus*, *Sphingomonas* spec.), Betaproteobakterien (*Acidovorax* spec.) und Gammaproteobakterien (*Aeromonas hydrophila*, *Pseudomonas* spec.) ermittelt werden (Abb. 34 und 48). Die Proteobakterien-Klasse Bacteroidetes ist hierbei das dominante Taxon, *Flavobacterium resistens* mit einem prozentualen Anteil von 36 % die dominante Art. Der Mittelwert der 48 Sequenzlängen beträgt 1030 bp (Abb. 55), der aller maximalen Identitäten 98,3 % (Abb. 56). Bis auf eine analysierte Sequenz (Klon-Nr. 17), die mit einer max. Identität von 96 % als nächsten kultivierten Verwandten die Art *Rhodobacter megalophilus* anzeigt,

liegen alle übrigen Sequenzen mit den ermittelten Identitäten oberhalb des Schwellenwerts für Arten oder Gattungen.

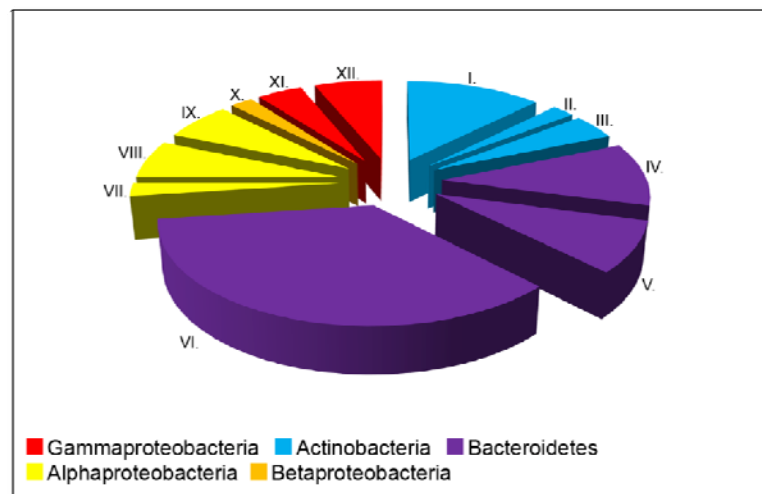


Abb. 34: Fressversuch *Asellus aquaticus* / *Cladosporium herbarum* (11P):
 I. *Micrococcus* spec. (13 %); II. *Microbacterium oxydans* (2 %);
 III. *Mycobacterium* spec. (4 %); IV. *Flavobacterium* spec. (11 %);
 V. *Flavobacterium denitrificans* (8 %); VI. *Flavobacterium resistens*
 (36 %); VII. *Caulobacter* spec. (2 %); VIII. *Rhodobacter megalophilus*
 (6 %); IX. *Sphingomonas* spec. (6 %); X. *Acidovorax* spec. (2 %);
 XI. *Aeromonas hydrophila* (4 %); XII. *Pseudomonas* spec. (6 %)

3.5.1.3 Probe 10E

Für 33 % der sequenzierten Klone kann als nächster bekannter Verwandter das Isopoden-Taxon *Asellus aquaticus* und für 67 % der Klone das Fungi-Taxon *Davidiella tassiana* (anamorph: *Cladosporium herbarum*) bestimmt werden (Abb. 48). Thallusenteile, welche ohne Kernphasenwechsel vegetativ Vermehrungskeime (Mitosporen, Konidien etc.) bilden, werden bei den Pilzen Nebenfruchtform oder Anamorphe genannt (BRESINSKY et al. 2008). Der Mittelwert der Klon-Sequenzlängen beträgt 966 bp (Abb. 57), der aller maximalen Identitäten 99,7 % (Abb. 58). Alle Sequenzen liegen mit den ermittelten Identitäten oberhalb des Schwellenwerts für Arten.

3.5.1.4 Probe 11E

Für 62 % der sequenzierten Klone werden als nächster bekannter Verwandter die Asselart *Asellus aquaticus* und für 38 % der Klone das Fungi-Taxon *Davidiella tassiana* (anamorph: *Cladosporium herbarum*) nachgewiesen (Abb. 48). Der Mittelwert der Sequenzlängen beträgt 1002 bp (Abb. 59), der aller maximalen Identitäten 99,4 % (Abb.

60). Alle Sequenzen liegen mit den ermittelten Identitäten oberhalb des Schwellenwerts für Arten.

3.5.2 Hungerversuch

10 Individuen von *Asellus aquaticus* wurden über die Dauer von 6 Wochen ohne Nahrung in einem Reaktor gehältert (Abschn. 2.2.2). Die Inhalte von 10 vorderen Darmhälften bildeten dabei eine Probe mit der Bezeichnung „12“ und die Inhalte von 10 hinteren Darmhälften eine Probe mit der Bezeichnung „13“. Um Informationen über die Zusammensetzung der bakterielle Darmflora zu erhalten, wurden lediglich Primer zum Nachweis der 16S rDNA eingesetzt. Ein Nachweis der 18S rDNA wurde hier nicht durchgeführt

3.5.2.1 Probe 12P

In der vorliegenden Probe dominieren Gammaproteobakterien (*Aeromonas* spec., *Enterobacter cloacae* subsp. *cloacae*, *Enteropacter* spec., *Pseudomonas putida* und *Pseudomonas* spec.) mit einem prozentualen Anteil von 96 %. Vertreter der Actinobakterien (*Arthrobacter oxydans*) und Alphaproteobakterien (*Afipia* spec.) zeigen sich seltener (Abb. 35 und 49). Innerhalb der Gammaproteobakterien sind die Gattung *Pseudomonas* spec. und die Art *Pseudomonas putida* die dominanten Taxa. Der Mittelwert der 48 Sequenzlängen beträgt 1024 bp (Abb. 61), der aller maximalen Identitäten 98,7 % (Abb. 62). Sämtliche Sequenzen liegen mit den ermittelten Identitäten oberhalb des Schwellenwerts für Arten oder Gattungen.

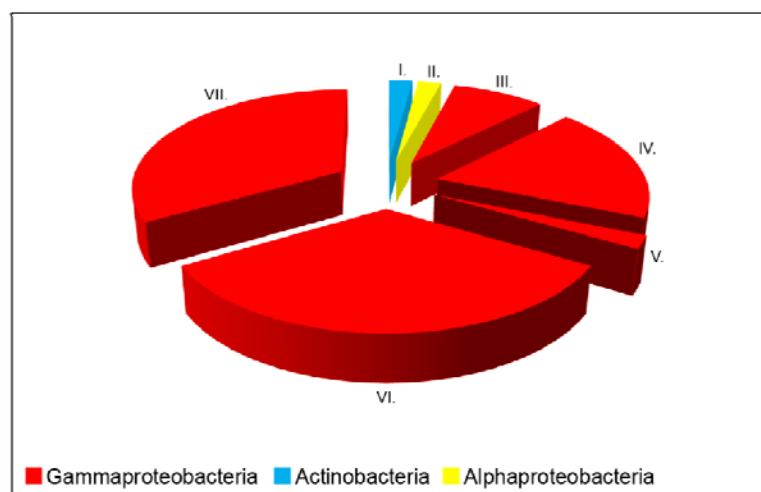


Abb. 35: Hungerversuch *Asellus aquaticus* (12P): I. *Arthrobacter oxydans*

(2 %); II. *Afipia* spec. (2 %); III. *Aeromonas* spec. (8 %); IV. *Enterobacter* spec. (19 %); V: *Enterobacter cloacae* subsp. *cloacae* (2 %); VI. *Pseudomonas* spec. (34 %); VII. *Pseudomonas putida* (33 %)

3.5.2.2 Probe 13P

Auch in dieser Probe dominieren mit einem Anteil von 92 % Gammaproteobakterien (*Aeromonas* spec., *Enterobacter cloacae* subsp. *cloacae*, *Enteropbacter* spec., *Pseudomonas putida* und *Pseudomonas* spec.) deutlich. Vertreter der Betaproteobakterien (*Achromobacter* spec. und *Chitinibacter* spec.) zeigen sich anteilmäßig unauffällig (Abb. 36 & 49). Innerhalb der Gammaproteobakterien sind die Art *Pseudomonas putida*, gefolgt von der Gattung *Pseudomonas* spec., die beiden dominanten Taxa. Der Mittelwert der 48 Sequenzlängen beträgt 1067 bp (Abb. 63), der aller maximalen Identitäten 98,9 % (Abb. 64). Sämtliche Sequenzen liegen auch hier mit den ermittelten Identitäten oberhalb des Schwellenwerts für Arten oder Gattungen.

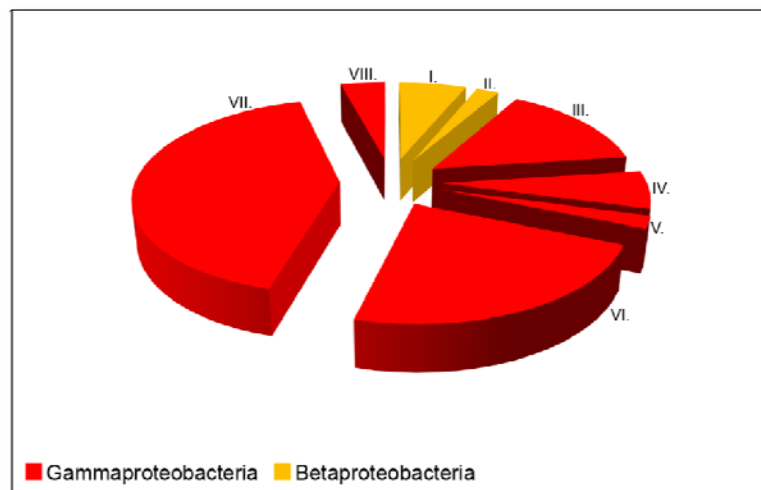


Abb. 36: Hungerversuch *Asellus aquaticus* (13P): I. *Achromobacter* spec. (6 %); II. *Chitinibacter* spec. (2 %); III. *Aeromonas sobria* (15 %); IV. *Enterobacter* spec. (6 %); V: *Enterobacter cloacae* (2 %); VI. *Pseudomonas* spec. (23 %); VII. *Pseudomonas putida* (42 %); VIII: *Stenotrophomonas rhizophila* (4 %)

3.5.3 Fressversuch *Asellus aquaticus* / Schwarzerlenblätter

Auch die Asseldärme, welche aus Fressversuchen von *Asellus aquaticus* mit gequollenen Schwarzerlenblättern als angebotene Nahrungsquelle stammten (Abschn. 2.2.3.2), wurden nach der Präparation jeweils in einen vorderen und einen hinteren Abschnitt se-

pariert. Die Inhalte von 10 vorderen Darmhälften bilden dabei jeweils eine Probe mit der Bezeichnung „B1“ und die Inhalte von 10 hinteren Darmhälften jeweils eine Probe mit der Bezeichnung „B2“.

3.5.3.1 Probe B1P

In der Probe B1P wird eine klare Dominanz an Gammaproteobakterien (*Aeromonas salmonicida*, *Aeromonas salmonicida* subsp. *salmonicida*, *Crenothrix polyspora*, *Enterovibrio* spec., *Photobacterium* spec., *Pseudomonas mandelii* und *Pseudomonas* spec.) festgestellt. Alphaproteobakterien (*Caulobacter* spec., *Hyphomicrobium facile* subsp. *tolerans*, *Hyphomicrobium vulgare* und *Methylocapsa aurea*) zeigen sich hier mit einem prozentualen Anteil von 10 % (Abb. 37 und 50). Innerhalb der Gammaproteobakterien dominieren die Gattung *Enterovibrio* spec. und die Art *Aeromonas salmonicida*. Der Mittelwert der 48 Sequenzlängen beträgt 960 bp (Abb. 65), der aller maximalen Identitäten 96,6 % (Abb. 66). 18 ermittelte Sequenzen, welche den Taxa *Hyphomicrobium vulgare* (Klon-Nr. 24), *Crenothrix polyspora* (Klon-Nr. 45), *Enterovibrio* spec. (Klon-Nr. 1, 2, 6, 10, 11, 22, 28, 29, 31 und 33) und *Photobacterium* spec. (Klon-Nr. 4, 8, 15, 16, 42 und 46) zugeordnet werden können, liegen unterhalb des Schwellenwerts für Arten oder Gattungen.

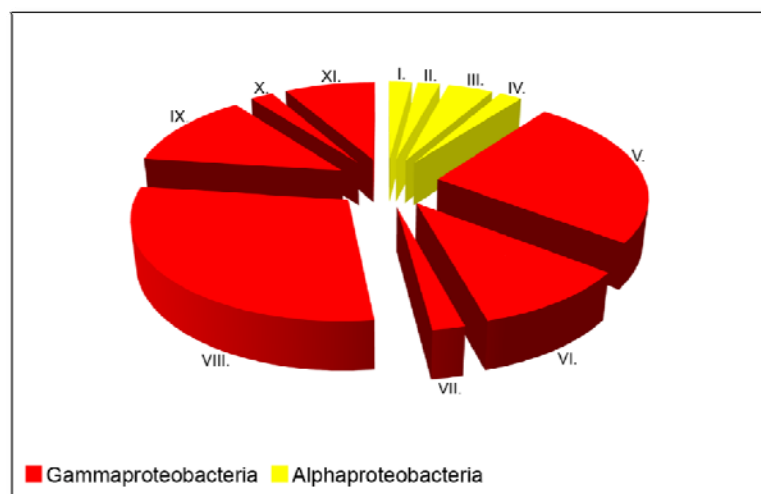


Abb. 37: Fressversuch *Asellus aquaticus* / Schwarzerlenblätter (B1P): I. *Caulobacter* spec. (2 %); II. *Hyphomicrobium facile* subsp. *tolerans* (2 %); III. *Hyphomicrobium vulgare* (4 %); IV. *Methylocapsa aurea* (2 %); V: *Aeromonas salmonicida* (25 %); VI. *Aeromonas salmonicida* subsp. *salmonicida* (11 %); VII. *Crenothrix polyspora* (2 %); VIII. *Enterovibrio* spec. (29 %); IX. *Photobacterium* spec. (13 %); X. *Pseudomonas* spec. (2 %); XI. *Pseudomonas mandelii* (8 %)

3.5.3.2 Probe B2P

Den ermittelten Sequenzen können Vertreter der Actinobakterien (*Gaiella occulta*), Bacteroidetes (*Flavobacterium hercynium*), Alphaproteobakterien (*Hyphomicrobium facile* subsp. *tolerans*, *Hyphomicrobium vulgare*, *Methylobacterium zatmanii*, *Methylocapsa aurea*, *Methylocystis echinoides*, *Methylosinus trichosporium*, *Pedomicrobium fusiforme*, *Pedomicrobium manganicum*, *Rhizobiales bacterium*, *Rhodobacter* spec., *Sphingomonas* spec. und *Sphingopyxis* spec.), Deltaproteobakterien (*Geobacter metallireducens*) und Gammaproteobakterien (*Aeromonas hydrophila* subsp. *hydrophila*, *Aeromonas salmonicida* subsp. *salmonicida*, *Ectothiorhodospira* spec., *Enterovibrio* spec. und *Pseudomonas fluorescens*) zugeordnet werden (Abb. 38 und 50). Dominant sind auch hier die Gammaproteobakterien mit einem prozentualen Anteil von 62 %. Der Mittelwert der 48 Sequenzlängen beträgt 1046 bp (Abb. 67), der aller maximalen Identitäten 97,5 % (Abb. 68). 9 ermittelte Sequenzen, die den Taxa *Ectothiorhodospira* spec. (Klon-Nr. 7), *Flavobacterium hercynium* (Klon-Nr. 24, 27 und 28), *Gaiella occulta* (Klon-Nr. 2), *Geobacter metallireducens* (Klon-Nr. 13), *Hyphomicrobium vulgare* (Klon-Nr. 31), *Methylocapsa aurea* (Klon-Nr. 48) und *Rhizobiales bacterium* (Klon-Nr. 18) zugeordnet werden können, liegen unterhalb des Schwellenwerts für Arten oder Gattungen.

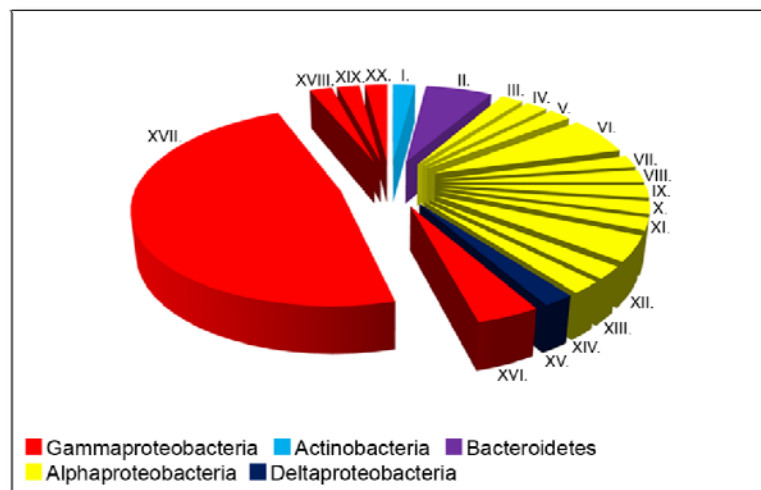


Abb. 38: Fressversuch *Asellus aquaticus* / Schwarzerlenblätter (B2P): I. *Gaiella occulta* (2 %); II. *Flavobacterium hercynium* (6 %); III. *Hyphomicrobium facile* subsp. *tolerans* (2 %); IV. *Hyphomicrobium vulgare* (2 %); V. *Methylobacterium zatmanii* (2 %); VI: *Methylocapsa aurea* (6 %); VII. *Methylocystis echinoides* (2 %); VIII. *Methylosinus trichosporium* (2 %); IX. *Rhizobiales bacterium* (2 %); X. *Rhodobacter* spec. (2 %); XI. *Pedomicrobium fusiforme* (2 %); XII. *Pedomicrobium manganicum* (4 %); XIII. *Sphingomonas* spec. (2 %); XIV. *Sphingopyxis* spec. (2 %); XV. *Geobacter metallireducens* (2 %); XVI. *Aeromonas hydrophila* subsp. *hydrophila* (6 %); XVII. *Aeromonas salmonicida*

subsp. *salmonicida* (48 %); XVIII. *Ectothiorhodospira* spec. (2 %); XIX. *Enterovibrio* spec. (2 %); XX. *Pseudomonas fluorescens* (2 %)

3.5.3.3 Probe B1E

In der Probe B1E wird nur DNA von *Asellus aquaticus* nachgewiesen (Abb. 50). Der Mittelwert der Sequenzlängen beträgt 1055 bp (Abb. 69), der aller maximalen Identitäten 99,0 % (Abb. 70). Alle Sequenzen liegen mit den ermittelten Identitäten oberhalb des Schwellenwerts für Arten.

3.5.3.4 Probe B2E

Auch in der Probe B2E kann nur DNA von *Asellus aquaticus* nachgewiesen werden (Abb. 50). Der Mittelwert der Sequenzlängen beträgt 1027 bp (Abb. 71), der aller maximalen Identitäten 99,0 % (Abb. 72). Sämtliche Sequenzen liegen mit den ermittelten Identitäten oberhalb des Schwellenwerts für Arten.

3.5.4 Freilandprobe *Asellus aquaticus*

20 über eine Hydrantenspülung gesammelten Individuen von *Asellus aquaticus* wurden nach der Artbestimmung die Därme präpariert und anschließend jeweils der Nahrungsbrei von 10 ganzen Därmern molekularbiologisch untersucht.

3.5.4.1 Probe Br1P

In der vorliegenden Probe können Vertreter der Alphaproteobakterien (*Haematobacter massiliensis*, *Rhodobacter* spec.) und Gammaproteobakterien (*Arenimonas* spec., *Erwinia persicina*) ermittelt werden (Abb. 39 und 49). Dominant ist hierbei mit einem prozentualen Anteil von 83 % die zu den Gammaproteobakterien zählende Gattung *Arenimonas* spec.. Der Mittelwert der 48 Sequenzlängen beträgt 934 bp (Abb. 73), der aller maximalen Identitäten 95,4 % (Abb. 74). 8 ermittelte Sequenzen, die als nächste kultivierte Verwandte die Gattung *Arenimonas* spec. (Klon-Nr. 20 und 43) und die Art *Haematobacter massiliensis* (Klon- Nr. 4, 9, 10, 21, 24 und 25) anzeigen, liegen unterhalb des Schwellenwerts für Arten oder Gattungen.

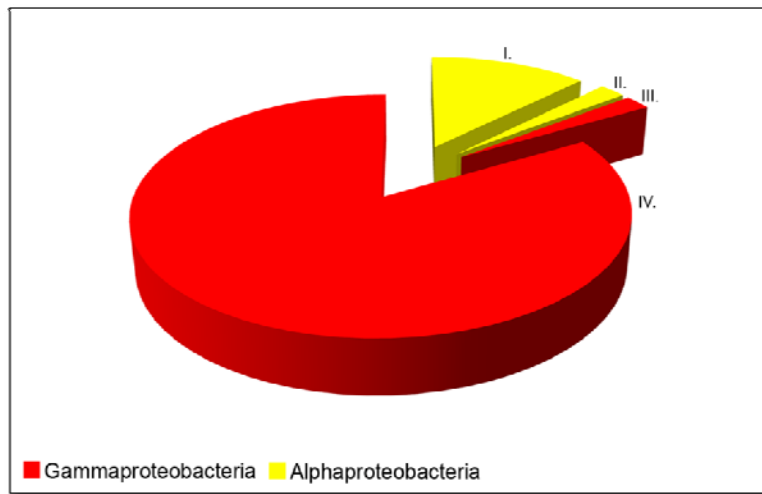


Abb. 39: Freilandprobe *Asellus aquaticus* (Br1P): I. *Haematobacter massiliensis* (13 %); II. *Rhodobacter* spec. (2 %); III. *Erwinia persicina* (2 %); IV. *Arenimonas* spec. (83 %)

3.5.4.2 Probe Br1E

In der Probe Br1E wird nur DNA von *Asellus aquaticus* nachgewiesen (Abb. 49). Der Mittelwert der Sequenzlängen beträgt 961 bp (Abb. 75), der aller maximalen Identitäten 99,0 % (Abb. 76). Alle Sequenzen liegen mit den ermittelten Identitäten oberhalb des Schwellenwerts für Arten.

3.5.5 Freilandproben *Proasellus cavaticus*

Individuen von *Proasellus cavaticus* wurden über Hydrantenspülungen an zwei Probenahmepunkten in einem deutschen Trinkwasserverteilungssystem im März 2012 (Hydrant 1: Proben-Nr. = E1; Hydrant 2: Proben-Nr. E45), im September 2012 (Hydrant 1: Proben-Nr. = EI und EV; Hydrant 2: Proben-Nr. EIII und EVII) und im November 2012 (Hydrant 1: Proben-Nr. = EII und EVI; Hydrant 2: Proben-Nr. EIV und EVIII) gesammelt und pro Analyse jeweils der Nahrungsbrei von 10 ganzen Därmen untersucht.

3.5.5.1 Probe E1P

Den ermittelten Sequenzen der vorliegenden Probe können Vertreter der Actinobakterien (*Aciditerrimonas* spec., *Microbacterium lacus* und *Microbacterium oxydans*), Bacteroidetes (*Flavobacterium* spec.), Firmicutes (*Exiguobacterium undae*), Alpha-proteobakterien (*Afipia* spec., *Brevundimonas bullata*, *Caulobacter vibrioides*,

Haematobacter massiliensis, *Pseudorhodobacter* spec. und *Rhizobium* spec.), Beta-proteobakterien (*Rastonia picketii*) und Gammaproteobakterien (*Arenimonas* spec., *Pantoea agglomerans* und *Pseudomonas denitrificans*) zugeordnet werden (Abb. 40 und 51). Dominant ist hierbei die zu den Gammaproteobakterien zählende Gattung *Arenimonas* spec. mit einem prozentualen Anteil von 67 %. Der Mittelwert der 48 Sequenzlängen beträgt 748 bp (Abb. 77), der aller maximalen Identitäten 96,2 % (Abb. 78). 5 der ermittelten DNA-Sequenzen, die als nächste kultivierte Verwandte die Taxa *Aciditerrimonas* spec. (Klon-Nr. 26), *Arenimonas* spec. (Klon-Nr. 28), *Haematobacter massiliensis* (Klon-Nr. 20 und 47) und *Pseudomonas denitrificans* (Klon-Nr. 25) anzeigen, liegen unterhalb des Schwellenwerts für Arten oder Gattungen. Die Gattung *Arenimonas* spec. unterschreitet hierbei nur für eine Sequenz und um 1 % diesen in der Literatur beschriebenen Schwellenwert.

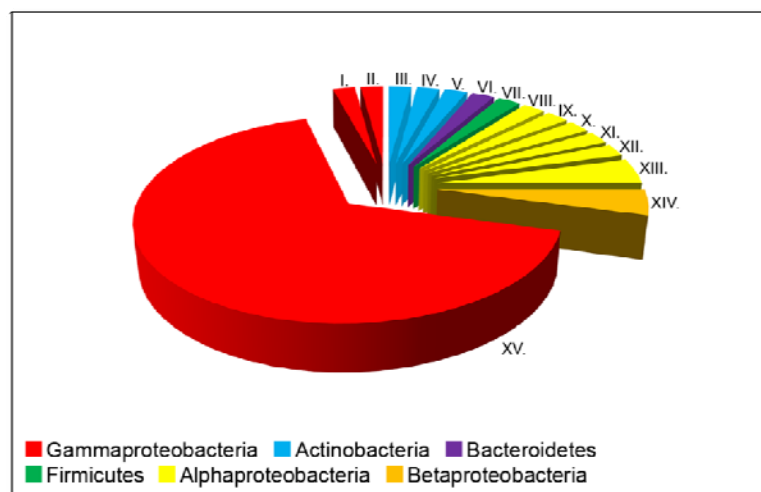


Abb. 40: Freilandprobe *Proasellus cavaticus* (EIP): I. *Pantoea agglomerans* (2 %); II. *Pseudomonas denitrificans* (2 %); III. *Aciditerrimonas* spec. (2 %); IV. *Microbacterium lacus* (2 %); V: *Microbacterium oxydans* (2 %); VI. *Flavobacterium* spec. (2 %); VII. *Exiguobacterium undae* (2 %); VIII. *Brevundimonas bullata* (2 %); IX. *Caulobacter vibrioides* (2 %); X. *Afipia* spec. (2 %); XI. *Rhizobium* spec. (2 %); XII. *Haematobacter massiliensis* (2 %); XIII. *Pseudorhodobacter* spec. (5 %); XIV. *Rastonia picketii* (4 %); XV. *Arenimonas* spec. (67 %)

3.5.5.2 Probe EIP

In der Probe EIP werden ausschließlich Betaproteobakterien (*Acidivorax* spec. und *Pelomonas saccharophila*) nachgewiesen (Abb. 41 und 51). Das vorherrschende Taxon ist hierbei die Gattung *Acidivorax* spec.. Der Mittelwert der Sequenzlängen beträgt 1131 bp (Abb. 79), der aller maximalen Identitäten 98,9 % (Abb. 80). Alle Sequenzen

liegen mit den ermittelten Identitäten oberhalb des Schwellenwerts für Arten oder Gattungen.

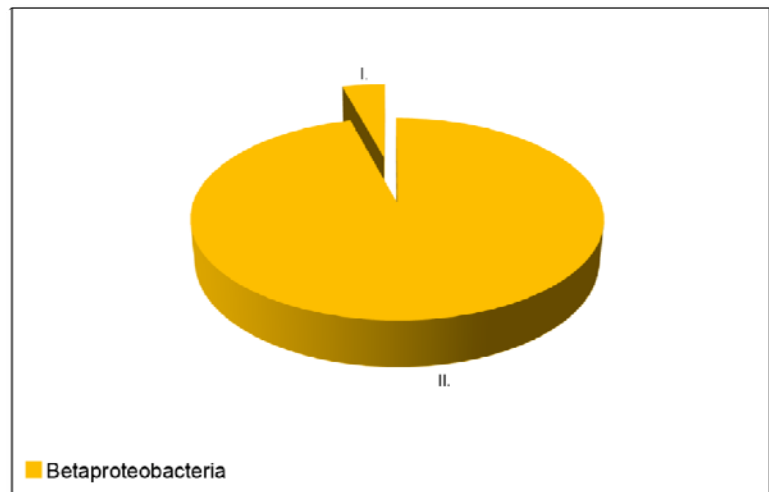


Abb. 41: Freilandprobe *Proasellus cavaticus* (EIP): I. *Pelomonas saccharophila* (4 %); II. *Acidovorax* spec. (96 %)

3.5.5.3 Probe EIIP

Sämtliche ermittelte Sequenzen können der Betaproteobakterien-Gattung *Acidovorax* spec. zugeordnet werden (Abb. 51). Der Mittelwert der Sequenzlängen beträgt 1046 bp (Abb. 81), der aller maximalen Identitäten 98,7 % (Abb. 82). Alle Sequenzen liegen mit den ermittelten Identitäten oberhalb des Schwellenwerts für Gattungen.

3.5.5.4 Probe E45P

In der vorliegenden Probe können Vertreter der Actinobakterien (*Microbacterium paraoxydans*), Bacteroidetes (*Flavobacterium* spec.), Firmicutes (*Exiguobacterium undae*), Alphaproteobakterien (*Haematobacter massiliensis*, *Rhodobacter changlensis*, *Rhodobacter ovatus*, *Rhodobacter* spec. und *Pseudorhodobacter* spec.) und Gamma-proteobakterien (*Acinetobacter johnsonii*, *Arenimonas* spec., *Erwinia rhabontici*, *Pseudomonas* spec., *Steroidobacter denitrificans* und *Steroidobacter* spec.) nachgewiesen werden (Abb. 42 und 52). Auch in dieser Freilandprobe ist die Gattung *Arenimonas* spec. mit einem prozentualen Anteil von 54 % das dominante Taxon. Der Mittelwert der Sequenzlängen beträgt 819 bp (Abb. 83), der aller maximalen Identitäten 96,0 % (Abb. 84). 9 ermittelte Sequenzen, die als nächste kultivierte Verwandte die Taxa *Arenimonas* spec. (Klon-Nr. 5, 13, 38 und 42), *Haematobacter massiliensis*

(Klon-Nr. 4 und 17), *Pseudomonas* spec. (Klon-Nr. 41), *Steroidobacter denitrificans* (Klon-Nr. 1) und *Steroidobacter* spec. (Klon-Nr. 16) anzeigen, liegen unterhalb des Schwellenwerts für Arten oder Gattungen.

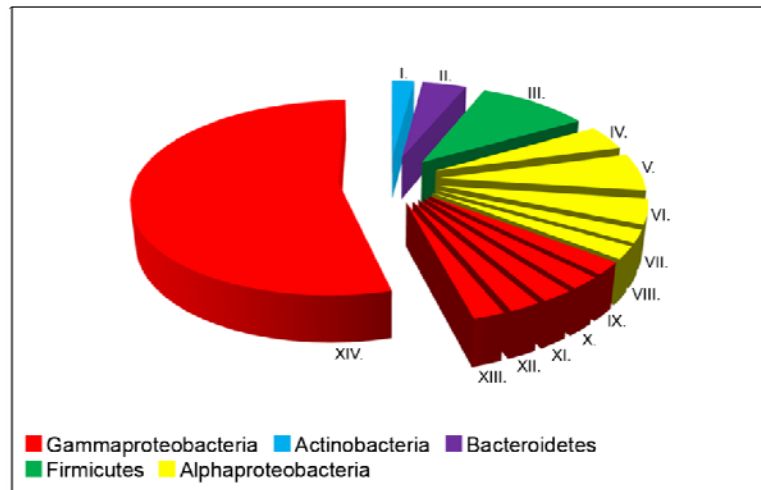


Abb. 42: Freilandprobe *Proasellus cavaticus* (E45P): I. *Microbacterium paraoxydans* (2 %); II. *Flavobacterium* spec. (4 %); III. *Exiguobacterium undae* (11 %); IV. *Haematobacter massiliensis* (4 %); V: *Rhodobacter changensis* (7 %); VI. *Rhodobacter* spec. (4 %); VII. *Rhodobacter ovatus* (2 %); VIII. *Pseudorhodobacter* spec. (2 %); IX. *Erwinia rhabontici* (2 %); X. *Acinetobacter johnsonii* (2 %); XI. *Pseudomonas* spec. (2 %); XII. *Steroidobacter denitrificans* (2 %); XIII. *Steroidobacter* spec. (2 %); XIV. *Arenimonas* spec. (54 %)

3.5.5.5 Probe EIIIP

In der Probe EIIIP können Vertreter der Actinobakterien (*Mycobacterium* spec.; prozentueller Anteil = 2%), Alphaproteobakterien (*Bradyrhizobium* spec.; prozentueller Anteil = 2%) und Betaproteobakterien (*Acidovorax* spec.) ermittelt werden (Abb. 52). Die Gattung *Acidovorax* spec. ist mit einem prozentualen Anteil von 96 % das vorherrschende Taxon. Der Mittelwert der Sequenzlängen beträgt 999 bp (Abb. 85), der aller maximalen Identitäten 98,8 % (Abb. 86). Sämtliche Sequenzen liegen mit den ermittelten Identitäten oberhalb des Schwellenwerts für Gattungen.

3.5.5.6 Probe EIVP

In der Probe EIVP können die 48 ermittelten Sequenzen Vertretern der Alphaproteobakterien (*Hyphomicrobium* spec.) und Betaproteobakterien (*Acidovorax* spec.) zugeordnet werden (Abb. 52). Auch hier dominiert die Gattung *Acidovorax* spec. mit einem

prozentualen Anteil von 96 %. Der Mittelwert der Sequenzlängen beträgt 1022 bp (Abb. 87), der aller maximalen Identitäten 98,7 % (Abb. 88). Bis auf eine Klon-Sequenz (*Hyphomicrobium* spec., Klon-Nr. 35) zeigen sich die ermittelten Identitäten auf oder über dem Schwellenwert für Arten oder Gattungen.

3.5.5.7 Probe E1E

Den 48 ermittelten Sequenzen der Probe E1E können Vertreter der Amoebozoa (*Protacanthamoeba bohemica*), Heterolobosea (*Naegleria* spec.), Fungi (*Acremonium strictum*, *Gibberella moniliformis* und *Pichia* spec.) und Crustacea (*Proasellus cavaticus*) zugeordnet werden (Abb. 43 und 51). Der Mittelwert der Sequenzlängen beträgt 1000 bp (Abb. 89), der aller maximalen Identitäten 99,0 % (Abb. 90). Sämtliche ermittelte Sequenzen zeigen sich oberhalb des Schwellenwerts für Arten oder Gattungen.

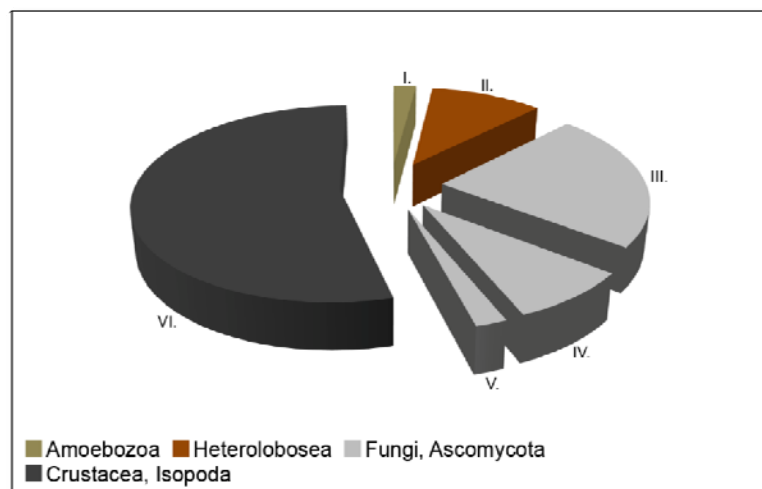


Abb. 43: Freilandprobe *Proasellus cavaticus* (E1E): I. *Protacanthamoeba bohemica* (2 %); II. *Naegleria* spec. (11 %); III. *Gibberella moniliformis* (23 %); IV. *Acremonium strictum* (8 %); V. *Pichia* spec. (2 %); VI. *Proasellus cavaticus* (54 %)

3.5.5.8 Probe EVE

Den 48 Sequenzen der Probe EVE können unterschiedliche Pilz-Taxa (*Cladosporium* spec., *Fusarium* spec., *Gibberella moniliformis*, *Phoma* spec.) und ein Isopoden-Taxon (*Proasellus cavaticus*) zugeordnet werden (Abb. 44 und 51). Der Mittelwert der Sequenzlängen beträgt 1092 bp (Abb. 91), der aller maximalen Identitäten 98,9 % (Abb.

92). Sämtliche ermittelte Sequenzen zeigen sich oberhalb des Schwellenwerts für Arten oder Gattungen.

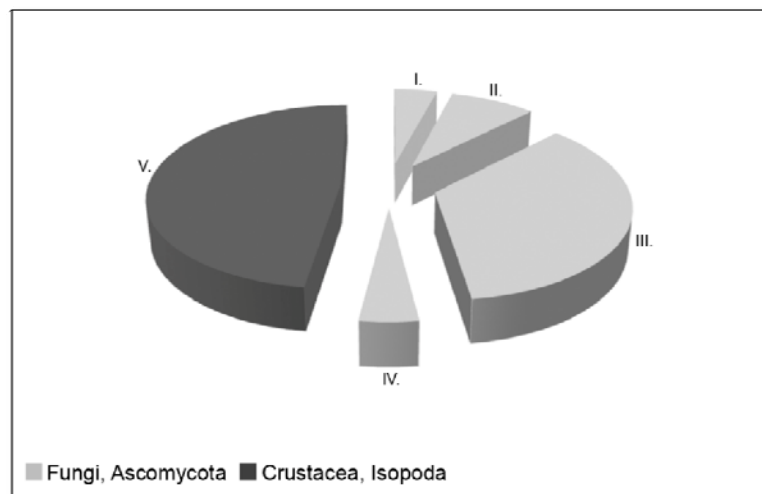


Abb. 44: Freilandprobe *Proasellus cavaticus* (EVE): I. *Cladosporium* spec. (4 %); II: *Fusarium* spec. (8 %); III: *Gibberella moniliformis* (36 %); IV: *Phoma* spec. (4 %); V. *Proasellus cavaticus* (48 %)

3.5.5.9 Probe EVIE

Den Sequenzen der Probe EVIE können zwei unterschiedliche Pilz-Taxa (*Aspergillus* spec. und *Gibberella moniliformis*) und die Isopoden-Art *Proasellus cavaticus* zugeordnet werden (Abb. 45 und 51). Der Mittelwert der Sequenzlängen beträgt 1081 bp (Abb. 93), der aller maximalen Identitäten 98,9 % (Abb. 94). Sämtliche ermittelte Sequenzen zeigen sich oberhalb des Schwellenwerts für Arten oder Gattungen.

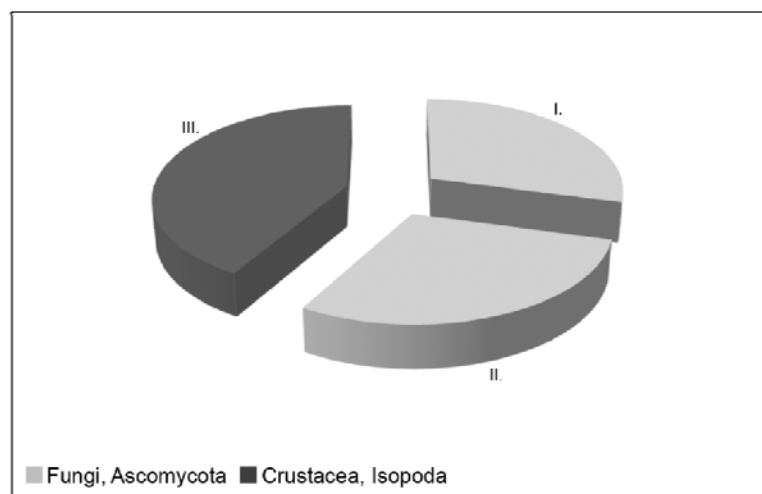


Abb. 45: Freilandprobe *Proasellus cavaticus* (EVIE): I. *Aspergillus* spec. (29 %); II: *Gibberella moniliformis* (29 %); III: *Proasellus cavaticus* (42 %)

3.5.5.10 Probe E45E

Den 48 ermittelten Sequenzen der Probe E45E können Vertreter der Amoebozoa (*Protacanthamoeba bohemica*), Heterolobosea (*Naegleria* spec.), Fungi (*Gibberella moniliformis* und *Sarocladium kiliense*) und Isopoden (*Proasellus cavaticus*) zugeordnet werden (Abb. 46 und 52). Der Mittelwert der Sequenzlängen beträgt 1025 bp (Abb. 95), der aller maximalen Identitäten 98,9 % (Abb. 96). Sämtliche ermittelte Sequenzen zeigen sich oberhalb des Schwellenwerts für Arten oder Gattungen.

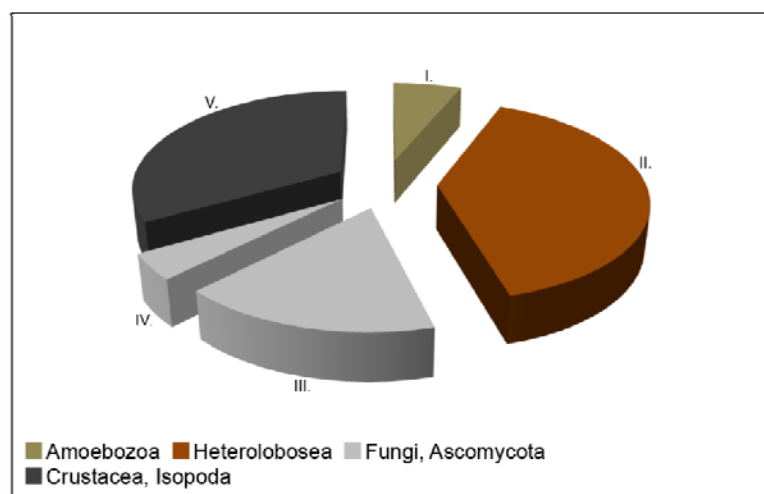


Abb. 46: Freilandprobe *Proasellus cavaticus* (E45E): I. *Protacanthamoeba bohemica* (6 %); II. *Naegleria* spec. (40 %); III. *Gibberella moniliformis* (17 %); IV. *Sarocladium kiliense* (4 %); V. *Proasellus cavaticus* (33 %)

3.5.5.11 Probe EVIIIE

Den 48 Sequenzen der Probe EVIIIE können eine Pilz- (*Gibberella moniliformis*; prozentualer Anteil = 19 %) und eine Assel-Art (*Proasellus cavaticus*; prozentualen Anteil = 81 %) zugeordnet werden (Abb. 52). Der Mittelwert der Sequenzlängen beträgt 1050 bp (Abb. 97), der aller maximalen Identitäten 98,9 % (Abb. 98). Sämtliche ermittelte Sequenzen zeigen sich oberhalb des Schwellenwerts für Arten.

3.5.5.12 Probe EVIIIE

Auch den 48 Sequenzen der Probe EVIIIE können eine Pilz- (*Gibberella moniliformis*; prozentualer Anteil = 27 %) und eine Assel-Art (*Proasellus cavaticus*; prozentualer Anteil = 73 %) zugeordnet werden (Abb. 52). Der Mittelwert der Sequenzlängen beträgt

hier 1066 bp (Abb. 99), der aller maximalen Identitäten 98,9 % (Abb. 100). Keine der ermittelten Sequenzen zeigt sich unterhalb des Schwellenwerts für Arten.

3.5.6 Zusammenfassende Darstellungen der DNA-Analysen

Nachfolgend werden die unter Abschn. 3.5.1-3.5.5 beschriebenen Ergebnisse der molekularbiologischen Untersuchungen ergänzend in inhaltlich verdichteten Übersichtsdigrammen dargestellt (Abb. 48-52). Die in den Darminhaltsproben ermittelten Arten und Gattungen werden hierzu jeweils dem übergeordneten Taxon zugeordnet. Für die Prokaryonten ist eine Aufteilung in Bacteroidetes, Firmicutes, Actinobacteria, Alphaproteobacteria, Betaproteobacteria, Deltaproteobacteria und Gammaproteobacteria – für die Eukaryonten eine in Amoebozoa, Heterolobosea, Ascomycota und Isopoda vorgenommen worden. In Abb. 47 sind die für die unterschiedlichen Taxa verwendeten Farbcodes dargestellt.

Prokaryota:	Eukaryota:
Actinobacteria	Amoebozoa
Bacteroidetes	Heterolobosea
Firmicutes	Fungi, Ascomycota
Alphaproteobacteria	Crustacea, Isopoda
Betaproteobacteria	
Deltaproteobacteria	
Gammaproteobacteria	

Abb. 47: Farbcodierung der übergeordneten Taxa

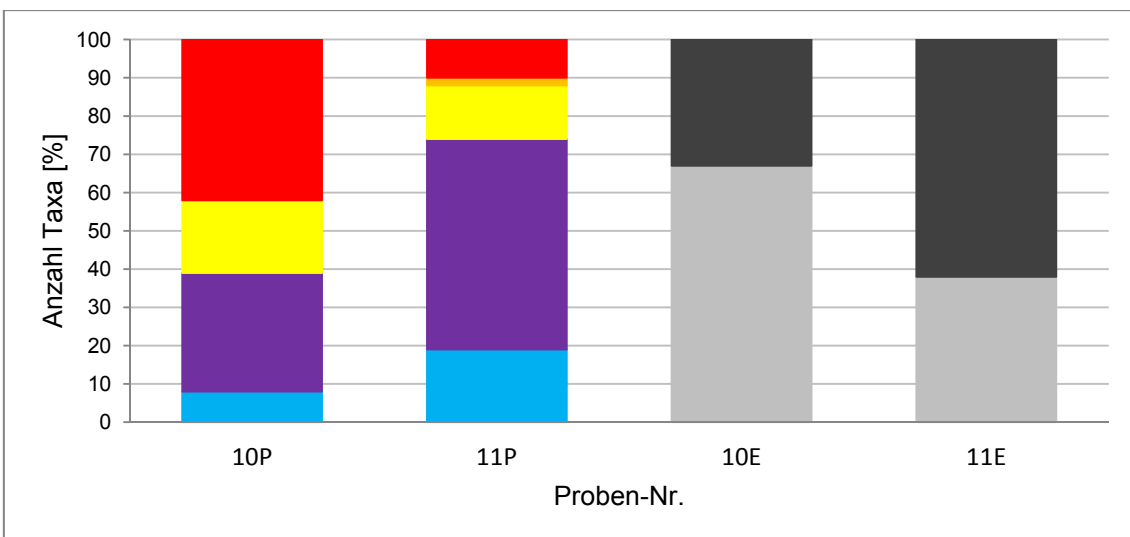


Abb. 48: Übersichtsdarstellung der DNA-Analysenergebnisse Proben 10 und 11

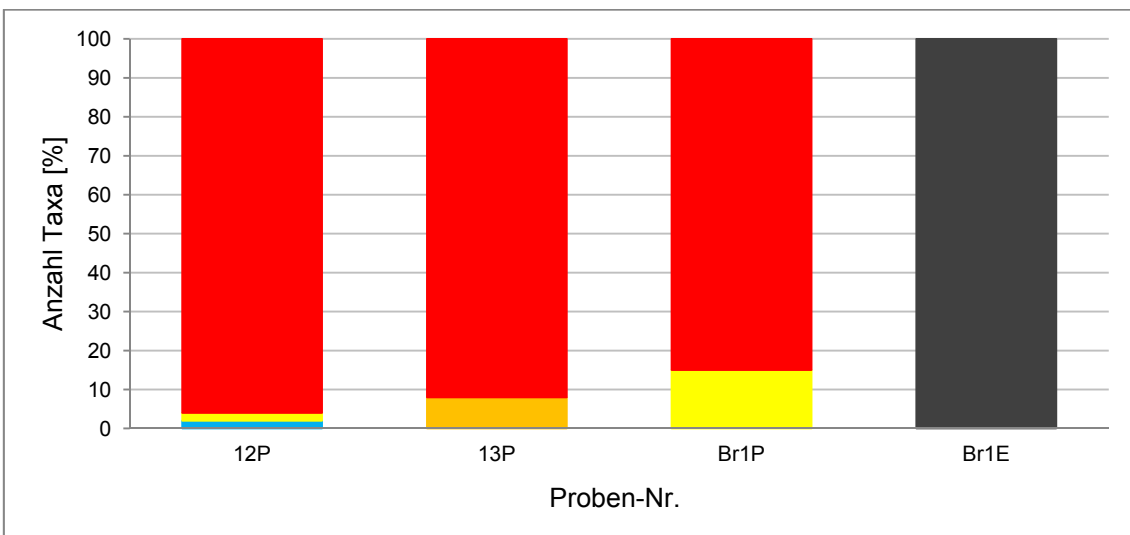


Abb. 49: Übersichtsdarstellung der DNA-Analysenergebnisse Proben 12, 13 und Br1

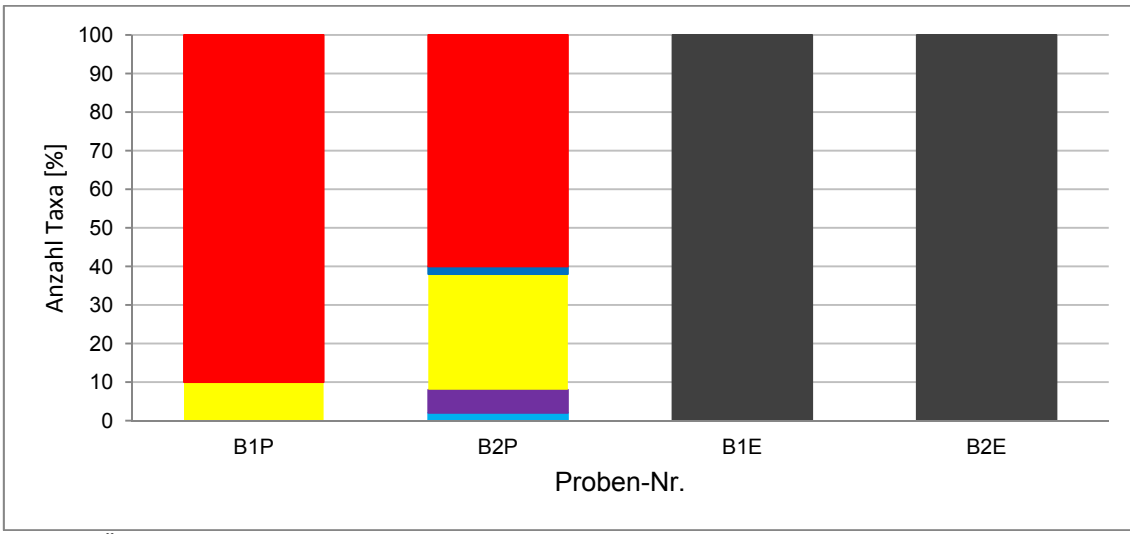


Abb. 50: Übersichtsdarstellung der DNA-Analysenergebnisse Proben B1

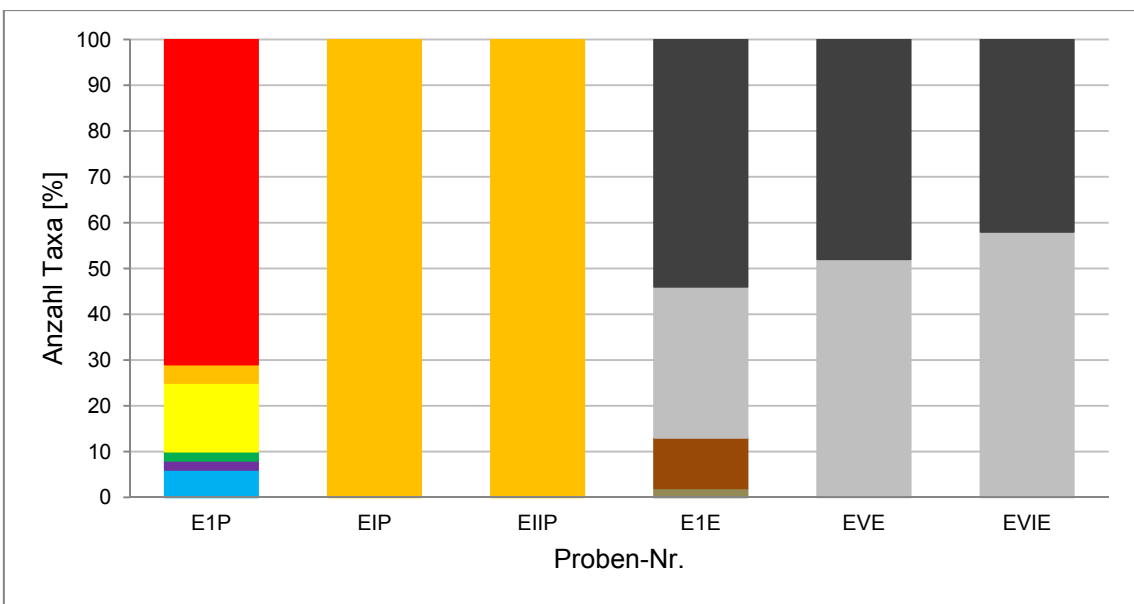


Abb. 51: Übersichtsdarstellung der DNA-Analysenergebnisse Proben E1, EI, EII, EV, EVI

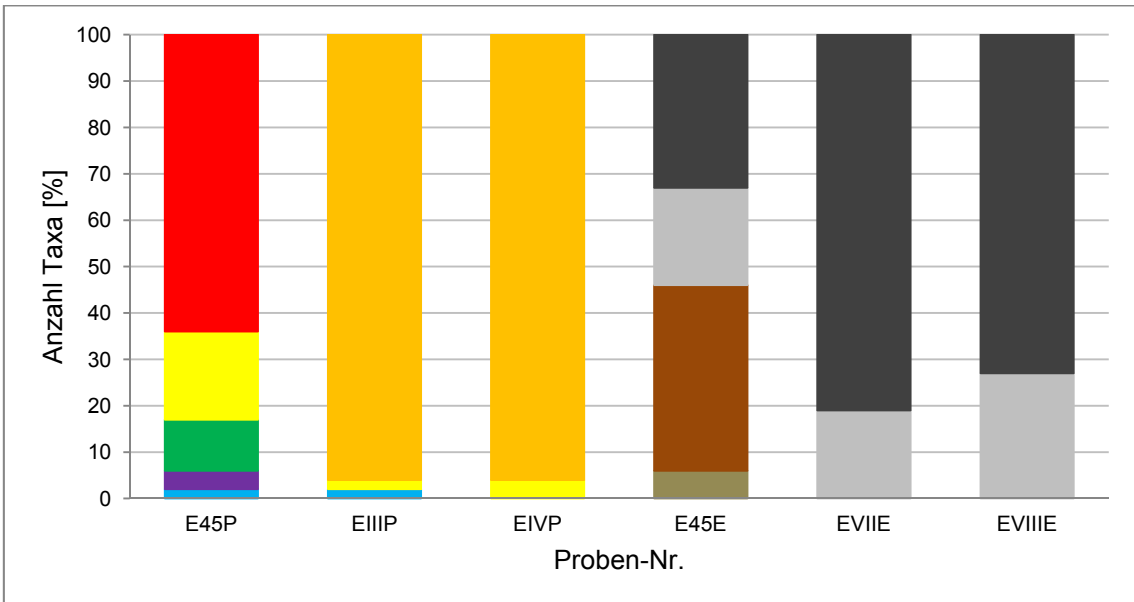


Abb. 52: Übersichtsdarstellung der DNA-Analysenergebnisse Proben E45, EIII, EIV, EVII, EVIII

4 Diskussion

In der vorliegenden Arbeit wurden Aspekte zur Ernährungsweise von Wasserasseln in Trinkwasserverteilungssystemen untersucht. Im Folgenden werden die Ergebnisse bewertet und diskutiert. Es wurden Isopoden aus unterschiedlichen deutschen Trinkwasserverteilungsnetzen über Hydrantenspülungen gesammelt (Abschn. 4.2) und parallel hierzu Tiere im Labor unter definierten Bedingungen gehältert und mit unterschiedlichen Nahrungsquellen gefüttert (Abschn. 4.4). Die Darminhalte ausgewählter Asseln wurden molekularbiologisch auf Basis der 16S und 18S rDNA untersucht und charakterisiert (Absch. 4.5). Ergänzend hierzu wurden elektronenmikroskopische- und lichtmikroskopische Untersuchungen (Abschn. 4.3 und 4.1) durchgeführt.

4.1 Morphologische Artbestimmung

Da eine eindeutige Artbestimmung der heimischen Wasserasseln momentan nur über die Betrachtung der Gonopoden möglich ist, wurden alle im Rahmen dieser Arbeit untersuchten Individuen entsprechend lichtmikroskopisch identifiziert. Die über Hydrantenspülungen gesammelten Tiere konnten so eindeutig den Taxa *Asellus aquaticus* (Abb. 15) und *Proasellus cavaticus* (Abb. 17) zugeordnet werden. Doch allein für *Proasellus cavaticus* nennt HENRY (1976) insgesamt 11 Unterarten, die jeweils nur über minimale Variationen im Bau der Gonopoden, vor allem in der Ausprägung des lappenartigen Zipfels und der Öffnung des Samenbehälters am Endopoditen, unterscheidbar seien (Abb. 17; grüne und rote Pfeile). So wurde auf seinen Vorschlag hin die ehemals als *cavaticus*-Unterart beschriebene Form „*walteri* (CHAPPUIS, 1948)“ als eigenständige Art anerkannt. Nachweise dieser Isopodenart liegen für Deutschland aus einem Brunnen in Freiburg vor (STEENKEN 1998). WÄGELE (2007) wertet die existierenden Beschreibungen der genannten Unterarten jedoch als sehr mangelhaft und weist darauf hin, dass eine Abgrenzung von Populationen hierüber kaum nachvollziehbar sei. Weiter erwartet er, dass angesichts der weiten Verbreitung der *cavaticus*-Gruppe ein ausgeprägter Polymorphismus vorkommt. Da bis heute der Status vieler Asseltaxa ungeklärt ist, kann künftig nur eine Kombination aus klassischen, morphologischen Artbeschreibungen und modernen, genetischen Populationsanalysen zur Klärung der Verwandtschaftsverhältnisse beitragen. Voraussetzungen hierfür sind neben detaillierteren Kenntnissen über die

Verbreitungsareale der Taxa auch die Zugänglichkeit dieser Lebensräume für eine Beprobung.

4.2 Isopoden in Trinkwasserverteilungssystemen

WÄGELE (2007) nennt als natürliche Habitate von *Proasellus cavaticus* verschiedene Typen unterirdischer Gewässer, wie Höhlen und Karstgewässer, sowie grobsubstratige Lückensysteme am Rand von Fließgewässern. Für Deutschland zählen WÄCHTLER (1937) und er folgende Fundstätten auf: Leine bei Gronau, Brunnen an der Oker bei Braunschweig, Ufergrundwasser der Weser zwischen Hameln und Holzminden, Klausenthaler Gruben und Grumbacher Stollen im Harz, Kluterthöhle bei Ennepetal in Westfalen, Erdmannshöhle in Baden, Ufergrundwasser des Rheins und der Sieg zwischen Bonn und Siegburg, Höhlen des Siebengebirges, Hilgerhäuser Höhle in Hessen-Nassau, im Einzugsgebiet der Saale bei Bad Langensalza, Falkensteiner Höhle bei Urach in Württemberg sowie Brunnen bei Aschaffenburg, Biberach, Freiburg im Breisgau, Tübingen, München, Idstein im Taunus, Elberfeld, Bonn, Hameln, Holzminden und Breisach am Rhein. Die von HUSSON & DAUM (1955) in einer Erzgrube in Lothringen gefundenen Individuen von *Proasellus cavaticus* hielten sich bei einer Wassertemperatur von 12,6 °C bevorzugt im ruhigen, stagnierenden Wasser auf, wobei der Untergrund des 20 bis 40 cm tiefen Gewässers aus faustgroßen Geröllbrocken, Resten alter Grubenstempel und fauligem Kalkschlamm bestand. Auch die im Rahmen dieser Arbeit gesammelten Individuen von *Proasellus cavaticus* zeigten sich in Trinkwasserrohrleitungsabschnitten mit Stagnationsbereichen besonders individuenstark, was über den Austrag großer Mengen flockigen, eisenhaltigen Bodensediments bei den Hydranten-spülungen dokumentiert werden konnte (Abb. 12 und 16). Bei den in Tab. 11 dargestellten Untersuchungsergebnisse einer 384 m langen Grauguss-Rohrstrecke, welche von März 2012 bis März 2013 insgesamt fünfmal beprobt wurde, fällt auf, dass der Trübunggrad der Proben von März 2012 bis November 2012 stetig abnimmt, im März 2013 dann aber wieder leicht ansteigt. Analog hierzu zeigten sich die Verläufe der dokumentierten Detrituspaket-, Asselkot-Pellet- und Eisenkonzentrationen, sowie die Individuendichten von *Proasellus cavaticus*. Bekannt ist, dass die Art pro Jahr oft nur eine Brut, bestehend aus 5 bis über 60 Eiern produziert und die Embryonalentwicklung unter den Temperaturbedingungen des Grundwassers (11 °C) ca. 2,5 Monate dauert (WÄGELE 2007). Nach GRUNER et al. (1993) werden trächtige Weibchen dabei zwi-

schen Oktober und März angetroffen. Ein Anstieg der Populationsdichten über die Wintermonate entspricht somit dem natürlichen Entwicklungszyklus dieser Asselart. Im Gegensatz zu *Proasellus cavaticus* ist *Asellus aquaticus* über ganz Deutschland weit verbreitet. WÄGELE (2007) nennt als Fundorte Uferbereiche von Seen, kleine Teiche, Randzonen von Fließgewässern sowie Gräben und selbst, wenn auch selten, unterirdische Gewässer und das Grundwasser. Als wichtigste Eintragsquellen für Wasserasseln in Trinkwasserverteilungssysteme führt CHRISTENSEN (2011a) den Weg über das Rohwasser, Rohrbrüche und Baumaßnahmen in Verteilungsnetzen auf. Da der Terminus „Wasserassel“ in vielen, vor allem populärwissenschaftlichen Arbeiten, jedoch fälschlicherweise als Synonym für das Taxon *Asellus aquaticus*, die Gemeine Wasserassel, verwendet wird, muss hier zukünftig genauer differenziert werden. Für Arten, die wie *A. aquaticus* primär in Oberflächengewässern anzutreffen sind, stellen in der Tat Leckagen und Rohr-Reparaturstellen wohl präferierte Eintragswege dar. Doch Taxa, welche bislang vor allem in unterirdischen Habitaten angetroffen wurden und morphologisch wie ökologisch optimal an diese Lebensräume angepasst sind, werden wohl eher über das Grundwasser in Trinkwasserverteilungsnetze eingespült.

4.3 Rasterelektronenmikroskopische EDX Untersuchungen

Am Rasterelektronenmikroskop (REM) können mittels Energiedispersiver Röntgenanalyse (EDX) in einem Bereich von ca. 1 µm um den gewählten Messpunkt chemische Elemente ab der Ordnungszahl 6 (Kohlenstoff) bestimmt werden. Zur Aussendung ihrer charakteristischen Röntgenstrahlung müssen die Atome hierfür über einen Elektronenstrahl angeregt werden. Der Strahldurchmesser betrug bei den im Rahmen dieser Arbeit durchgeführten Untersuchungen je nach Vergrößerungsstufe zwischen 20 und 50 nm. In den EDX-Spektren (Abb. 22, 23, 25, 26, 27, 29, 30 und 32) dominieren je nach Wahl der Messpunkte in den Darmquerschnitten die Elemente Kohlenstoff (C), Sauerstoff (O), Calcium (Ca) und Eisen (Fe). Einige REM-Bilder zeigen deutliche, sowohl farbliche als auch strukturelle Unterschiede zwischen dem jeweils einheitlich dunkel gefärbten organischen Nahrungsbrei und den darin eingestreuten helleren, abgerundeten bis kantigen Partikeln. Vor allem in zwei EDX-Spektren (Abb. 26 und 29) charakterisieren hierbei die detektierten Röntgenquanten des Elements Kohlenstoff mit Werten zwischen 1890 und 4720 counts besonders deutlich organisches Material als Haupt-

komponente der Darminhalte (Abb. 24B-Pfeil 2 und Abb. 28B-Pfeil 1), wohingegen die hellen Partikel im Nahrungsbrei als Calciumcarbonat (CaCO_3 , Kalk; Abb. 24B-Pfeil 1, Abb. 25, Abb. 28B-Pfeil 2 und Abb. 30) oder eisenhaltiges Material (Abb. 24B-Pfeil 3 und Abb. 27) identifiziert werden können. Es ist bekannt, dass Krebse ihre Cuticula mit Kalkeinlagerungen inkrustieren – daher auch die umgangssprachliche Bezeichnung Krustentiere. Vor der für alle Arthropoden typischen Häutung wird zumindest ein Teil des Kalks resorbiert und in verschiedenen Körperorganen für den Aufbau der nächsten Cuticula gespeichert, der restliche Kalk wird über die Nahrung oder direkt aus dem Wasser aufgenommen (GRUNER et al. 1993). Abb. 24 zeigt im Darmquerschnitt eines Individuums von *Asellus aquaticus* aus einem Trinkwasserverteilungssystem (Probe Br1) deutlich abgegrenzte, große Kalkpartikel mit Kantenlängen von bis zu 14 µm. Die Gesamthärte des Wassers betrug zum Probenahmezeitpunkt 13,4 °dH. Vergleichend hierzu dokumentiert Abb. 21 den Darmquerschnitt eines adulten, männlichen Tieres von *Proasellus cavaticus* aus einem anderen Trinkwasserverteilungssystem (Probe E1) mit einer Wasserhärte von 13,5 °dH. Die EDX-Spektren zeigen hier an den Messpunkten zwar Calciumcarbonat an (Abb. 22 und 23), doch der Nahrungsbrei stellt sich insgesamt, sowohl farblich als auch strukturell, sehr homogen dar – deutlich abgegrenzte Kalkpartikel sind hier nicht erkennbar. Im rasterelektronenmikroskopischen Darmquerschnittsbild eines Individuums von *Asellus aquaticus* aus einem definierten Hälterungsversuch ohne Nahrungszugabe (Abschn. 2.2.2; Probe 12) zeigen sich wenige, in den organischen Nahrungsbrei eingestreute, maximal 1 µm große Kalkpartikel (Abb. 28B-Pfeil 2; Gesamtwasserhärte 13,5 °dH). Faktoren, welche die Menge und Größe der Kalkpartikel in den Asseldärmen beeinflussen können, sind wahrscheinlich vor allem in der Verfügbarkeit der Elemente Calcium, Kohlenstoff und Sauerstoff im Wasser, sowie der Ökologie der einzelnen Isopodentaxa zu suchen. Da primär grundwasserbewohnende Wasserasseln, wie die untersuchte Art *Proasellus cavaticus*, in ihren Lebensräumen zumeist die größten Organismen darstellen und somit keinem großen Feinddruck ausgesetzt sind, ist die Ausbildung einer besonders dicken Cuticula, einhergehend mit der Einlagerung entsprechender Mengen an Kalk, nicht notwendig. Bei Taxa, welche wie *Asellus aquaticus* vor allem Oberflächengewässer besiedeln und somit einem steten Räuberdruck unterliegen, stellen stärker sklerotisierte Körperhüllen hingegen eine wichtige Überlebensstrategie dar. Auch das Element Eisen zeigt in einigen EDX-Spektren (Abb. 22, 23 und 27) deutliche Peaks an. An beiden Messpunkten in Abb. 21B (Pfeile 1 und 2) zeigt sich der Nahrungsbrei hierbei jedoch nur wenig kontrastiert, wo-

hingegen in Abb. 24B (Pfeil 3) am Detektionspunkt kleine, maximal 1 µm lange, hell kontrastierte Partikel erkennbar sind. Entsprechende eisenhaltige Teilchen könnten selektiv über das Fressen eisenoxidierender Mikroorganismen, wie z. B. der Bakterienart *Leptothrix ochracea* aufgenommen worden sein. Die Energie beziehen diese Prokaryonten über die Oxidation von Fe²⁺ zu Fe³⁺. Aus dem in fester Form ausfallenden Fe³⁺ bilden die Bakterien Scheiden, in welchen sich die einzelnen Procyten frei bewegen können und der Stoffaustausch mit der Umwelt somit nicht unterbrochen wird (SCHLEGEL & JANNASCH 2006). Bei den im Rahmen dieser Arbeit durchgeführten Hydrantenspülungen korrelierten die dokumentierten Massenvorkommen von Isopoden in Graugussrohrleitungen stets mit großen Austragsmengen eisenhaltiger Bodensedimente, was ein Indiz dafür sein könnte, dass Isopoden Eisenpartikel unselektiv bei der Nahrungssuche in Stagnationsbereichen in Form verfrachteter Reste eisenoxidierender Mikroorganismen oder stark zerkleinerter Graugussbruchstücke aufnehmen. Grauguss oder Gusseisen ist eine Eisenlegierung mit einem hohen Anteil an Kohlenstoff und Silikon sowie Mangan, Chrom oder Nickel.

Die durchgeführten rasterelektronenmikroskopischen EDX Untersuchungen eignen sich als ergänzende Methode zur Charakterisierung von Asseldarminhalten. Eisenhaltige Partikel im Nahrungsbrei von Isopoden könnten Verockerungen und/oder Stagnationsbereiche in Graugussrohrabschnitten anzeigen. Detailliertere Informationen über die Zusammensetzung der Darminhalte, bzw. eine konkrete Nennung der aufgenommenen Nahrung, sind hierüber jedoch nicht möglich. Zur Klärung dieser Frage wurden definierte Fütterungsversuche und molekularbiologische Untersuchungen von Asseldarminhalten durchgeführt (Absch. 4.4 und 4.5).

4.4 Fressversuche

Ausgehend von zahlreichen ökologischen Beobachtungen an *Asellus aquaticus* und *Proasellus cavaticus* (z. B. HENRY 1976; GRUNER 1965) weist WÄGELE (2007) darauf hin, dass beide Taxa primär omnivor sind. Von einer überwiegend vegetarischen Ernährung, bei der die Asseln verrottendes Laub mit den Mundwerkzeugen zerbeißen, könne seiner Meinung nach jedoch ausgegangen werden. Diese Vermutung setzt jedoch voraus, dass in den Lebensräumen pflanzliches Material stets verfügbar ist. Ergänzend hierzu nennt der Autor als geeignete Nahrungsquelle für in Minen lebende Populati-

onen von *Proasellus cavaticus* Pilze, welche auf faulenden Stützhölzern wachsen. Hingegen würden in sauberen Felsgewässern Cyanobakterien und Kieselalgen bevorzugt. Für GRAÇA et al. (1993a, b; 1994) sind nicht die Pflanzenzellen von Blättern an sich als Nahrung für Wasserasseln anzusehen, vielmehr würden die Tiere, zumindest in Oberflächengewässern, vor allem die auf den Blattoberflächen wachsenden und die Blattmasse zersetzenen Pilze abweiden. Um detaillierte Informationen zur Ernährungsweise von in Trinkwasserverteilungssystemen lebenden Isopodenpopulationen zu erhalten, wurden im Rahmen dieser Arbeit Individuen von *Asellus aquaticus* in definierten Fressversuchen Pilzmyzelien (*Cladosporium herbarum*) und Bakterienreinkulturen (*Aquabakterium commune* und *Marmoricola* spec.) als Nahrung angeboten (Abschn. 2.1.2, 2.1.3, 2.2.3, 3.3). Das eingesetzte, zu den Schlauchpilzen zählende Taxon *Cladosporium herbarum*, ist eine weltweit verbreitete Schimmelpilzart, die unter anderem auf sich zersetzenen Blättern krautiger und holziger Pflanzen (SCHUBERT et al. 2007), auf Oberflächen gesunder Blätter (SCHUBERT 2005), im Boden (DOMSCH et al. 1980), in marinen Wasserproben (PRABHAKARAN & RANU GUPTA 1990) und auf abgesetzten, langsam verrottenden Blattresten in limnischen Oberflächengewässern (BASCHIEN et al. 2009) anzutreffen ist. Bei den im Rahmen dieser Arbeit durchgeführten Hydrantenspülungen konnten Individuen dieser Pilzart in mehreren Trinkwasserverteilungssystemen nachgewiesen werden (Abschn. 2.1.2). Die Betaproteobakterienart *Aquabacterium commune* wurde von KALMBACH et al. (1999) aus Trinkwasserbiofilmen isoliert und beschrieben. Populationen der Gattung *Marmoricola* spec. kommen unter anderem in Tagebau-Brunnen vor (SCHRÖDER 2011, persönliche Mitteilung). Von einem verbreiteten Vorkommen beider Bakterientaxa in deutschen Trinkwasserverteilungssystemen ist auszugehen und begründet deren Verwendung in den durchgeführten Fressversuchen.

4.4.1 Prokaryota

In einem unter definierten Versuchsbedingungen durchgeföhrten Fressversuch (Abschn. 2.2.3.3 und 3.3.1) wurden die beiden Bakterientaxa *Aquabacterium commune* und *Marmoricola* spec. 5 Tage lang 10 Individuen von *Asellus aquaticus* als Nahrungsquelle angeboten. Wie Abb. 19.1A zeigt, färbten die beiden über eine Wasserstrahlpumpe auf den entsprechenden Cellulose-Acetatfilter aufgetragenen Bakterienpopulationen die jeweilige Filteroberfläche dabei unterschiedlich an – *Marmoricola* spec. deutlich braun-

rot, *Aquabacterium commune* hingegen schwach weiß-rosa. Auf den Bildern (Abb. 19.1 und 19.2) ist deutlich erkennbar, dass sich die Wasserasseln vom 2. bis zum 4. Versuchstag zum Zeitpunkt der fotografischen Dokumentation ausschließlich auf oder um den „*Marmoricola*-Filter“ aufhielten. Der Deckungsgrad an aufgetragener Bakterienbiomasse nahm dabei täglich ab, wohingegen die Anzahl an Asselkot-Pellets auf, bzw. um den Filter kontinuierlich zunahm. Am letzten Versuchstag war die gesamte Biomasse an *Marmoricola*-Zellen von der Filteroberfläche verschwunden. Die rötlichen Partikel auf und um den Filter konnten mittels Lichtmikroskop eindeutig als Asselkot-Pellets identifiziert werden. Auf dem mit Individuen der Bakterienart *Aquabacterium commune* präparierten Filter hielten sich ab dem ersten Versuchstag zum jeweiligen Zeitpunkt der fotografischen Dokumentation keine Asseln auf. Ein schwach weiß-rosafarbener Bakterienfilm war jedoch über die gesamte Versuchsdauer auf der Filteroberfläche erkennbar. Asselkot-Pellets zeigten sich auf diesem Filter, wie auch auf dem Kontrollfilter, nur vereinzelt. Ob die stäbchenförmigen Zellen der Bakterienart *A. commune* mit einer Länge von nur 2-4 µm und einem Durchmesser von ca. 0,5 µm beim Auftragen auf die Filteroberfläche mittels Wasserstrahlpumpe eventuell zu stark in das Gewebe eingepresst werden und den Isopoden somit als Nahrung nicht zur Verfügung stehen, konnte im Rahmen dieser Untersuchung nicht abschließend geklärt werden. Im Fokus zukünftiger Arbeiten sollte daher vor allem die Suche nach geeigneten Materialoberflächen sein, die einen definierten Bakterienbewuchs erlauben. So produzierte Biofilme könnten dann in Fressversuchen Isopoden als potentielle Nahrungsquelle angeboten werden. Des Weiteren wäre eine Infrarot-Videoüberwachung der Versuchsanordnung als ergänzende Untersuchungsmethode zum Fressverhalten von Isopoden geeignet. In der hier beschriebenen Versuchsanordnung wurde das Bakterientaxon *Marmoricola* spec. von *Asellus aquaticus* bevorzugt gefressen.

4.4.2 Prokaryota und Fungi

In einem zweiten Fressversuch wurde überprüft, ob *Asellus aquaticus* Pilzmyzelien (*Cladosporium herbarum*) oder Bakterienzellen (*Marmoricola* spec.) als Nahrungsquelle bevorzugt (Abschn. 2.2.3.4 und 3.3.2). Zwar dokumentieren Abb. 20.1-20.3 für den jeweiligen Bildaufnahmzeitpunkt zumeist den „*Cladosporium*-Filter“ als bevorzugten Aufenthaltsort der Wasserasseln, doch auch die Biomasse auf dem „*Marmoricola*-Filter“ nahm im Verlauf der ersten 4 Versuchstage stetig ab. Zudem zeigten sich Assel-

kot-Pellets über die gesamte Versuchsanordnung verstreut. Es ist daher davon auszugehen, dass sich die Tiere im Tagesverlauf auch auf dem „Bakterien-Filter“ aufhielten und diese Biomasse, wie auf dem „Pilz-Filter“, aktiv abgefressen haben. Ab dem 5. Versuchstag waren beide Filteroberflächen fast vollständig abgeweidet und die Isopoden begannen nun verstärkt damit, im Versuchsansatz umherzuwandern. Am 7. Tag wurde eine tote Assel im Reaktor aufgefunden. 24 Stunden später war das Tier bis auf Extremitätenfragmente und Teile des Cephalothorax vollständig aufgefressen. WÄGELE (2007) beschreibt, dass Wasserasseln bei der Hälterung in Aquarien auch Aas fressen. Doch im Gegensatz zu anderen Krebstaxa würden sie nicht aktiv von Aas angelockt. Die Ergebnisse des durchgeführten Fressversuchs zeigen, dass Pilzmyzelien, Bakterienzellen und selbst tote Artgenossen geeignete Nahrungsquellen für Wasserasseln darstellen. Um noch detailliertere Informationen über die Ernährungsweise von Isopoden in Trinkwasserverteilungssystemen zu erhalten, werden im Abschn. 4.5 die Ergebnisse der durchgeführten molekularbiologischen Darminhaltsuntersuchungen (Abschn. 2.2.9-2.2.12 und 3.5) diskutiert.

4.5 Molekularbiologische Untersuchungen

Im Folgenden werden die Ergebnisse der im Rahmen der molekularbiologischen Untersuchungen durchgeführten DNA-Analysen der unterschiedlichen Darminhaltsproben (Abschn. 3.5) diskutiert.

4.5.1 Laborversuche

Um grundlegende Erkenntnisse über mögliche Nahrungspräferenzen von Wasserasseln zu gewinnen, wurden Individuen von *Asellus aquaticus* unter definierten Versuchsbedingungen unterschiedliche Futterquellen angeboten und anschließend die Nahrungsbreie molekularbiologisch untersucht (Abschn. 4.5.1.1 und 4.5.1.2).

GRUNER et al. (1993) weisen darauf hin, dass Isopoden eine reiche Darmflora besitzen, die aus aeroben und fakultativ anaeroben Mikroorganismen besteht. Bei Untersuchungen an Landasseln (*Trachelipus rathkii*) seien hierbei die Bakterientaxa *Pseudomonas* spec. und *Flavobacterium* spec. dominant gewesen. Um detaillierte Informationen über die mikrobielle Intestinalflora von Wasserasseln zu erhalten, wurden

über Hydrantenspülungen gesammelte Isopoden für die Dauer von 6 Wochen nicht gefüttert und danach die Darminhalte molekularbiologisch untersucht (Abschn. 4.5.1.3).

4.5.1.1 Fressversuch *Asellus aquaticus* / *Cladosporium herbarum*

Um zu überprüfen, ob Wasserasseln Schimmelpilze als Nahrung nutzen und inwiefern die Zugabe einer definierten Futterquelle ergänzende Informationen über die Zusammensetzung der bakteriellen Intestinalflora der Versuchstiere liefert, wurden Myzelien von *Cladosporium herbarum* unter definierten Versuchsbedingungen Individuen von *Asellus aquaticus* als Nahrung angeboten (Abschn. 2.2.3.1) und die Darminhalte dieser Isopoden nach Versuchsende molekularbiologisch untersucht (Abschn. 3.5.1). Die 18S rDNA-Untersuchungen zeigen in den vorderen Darmabschnitten (Probe 10E) für 67 % und in den hinteren Darmabschnitten (Probe 11E) für 38 % der ermittelten Sequenzen als nächsten bekannten Verwandten die angebotene Nahrungsquelle *Cladosporium herbarum* an. Da die Pilzart im Rahmen dieser Arbeit bei Probenahmen in unterschiedlichen Trinkwassersystemen nachgewiesen werden konnte (Abschn. 2.1.2) und die durchgeführten Fressversuche (Abschn. 3.3.2) sowie die dargestellten molekularbiologischen Darminhaltsuntersuchungen belegen, dass Individuen von *Asellus aquaticus* Myzelien dieses Pilzes aktiv von Oberflächen abweiden, könnte *Cladosporium herbarum* eine natürlich genutzte Nahrungsquelle für Wasserasseln in Trinkwasserverteilungssystemen darstellen. Da auch in den hinteren Darmabschnitten noch Pilz-DNA vorzufinden war, ist davon auszugehen, dass Isopoden bei Futterüberschuss nicht den gesamten Nahrungsbrei physiologisch aufschließen und resorbieren. Ob und wie viel Nahrung hierbei unverdaut wieder ausgeschieden wird könnte über molekularbiologische Untersuchungen frischer Asselkot-Pellets geklärt werden. Die restlichen, im Rahmen der durchgeführten 18S rDNA-Untersuchungen ermittelten und analysierten DNA-Sequenzen in den vorderen und hinteren Darmabschnitten zeigen jeweils als nächstes bekannte Taxon *Asellus aquaticus* selbst an. Darmepithelzellen, welche eventuell beim Ausstreichen der Nahrungsbreie aus den Därmen mit in die DNA-Extraktionsproben überführt werden, könnten herfür eine Erklärung sein. Doch auch die von WÄGELE (2007) beschriebene kannibalische, aasfressende Ernährungsweise von Wasserasseln stellt eine mögliche Aufnahmequelle arteigener DNA dar. Da bei der Durchführung dieses Fressversuches jedoch alle Versuchstiere bis zum Ende überlebten, ist eine Herkunft der nachgewiesenen Eigen-DNA aus den Darmepithelien der Tiere als

wahrscheinlich anzunehmen. Die 16S rDNA-Untersuchung der vorderen Darmabschnitte (Probe 10P) zeigt für 71 % aller ermittelten Sequenzen als jeweils nächstes bekannte Taxon die als mikrobielle Darmflora von Isopoden (GRUNER et al. 1993) und anderen Euarthropoden (HUANG et al. 2012; ZHOU et al. 2010) beschriebenen Bakteriengattungen und -arten *Pseudomonas* spec., *Flavobacterium* spec., *Flavobacterium denitrificans*, *Flavobacterium resistens* und *Stenotrophomonas* spec. an. Die 5 aufgeführten Taxa gehören zu den Bacteroidetes und Gammaproteobacteria. Für die Gattungen *Sphingomonas* spec. liegen Nachweise aus finnischen und schwedischen Biofilmen in Trinkwasserverteilungssystemen (KOSKINEN et al. 2000) und für *Micrococcus* spec. aus Trinkwasserproben (SUTHAR et al. 2009) vor. Die beiden zuletzt genannten Gattungen gehören zu den Alphaproteobacteria und Actinobacteria. Auch in den hinteren Darmabschnitten (Probe 11P) zeigen sich bei der 16S rDNA-Untersuchung für 71 % aller ermittelten Sequenzen als nächste bekannte Verwandte die schon in den vorderen Darmabschnitten identifizierten Bakterientaxa *Pseudomonas* spec., *Flavobacterium* spec., *Flavobacterium denitrificans* und *Flavobacterium resistens*. Daneben wurden mit *Rhodobacter megalophilus* und *Aeromonas hydrophila* auch zwei von WANG et al. (2007) als symbiotische Bakterien der Mitteldarmdrüsen von *Asellus aquaticus* beschriebene Arten dokumentiert. Die restlichen 29 % der ermittelten Sequenzen zeigen hier als nächste bekannte Verwandte folgende aus Trinkwasserproben beschriebenen Bakterientaxa an: *Sphingomonas* spec., *Micrococcus* spec., *Microbacterium oxydans* (WANG et al. 2009), *Mycobacterium* spec. (MARSHALL et al. 2011), *Caulobacter* spec. (JUNGFER et al. 2007) und *Acidovorax* spec. (GIÃO et al. 2011).

Vor allem die dokumentierten Vertreter der Gammaproteobacteria und Bacteroidetes scheinen in den hier untersuchten Darmabschnitten den Großteil an bakterieller Intestinalflora auszumachen, wohingegen die restlichen Taxa wohl eher als Besiedler von Trinkwasserbiofilmen definiert werden können. Da das in den Hälterungs- und Fütterungsreaktoren verwendete Trinkwasser über einen 0,2 µl-Filter sterilfiltriert wurde ist davon auszugehen, dass vermeintliche Trinkwasserbakterien über andere Eintragswege in die Versuchsanordnungen gelangten. So stellen die Körperoberflächen von Wasserasseln – obwohl die Versuchstiere vor dem Einsetzen in die Exsikkatoren für ca. 2 Sekunden in 30 %-igem Propanol und anschließend für ca. 5 Sekunden in VE-Wasser gewaschen wurden – Orte steter mikrobieller Besiedlung dar. Im Rahmen dieser Arbeit konnte zudem beobachtet werden, dass frische Häutungsexuvien von Isopoden aktiv gefressen werden, wodurch die Nachweise von Trinkwasserbakterien in den

Darminhalten der Tier erklärbar sind. Gezielte Untersuchungen der bakteriellen Besiedlung der Körperoberflächen von Süßwasserasseln könnten hierüber zukünftig detailliertere Informationen liefern.

4.5.1.2 Fressversuch *Asellus aquaticus* / Schwarzerlenblätter

Um zu überprüfen, ob wie von GRAÇA et al. (1993a, b; 1994) beschreiben, der Pilzaufwuchs von Schwarzerlenblättern eine wichtige Nahrungsquelle für *Asellus aquaticus* darstellt, wurden Laubblätter im Freiland gesammelt, für die Dauer von 6 Wochen in 0,2 µl-sterilfiltriertem Wasser quellen gelassen und anschließend ausgewählten Individuen von *Asellus aquaticus* als Futter angeboten (Abschn. 2.2.3.2). Die 18S rDNA-Untersuchungen zeigen in den vorderen und hinteren Darmabschnitten (Probe B1E und B2E) jeweils nur Eigen-DNA der Krebsart an. DNA-Sequenzen, welche Schimmelpilz-taxa zugeordnet werden könnten, wurden nicht ermittelt. Da die Schwarzerlenblätter jedoch direkt vom Baum gepflückt und anschließend zum Quellen in sterilfiltriertes Wasser überführt wurden, waren die Blattoberflächen eventuell frei von Pilzsporen, bzw. Pilzmyzelien. Die nachgewiesene Eigen-DNA könnte, wie schon in Abschn. 4.5.1.1 diskutiert, von Darmepithelzellen stammen, welche beim Ausstreichen der Nahrungsrei mit in die PCR-Tubes überführt worden sind. Bei der 16S rDNA-Untersuchung dominieren in den vorderen Darmabschnitte (Probe B1P) mit 88 % aller ermittelten Sequenzen als nächste bekannte Verwandte die Gammaproteobacteria mit den Taxa *Aeromonas salmonicida*, *Aeromonas salmonicida* subsp. *salmonicida*, *Enterovibrio* spec., *Photobacterium* spec., *Pseudomonas* spec. und *Pseudomonas mandelii*. Eine Zuordnung dieser Taxa zur Intestinalflora von Wasserasseln ist wahrscheinlich. Daneben wurden mit den Taxa *Caulobacter* spec., *Hyphomicrobium facile* subsp. *facile*, *Hyphomicrobium vulgare*, *Methylocapsa aurea* und *Crenothrix polyspora* Bakterientaxa identifiziert, die entweder über die Schwarzerlenblätter oder über die Körperoberflächen der Tiere mit in den Reaktor eingeführt wurden. Auch in den hinteren Darmabschnitten (Probe B2P) zeigen sich mit den ermittelten Taxa *Flavobacterium hercynium*, *Rhodobacter* spec., *Aeromonas hydrophila* subsp. *hydrophila*, *Aeromonas salmonicida* subsp. *salmonicida*, *Pseudomonas* spec. und *Enterovibrio* spec. Bakterientaxa, welche vermutlich Bestandteile der Darmflora von Wasserasseln sind. Die genannten Arten und Gattungen entsprechen 60 % aller ermittelten Sequenzen und können den Gammaproteobacteria, Bacteroidetes und Alphaproteobacteria zugeordnet werden. Die restlichen

identifizierten Bakterientaxa gelangten wahrscheinlich über die Schwarzerlenblätter oder die Körperoberflächen der Tiere mit in den Reaktor. Einige ermittelte DNA-Sequenzen lagen bei den durchgeführten 16S rDNA-Untersuchungen unterhalb des Schwellenwerts für Arten oder Gattungen, womit eine sichere Zuordnung dieser Sequenzen nicht möglich ist (Abschn. 3.5.3).

4.5.1.3 Hungerversuch *Asellus aquaticus*

Um ergänzende Informationen über die Zusammensetzung der bakteriellen Darmflora von Wasserasseln zu erhalten, wurden in einem weiteren definierten Versuch Individuen von *Asellus aquaticus* für die Dauer von 6 Wochen nicht gefüttert und anschließend deren Darminhalte molekularbiologisch untersucht (Abschn. 3.5.2). In den vorderen Darmabschnitten (Probe 12P) zeigen sich bei der 16S rDNA-Untersuchung für 96 % aller ermittelten Sequenzen als nächste bekannte Verwandte Bakteriengattungen und Bakterienarten, welche von unterschiedlichen Autoren zur Intestinalflora von Euarthropoden gezählt werden und ausnahmslos dem Taxon Gammaproteobacterium zugeordnet werden können: *Pseudomonas putida* für landlebende Isopoda (KOSTANJŠEK et al. 2002), *Enterobacter* spec. und *Enterobacter cloacae* subsp. *cloacae* für landlebende Insecta (ADAMS & BOOPATHY 2005) sowie die im Abschn. 4.5.1 als symbiotische Bakterien in den Mitteldarmdrüsen von *Asellus aquaticus* beschriebenen Gattungen *Pseudomonas* spec. und *Aeromonas* spec.. Das aus Trinkwasserproben beschriebene Taxon *Afipia* spec. (ZHANG et al. 2009) und die Bakterienart *Arthrobacter oxidans*, welche aktuell keine klare ökologische Zuordnung zulässt, zeigen sich zusammen mit einem prozentualen Anteil von 4 % aller ermittelten Sequenzen. Auch in den hinteren Darmabschnitten (Probe 13P) dominieren mit einem Anteil von 92 % die in der Fachliteratur als Bestandteile der Darmflora von Euarthropoden genannten Gammaproteobakterien *Aeromonas sobria*, *Enterobacter cloacae*, *Enterobacter* spec., *Pseudomonas putida*, *Pseudomonas* spec. und *Stenotrophomonas rhizophila*. Das Taxon *Chitinibacter* spec. zählt zu den chitinzersetzenden Bakterien (CHERN et al. 2004) und wird wahrscheinlich über das Fressen von Häutungsexuvien von den Tieren aufgenommen. Für die Gattung *Achromobacter* spec. konnte in der Literatur keine eindeutige ökologische Zuordnung gefunden werden.

4.5.2 Freilandproben

Um neue Erkenntnisse zur Ernährungsweise von Wasserasseln in Trinkwasserverteilungssystemen und gleichzeitig detailliertere Informationen über die komplexen Lebensgemeinschaften in diesen abgeschlossenen Ökosystemen zu gewinnen, wurden aus unterschiedlichen deutschen Trinkwassersystemen über Hydrantenspülungen Individuen von *Asellus aquaticus* und *Proasellus cavaticus* entnommen und deren Darminhalte molekularbiologisch untersucht (Abschn. 3.5.4-3.5.6).

4.5.2.1 Freilandprobe *Asellus aquaticus*

Die 18S rDNA-Untersuchung der gesamten Darminhalte ausgewählter Individuen von *Asellus aquaticus* (Probe Br1E) zeigen für 100 % der ermittelten Sequenzen als nächstes bekannte Taxon die artspezifische DNA der Tiere an. Ob die nachgewiesene DNA von den Darmepithelzellen der Asseln selbst oder von gefressenen, toten Artgenossen stammt bleibt jedoch ungeklärt. Die 16S rDNA-Untersuchung (Probe Br1P) zeigt 4 unterschiedliche Taxa an, wobei die Gattung *Rhodobacter* spec. als symbiotisches Bakterium der Mitteldarmdrüsen von *Asellus aquaticus* beschrieben ist. Für das Taxon *Arenimonas* spec., welches sich mit einem prozentuellen Anteil von 83 % aller ermittelten DNA-Sequenzen zeigt, liegen Artbeschreibungen aus unterschiedlichen asiatischen Habitaten vor: *Arenimonas oryziterrae* aus einem koreanischen Reisfeld (ASLAM et al. 2009), *A. donghaensis* aus koreanischem Meeressand (KWON et al. 2007), *A. aquaticum* aus einem koreanischen Süßwasserreservoir (KIM et al. 2012), *A. metalli* aus einer chinesischen Eisenmiene (CHEN et al. 2012), *A. daechungensis* aus dem Sediment eines eutrophen Süßwasserreservoirs (HUY et al. 2013) und *A. daejeonensis* aus Kompost (JIN et al. 2012). Bei den genannten Arten handelt es sich stets um gram-negative, aerobe Bakterien. Eventuell stellen auch Bodensedimente in Stagnationsbereichen von Trinkwasserverteilungssystemen bevorzugte Habitate für *Arenimonas* spec. dar und Wasserasseln nutzen diese Nahrungsquellen. Auch hier lagen einige ermittelte DNA-Sequenzen bei den durchgeführten 16S rDNA-Untersuchungen unterhalb des Schwellenwerts für Arten oder Gattungen, womit eine sichere Zuordnung dieser Sequenzen nicht möglich ist (Abschn. 3.5.4.1).

4.5.2.2 Freilandproben *Proasellus cavaticus*

Individuen von *Proasellus cavaticus* wurden an zwei Probenahmestellen eines Trinkwasserverteilungssystems im März 2012, September 2012 und November 2012 gesammelt (Abschn. 2.2.1). Die Ergebnisse der 18S rDNA-Untersuchungen der Darminhalte aus beiden März-Proben (Proben E1E und E45E) zeigen dabei ähnliche Zusammensetzungen der ermittelten eukaryotischen Taxa an: Fungi, Amoebozoa, Heterolobosea und arteigene DNA von *Proasellus cavaticus*. In den Ergebnissen der September- (Proben EVE und EVIIE) und November-Proben (Proben EVIE und EVIIIE) fehlen hingegen Protozoen gänzlich. Innerhalb der auch in Süßwasserhabitaten und feuchter Erde lebenden amöboiden Amoebozoa (hier *Protacanthamoeba bohemica*) und der teils flagellaten Heterolobosea (hier *Naegleria* spec.) sind neben vielen gesundheitlich unbedenklichen, bakterienfressenden oder endosymbiotisch lebenden Taxa auch pathogene Formen bekannt (z. B. DYKOVÁ et al. 2005; MACLEAN et al. 2004; HAUSMANN et al. 2003). Auch die Ergebnisse der 16S rDNA-Untersuchungen zeigen für beide März-Proben (Proben E1P und E45P) ähnliche Zusammensetzungen der ermittelten prokaryotischen Taxa an. Die Gattung *Arenimonas* spec. ist hierbei mit einem prozentuellen Anteil von 67 %, bzw. 54 % das dominante Taxon. In den Ergebnissen der September- (Proben EIP und EIIIP) und November-Proben (Proben EIIP und EIVP) fehlen hingegen Nachweise von *Arenimonas* spec. gänzlich. Stattdessen dominiert hier in allen Proben das zu den Betaproteobacteria zählende Taxon *Acidovorax* spec. mit einem prozentualen Anteil von 96 % bis 100 % aller ermittelten Sequenzen deutlich. Die Ergebnisse der molekularbiologischen Untersuchungen lassen darauf schließen, dass über die im März 2012 durchgeführten Spülmaßnahmen in diesem Trinkwasserverteilungssystem eine veränderte Nahrungsgrundlage für die hier lebende Population von *Proasellus cavaticus* geschaffen wurde. Es kann angenommen werden, dass der dokumentierte Austrag großer Mengen flockigen, eisenhaltigen Bodensediments während der Probenahme (Abschn. 3.1) das Verschwinden von Taxa wie *Arenimonas* spec., *Naegleria* spec. oder *Protacanthamoeba bohemica* impliziert, welche wahrscheinlich bevorzugt diese Lebensräume besiedeln. Aufgrund ihrer omnivoren Ernährungsweise können Wasserasseln jedoch auch andere Futterquellen nutzen – auch Biofilme mit den darin eingebetteten Bakterien, wie *Acidovorax* spec. und anderen Taxa.

4.5.3 Fazit

Bei der Auswertung von DNA-Sequenzierungs-Ergebnissen ist zu berücksichtigen, dass die Zuordnung einer Sequenzabfolge zum nächsten verwandten Taxon stets nur dem Aktualisierungstand des verwendeten Datensatzes zum Zeitpunkt der Bearbeitung entspricht. Unbekannte oder in die Datenbank noch nicht aufgenommene Taxa werden folglich bei der Auswertung nicht berücksichtigt. Eine kritische Prüfung der Daten auf Plausibilität ist daher mit entscheidend.

Wie die Ergebnisse der durchgeföhrten DNA-Analysen zeigen, scheinen Wasserasseln bei ihrer Nahrungssuche in Trinkwasserverteilungssystemen Bodensedimente in Stagnationsbereichen bevorzugt aufzusuchen. Dabei stellen neben unterschiedlichen Bakterientaxa auch Protozoen und insbesondere Schlauchpilze (Ascomycota) eine bevorzugte Futterquelle dar. Ein Nachweis hygienisch relevanter Taxa im Trinkwasser ist über die hier vorgestellte, innovative Untersuchungsmethode möglich. Die im Nahrungsbrei der Tiere vorgefundene Eigen-DNA stammt entweder von Darmepithelzellen der Tiere selbst oder weist auf die teilweise kannibalische, aasfressende Ernährungswiese der Tiere hin. Wie die unterschiedlichen Laborversuche zeigen, setzt sich die bakterielle Intestinalflora der Tiere überwiegend aus Vertretern der Taxa Gamma-proteobacteria und Bacteroidetes zusammen. Die auf den Körperoberflächen der Asseln lebenden Mikroorganismen scheinen über die Wanderbewegungen der Tiere im System verbreitet zu werden. Molekularbiologische Untersuchungen der Darminhalte von Wasserasseln aus Trinkwasserverteilungssystemen ermöglichen eine Charakterisierung der Biozönosen und somit eine biologische Beurteilung dieser geschlossenen Ökosysteme. Auch können hierüber Veränderungen der Rohwasserzusammensetzung, Lecks im Rohrsystem oder Fremdwassereinspeisungen erkannt, bzw. die Effektivität von Rohrnetzspülungen überprüft werden. Wasserasseln stellen somit gute Indikatororganismen zur Beurteilung der jeweiligen Trinkwasserqualität dar und erlauben zudem eine frühzeitige Erkennung von technischen Problemen in Versorgungsnetzen.

Zentrales Ergebnis der vorliegenden Arbeit ist, dass molekularbiologische Untersuchungen von Tieren, hier der Darminhalte von Asseln, geeignet sind, neue Erkenntnisse zur Ernährungsweise von Wasserasseln in Trinkwassersystemen zu gewinnen. Die im Nahrungsbrei von Wasserasseln ermittelten Pro- und Eukaryonten be-

legen, dass die Methode geeignet ist, diese zu identifizieren und damit Belastungen im Trinkwasser zu erkennen und zu bewerten.

Diese neue, innovative Vorgehensweise bedarf noch der weiteren Absicherung. Da die Frage der prinzipiellen Machbarkeit im Fokus stand, war die Analyse potenzieller Fehlerquellen zunächst nachrangig. Dies ist Aufgabe nachfolgender Arbeiten, wobei vor allem folgende Fehlerpotenziale statistisch zu analysieren sind:

- Art der Rohrleitungen (Werkstoffeigenschaften, Wartung, Zustand, Alter, Stagnationszonen)
- Herkunft und Beschaffenheit des Rohwassers (Kontaminationsquellen)
- Physikalische und chemische Parameter des Trinkwassers
- Art der Probenahme (Dauer und Häufigkeit der Spülungen)
- Nährstoffeintrag
- Saisonale Populationsdynamik

Der Einfluss dieser Faktoren konnte im Verlaufe der vorliegenden Arbeit wegen ihrer gegebenen Variationsbreite und Nicht-Beeinflussbarkeit nicht analysiert werden.

5 Zusammenfassung

Wasserasseln können sich als „Allesfresser“ von Bakterien, Pilzen, Pflanzen und Tieren ernähren (WÄGELE 2007). Doch welche Nahrungsquellen werden im primär nährstoffarmen Trinkwasser genutzt, welche werden präferiert? Um diese Fragen beantworten zu können, wurden Isopoden aus unterschiedlichen deutschen Trinkwasserverteilungssystemen über Hydrantenspülungen gesammelt und parallel hierzu Tiere im Labor unter definierten Bedingungen gehältert und mit unterschiedlichen Nahrungsquellen gefüttert. Die Darminhalte ausgewählter Asseln wurden molekularbiologisch auf Basis der 16S und 18S rDNA untersucht und charakterisiert. Ergänzend hierzu wurden rasterelektronenmikroskopische EDX-Untersuchungen durchgeführt. Ziel der vorliegenden Arbeit war es zu klären, ob über diese Untersuchungsmethoden neue Erkenntnisse zur Ernährungsweise von Wasserasseln in Trinkwassersystemen und gleichzeitig detailliertere Informationen über die komplexen Lebensgemeinschaften, einschließlich der für den Menschen hygienisch relevanten Taxa, in diesen abgeschlossenen Ökosystemen gewonnen werden können. Auch sollte geklärt werden, ob sich Isopoden als mögliche Indikatororganismen zur Beurteilung der jeweiligen Trinkwasserqualität eignen.

→ Die Anwesenheit von Isopoden und anderen Metazoen in Trinkwasserverteilungssystemen ist allgemein bekannt, aber wenig untersucht. Oftmals steht sie mit der Wasserqualität in Zusammenhang, denn das Massenvorkommen von Wasserasseln zeigt stets eine Störung, wie z. B. erhöhte Nährstoffkonzentrationen im System an.

→ Da eine eindeutige Artbestimmung der heimischen Wasserasseln momentan nur über die Betrachtung der Gonopoden möglich ist, wurden alle im Rahmen dieser Arbeit untersuchten Individuen entsprechend lichtmikroskopisch identifiziert. Die hier aus Trinkwassersystemen gesammelten Tiere konnten so eindeutig den Taxa *Asellus aquaticus* (LINNÉ, 1758) und *Proasellus cavaticus* (LEYDIG, 1871) zugeordnet werden. Da jedoch allein für *Proasellus cavaticus* etliche Unterarten angenommen werden (HENRY 1976), die sich lediglich über minimale Variationen im Körperbau voneinander unterscheiden, kann nur eine Kombination aus klassischen, morphologischen Artbeschreibungen und modernen, genetischen Populationsanalysen zur Klärung der Verwandtschaftsverhältnisse innerhalb dieser Taxa beitragen. Voraussetzungen hierfür sind neben detaillierteren Kenntnissen über die Verbreitungsareale der Taxa auch die Zugänglichkeit dieser Lebensräume für eine Beprobung. Als Eintragswege von Isopoden in Trinkwas-

erverteilungssysteme können unterschiedliche Quellen angenommen werden. Für Arten, die wie *Asellus aquaticus* primär in Oberflächengewässern anzutreffen sind, stellen wohl Leckagen und Rohr-Reparaturstellen präferierte Eintragswege dar. Doch Taxa, welche wie *Proasellus cavaticus* bislang vor allem in unterirdischen Habitaten ange troffen wurden und morphologisch wie ökologisch optimal an diese Lebensräume angepasst sind, werden wohl eher über das Grundwasser in Trinkwasserverteilungsnetze eingespült.

→ Ein dichotomer Bewertungsschlüssel könnte zukünftig Wasserwerkern dabei helfen, über die Ökologie der unterschiedlichen Taxa die jeweilige Trinkwasserqualität noch umfassender zu beurteilen, bzw. Störungen im Rohrnetz effektiver zu erkennen. So lässt sich z. B. über die Körperfärbung von *Asellus aquaticus* auf die Herkunft der Tiere schließen. Oberirdisch lebende Populationen sind meist dunkelbraun oder graubraun gefärbt, wohingegen Individuen aus unterirdischen Gewässern meist weniger oder nicht pigmentiert sind und zudem stark zurückgebildete Augen besitzen. D. h. über die Morphologie der Taxa lässt sich auf den Einfluss eutrophen Oberflächenwassers oder oligotrophen Grundwassers schließen. Der Umgang mit so einem Bewertungsschlüssel setzt jedoch eine exakte morphologische Bestimmung der Tiere voraus.

→ Die durchgeführten rasterelektronenmikroskopischen EDX-Untersuchungen eignen sich als ergänzende Methode zur Charakterisierung von Asseldarminhalten. Eisenhaltige Partikel im Nahrungsbrei von Isopoden können somit auf Verockerungen und/oder Stagnationsbereiche in Graugussrohrabschnitten hinweisen. Detailliertere Informationen über die Zusammensetzung der Darminhalte, bzw. eine konkrete Nennung der aufgenommenen Nahrung, sind hierüber jedoch nicht möglich.

→ Fressversuche weisen darauf hin, dass Pilzmyzelien, Bakterienzellen und selbst tote Artgenossen geeignete Nahrungsquellen für Wasserasseln darstellen – Schimmelpilze werden hierbei präferiert.

→ Die Ergebnisse der durchgeführten DNA-Analysen zeigen, dass Wasserasseln bei ihrer Nahrungssuche in Trinkwasserverteilungssystemen Bodensedimente in Stagnationsbereichen bevorzugt aufsuchen. Dabei stellen neben unterschiedlichen Bakterientaxa auch Protozoen und insbesondere Schlauchpilze (Ascomycota) bevorzugte Futterquellen dar.

- Ein Nachweis hygienisch relevanter Mikroorganismen im Trinkwasser ist über die in dieser Arbeit vorgestellte, innovative Untersuchungsmethode möglich.
- Wie die unterschiedlichen Laborversuche zeigen, setzt sich die bakterielle Intestinalflora der Krebstiere überwiegend aus Vertretern der Taxa Gammaproteobacteria und Bacteroidetes zusammen.
- Molekularbiologische Untersuchungen der Darminhalte von Wasserasseln aus Trinkwasserverteilungssystemen ermöglichen eine Charakterisierung der Biozönosen und somit eine biologische Beurteilung dieser geschlossenen Ökosysteme. Auch können hierüber Veränderungen der Rohwasserzusammensetzung, Lecks im Rohrsystem oder Fremdwassereinspeisungen erkannt, bzw. die Effektivität von Rohrnetzspülungen überprüft werden.
- Wasserasseln stellen gute Indikatororganismen zur Beurteilung der jeweiligen Trinkwasserqualität dar und erlauben zudem eine frühzeitige Erkennung von technischen Problemen in Versorgungsnetzen. So können z. B. über die beschriebenen Darminhaltsuntersuchungen Organismen, welche über das Rohwasser in das Verteilungssystem eingebbracht werden identifiziert und somit mögliche Störungen im Rohwasserweg erkannt, zurückverfolgt und behoben werden. Im Rahmen der vorliegenden Arbeit wurde die praktische Anwendbarkeit dieser Methode an mehreren Beispielen erfolgreich überprüft. Eine Beschreibung der durchgeföhrten Untersuchungen ist jedoch aus rechtlichen Gründen nicht möglich.
- Das Konzept der vorliegenden Arbeit, über die Nahrung der Isopoden Lebensgemeinschaften in Trinkwasserverteilungssystemen zu charakterisieren, könnte in nachfolgenden Arbeiten auf weitere Makroinvertebraten übertragen werden. Insbesondere Brunnenkrebse (Bathynellacea), Flohkrebse (Amphipoda) und Milben (Acari), welche in Trinkwassersystemen angetroffen werden können und dabei gut präparierbar sind, stellen hierfür geeignete Untersuchungsobjekte dar.

6 Literaturverzeichnis

- ADAMS, L. & BOOPATHY, R. 2005. Isolation and characterization of enteric bacteria from the hindgut of Formosan termite. *Bioresource Technology* **96**, 1592-1598.
- ASLAM, Z., PARK, J. H., KIM S. W., JEON, C. O. & CHUNG, Y. R. 2009. *Arenimonas oryziterrae* sp. nov., isolated from a field of rice (*Oryza sativa* L.) managed under a no-tillage regime, and reclassification of *Aspromonas composti* as *Arenimonas composti* comb. nov.. *International Journal of Systematic and Evolutionary Microbiology* **59**, 2967-2972.
- BASCHIEN, C., RHODE, G., BÖCKELMANN, U. GÖTZ, P. & SZEWZYK, U. 2009. Interactions between hyphosphere-associated bacteria and the fungus *Cladosporium herbarum* on aquatic leaf litter. *Microbial Ecology* **58**, 642–650.
- BEGER, H., GERLOFF, J. & LÜDEMANN, D. 1966. *Leitfaden der Trink- und Brauchwasserbiologie*, 2. überarbeitete und ergänzte Auflage, 1-360. Gustav Fischer, Stuttgart.
- BRESSLER, D., BALZER, M., DANNEHL, A., FLEMMING, H.-C. & WINGENDER, J. 2009. Persistence of *Pseudomonas aeruginosa* in drinking-water biofilms on elastomeric material. *Water Science and Technology: Water Supply* **9**(1), 81-87.
- CHEN, F., SHI Z. & WANG G. 2012. *Arenimonas metalli* sp. nov., isolated from an iron mine. *International Journal of Systematic and Evolutionary Microbiology* **62**, 1744-1749.
- CHERN, L.-L., STACKEBRANDT, E., LEE, S.-F., LEE, F.-L., CHEN, J.-K. & FU, H.-M. 2004. *Chitinibacter tainanensis* gen. nov., sp. nov., a chitin-degrading aerobe from soil in Taiwan. *International Journal of Systematic and Evolutionary Microbiology* **54**, 1387-1391.

CHRISTENSEN, S. C. B. 2011a. *Asellus aquaticus* and other invertebrates in drinking water distribution systems – occurrence and influence on microbial water quality. PhD Thesis, Technical University of Denmark, Kongens Lyngby.

CHRISTENSEN, S. C. B., NISSEN, E., ARVIN, E. & ALBRECHTSEN, H.-J. 2011b. Distribution of *Asellus aquaticus* and microinvertebrates in a non-chlorinated drinking water supply system – Effects of pipe material and sedimentation. *Water Research* **45**, 3215-3224.

CHRISTENSEN, S. C. B., NISSEN, E., ARVIN, E. & ALBRECHTSEN, H.-J. 2012. Influence of *Asellus aquaticus* on *Escherichia coli*, *Klebsiella pneumoniae*, *Campylobacter jejuni* and naturally occurring heterotrophic bacteria in drinking water. *Water Research* **46**, 5279-5286.

DEELEMAN-REINHOLD, C. L. 1965. Contributions à la connaissance du genre *Asellus* en Yougoslavie et en Turquie. *Zoologische Mededelingen Rijksmuseum van Natuurlijke Historie te Leiden* **40**, 151-170.

DOMSCH, K. H., GAMS, W. & ANDERSON T. H. 1980. *Compendium of soil fungi*, Volumes 1 & 2, 1-1266. Academic Press, London.

DONLAN, R. M. 2002. Biofilms: microbial life on surfaces. *Emerging Infectious Diseases* **8**(9), 881-890.

DYKOVÁ, I., VEVERKOVÁ-FIALOVÁ, M., FIALA, I. & DVORÁKOVÁ, H. 2005. *Protacanthamoeba bohemica* sp. n., Isolated from the Liver of Tench, *Tinca tinca* (Linnaeus, 1758). *Acta Protozoologica* **44**, 369-376.

ENGLISH, E. 1958. Biological problems in distribution systems – infestations of water mains. *Proceedings of the Society for Water Treatment and Examination* **7**, 127-143.

FEAZEL, L. M., BAUMGARTNER, L. K., PETERSON, K. L., FRANK, D. N., HARRIS, J. K. & PACE, N. 2009. Opportunistic pathogens enriched in showerhead biofilms. *Proceedings of the National Academy of Sciences* **106**(38), 16393-16399.

- FLEMMING, H.-C., PERCIVAL, S. & WALKER, J. T. 2002. Contamination potential of biofilms in drinking water distribution systems. *Water Science & Technology: Water Supply* **2**, 271–280.
- FLEMMING, H.-C. 2009. Why Microorganisms Live in Biofilms and the Problem of Biofouling. In FLEMMING, H.-C., MURTHY, P. S., VENKATESAN, R. & COOKSEY, K. *Marine and Industrial Biofouling, Springer Series on Biofilms*, 4. Auflage, 1-348. Springer, Berlin ,Heidelberg.
- FLEMMING, H.-C. & WINGENDER, J. 2010. The biofilm matrix. *Nature Reviews Microbiology* **8**(9), 623-633.
- FUHLROTT, C. 1849. Nachtrag (zu Caspary, R.: *Gammarus puteanus* Koch). *Verhandlungen des Naturhistorischen Vereins der Preussischen Rheinlande und Westfalens* **6**, 47-48.
- GAMS, W. & MEYER, W. 1998. What exactly is *Trichoderma harzianum*? *Mycologia* **90**, 904–915.
- GIÃO, M. S., AZEVEDO, N. F., WILKS, S. A., VIEIRA, M. J. & KEEVIL, C. W. 2011. Interaction of *legionella pneumophila* and *helicobacter pylori* with bacterial species isolated from drinking water biofilms. *BioMed Central Microbiology* **11**(57) 1-10.
- GRAÇA, M. A. S., MALTBY, L. & CALOW, P. 1993a. Importance of fungi in the diet of *Gammarus pulex* and *Asellus aquaticus* I: feeding strategies. *Oecologia* **93**, 139-144.
- GRAÇA, M. A. S., MALTBY, L. & CALOW, P. 1993b. Importance of fungi in the diet of *Gammarus pulex* and *Asellus aquaticus* II. Effects on growth, reproduction and physiology. *Oecologia* **96**, 304-309.
- GRAÇA, M. A. S., MALTBY, L. & CALOW, P. 1994. Comparative ecology of *Gammarus pulex* (L.) and *Asellus aquaticus* (L.) II: fungal preferences. *Hydrobiologia* **281**, 163-170.

GRUNER, H. E. 1965. V. Isopoda. In DAHL, F. (Hrsg): *Die Tierwelt Deutschlands und der angerenzenenden Meeresteile. 51. Teil: Krebstiere oder Crustacea*, 1. Lieferung, 1-149. Gustav Fischer Verlag, Jena.

GRUNER, H.-E. (Hrsg.), MORITZ, M. & DUNGER, W. 1993. Band I: Wirbellose Tiere, 4. Teil: Arthropoda (ohne Insecta). In KAESTNER, A. (Begr.) *Lehrbuch der Speziellen Zoologie*, 4. völlig neu bearbeitete und stark erweiterte Auflage, 1-1279. Gustav Fischer Verlag Jena, Stuttgart, New York.

GUNKEL, G. & SCHEIDELER, M. 2011. Wasserasseln in Trinkwasser-Verteilungssystemen. *gwf-Wasser/Abwasser* **4**, 380-388.

HAUSMANN, K., HÜLSMANN, N. & RADEK, R. 2003. *Protistology*, 3. vollständig überarbeitete Auflage, 1-379. E. Schweizerbart'sche Verlagsbuchhandlung, Berlin, Stuttgart.

HENRY, J.-P. 1974. Sur la présence d'*Asellus hypogés* aux Pays-Bas: *Proasellus cavaticus* et *Proasellus hermallensis* (Crustacea, Isopoda, Asellota). *Bulletin Zoologisch Museum Universiteit van Amsterdam* **3**(24), 221-228.

HENRY, J.-P. 1976. Recherches sur les Asellidae hypogés de la lignée *cavaticus*. *Thèse Université de Dijon*, 1-270.

HENRY, J.-P., MAGNIEZ, G., STOCK, J. H. & VERMEULEN, J. 1994. Les Asellidae (Crustacea Isopoda Aselloidea) de Madère et leur intérêt biogéographique. *Mémoires de Biospéologie* **21**, 75-79.

HENRY, J.-P. & MAGNIEZ, G. 1995. Nouvelles stations d'*Asellus (Asellus) aquaticus* (Crustacea, Isopoda, Asellota, Asellidae) dans l'île de Madère. *Bulletin Scientifique de Bourgogne* **47**, 27-30.

HOLLAND, G. J. 1956. The eradication of *Asellus aquaticus* from water supply mains. *Journal of the Institute of Water Engineers* **10**, 221-241.

HUANG, S., SHENG., P. & ZHANG, H. 2012. Isolation and Identification of Cellulolytic Bacteria from the Gut of *Holotrichia parallela* Larvae (Coleoptera: Scarabaeidae). *International Journal of Molecular Sciences* **13**, 2563-2577.

HUSSON, R. & DAUM, J. 1955. Über Haltung und Biologie von *Asellus cavaticus* Leydig. *Annales Universitatis Saraviensis Scientia* **4**, 137-144.

HUY, H., JIN, L., LEE, Y.-K., LEE, K. C., LEE, J.-S., YOON, J.-H., AHN, C.-Y. & OH, H.-M. 2013. *Arenimonas daechungensis* sp. nov., isolated from the sediment of a eutrophic reservoir. *International Journal of Systematic and Evolutionary Microbiology* **63**, 484-489.

JIN, L., KIM, K. K., AN, K.-G., OH, H.-M. & LEE S.-T. 2012. *Arenimonas daejeonensis* sp. nov., isolated from compost. *International Journal of Systematic and Evolutionary Microbiology* **62**, 1674-1678.

JUNGFER, C., SCHWARTZ, T. & OBST, U. 2007. UV-induced dark repair mechanisms in bacteria associated with drinking water. *Water Research* **41**, 188-196.

KALMBACH, S., MANZ, W., WECKE, J. & SZEWSZYK, U. 1999. *Aquabacterium* gen. nov., with description of *Aquabacterium citratiphilum* sp. nov., *Aquabacterium parvum* sp. nov. and *Aquabacterium commune* sp. nov., three *in situ* dominant bacterial species from the Berlin drinking water system. *International Journal of Systematic Bacteriology* **49**, 769-777.

KEINÄNEN, M. M., MARTIKAINEN, P. J. & KONTRO, M. H. 2004. Microbial community structure and biomass in developing drinking water biofilms. *Canadian Journal of Microbiology* **50**(3), 183-191.

KEMPER, H. 1933a. Versuche über die Wirkung von Pyrethrumblütenpulver auf Tiere verschiedener Klassen mit besonderer Berücksichtigung der wasserbewohnenden Arten. *Gesundheitstechnik und Städtehygiene* **3**, 150-164.

KEMPER, H. 1933b. Zweiter Beitrag zur Frage der Anwendbarkeit des Pyrethrumblütenpulvers bei der Bekämpfung tierischer Schädlinge in Wasserversorgungs- und Abwasserbehandlungsanlagen. *Gesundheitstechnik und Städtehygiene* **12**, 682-690.

KIM, A-R., LEE, S., HAN, K. & AHN, T.-Y. 2012. *Arenimonas aquaticum* sp. nov., a Member of the Gammaproteobacterium, Isolated from a Freshwater Reservoir. *The Journal of Microbiology* **50**(2), 354-358.

KONSTANTINIDIS, K. T. & TIEDJE, J. M. 2007. Prokaryotic taxonomy and phylogeny in the genomic era: advancements and challenges ahead. *Current Opinion in Microbiology* **10**, 504-509.

KOSKINEN, R., ALI-VEHMAS, T., KÄMPFER, P., LAURIKKALA, M., TSITKO, I., KOSTYAL, E., ATROSHI, F. & SALKINOJA-SALONEN, M. 2000. Characterization of *Sphingomonas* isolates from Finnish and Swedish drinking water distribution systems. *Journal of Applied Microbiology* **89**, 687-696.

KOSTANJŠEK, R., ŠTRUS, J. & AVGUŠTIN, G. 2002. Genetic diversity of bacteria associated with the hindgut of the terrestrial crustacean *Porcellio scaber* (Crustacea: Isopoda). *Federation of European Microbiological Societies Microbiology Ecology* **40**, 171-179.

KWON, S.-W., KIM, B.-Y., WEON, H.-Y., BEAK, Y.-K. & GO, S.-J. 2007. *Arenimonas donghaensis* gen. nov., sp. nov., isolated from seashore sand. *International Journal of Systematic and Evolutionary Microbiology* **57**, 954-958.

MACLEAN, R. C., RICHARDSON, D. J., LEPARDO, R. & MARCIANO-CABRAL, F. 2004. The identification of *Naegleria fowleri* from water and soil samples by nested PCR. *Parasitology Research* **93**(3), 211-217.

MARCHESI, J. R., SATO, T., WEIGHTMAN, A. J., MARTIN, T. A., FRY, J. C., HOIM, S. J. & WADE, W. G. 1998. Design and Evaluation of Useful Bacterium-Specific PCR Primers That Amplify Genes Coding for Bacterial 16S rRNA. *Applied and Environmental Microbiology* **64**(2), 795-799.

MARSHALL, H. M., CARTER, R., TORBEY, M. J., MINION, S., TOLSON, C., SIDJABAT, H. E., HUYGENS, F., HARGREAVES, M. & THOMSON, R. M. 2011. *Mycobacterium lentiflavum* in Drinking Water Supplies, Australia. *Emerging Infectious Diseases* **17**(3), 395-402.

MITCHAM, R. P. & SHELLY, M. W. 1980. The control of animals in water mains using permethrins, a synthetic pyrethroid. *Journal of the Institution of Water Engineers and Scientists* **34**, 474-483.

MORITZ, M. M., FLEMMING, H.-C. & WINGENDER, J. 2010. Integration of *Pseudomonas aeruginosa* and *Legionella pneumophila* in drinking water biofilms grown on domestic plumbing materials. *International Journal of Hygiene and Environmental Health* **213**(3), 190-197.

PRABHAKARAN, N. & RANU GUPTA 1990. Filamentous Fungi Isolated from the EEZ along the West Coast of India. *Fishery Technology* **27**, 69-74.

RACOVITZA, E. G. 1919. Notes sur les Isopodes. 1. *Asellus aquaticus* auct. est une erreur taxonomique. 2. *A. aquaticus* L. et *A. meridianus* n. sp.. *Archives de Zoologie Expérimentale et Générale* **58**, 31-43.

RATHSACK, U. & MICHELS, U. 2006. Zur Populationsdynamik von Asseln und anderen Invertebraten in Wasserversorgungssystemen und Konsequenzen für die Wasseraufbereitung. *gwf-Wasser/Abwasser* **147**(2), 134-140.

SCHLEGEL, H. G. & JANNASCH, H. W. 2006. Prokaryotes and Their Habitats, Chapter 1.6. In DWORKIN, M., FALKOW, S., ROSENBERG, E., SCHLEIFER, K.-H. & STACKEBRANDT, E. *The Prokaryotes – A Handbook on the Biology of Bacteria – Volume 1: Symbiotic Associations, Biotechnology, Applied Microbiology*, 3. Auflage, 1-959. Springer, New York.

SCHMALFUSS, H. & SCHAWALLER, W. 1984. Die Fauna der Ägäis-Insel Santorin. Teil 5. Arachnida und Crustacea. *Stuttgarter Beiträge zur Naturkunde, Serie A* **371**, 1-16.

SCHRÖDER, J. 2011. Persönliche Mitteilung. Fachgebiet Umweltmikrobiologie, Technische Universität Berlin.

SCHUBERT, K. 2005. Morphotaxonomic revision of foliicolous *Cladosporium* species (hyphomycetes). Dissertation, Martin-Luther-Universität Halle-Wittenberg.

SCHUBERT, K., GROENEWALD, J. Z., BRAUN, U., DIJKSTERHUIS, J., STARINK, M., HILL, C. F., ZALAR, P., DE HOOG, G. S. & CROUS, P. W. 2007. Biodiversity in the *Cladosporium herbarum* complex (*Davidiellaceae, Capnodiales*), with standardisation of methods for *Cladosporium* taxonomy and diagnostics. *Studies in Mycology* **58**, 105-156.

SCHWARZ, H. R., KUCERA, H., KRAMER, H., KLAPPER, R. & SCHUSTER, W. 1966. Erfahrungen bei der Bekämpfung von *Asellus aquaticus* in den Wasserversorgungsanlagen der Stadt Marburg. *Fortschritte der Wasserchemie und ihrer Grenzgebiete* **4**, 96-127.

STACKEBRANDT, E. & GOEBEL, B. M. 1994. Taxonomic Note: A Place for DNA-DNA reassociation and 16S rRNA sequence analysis in the present species definition in bacteriology. *International Journal of Systematic Bacteriology* **44**(4), 846-849.

STAMMER, H. J. 1932. Zur Kenntnis der Verbreitung und Systematik der Gattung *Asellus*, insbesondere der mitteleuropäischen Arten. *Zoologischer Anzeiger für Deutschland* **99**, 113-131.

STEENKEN, B. 1998. *Die Grundwasserfauna – Ein Vergleich zweier Grundwasserlandschaften in Baden-Württemberg, Umweltforschung in Baden-Württemberg*, 1-160. ecomed Verlagsgesellschaft, Landsberg.

SUTHAR, S., CHHIMPA, V. & SINGH, S. 2009. Bacterial contamination in drinking water: a case study in rural areas of northern Rajasthan, India. *Environmental Monitoring and Assessment* **159**, 43-50.

SZEWSZYK, U., SZEWSZYK, R., MANZ, W., & SCHLEIFER, K. H. 2000. Microbiological safety of drinking water. *Annual Review of Microbiology* **54**, 81-127.

THOMAS, V., HERRERA-RIMANN, K., BLANC, D. S. & GREUB, G. 2006. Biodiversity of Amoebae and Amoeba-Resisting Bacteria in a Hospital Water Network. *Applied and Environmental Microbiology* **72**(4), 2428-2438.

TrinkwV (2001). *Verordnung über die Qualität von Wasser für den menschlichen Gebrauch* (Trinkwasserverordnung – TrinkwV 2001) vom 21. Mai 2001. BGBl. I S. 959, novelliert durch Artikel 1 BGBl. I S. 2562 am 05.12.2012.

TURNER, M. E. D. 1956. *Asellus aquaticus* in a public water supply distribution system. *Proceedings of the Society for Water Treatment and Examination* **5**, 67-80.

VAN DER KOIJ, D. 1999. Potential for biofilm development in drinking water distribution systems. *Journal of Applied Microbiology* **85**, 39-44.

VAN HEUSDEN, G. P. 1948. *Asellus aquaticus* in het Amsterdamse Leidingnet. *Water* **32**, 109-113.

VAN LIEVERLOO, J. H. M., BOSBOOM, D. W., BAKKER, G. L., BROUWER, A. J., VOOGT, R. & ROOS, J. E. M. 2004. Sampling and quantifying invertebrates from drinking water distribution mains. *Water Research* **38**, 1101-1112.

VAN LIEVERLOO, J. H. M., HOOGENBOEZEM, W., VEENENDAAL, G. & VAN DER KOIJ, D. 2012. Variability of invertebrate abundance in drinking water distribution systems in the Netherlands in relation to biostability and sediment volumes. *Water Research* **46**, 4918-4932.

WÄCHTLER, W. 1937. Ordnung Isopoda, Asseln. In BROHMER, P., EHRMANN, P. & ULMER, G. (Hrsg.): *Die Tierwelt Mitteleuropas Band 2*, Lieferung 2b. Quelle und Meyer, Leipzig.

WÄGELE, J. W. 2007. Isopoda (Asseln). In SCHMINKE, K. H. (Hrsg.) & GAD, G. (Hrsg.): *Grundwasserfauna Deutschlands – Ein Bestimmungswerk*, 1-628. Deutsche Vereinigung für Wasserwirtschaft, Abwasser und Abfall e. V., Hennef.

WANG, Y., BRUNE, A. & ZIMMER, M. 2007. Bacterial symbionts in the hepatopancreas of isopods: diversity and environmental transmission. *Federation of European Microbiological Societies Microbiology Ecology* **61**, 141-152.

WANG, Y., ZANG, X., FENG, S., NIU, Z. & CHEN, C. 2009. Study on inactivation of iron bacteria isolated from real drinking water distribution systems by free chlorine and chloramine. *Annals of Microbiology* **59**(2), 353-358.

ZHANG, P., HOZALSKI, R. M., LEACH, L. H., CAMPER, A. K., GOSLAN, E. H., PARSONS, S. A., XIE, Y. F. & LAPARA T. M. 2009. Isolation and characterization of haloacetic acid-degrading *Afipia* spp. from drinking water. *Federation of European Microbiological Societies Microbiology Letters* **297**, 203-208.

ZHOU, J., SHI, P., HUANG, H., CAO, Y., MENG, K., YANG, P., ZHANG, R., CHEN, X. & YAO, B. 2010. A new α -galactosidase from symbiotic *Flavobacterium* sp. TN17 reveals four residues essential for α -galactosidase activity of gastrointestinal bacteria. *Applied Microbiology and Biotechnology* **88**(6), 1297-1309.

7 Anhang

Im Abschn. 7.1 sind für alle genannten Taxa der jeweilige Streubereich der ermittelten maximalen Identitäten und der hieraus berechnete Mittelwert tabellarisch dargestellt. Die Übersichtsdiagramme im Abschn. 7.2 zeigen für jede Einzelprobe die Sequenzlängen und maximalen Identitäten aller insgesamt 1104 bearbeiteten DNA-Sequenzen. Die Zuordnungen der im Abschnitt 7.2 verwendeten Klon-Sequenz-Nummern zu den entsprechenden Taxa sind über die Tab. 14-37 im Abschn. 7.3 möglich. Die Originalsequenzen der über die Datenbank BLAST (Abschn. 2.2.12) ermittelten Art- und Gattungsnamen sind im Abschn. 7.4 alphabetisch sortiert dargestellt.

7.1 Streubereiche und Mittelwerte der maximalen Identitäten

Anzahl Klone	nächster Verwandter	Accession-Nr.	Identität	Identität \bar{x}
Probe 10P				
4	<i>Micrococcus</i> spec.	JQ658423.1	95-99 %	96,8 %
3	<i>Flavobacterium</i> spec.	HE612094.1	99 %	99,0 %
3	<i>Flavobacterium denitrificans</i>	EU599190.1	96-98 %	97,0 %
9	<i>Flavobacterium resistens</i>	NR_044292.1	97-99 %	98,2 %
9	<i>Sphingomonas</i> spec.	FJ581440.1	98-99 %	98,9 %
16	<i>Pseudomonas</i> spec.	AB685628.1	97-99 %	98,4 %
4	<i>Stenotrophomonas</i> spec.	JQ435720.1	96-99 %	97,8 %
Probe 11P				
6	<i>Micrococcus</i> spec.	JQ658423.1	96-99 %	98,2 %
1	<i>Microbacterium oxydans</i>	JQ890539.1	97 %	97,0 %
2	<i>Mycobacterium</i> spec.	FJ544445.1	97 %	97,0 %
5	<i>Flavobacterium</i> spec.	JQ928691.1	96-99 %	97,6 %
4	<i>Flavobacterium denitrificans</i>	EU599190.1	98-99 %	98,3 %
17	<i>Flavobacterium resistens</i>	NR_044292.1	98-99 %	98,9 %
1	<i>Caulobacter</i> spec.	AJ227762.1	97 %	97,0 %
3	<i>Rhodobacter megalophilus</i>	JQ692104.1	96-97 %	96,7 %
3	<i>Sphingomonas</i> spec.	JQ014557.1	98-99 %	98,7 %
1	<i>Acidovorax</i> spec.	GU372408.1	99 %	99,0 %
2	<i>Aeromonas hydrophila</i>	JX029046.1	99 %	99,0 %
3	<i>Pseudomonas</i> spec.	AB685628.1	99 %	99,0 %
Probe 12P				
1	<i>Arthrobacter oxydans</i>	AB648980.1	99 %	99,0 %
1	<i>Afipia</i> spec.	GU377117.1	99 %	99,0 %
1	<i>Aeromonas</i> spec. (c55(2012))	JQ781549.1	99 %	99,0 %
3	<i>Aeromonas</i> spec. (156B)	JF444782.1	98-99 %	98,3 %
8	<i>Enteropbacter</i> spec. (S6BB)	AB428448.1	96-99 %	98,5 %
1	<i>Enteropbacter</i> spec. (HWE-103)	JQ723720.1	98 %	98,0 %
1	<i>Enterobacter cloacae</i> subsp. <i>cloacae</i>	CP003737.1	98 %	98,0 %
15	<i>Pseudomonas</i> spec. (JCM 5415)	AB685628.1	96-99 %	98,7 %
1	<i>Pseudomonas</i> spec. (R-41390)	FR682933.1	99 %	99,0 %
16	<i>Pseudomonas putida</i>	JX237836.1	97-100 %	99,0 %
Probe 13P				
3	<i>Achromobacter</i> spec.	JQ746486.1	99 %	99,0 %
1	<i>Chitinibacter</i> spec.	JN981166.1	98 %	98,0 %
7	<i>Aeromonas sobria</i>	JQ795757.1	97-99 %	98,7 %
2	<i>Enteropbacter</i> spec. (S6BB)	AB428448.1	99 %	99,0 %
1	<i>Enteropbacter</i> spec. (HWE-103)	JQ723720.1	98 %	98,0 %
1	<i>Enterobacter cloacae</i>	JQ038222.1	99 %	99,0 %
8	<i>Pseudomonas</i> spec. (JCM 5415)	AB685628.1	98-99 %	98,8 %
3	<i>Pseudomonas</i> spec. (R-41390)	FR682933.1	99 %	99,0 %
1	<i>Pseudomonas putida</i> (strain CY04)	JX082200.1	99 %	99,0 %
3	<i>Pseudomonas putida</i> (strain SXMAS-6)	JN606325.1	99-100 %	99,3 %
10	<i>Pseudomonas putida</i> (strain MPV2)	JX237836.1	98-100 %	99,0 %
6	<i>Pseudomonas putida</i> (strain MC4)	JF825523.2	99 %	99,0 %
2	<i>Stenotrophomonas rhizophila</i>	JQ890538.1	99 %	99,0 %
Probe B1P				
1	<i>Caulobacter</i> spec.	AM940947.1	99 %	99,0 %
1	<i>Hyphomicrobium facile</i> subsp. <i>tolerans</i>	NR_027611.1	97 %	97,0 %
2	<i>Hyphomicrobium vulgare</i>	AB543807.2	95-97 %	96,0 %
1	<i>Methylcapsa aurea</i>	FN433469.1	97 %	97,0 %
5	<i>Aeromonas salmonicida</i> (strain E84)	JF683662.1	99 %	99,0 %
7	<i>Aeromonas salmonicida</i> (strain ZHYYZ-5)	JN106379.1	99 %	99,0 %
5	<i>Aeromonas salmonicida</i> subsp. <i>salmonicida</i>	AB680308.1	99-100 %	99,2 %
1	<i>Crenothrix polyspora</i>	DQ295890.1	93 %	93,0 %
14	<i>Enterovibrio</i> spec.	HM566000.1	93-95 %	94,1 %
6	<i>Photobacterium</i> spec.	AB038032.1	93-94 %	93,5 %
1	<i>Pseudomonas</i> spec.	FJ984605.1	99 %	99,0 %
4	<i>Pseudomonas mandelii</i>	JQ317812.1	99 %	99,0 %
Probe B2P				
1	<i>Gaiella occulta</i>	JF423906.1	93 %	93,0 %
3	<i>Flavobacterium hercynium</i>	AM177627.1	95-96 %	95,3 %
1	<i>Hyphomicrobium facile</i> subsp. <i>tolerans</i>	NR_027611.1	98 %	98,0 %
1	<i>Hyphomicrobium vulgare</i>	AB543807.2	96 %	96,0 %

1	<i>Methyllobacterium zatmanii</i>	NR_041031.1	99 %	99,0 %
3	<i>Methylocapsa aurea</i>	FN433469.1	95-97 %	96,3 %
1	<i>Methylocystis echinoides</i>	AJ458502.1	97 %	97,0 %
1	<i>Methylosinus trichosporium</i>	AJ431385.2	98 %	98,0 %
1	<i>Rhizobiales bacterium</i>	JQ773444.1	94 %	94,0 %
1	<i>Rhodobacter spec.</i>	FJ195995.1	96 %	96,0 %
1	<i>Pedomicrobium fusiforme</i>	Y14313.1	97 %	97,0 %
2	<i>Pedomicrobium manganicum</i>	GU269549.1	97 %	97,0 %
1	<i>Sphingomonas spec.</i>	EU131005.1	96 %	96,0 %
1	<i>Sphingopyxis spec.</i>	FN386734.1	96 %	96,0 %
1	<i>Geobacter metallireducens</i>	CP000148.1	91 %	91,0 %
2	<i>Aeromonas hydrophila</i> subsp. <i>hydrophila</i>	AB680394.1	99 %	99,0 %
23	<i>Aeromonas salmonicida</i> subsp. <i>salmonicida</i>	AB680308.1	99 %	99,0 %
1	<i>Ectothiorhodospira spec.</i>	EU252492.1	91 %	91,0 %
1	<i>Enterovibrio spec.</i>	HM566000.1	95 %	95,0 %
1	<i>Pseudomonas fluorescens</i>	FJ226759.1	98 %	98,0 %
Probe Br1P				
6	<i>Haematobacter massiliensis</i>	DQ342308.1	94 %	94,0 %
1	<i>Rhodobacter spec.</i>	FR691419.1	98 %	98,0 %
1	<i>Erwinia persicina</i>	JN167937.1	100 %	100 %
40	<i>Arenimonas spec.</i>	JN033774.1	94-96 %	95,4 %
Probe E1P				
1	<i>Pantoea agglomerans</i>	JN084142.1	99 %	99,0 %
1	<i>Pseudomonas denitrificans</i>	JQ612512.1	91 %	91,0 %
1	<i>Aciditerrimonas spec.</i>	JN033775.1	93 %	93,0 %
1	<i>Microbacterium lacus</i>	FR691402.1	99 %	99,0 %
1	<i>Microbacterium oxydans</i>	JN411364.1	99 %	99,0 %
1	<i>Flavobacterium spec.</i>	FR682719.1	98 %	98,0 %
1	<i>Exiguobacterium undae</i>	AB334767.1	99 %	99,0 %
1	<i>Brevundimonas bullata</i>	JF276904.1	99 %	99,0 %
1	<i>Caulobacter vibrioides</i>	JQ675297.1	97 %	97,0 %
1	<i>Afipia spec.</i>	FM998728.1	100 %	100 %
1	<i>Rhizobium spec.</i>	AY599702.1	99 %	99,0 %
2	<i>Haematobacter massiliensis</i>	DQ342309.1	94-95 %	94,5 %
2	<i>Pseudorhodobacter spec.</i>	HQ825033.1	98 %	98,0 %
2	<i>Rastonia picketii</i>	JQ689181.1	99-100 %	99,5 %
31	<i>Arenimonas spec.</i>	JN033774.1	94-96 %	95,4 %
Probe EIP				
2	<i>Pelomonas saccharophila</i>	AB681917.1	99 %	99,0 %
46	<i>Acidivorax spec.</i>	AY093698.1	95-100 %	98,8 %
Probe EIIP				
48	<i>Acidivorax spec.</i>	AY093698.1	96-100 %	98,7 %
Probe E45P				
1	<i>Microbacterium paraoxydans</i>	EU714356.1	99 %	99,0 %
2	<i>Flavobacterium spec.</i>	HM776981.1	96 %	96,0 %
5	<i>Exiguobacterium undae</i>	AB334767.1	99 %	99,0 %
2	<i>Haematobacter massiliensis</i>	DQ342308.1	94 %	94,0 %
3	<i>Rhodobacter changlensis</i>	NR_042564.1	98-99 %	98,3 %
1	<i>Rhodobacter spec. (CCBAU 10883)</i>	HQ437162.1	97 %	97,0 %
1	<i>Rhodobacter spec. (R-36943)</i>	FR691419.1	98 %	98,0 %
1	<i>Rhodobacter ovatus</i>	AM690348.2	97 %	97,0 %
1	<i>Pseudorhodobacter spec.</i>	HQ825033.1	99 %	99,0 %
1	<i>Erwinia rhamontici</i>	U80206.1	99 %	99,0 %
1	<i>Acinetobacter johnsonii</i>	FJ976603.1	99 %	99,0 %
1	<i>Pseudomonas spec.</i>	JQ762269.1	92 %	92,0 %
1	<i>Steroidobacter denitrificans</i>	NR_044309.1	91 %	91,0 %
1	<i>Steroidobacter spec.</i>	AB548216.1	91 %	91,1 %
26	<i>Arenimonas spec.</i>	JN033774.1	94-96 %	95,3 %
Probe EIIIP				
1	<i>Mycobacterium spec.</i>	HE575946.1	99 %	99,0 %
1	<i>Bradyrhizobium spec.</i>	FM998034.1	99 %	99,0 %
46	<i>Acidivorax spec.</i>	AY093698.1	97-100 %	98,8 %
Probe EIVP				
2	<i>Hyphomicrobium spec.</i>	FJ711209.1	94-96 %	95,0 %
46	<i>Acidivorax spec.</i>	AY093698.1	97-100 %	98,9 %

Tab. 12: Streubereiche und Mittelwerte der maximalen Identitäten (Prokaryota); Proben 10P, 11P, 12P, 13P, B1P, B2P, Br1P, E1P, EIP, EIIP, E45P, EIIIP, EIVP

Anzahl Klone	nächster Verwandter	Accession-Nr.	Identität	Identität \bar{x}
Probe 10E				
8	<i>Asellus aquaticus</i>	AJ287055.1	99 %	99,0 %
16	<i>Davidiella tassiana</i>	HQ533794.1	100 %	100 %
Probe 11E				
15	<i>Asellus aquaticus</i>	AJ287055.1	99 %	99,0 %
9	<i>Davidiella tassiana</i>	HQ533794.1	100 %	100 %
Probe B1E				
48	<i>Asellus aquaticus</i>	AJ287055.1	99 %	99,0 %
Probe B2E				
48	<i>Asellus aquaticus</i>	AJ287055.1	99 %	99,0 %
Probe Br1E				
48	<i>Asellus aquaticus</i>	AJ287055.1	99 %	99,0 %
Probe E1E				
1	<i>Protacanthamoeba bohemica</i>	AY960120.1	98 %	98,0 %
5	<i>Naegleria</i> spec.	DQ768723.1	99 %	99,0 %
11	<i>Gibberella moniliformis</i>	AM946177.1	98-99 %	98,9 %
4	<i>Acremonium strictum</i>	HM216184.1	99 %	99,0 %
1	<i>Pichia</i> spec.	EF119340.1	99 %	99,0 %
26	<i>Proasellus slavus (cavaticus)</i>	AF496662.1	99 %	99,0 %
Probe EVE				
2	<i>Cladosporium</i> spec.	JX273057.1	99 %	99,0 %
4	<i>Fusarium</i> spec.	JQ934487.1	99 %	99,0 %
17	<i>Gibberella moniliformis</i>	AM946177.1	98-99 %	98,7 %
2	<i>Phoma</i> spec.	JQ838011.1	99 %	99,0 %
23	<i>Proasellus slavus (cavaticus)</i>	AF496662.1	98-99 %	98,9 %
Probe EVIE				
14	<i>Aspergillus</i> spec.	AB713913.1	99 %	99,0 %
14	<i>Gibberella moniliformis</i>	AM946177.1	98-99 %	98,9 %
20	<i>Proasellus slavus (cavaticus)</i>	AF496662.1	98-99 %	98,9 %
Probe E45E				
3	<i>Protacanthamoeba bohemica</i>	AY960120.1	98 %	98,0 %
19	<i>Naegleria</i> spec.	DQ768723.1	99 %	99,0 %
8	<i>Gibberella moniliformis</i>	AM946177.1	99 %	99,0 %
2	<i>Sarocladium kiliense</i>	HQ232198.1	99 %	99,0 %
16	<i>Proasellus slavus (cavaticus)</i>	AF496662.1	98-99 %	98,8 %
Probe EVIIE				
9	<i>Gibberella moniliformis</i>	AM946177.1	98-99 %	98,8 %
39	<i>Proasellus slavus (cavaticus)</i>	AF496662.1	98-99 %	98,9 %
Probe EVIIIE				
13	<i>Gibberella moniliformis</i>	AM946177.1	98-99 %	98,9 %
35	<i>Proasellus slavus (cavaticus)</i>	AF496662.1	98-99 %	98,9 %

Tab. 13: Streubereiche und Mittelwerte der maximalen Identitäten (Eukaryota); Proben 10E, 11E, B1E, B2E, Br1E, E1E, EVE, EVIE, E45E, EVIIE, EVIIIE

7.2 Sequenzlängen und maximale Identitäten

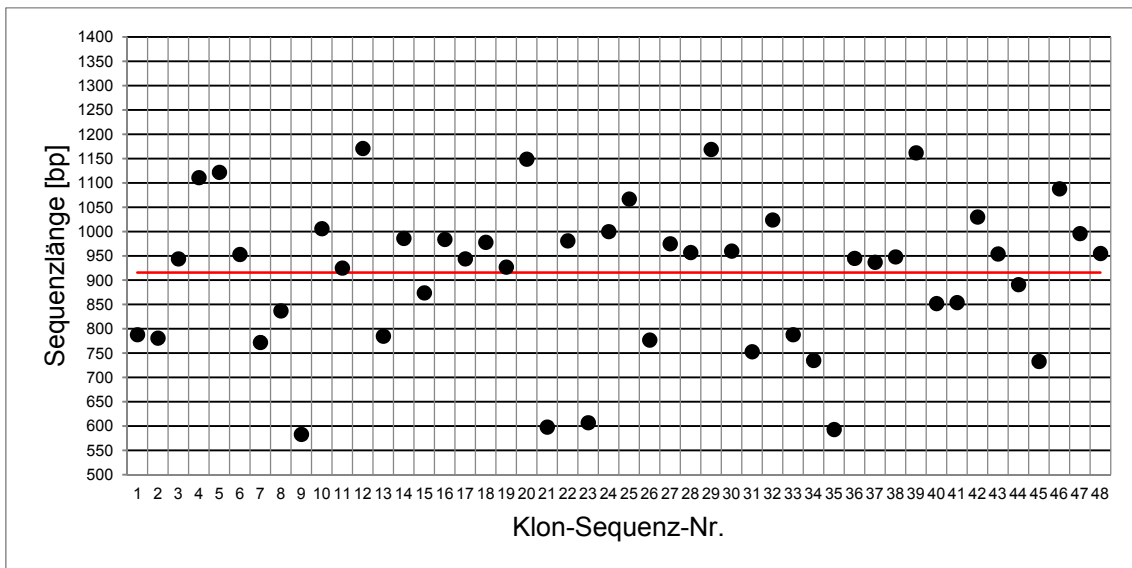


Abb. 53: Sequenzlängen [Basenpaare] der Klone 1-48; Probe 10P

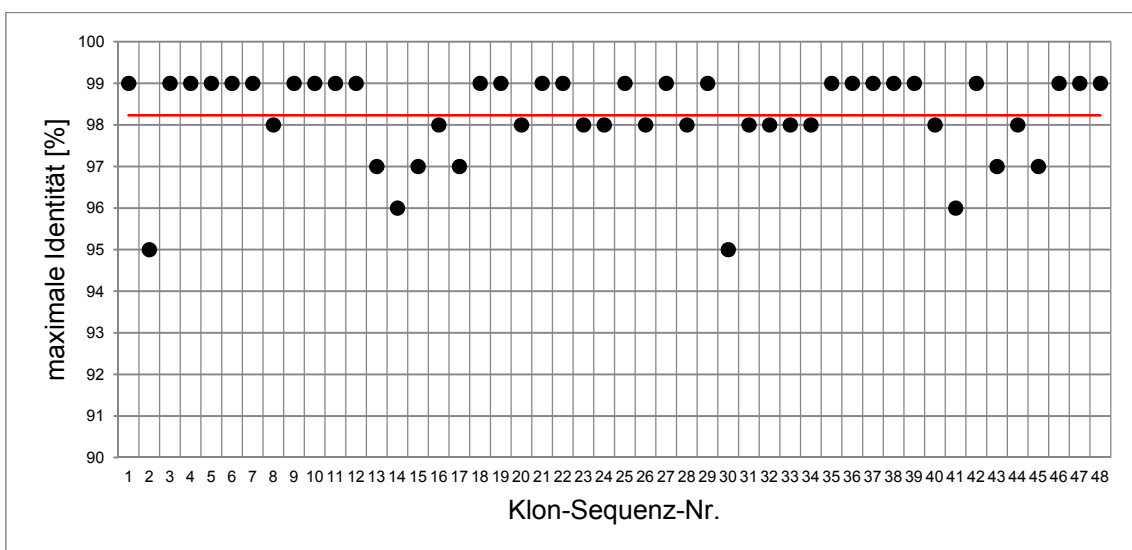


Abb. 54: maximale Identität [Prozent] der Klone 1-48; Probe 10P

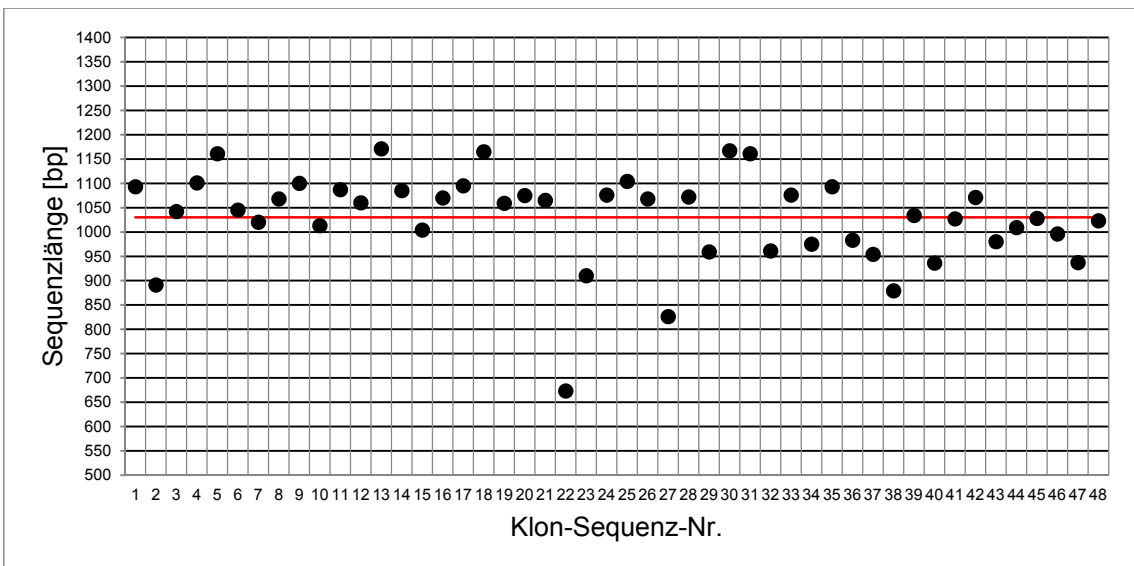


Abb. 55: Sequenzlängen [Basenpaare] der Klone 1-48; Probe 11P

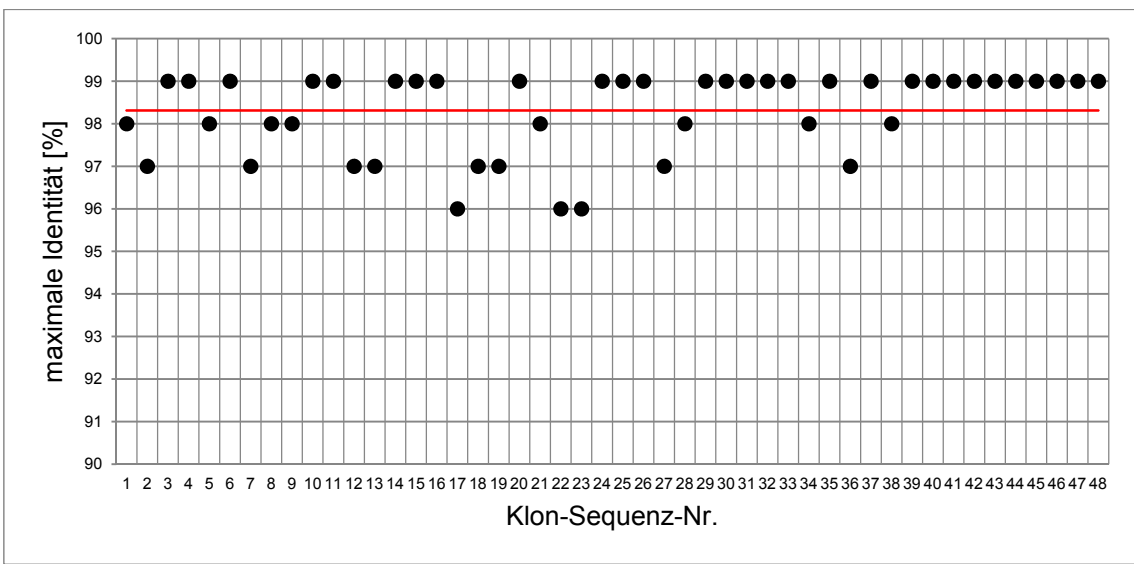


Abb. 56: maximale Identität [Prozent] der Klone 1-48; Probe 11P

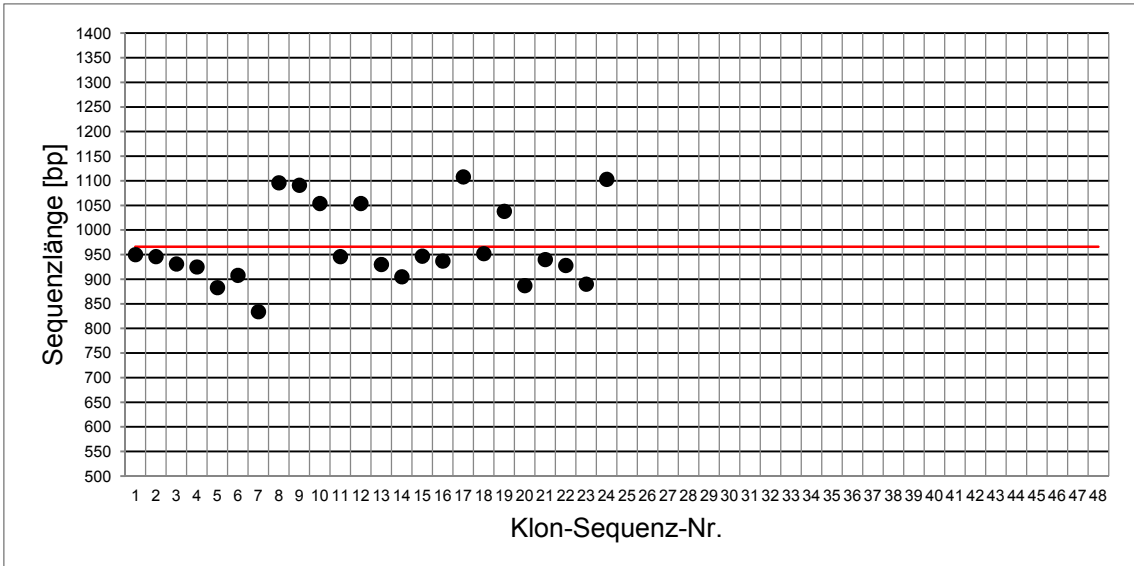


Abb. 57: Sequenzlängen [Basenpaare] der Klone 1-24; Probe 10E

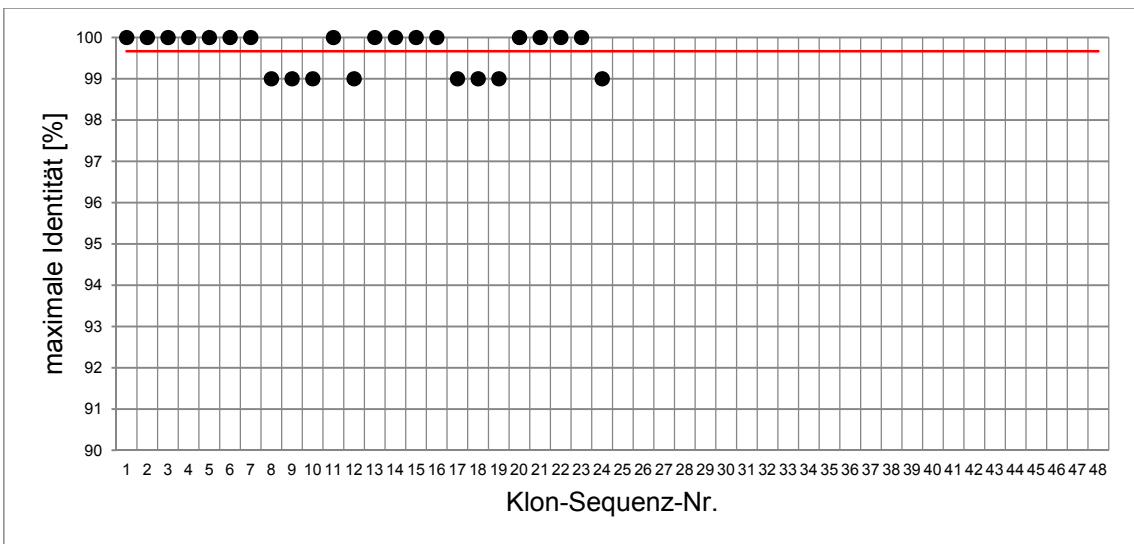


Abb. 58: maximale Identität [Prozent] der Klone 1-24; Probe 10E

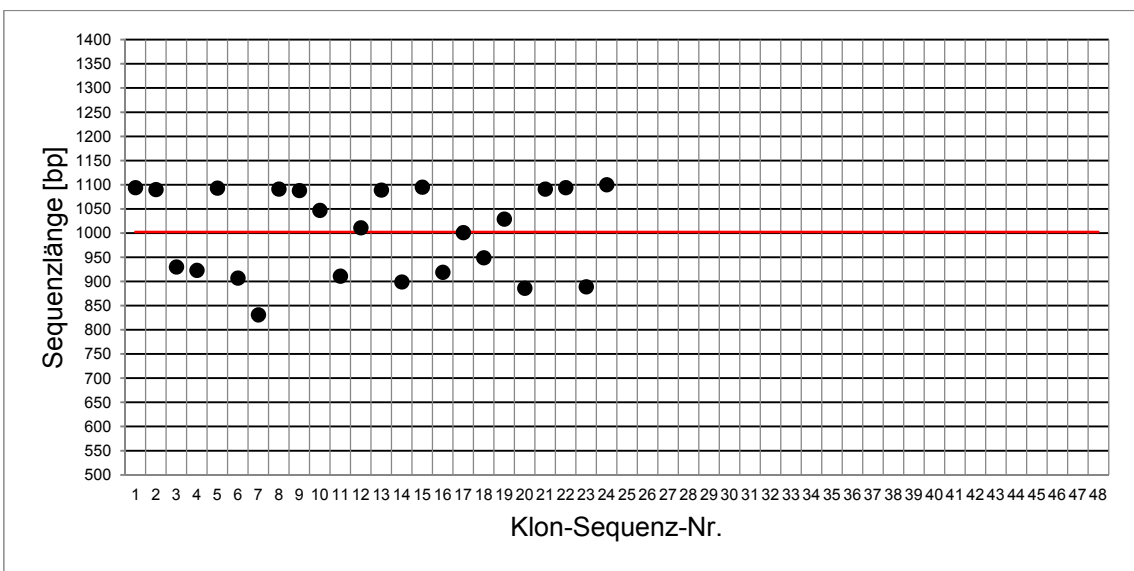


Abb. 59: Sequenzlängen [Basenpaare] der Klone 1-24; Probe 11E

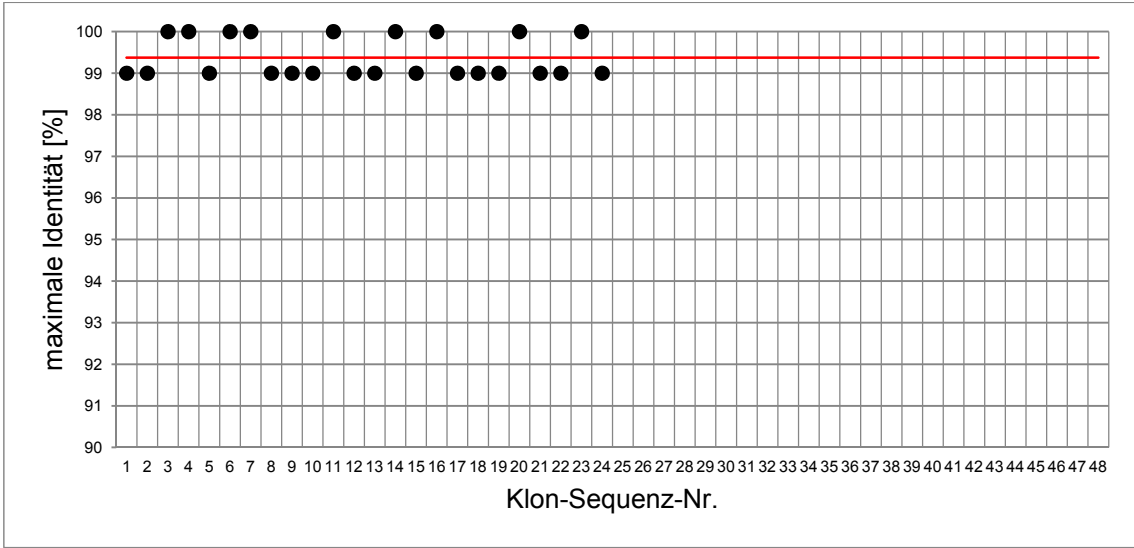


Abb. 60: maximale Identität [Prozent] der Klone 1-24; Probe 11E

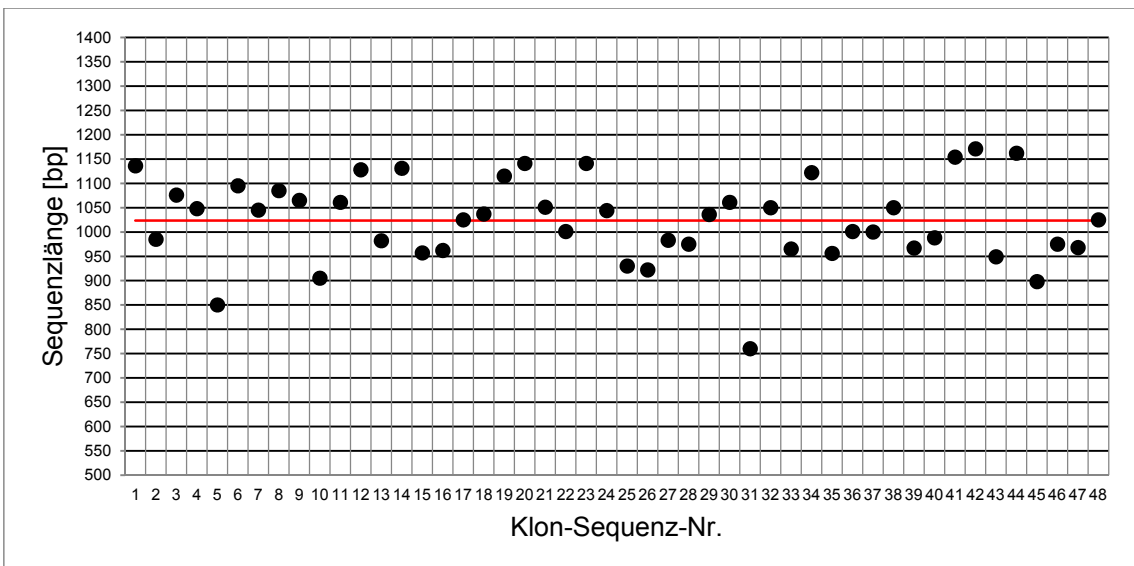


Abb. 61: Sequenzlängen [Basenpaare] der Klone 1-48; Probe 12P



Abb. 62: maximale Identität [Prozent] der Klone 1-48; Probe 12P

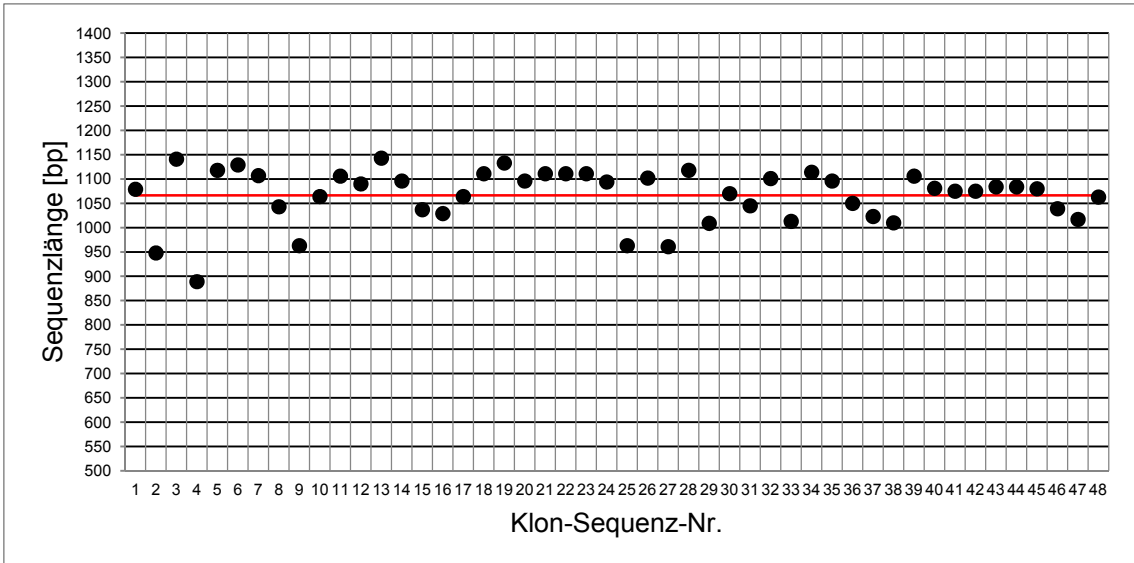


Abb. 63: Sequenzlängen [Basenpaare] der Klone 1-48; Probe 13P

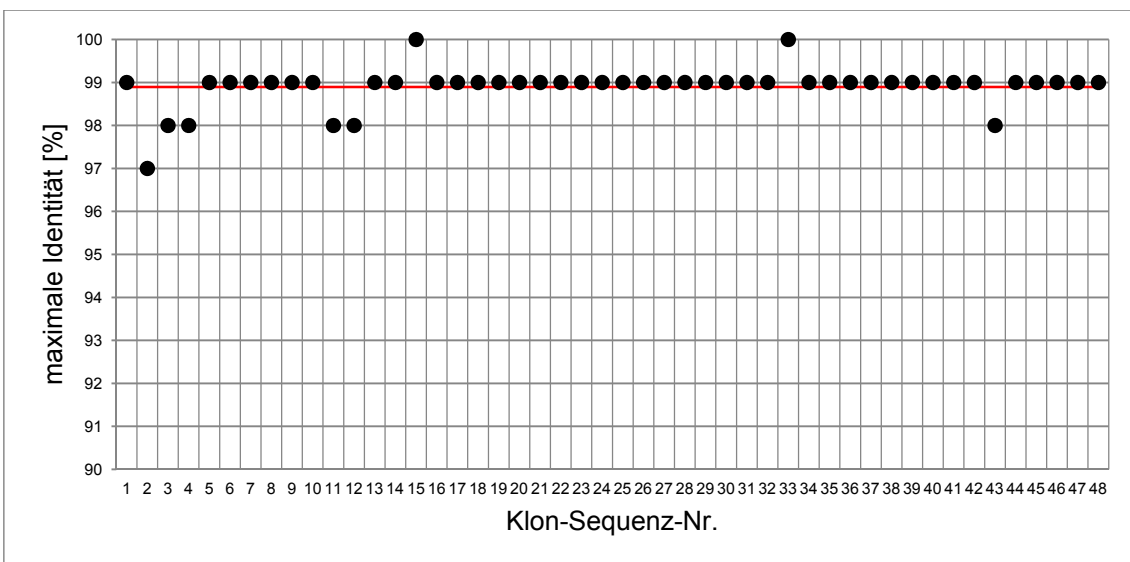


Abb. 64: maximale Identität [Prozent] der Klone 1-48; Probe 13P

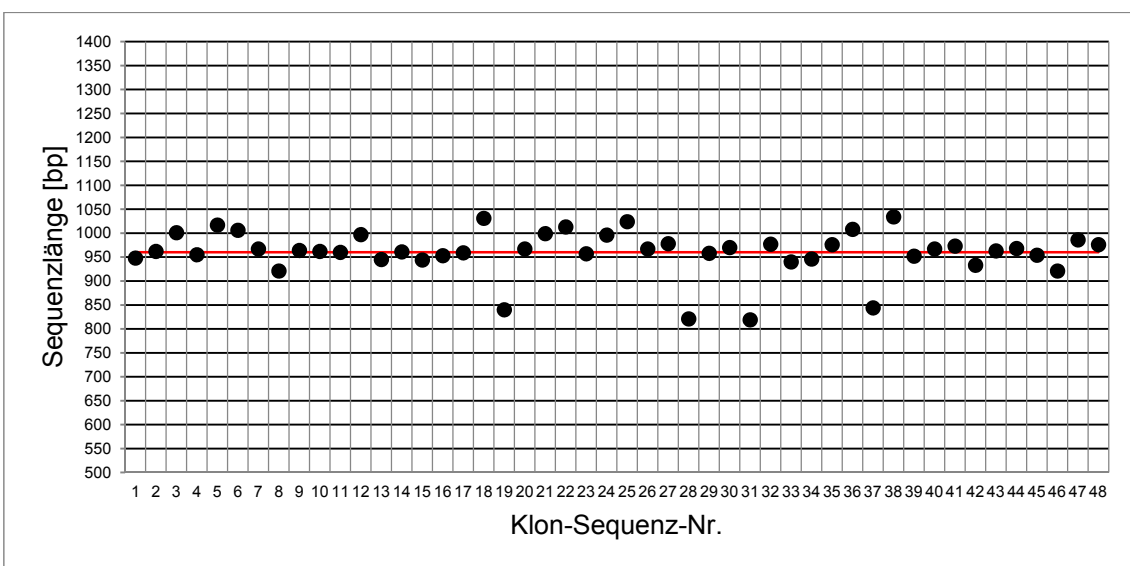


Abb. 65: Sequenzlängen [Basenpaare] der Klone 1-48; Probe B1P

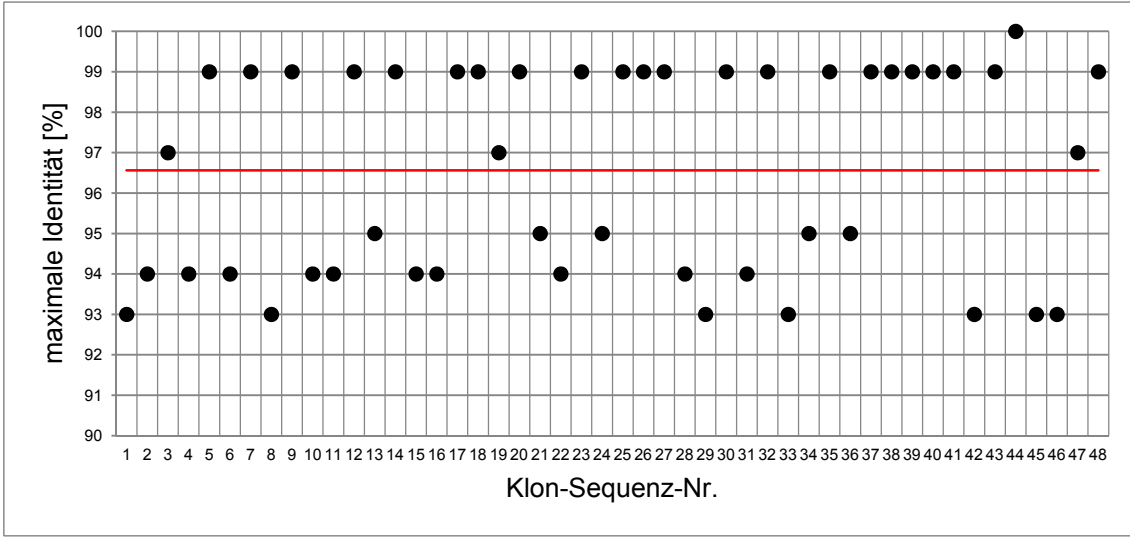


Abb. 66: maximale Identität [Prozent] der Klone 1-48; Probe B1P

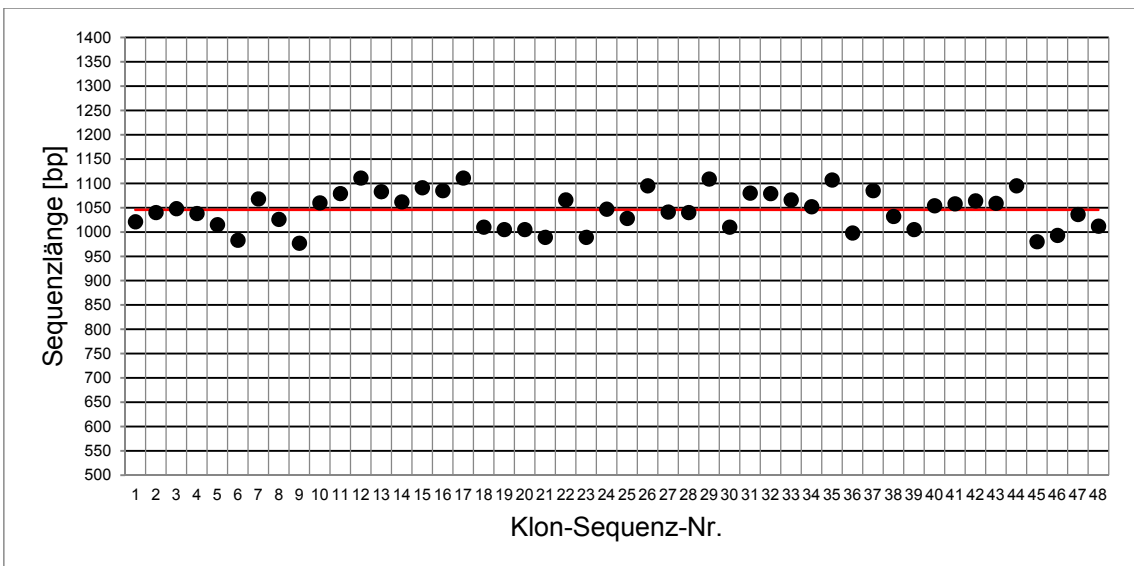


Abb. 67: Sequenzlängen [Basenpaare] der Klone 1-48; Probe B2P

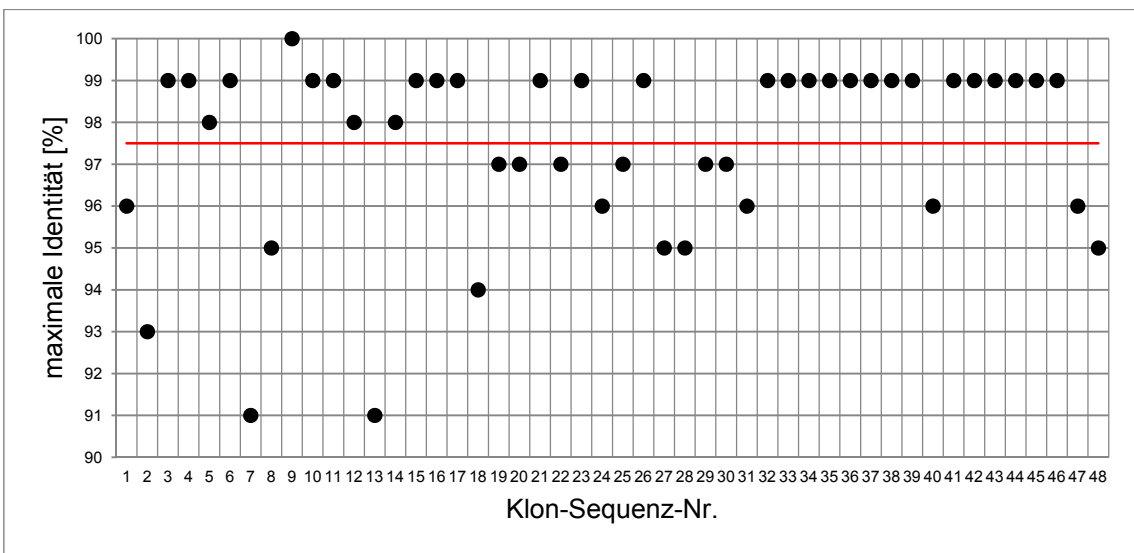


Abb. 68: maximale Identität [Prozent] der Klone 1-48; Probe B2P

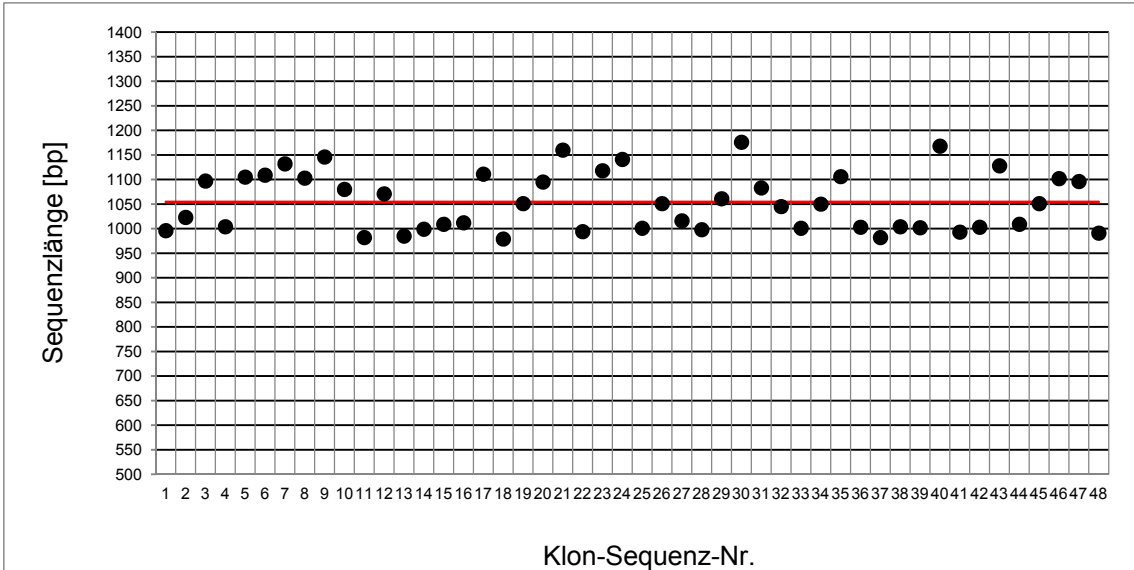


Abb. 69: Sequenzlängen [Basenpaare] der Klone 1-48; Probe B1E

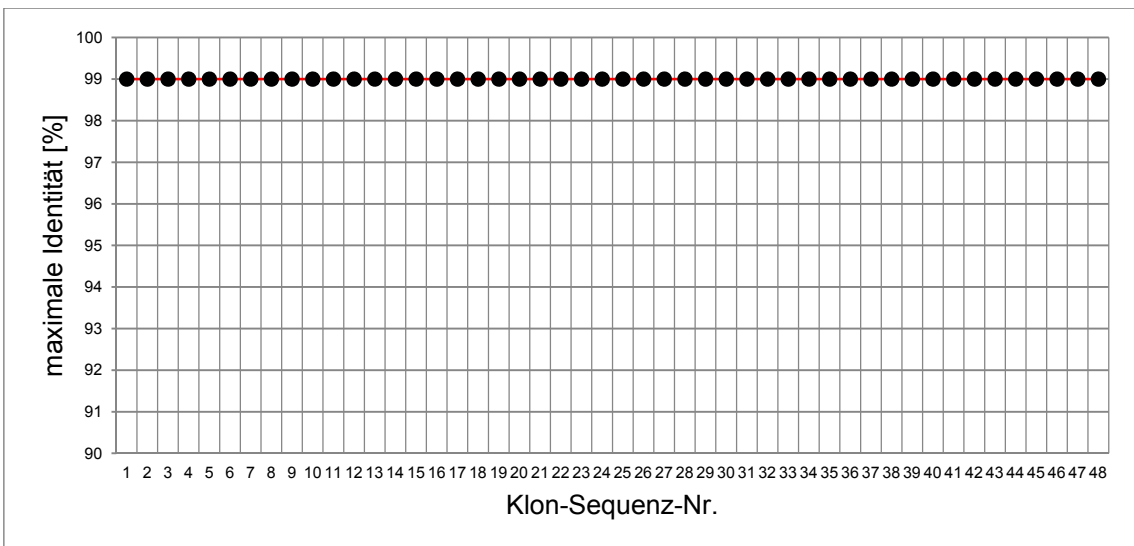


Abb. 70: maximale Identität [Prozent] der Klone 1-48; Probe B1E

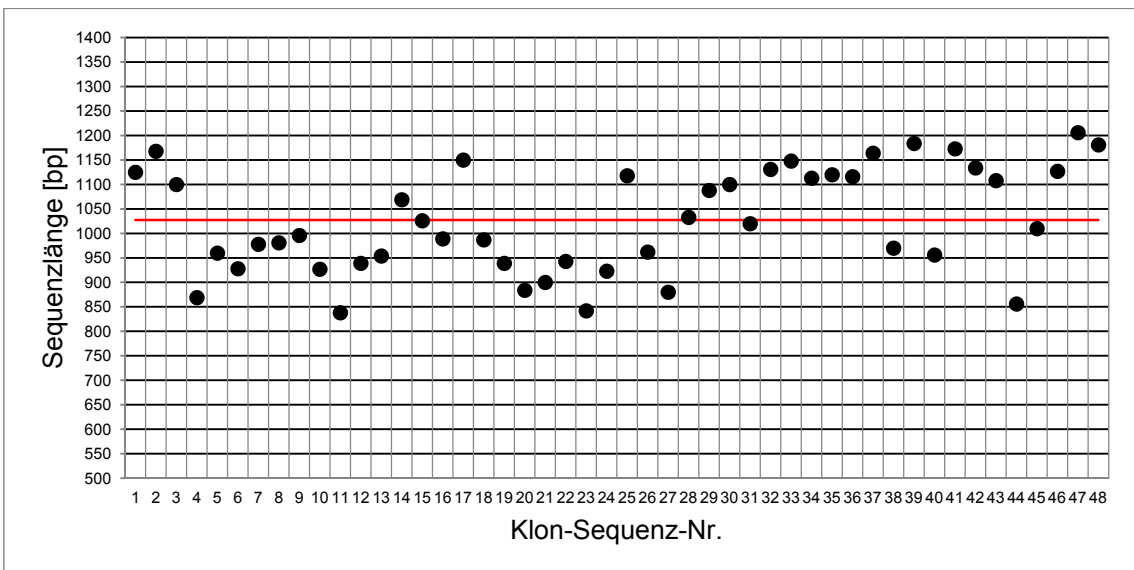


Abb. 71: Sequenzlängen [Basenpaare] der Klone 1-48; Probe B2E

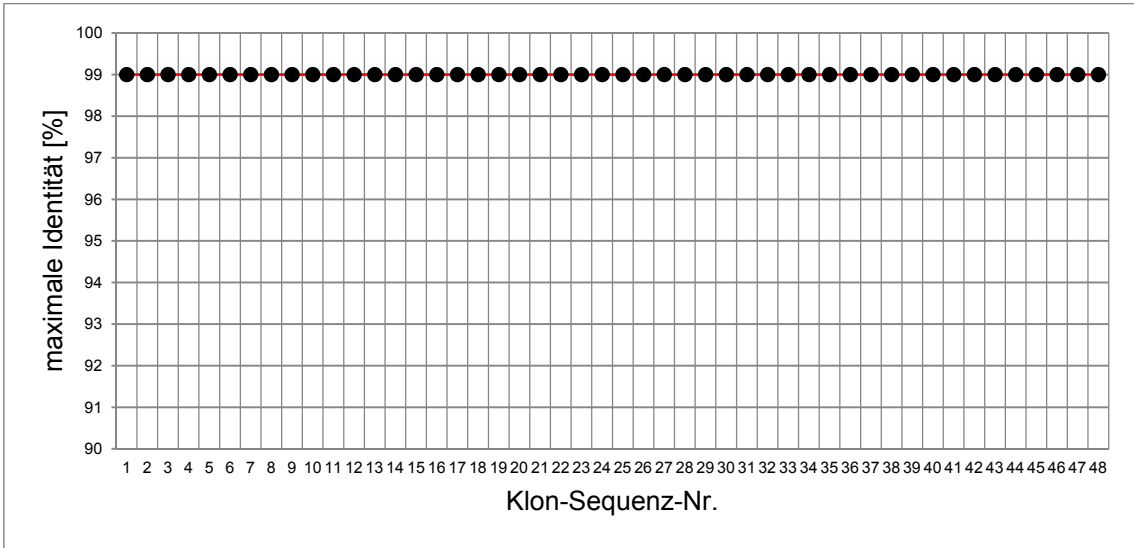


Abb. 72: maximale Identität [Prozent] der Klone 1-48; Probe B2E

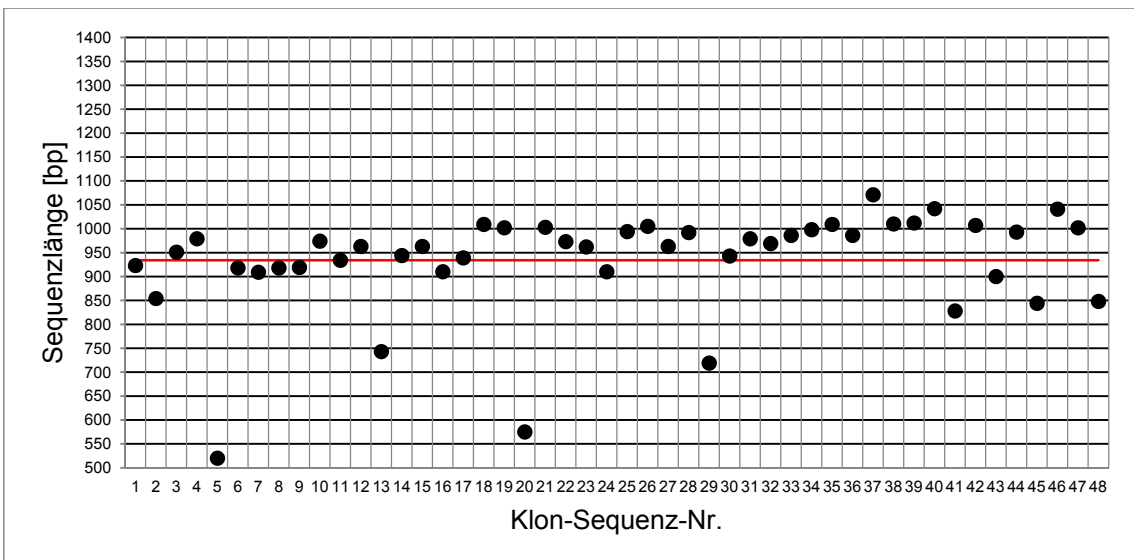


Abb. 73: Sequenzlängen [Basenpaare] der Klone 1-48; Probe Br1P

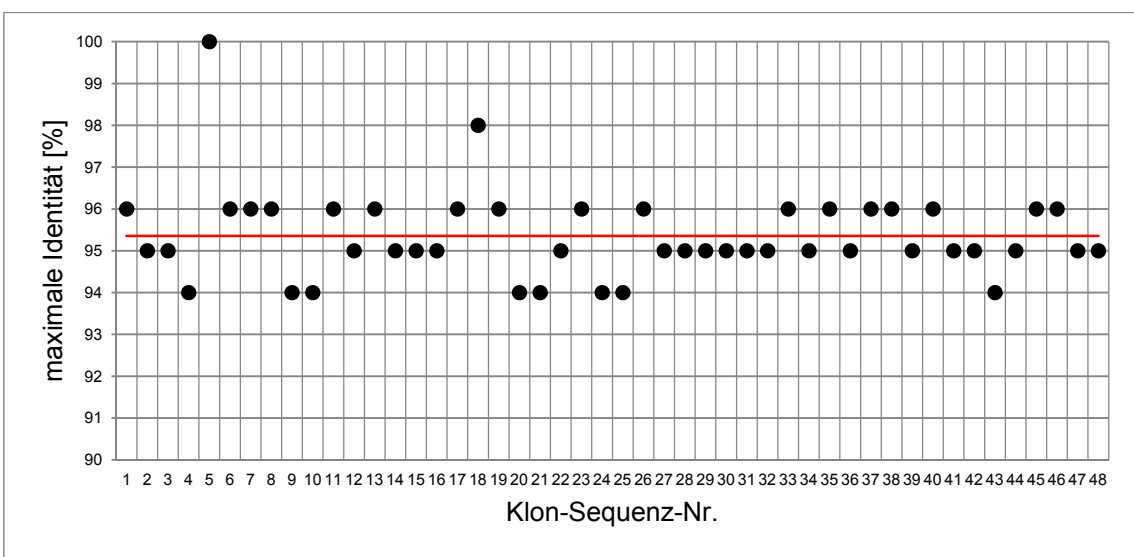


Abb. 74: maximale Identität [Prozent] der Klone 1-48; Probe Br1P

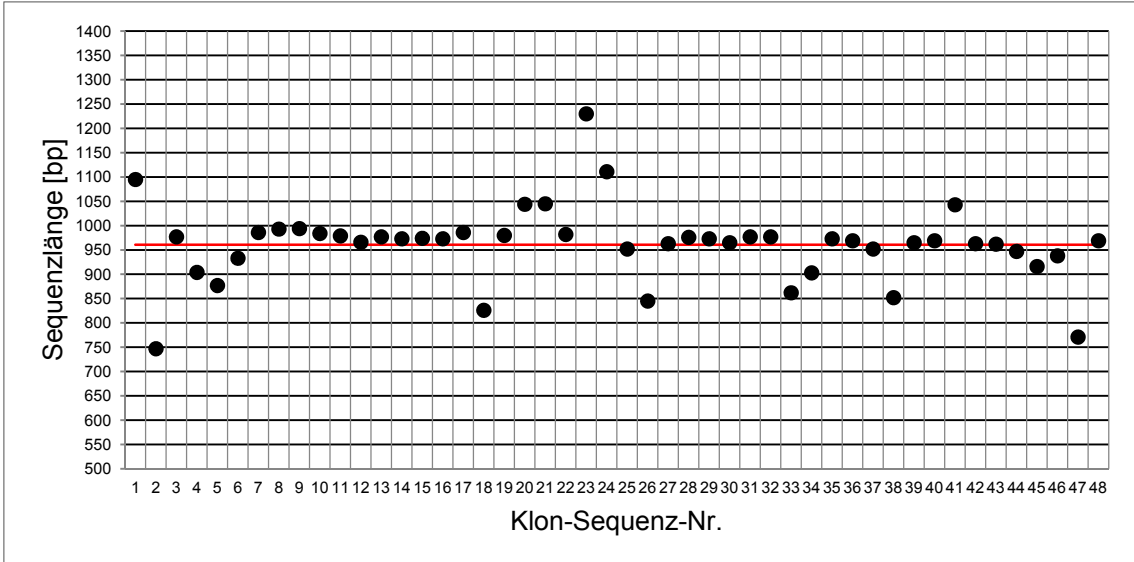


Abb. 75: Sequenzlängen [Basenpaare] der Klone 1-48; Probe Br1E

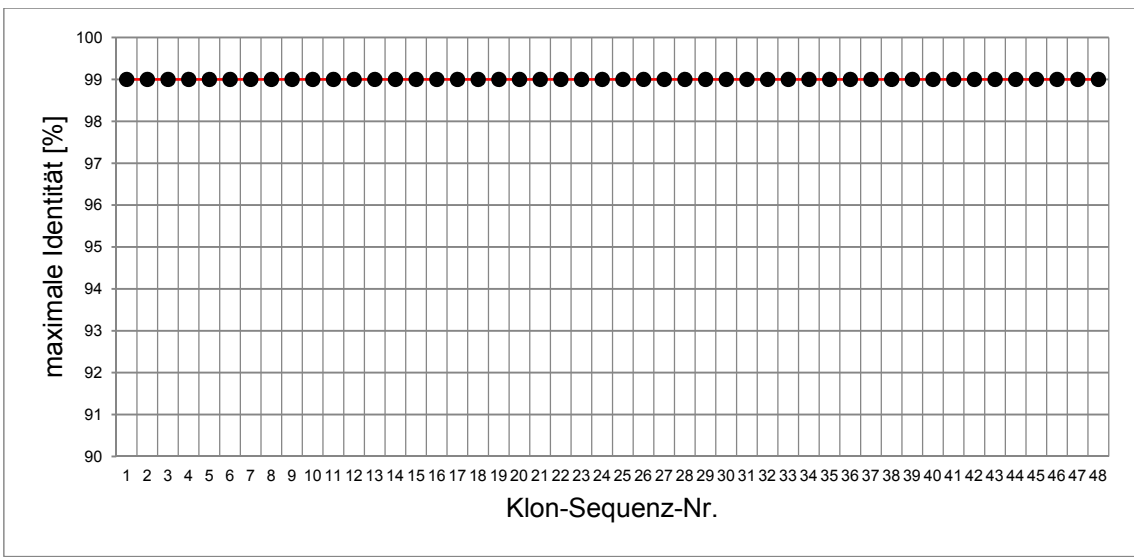


Abb. 76: maximale Identität [Prozent] der Klone 1-48; Probe Br1E

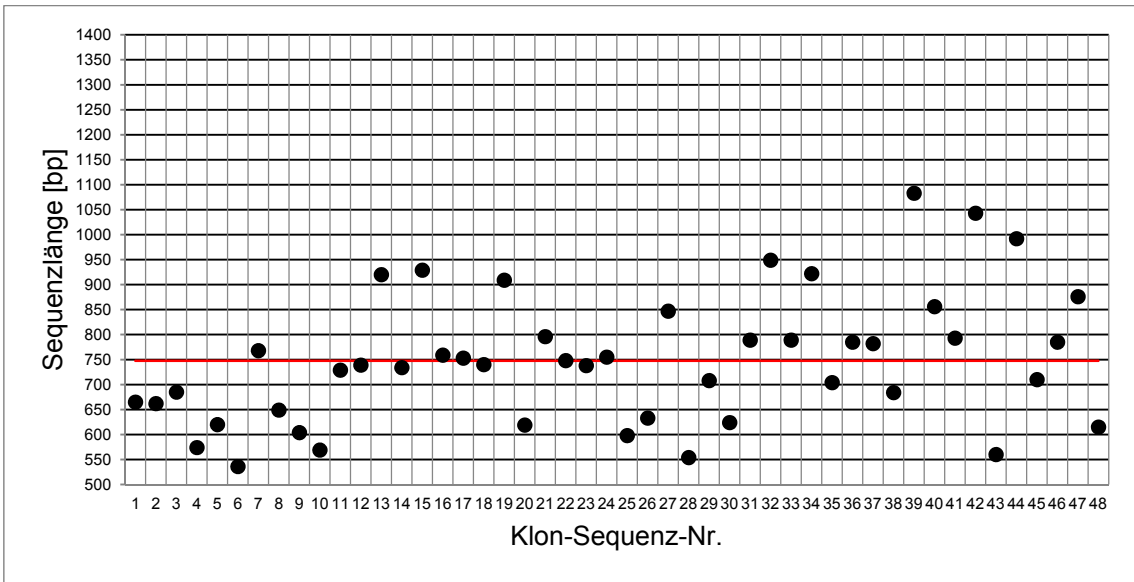


Abb. 77: Sequenzlängen [Basenpaare] der Klone 1-48; Probe E1P

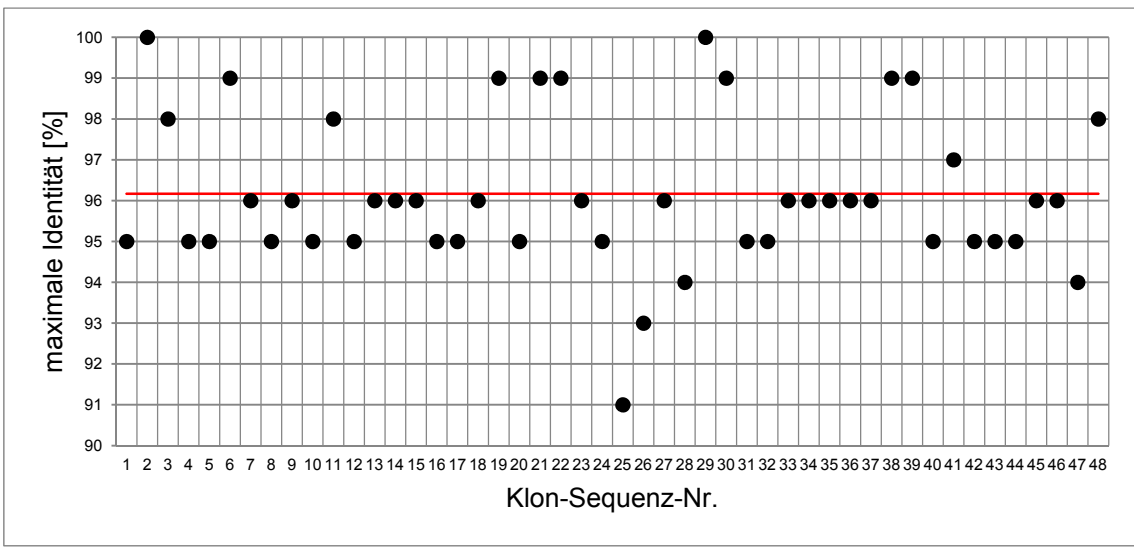


Abb. 78: maximale Identität [Prozent] der Klone 1-48; Probe E1P

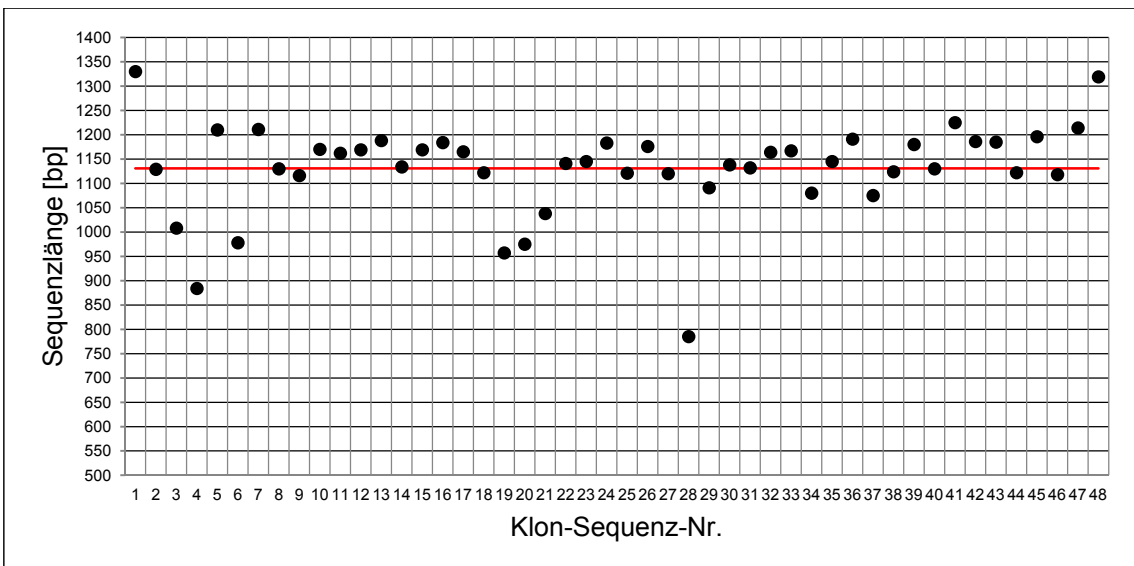


Abb. 79: Sequenzlängen [Basenpaare] der Klone 1-48; Probe EIP

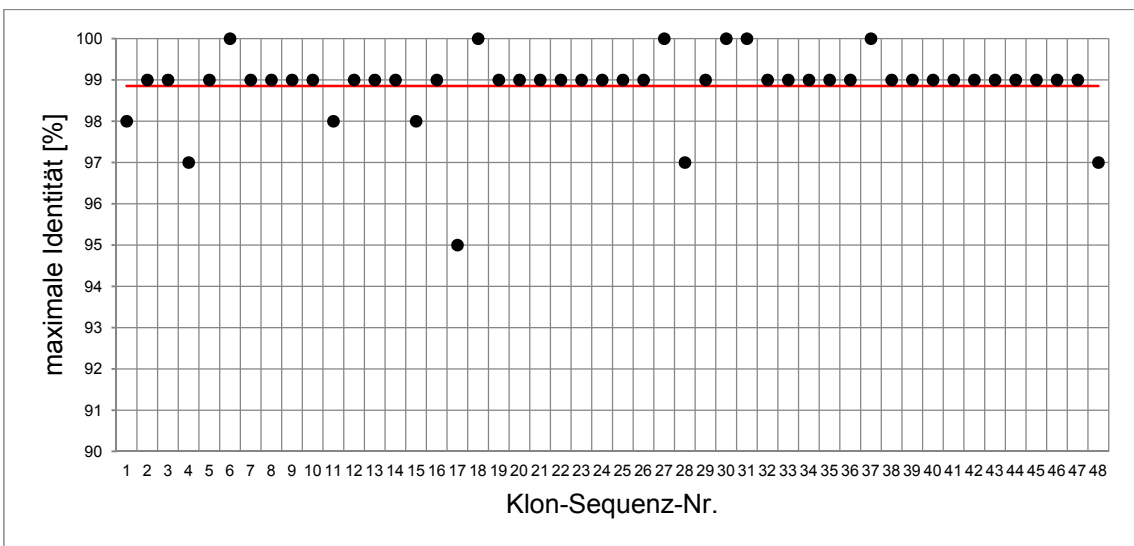


Abb. 80: maximale Identität [Prozent] der Klone 1-48; Probe EIP

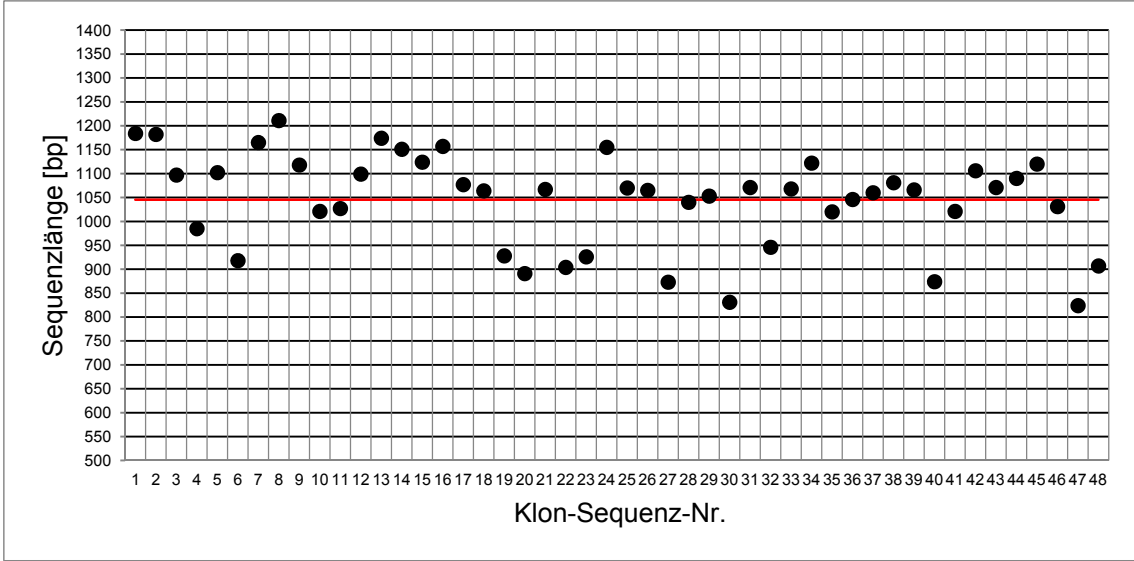


Abb. 81: Sequenzlängen [Basenpaare] der Klone 1-48; Probe EIIP

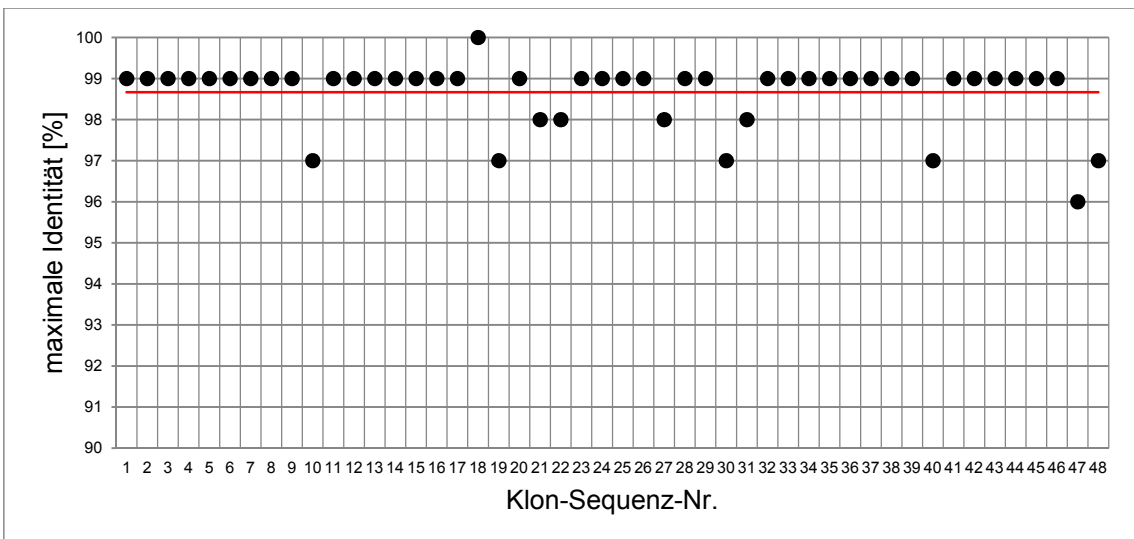


Abb. 82: maximale Identität [Prozent] der Klone 1-48; Probe EIIP

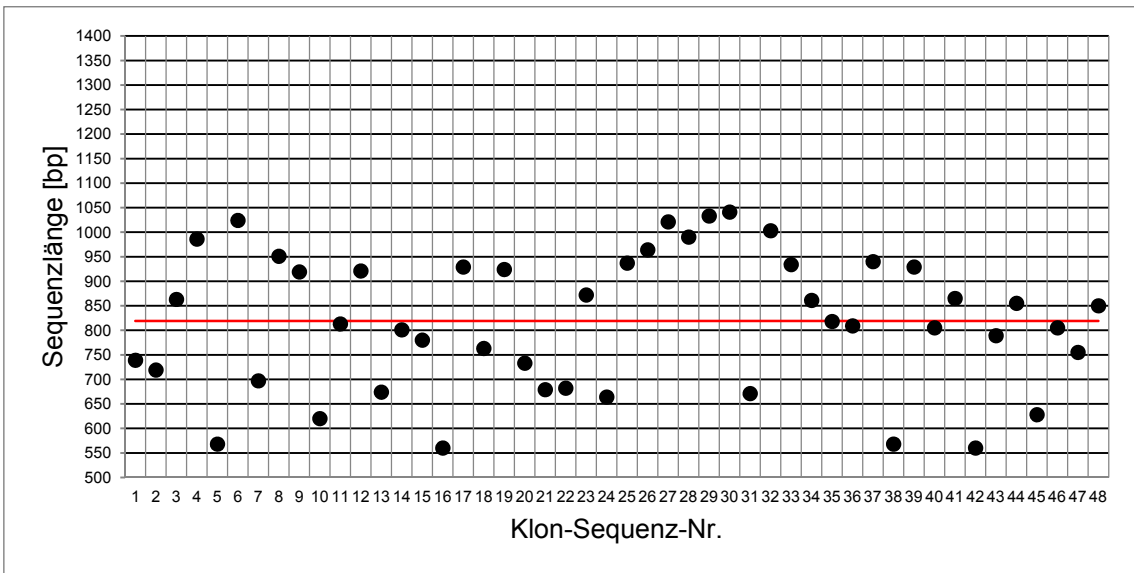


Abb. 83: Sequenzlängen [Basenpaare] der Klone 1-48; Probe E45P

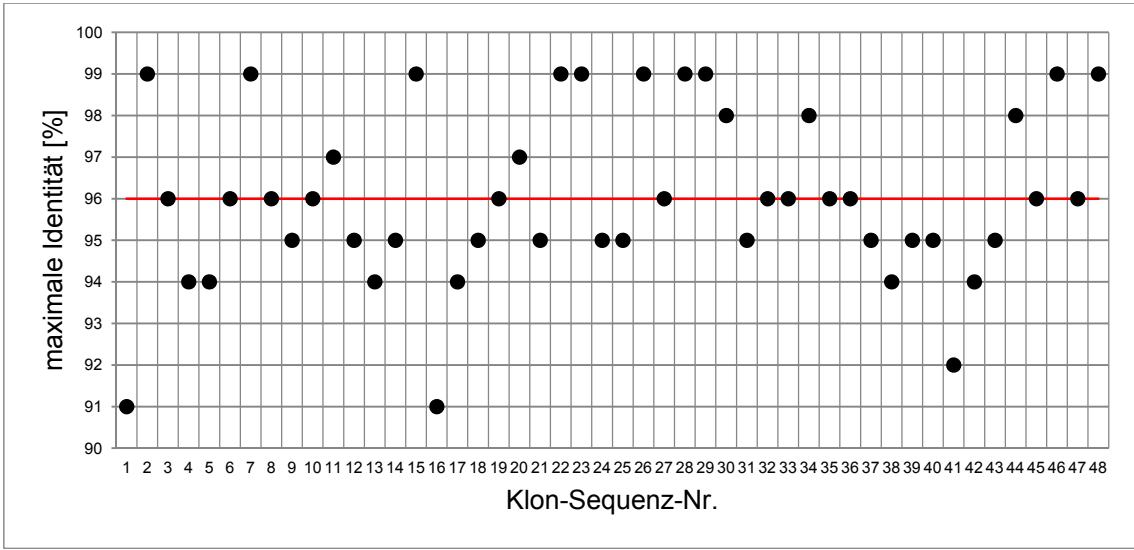


Abb. 84: maximale Identität [Prozent] der Klone 1-48; Probe E45P

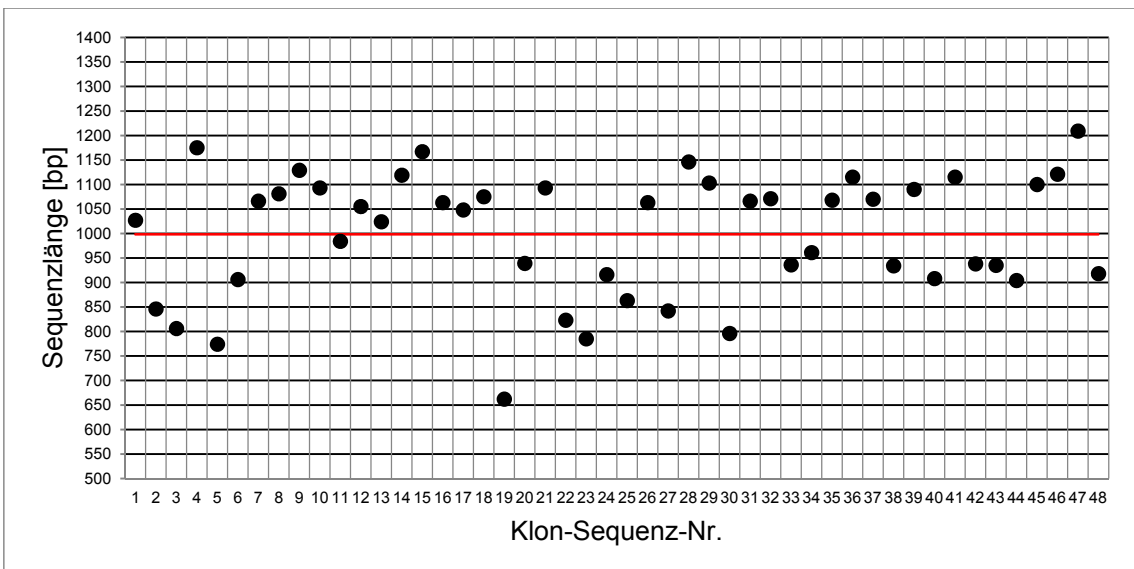


Abb. 85: Sequenzlängen [Basenpaare] der Klone 1-48; Probe EIIIP

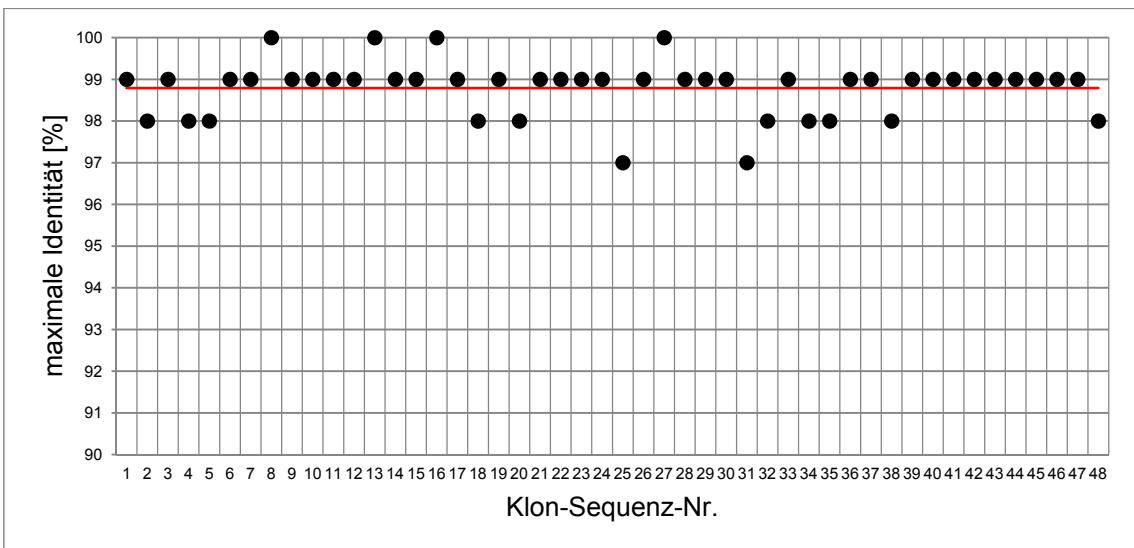


Abb. 86: maximale Identität [Prozent] der Klone 1-48; Probe EIIIP

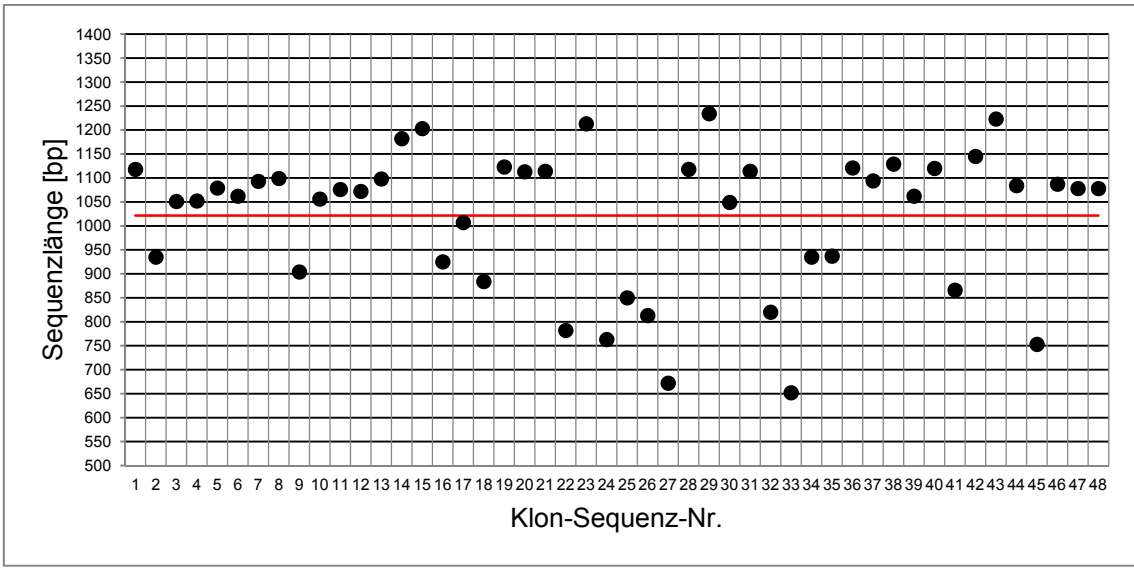


Abb. 87: Sequenzlängen [Basenpaare] der Klone 1-48; Probe EIVP

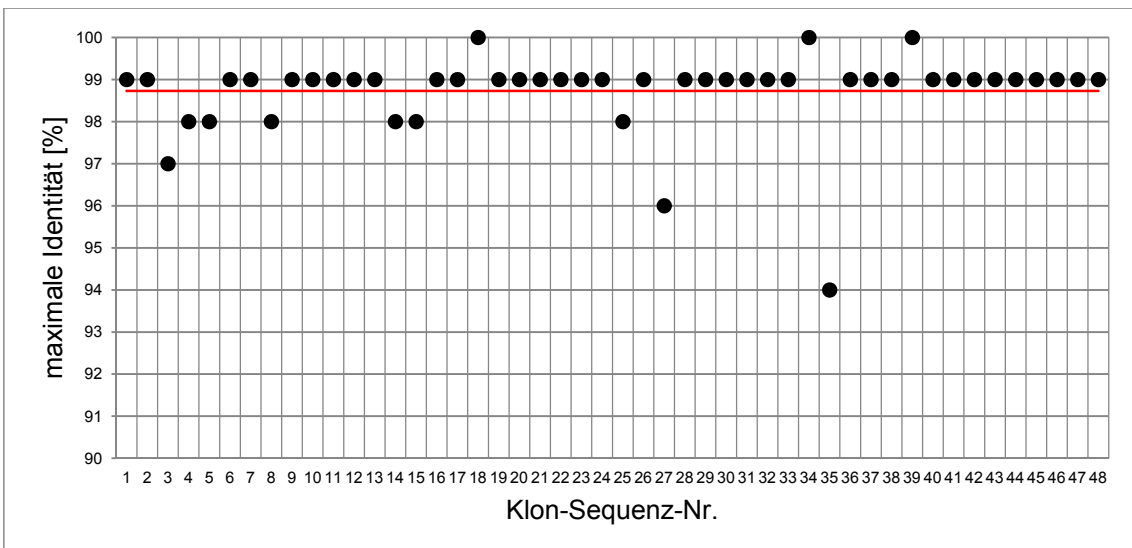


Abb. 88: maximale Identität [Prozent] der Klone 1-48; Probe EIVP

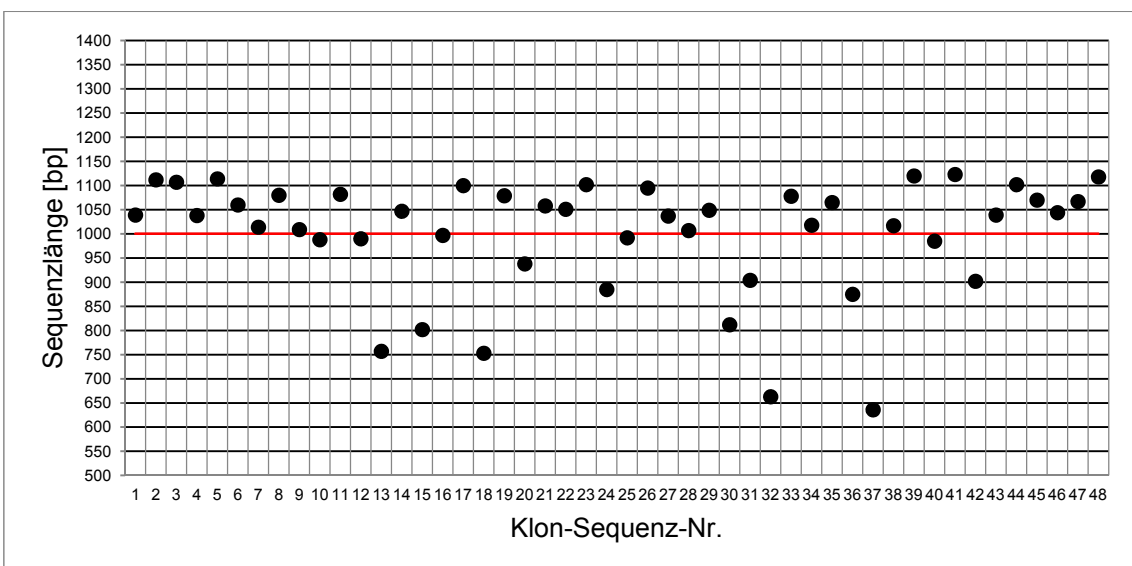


Abb. 89: Sequenzlängen [Basenpaare] der Klone 1-48; Probe E1E

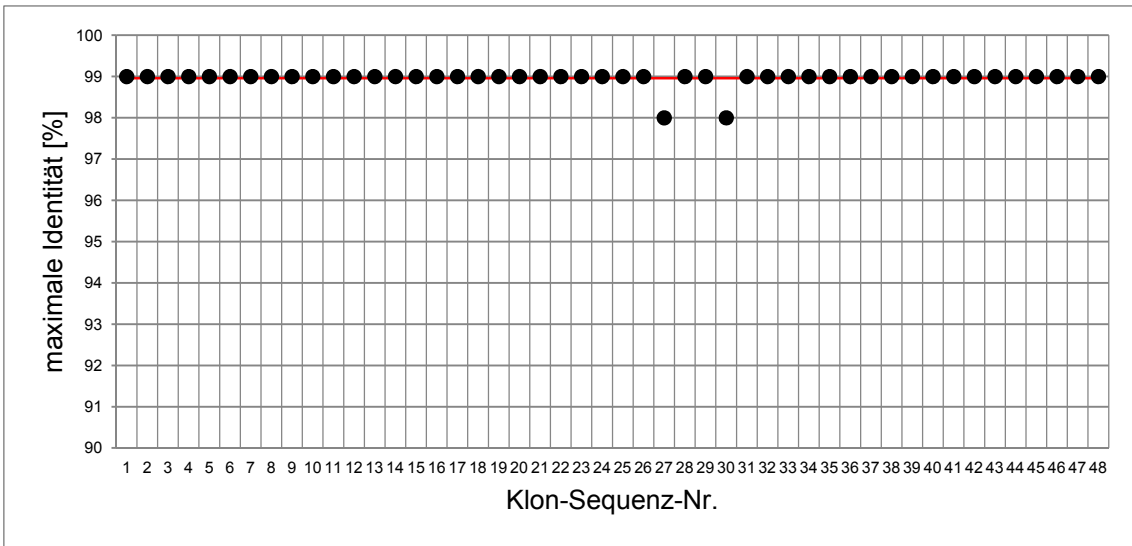


Abb. 90: maximale Identität [%] der Klone 1-48; Probe E1E

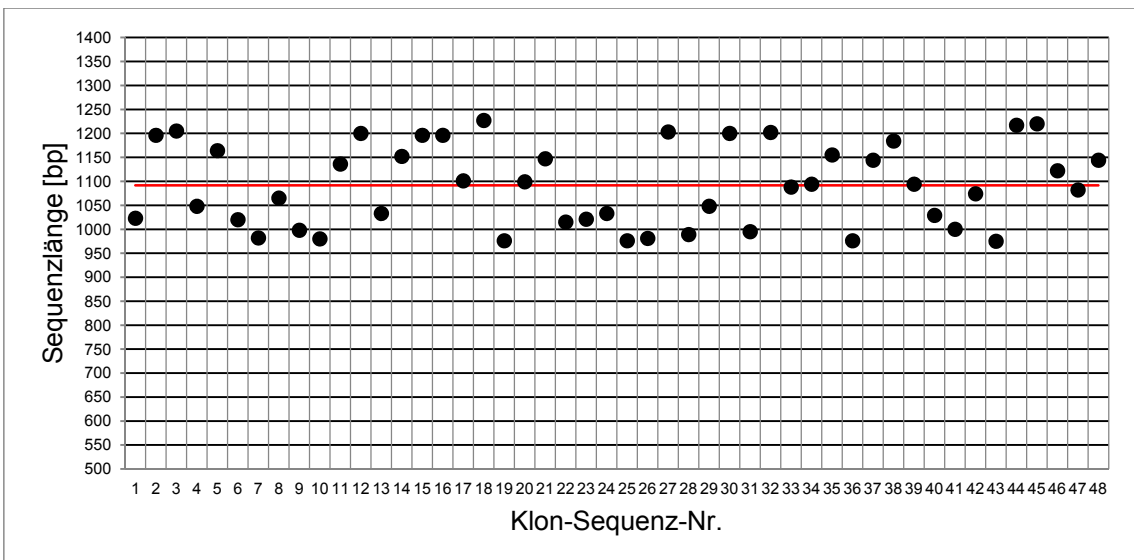


Abb. 91: Sequenzlängen [Basenpaare] der Klone 1-48; Probe EVE

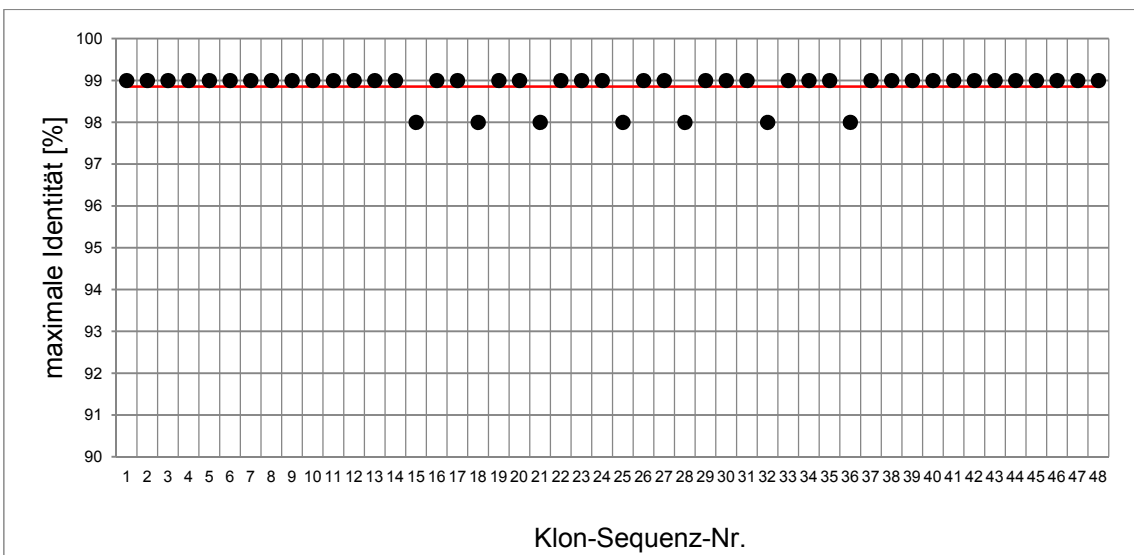


Abb. 92: maximale Identität [Prozent] der Klone 1-48; Probe EVE

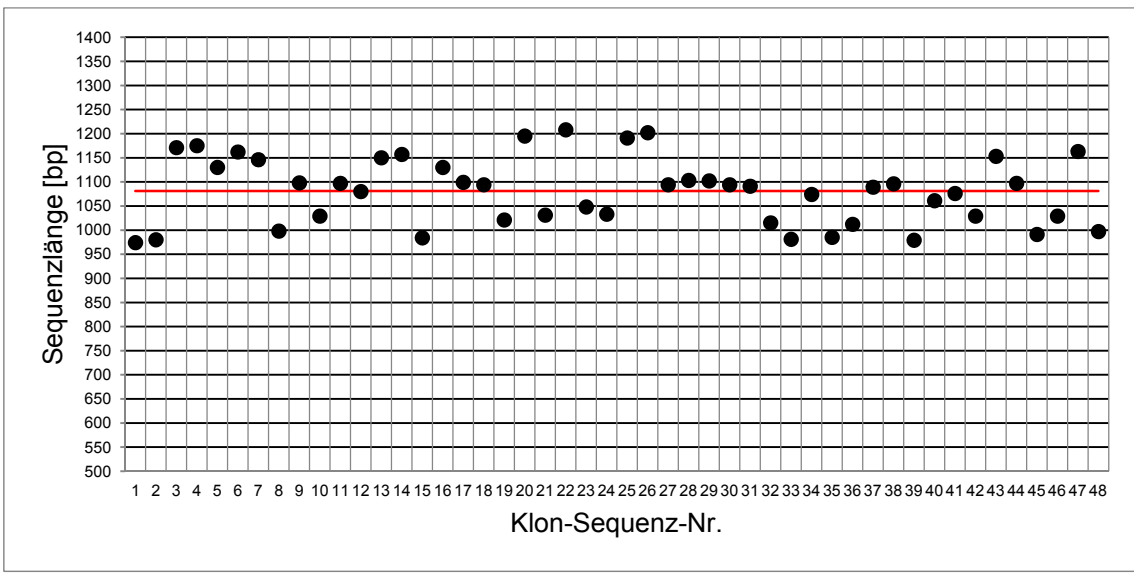


Abb. 93: Sequenzlängen [Basenpaare] der Klone 1-48; Probe EVIE

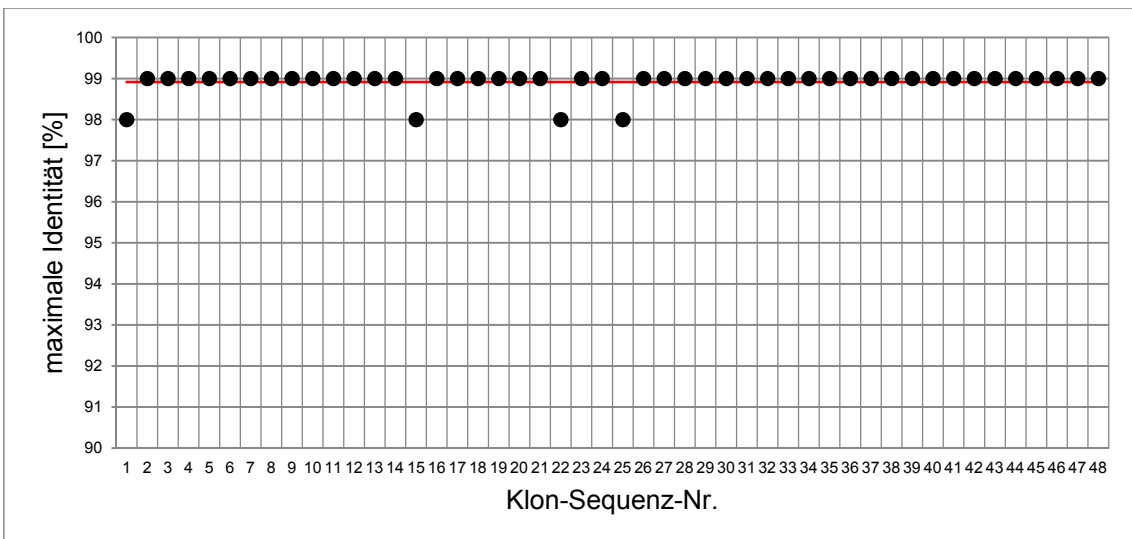


Abb. 94: maximale Identität [Prozent] der Klone 1-48; Probe EVIE

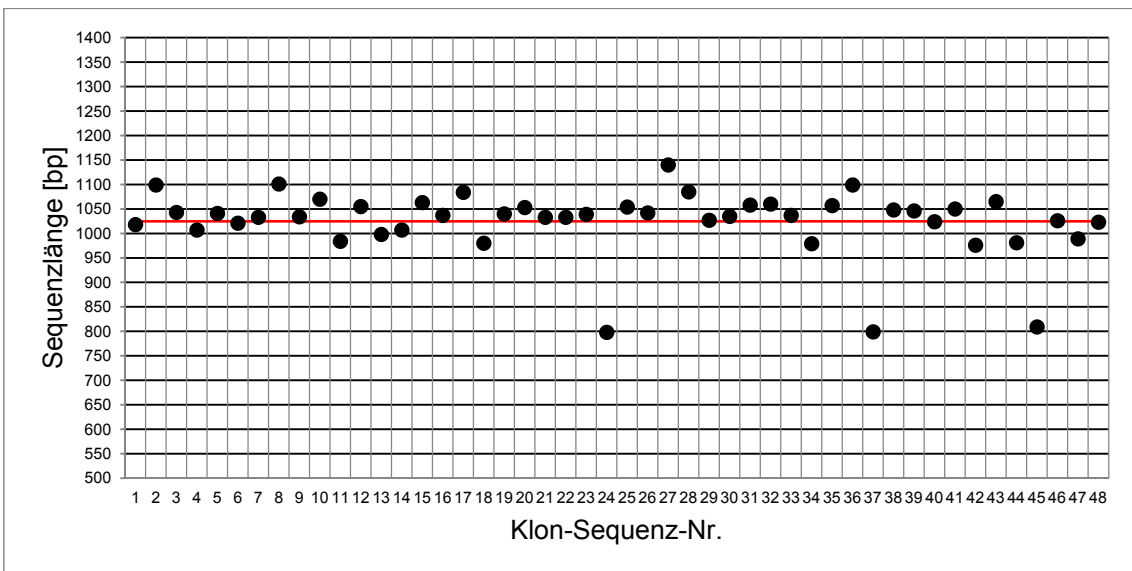


Abb. 95: Sequenzlängen [Basenpaare] der Klone 1-48; Probe E45E

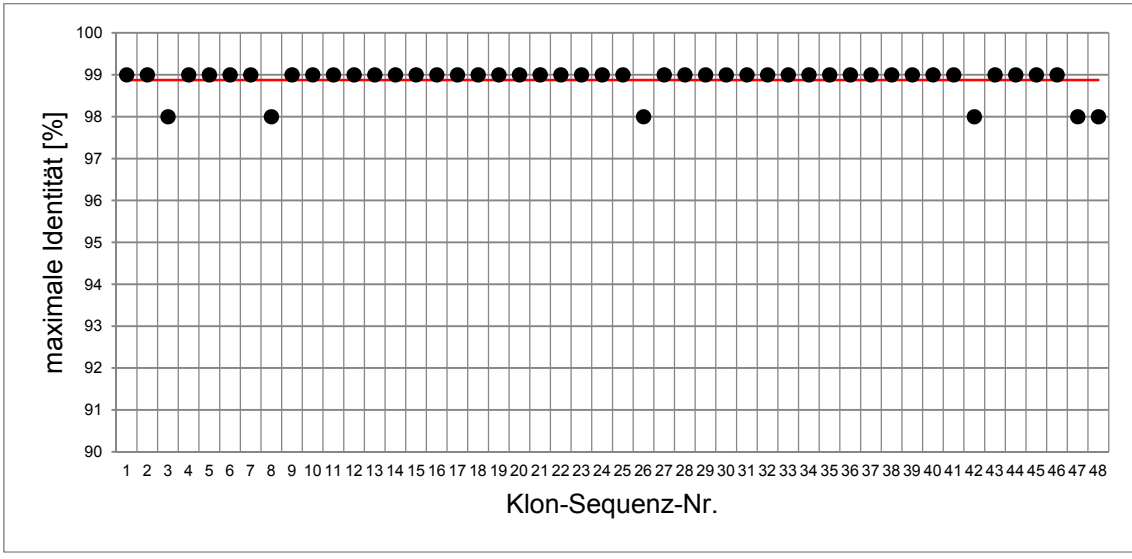


Abb. 96: maximale Identität [Prozent] der Klone 1-48; Probe E45E

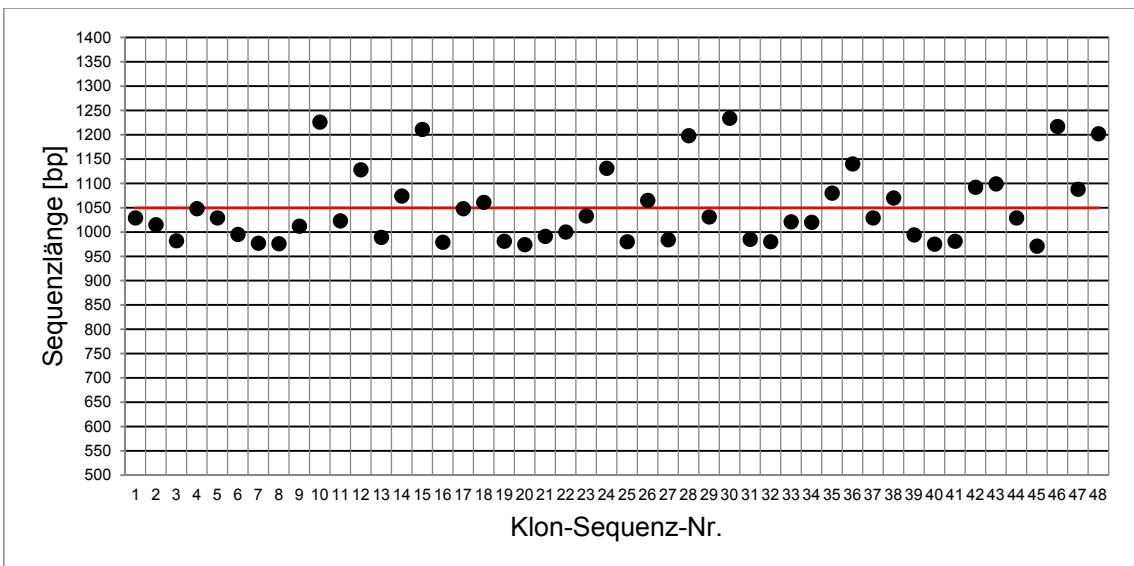


Abb. 97: Sequenzlängen [Basenpaare] der Klone 1-48; Probe EVIIIE

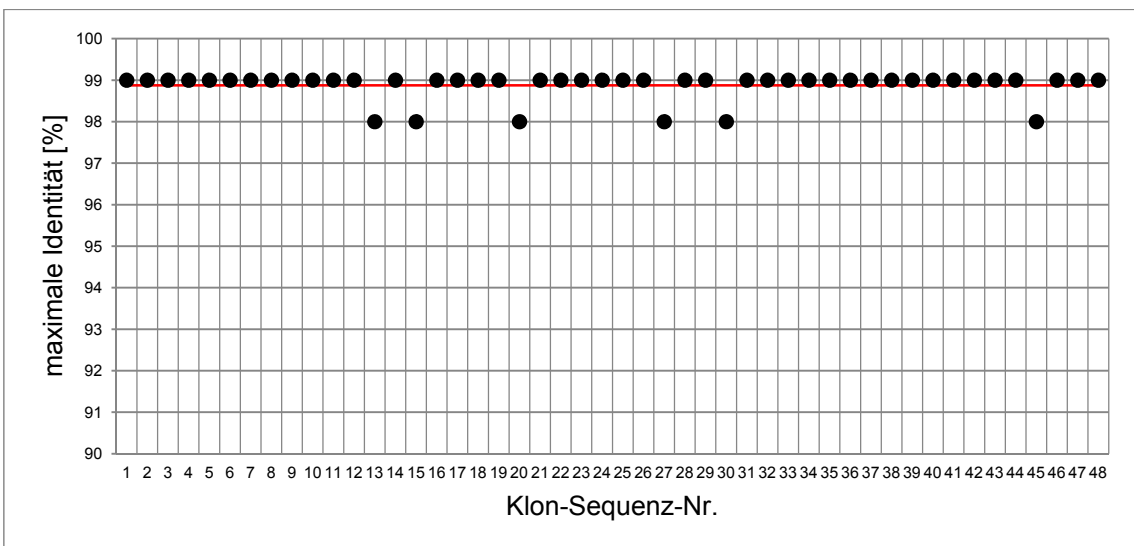


Abb. 98: maximale Identität [Prozent] der Klone 1-48; Probe EVIIIE

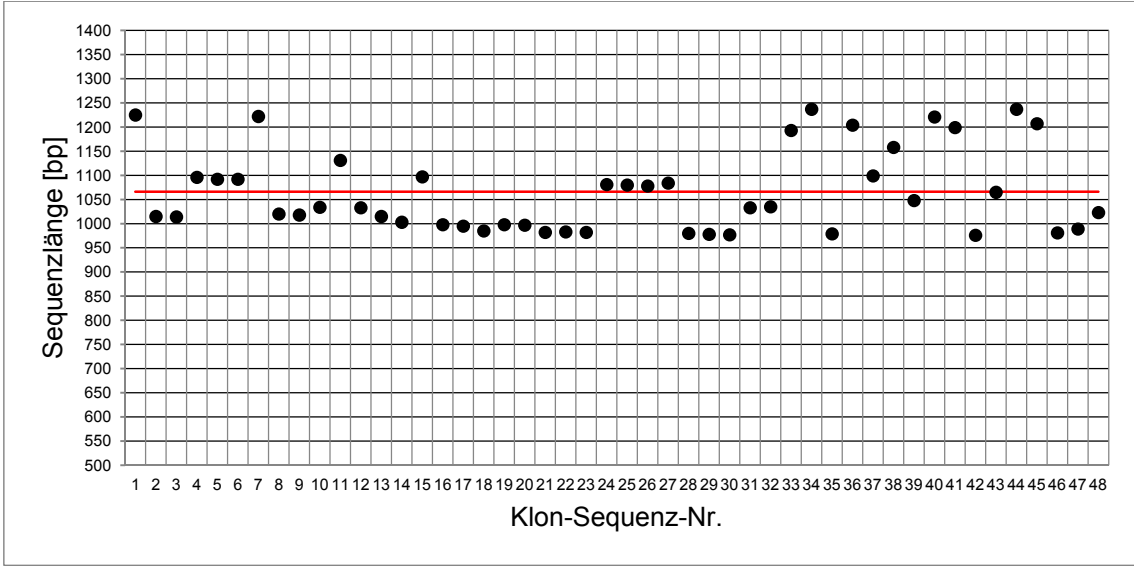


Abb. 99: Sequenzlängen [Basenpaare] der Klone 1-48; Probe EVIIIE

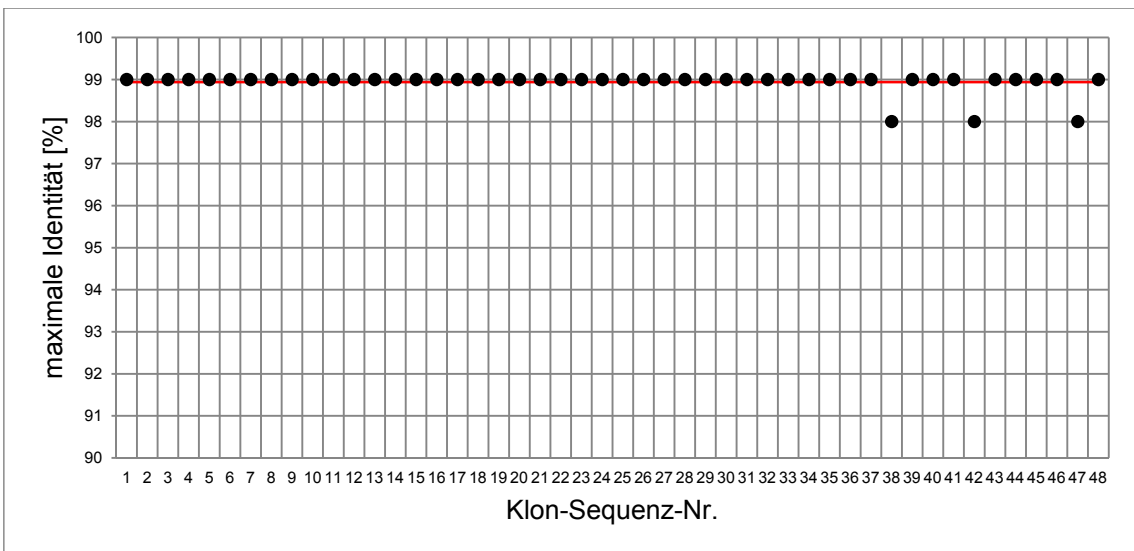


Abb. 100: maximale Identität [Prozent] der Klone 1-48; Probe EVIIIIE

7.3 Zuordnungen der Klon-Sequenz-Nummern

Klon-Nr.: 10_1,3,41,43
nächster bekannter Verwandter: <i>Stenotrophomonas</i> spec. DD7 16S ribosomal RNA gene, partial sequence
Acessions-Nr.: JQ435720.1
Taxonomie: Bacteria; Proteobacteria; Gammaproteobacteria; Xanthomonadales; Xanthomonadaceae; <i>Stenotrophomonas</i>
Klon-Nr.: 10_2,12,24,30
nächster bekannter Verwandter: <i>Micrococcus</i> spec. HEXBA04 16S ribosomal RNA gene, partial sequence
Acessions-Nr.: JQ658423.1
Taxonomie: Bacteria; Actinobacteria; Actinobacteridae; Actinomycetales; Micrococcineae; Micrococcaceae; <i>Micrococcus</i>
Klon-Nr.: 10_4,5,7,8,9,13,19,21,23,26,29,34,35,42,44,45
nächster bekannter Verwandter: <i>Pseudomonas</i> spec. JCM 5415 gene for 16S ribosomal RNA, partial sequence
Acessions-Nr.: AB685628.1
Taxonomie: Bacteria; Proteobacteria; Gammaproteobacteria; Pseudomonadales; Pseudomonadaceae; <i>Pseudomonas</i>
Klon-Nr.: 10_6,18,22,25,36,38,40,47,48
nächster bekannter Verwandter: <i>Sphingomonas</i> spec. Q5 16S ribosomal RNA gene, partial sequence
Acessions-Nr.: FJ581440.1
Taxonomie: Bacteria; Proteobacteria; Alphaproteobacteria; Sphingomonadales; Sphingomonadaceae; <i>Sphingomonas</i>
Klon-Nr.: 10_10,11,16,17,27,28,31,32,33
nächster bekannter Verwandter: <i>Flavobacterium resistens</i> strain BD-b365 16S ribosomal RNA, partial sequence
Acessions-Nr.: NR_044292.1
Taxonomie: Bacteria; Bacteroidetes; Flavobacteriia; Flavobacteriales; Flavobacteriaceae; <i>Flavobacterium</i>
Klon-Nr.: 10_14,15,20
nächster bekannter Verwandter: <i>Flavobacterium denitrificans</i> strain JS14-1 16S ribosomal RNA gene, partial sequence
Acessions-Nr.: EU599190.1
Taxonomie: Bacteria; Bacteroidetes; Flavobacteriia; Flavobacteriales; Flavobacteriaceae; <i>Flavobacterium</i>
Klon-Nr.: 10_37,39,46
nächster bekannter Verwandter: <i>Flavobacterium</i> spec. 1126-1H-08 partial 16S rRNA gene, strain 1126-1H-08
Acessions-Nr.: HE612094.1
Taxonomie: Bacteria; Bacteroidetes; Flavobacteriia; Flavobacteriales; Flavobacteriaceae; <i>Flavobacterium</i>

Tab. 14: Zuordnungen der Klon-Sequenz-Nummern zu den entsprechenden Taxa; Probe 10P

Klon-Nr.: 10_8,9,10,12,17,18,19,24
nächster bekannter Verwandter: <i>Asellus aquaticus</i> 18S rRNA gene
Acessions-Nr.: AJ287055.1
Taxonomie: Eukaryota; Metazoa; Ecdysozoa; Arthropoda; Crustacea; Malacostraca; Eumalacostraca; Peracarida; Isopoda; Asellota; Aselloidea; Asellidae; <i>Asellus</i>
Klon-Nr.: 10_1,2,3,4,5,6,7,11,13,14,15,16,20,21,22,23
nächster bekannter Verwandter: <i>Davidiella tassiana</i> strain UFMGCB 3684 18S ribosomal RNA gene, partial sequence (anamorph: <i>Cladosporium herbarum</i>)
Acessions-Nr.: HQ533794
Taxonomie: Eukaryota; Fungi; Dikarya; Ascomycota; Pezizomycotina; Dothideomycetes; Dothideomycetidae; Capnodiales; Davidiellaceae; <i>Davidiella</i>

Tab. 15: Zuordnungen der Klon-Sequenz-Nummern zu den entsprechenden Taxa; Probe 10E

Klon-Nr.: 11_12,22,25,31,41,46
nächster bekannter Verwandter: <i>Micrococcus</i> spec. HEXBA04 16S ribosomal RNA gene, partial sequence
Acessions-Nr.: JQ658423.1

Taxonomie: Bacteria; Actinobacteria; Actinobacteridae; Actinomycetales; Micrococcineae; Micrococcaceae; <i>Micrococcus</i>
Klon-Nr.: 11_6,10,30
nächster bekannter Verwandter: <i>Pseudomonas</i> spec. JCM 5415 gene for 16S ribosomal RNA, partial sequence Acessions-Nr.: AB685628.1
Taxonomie: Bacteria; Proteobacteria; Gammaproteobacteria; Pseudomonadales; Pseudomonadaceae; <i>Pseudomonas</i>
Klon-Nr.: 11_3,4,5,16,20,24,28,29,32,33,37,39,40,42,43,44,45
nächster bekannter Verwandter: <i>Flavobacterium resistens</i> strain BD-b365 16S ribosomal RNA, partial sequence Acessions-Nr.: NR_044292.1
Taxonomie: Bacteria; Bacteroidetes; Flavobacteriia; Flavobacteriales; Flavobacteriaceae; <i>Flavobacterium</i>
Klon-Nr.: 11_1,8,34,47
nächster bekannter Verwandter: <i>Flavobacterium denitrificans</i> strain JS14-1 16S ribosomal RNA gene, partial sequence Acessions-Nr.: EU599190.1
Taxonomie: Bacteria; Bacteroidetes; Flavobacteriia; Flavobacteriales; Flavobacteriaceae; <i>Flavobacterium</i>
Klon-Nr.: 11_2,27
nächster bekannter Verwandter: <i>Mycobacterium</i> spec. S061 16S ribosomal RNA gene, partial sequence Acessions-Nr.: FJ544445.1
Taxonomie: Bacteria; Actinobacteria; Actinobacteridae; Actinomycetales; Corynebacterineae; Mycobacteriaceae; <i>Mycobacterium</i>
Klon-Nr.: 11_7,13,17
nächster bekannter Verwandter: <i>Rhodobacter megalophilus</i> strain R6W-5-1 16S ribosomal RNA gene, partial sequence Acessions-Nr.: JQ692104.1
Taxonomie: Bacteria; Proteobacteria; Alphaproteobacteria; Rhodobacterales; Rhodobacteraceae; <i>Rhodobacter</i>
Klon-Nr.: 11_9,14,48
nächster bekannter Verwandter: <i>Sphingomonas</i> spec. LC435 16S ribosomal RNA gene, partial sequence Acessions-Nr.: JQ014557.1
Taxonomie: Bacteria; Proteobacteria; Alphaproteobacteria; Sphingomonadales; Sphingomonadaceae; <i>Sphingomonas</i>
Klon-Nr.: 11_11,35
nächster bekannter Verwandter: <i>Aeromonas hydrophila</i> strain QDC01 16S ribosomal RNA gene, partial sequence Acessions-Nr.: JX029046.1
Taxonomie: Bacteria; Proteobacteria; Gammaproteobacteria; Aeromonadales; Aeromonadaceae; <i>Aeromonas</i>
Klon-Nr.: 11_15,18,21,23,38
nächster bekannter Verwandter: <i>Flavobacterium</i> spec. R7Sb-3-1 16S ribosomal RNA gene, partial sequence Acessions-Nr.: JQ928691.1
Taxonomie: Bacteria; Bacteroidetes; Flavobacteriia; Flavobacteriales; Flavobacteriaceae; <i>Flavobacterium</i>
Klon-Nr.: 11_19
nächster bekannter Verwandter: <i>Caulobacter</i> spec. DNA for 16S ribosomal RNA, strain FWC08 Acessions-Nr.: AJ227762.1
Taxonomie: Bacteria; Proteobacteria; Alphaproteobacteria; Caulobacterales; Caulobacteraceae; <i>Caulobacter</i>
Klon-Nr.: 11_26
nächster bekannter Verwandter: <i>Acidovorax</i> spec. S4 16S ribosomal RNA gene, partial sequence Acessions-Nr.: GU372408.1
Taxonomie: Bacteria; Proteobacteria; Betaproteobacteria; Burkholderiales; Comamonadaceae; <i>Acidovorax</i>
Klon-Nr.: 11_36
nächster bekannter Verwandter: <i>Microbacterium oxydans</i> strain O-5 16S ribosomal RNA gene, partial sequence Acessions-Nr.: JQ890539.1
Taxonomie: Bacteria; Actinobacteria; Actinobacteridae; Actinomycetales; Micrococcineae; Microbacteriaceae; <i>Microbacterium</i>

Tab. 16: Zuordnungen der Klon-Sequenz-Nummern zu den entsprechenden Taxa; Probe 11P

Klon-Nr.: 11_1,2,5,8,9,10,12,13,15,17,18,19,21,22,24
nächster bekannter Verwandter: <i>Asellus aquaticus</i> 18S rRNA gene Accessions-Nr.: AJ287055.1
Taxonomie: Eukaryota; Metazoa; Ecdysozoa; Arthropoda; Crustacea; Malacostraca; Eumalacostraca; Peracarida; Isopoda; Asellota; Aselloidea; Asellidae; <i>Asellus</i>
Klon-Nr.: 11_3,4,6,7,11,14,16,20,23
nächster bekannter Verwandter: <i>Davidiella tassiana</i> strain UFMGCB 3684 18S ribosomal RNA gene, partial sequence (anamorph: <i>Cladosporium herbarum</i>) Accessions-Nr.: HQ533794
Taxonomie: Eukaryota; Fungi; Dikarya; Ascomycota; Pezizomycotina; Dothideomycetes; Dothideomycetidae; Capnodiales; Davidiellaceae; <i>Davidiella</i>

Tab. 17: Zuordnungen der Klon-Sequenz-Nummern zu den entsprechenden Taxa; Probe 11E

Klon-Nr.: 12_1,2,3,6,8,9,14,20,22,26,29,31,34,41,47
nächster bekannter Verwandter: <i>Pseudomonas</i> spec. JCM 5415 gene for 16S ribosomal RNA, partial sequence Accessions-Nr.: AB685628.1
Taxonomie: Bacteria; Proteobacteria; Gammaproteobacteria; Pseudomonadales; Pseudomonadaceae; <i>Pseudomonas</i>
Klon-Nr.: 12_4,10,11,12,16,17,18,23,24,25,30,36,37,38,39,42
nächster bekannter Verwandter: <i>Pseudomonas putida</i> strain MPV2 16S ribosomal RNA gene, partial sequence Accessions-Nr.: JX237836.1
Taxonomie: Bacteria; Proteobacteria; Gammaproteobacteria; Pseudomonadales; Pseudomonadaceae; <i>Pseudomonas</i>
Klon-Nr.: 12_5,7,15,21,32,33,44,45
nächster bekannter Verwandter: <i>Enterobacter</i> spec. S6BB gene for 16S ribosomal RNA, partial sequence Accessions-Nr.: AB428448.1
Taxonomie: Bacteria; Proteobacteria; Gammaproteobacteria; Enterobacteriales; Enterobacteriaceae; <i>Enterobacter</i>
Klon-Nr.: 12_13,27,48
nächster bekannter Verwandter: <i>Aeromonas</i> spec. 156B 16S ribosomal RNA gene, partial sequence Accessions-Nr.: JF444782.1
Taxonomie: Bacteria; Proteobacteria; Gammaproteobacteria; Aeromonadales; Aeromonadaceae; <i>Aeromonas</i>
Klon-Nr.: 12_19
nächster bekannter Verwandter: <i>Arthrobacter oxydans</i> gene for 16S rRNA, partial sequence, strain: S32219 Accessions-Nr.: AB648980.1
Taxonomie: Bacteria; Actinobacteria; Actinobacteridae; Actinomycetales; Micrococcineae; Micrococcaceae; <i>Arthrobacter</i>
Klon-Nr.: 12_28
nächster bekannter Verwandter: <i>Pseudomonas</i> spec. R-41390 partial 16S rRNA gene, strain R-41390 Accessions-Nr.: FR682933.1
Taxonomie: Bacteria; Proteobacteria; Gammaproteobacteria; Pseudomonadales; Pseudomonadaceae; <i>Pseudomonas</i>
Klon-Nr.: 12_35
nächster bekannter Verwandter: <i>Enterobacter</i> spec. HWE-103 16S ribosomal RNA gene, partial sequence Accessions-Nr.: JQ723720.1
Taxonomie: Bacteria; Proteobacteria; Gammaproteobacteria; Enterobacteriales; Enterobacteriaceae; <i>Enterobacter</i>
Klon-Nr.: 12_40
nächster bekannter Verwandter: <i>Aeromonas</i> spec. c55(2012) 16S ribosomal RNA gene, partial sequence Accessions-Nr.: JQ781549.1
Taxonomie: Bacteria; Proteobacteria; Gammaproteobacteria; Aeromonadales; Aeromonadaceae; <i>Aeromonas</i>
Klon-Nr.: 12_43
nächster bekannter Verwandter: <i>Enterobacter cloacae</i> subsp. <i>cloacae</i> ENHKU01, complete genome Accessions-Nr.: CP003737.1
Taxonomie:

Bacteria; Proteobacteria; Gammaproteobacteria; Enterobacteriales; Enterobacteriaceae; Enterobacter; <i>Enterobacter cloacae</i> complex
Klon-Nr.: 12_46
nächster bekannter Verwandter: <i>Afipia</i> spec. sptzw29 16S ribosomal RNA gene, partial sequence Acessions-Nr.: GU377117.1
Taxonomie: Bacteria; Proteobacteria; Alphaproteobacteria; Rhizobiales; Bradyrhizobiaceae; <i>Afipia</i>
Tab. 18: Zuordnungen der Klon-Sequenz-Nummern zu den entsprechenden Taxa; Probe 12P

Klon-Nr.: 13_2,8,18,30,41,44,45
nächster bekannter Verwandter: <i>Aeromonas sobria</i> strain M-T-TSA 98 16S ribosomal RNA gene, partial sequence Acessions-Nr.: JQ795757.1
Taxonomie: Bacteria; Proteobacteria; Gammaproteobacteria; Aeromonadales; Aeromonadaceae; <i>Aeromonas</i>
Klon-Nr.: 13_5,6,29
nächster bekannter Verwandter: <i>Achromobacter</i> spec. CCUG 3353 16S ribosomal RNA gene, partial sequence Acessions-Nr.: JQ746486.1
Taxonomie: Bacteria; Proteobacteria; Betaproteobacteria; Burkholderiales; Alcaligenaceae; <i>Achromobacter</i>
Klon-Nr.: 13_7
nächster bekannter Verwandter: <i>Pseudomonas putida</i> strain CY04 16S ribosomal RNA gene, partial sequence Acessions-Nr.: JX082200.1
Taxonomie: Bacteria; Proteobacteria; Gammaproteobacteria; Pseudomonadales; Pseudomonadaceae; <i>Pseudomonas</i>
Klon-Nr.: 13_15,27,28
nächster bekannter Verwandter: <i>Pseudomonas putida</i> strain SXMAs-6 16S ribosomal RNA gene, partial sequence Acessions-Nr.: JN606325.1
Taxonomie: Bacteria; Proteobacteria; Gammaproteobacteria; Pseudomonadales; Pseudomonadaceae; <i>Pseudomonas</i>
Klon-Nr.: 13_4,12,13,14,21,22,46,47
nächster bekannter Verwandter: <i>Pseudomonas</i> spec. JCM 5415 gene for 16S ribosomal RNA, partial sequence Acessions-Nr.: AB685628.1
Taxonomie: Bacteria; Proteobacteria; Gammaproteobacteria; Pseudomonadales; Pseudomonadaceae; <i>Pseudomonas</i>
Klon-Nr.: 13_9,11,16,20,25,26,33,34,35,38
nächster bekannter Verwandter: <i>Pseudomonas putida</i> strain MPV2 16S ribosomal RNA gene, partial sequence Acessions-Nr.: JX237836.1
Taxonomie: Bacteria; Proteobacteria; Gammaproteobacteria; Pseudomonadales; Pseudomonadaceae; <i>Pseudomonas</i>
Klon-Nr.: 13_17,19,36,39,40,48
nächster bekannter Verwandter: <i>Pseudomonas putida</i> strain MC4 16S ribosomal RNA gene, partial sequence Acessions-Nr.: JF825523.2
Taxonomie: Bacteria; Proteobacteria; Gammaproteobacteria; Pseudomonadales; Pseudomonadaceae; <i>Pseudomonas</i>
Klon-Nr.: 13_24,32
nächster bekannter Verwandter: <i>Stenotrophomonas rhizophila</i> strain N-2 16S ribosomal RNA gene, partial sequence Acessions-Nr.: JQ890538.1
Taxonomie: Bacteria; Proteobacteria; Gammaproteobacteria; Xanthomonadales; Xanthomonadaceae; <i>Stenotrophomonas</i>
Klon-Nr.: 13_37
nächster bekannter Verwandter: <i>Enterobacter cloacae</i> strain MS-27 16S ribosomal RNA gene, partial sequence Acessions-Nr.: JQ038222.1
Taxonomie: Bacteria; Proteobacteria; Gammaproteobacteria; Enterobacteriales; Enterobacteriaceae; Enterobacter; <i>Enterobacter cloacae</i> complex
Klon-Nr.: 13_43
nächster bekannter Verwandter: <i>Chitinibacter</i> spec. SK16 16S ribosomal RNA gene, partial sequence Acessions-Nr.: JN981166.1
Taxonomie:

Bacteria; Proteobacteria; Betaproteobacteria; Neisseriales; Neisseriaceae; <i>Chitinibacter</i>
Klon-Nr.: 13_10,23
nächster bekannter Verwandter: <i>Enterobacter</i> spec. S6BB gene for 16S ribosomal RNA, partial sequence Accessions-Nr.: AB428448.1
Taxonomie: Bacteria; Proteobacteria; Gammaproteobacteria; Enterobacteriales; Enterobacteriaceae; <i>Enterobacter</i>
Klon-Nr.: 13_1,31,42
nächster bekannter Verwandter: <i>Pseudomonas</i> spec. R-41390 partial 16S rRNA gene, strain R-41390 Accessions-Nr.: FR682933.1
Taxonomie: Bacteria; Proteobacteria; Gammaproteobacteria; Pseudomonadales; Pseudomonadaceae; <i>Pseudomonas</i>
Klon-Nr.: 13_3
nächster bekannter Verwandter: <i>Enterobacter</i> spec. HWE-103 16S ribosomal RNA gene, partial sequence Accessions-Nr.: JQ723720.1
Taxonomie: Bacteria; Proteobacteria; Gammaproteobacteria; Enterobacteriales; Enterobacteriaceae; <i>Enterobacter</i>

Tab. 19: Zuordnungen der Klon-Sequenz-Nummern zu den entsprechenden Taxa; Probe 13P

Klon-Nr.: B1_1,2,6,10,11,13,21,22,28,29,31,33,34,36
nächster bekannter Verwandter: <i>Enterovibrio</i> spec. 09BSKS-4 16S ribosomal RNA gene, partial sequence Accessions-Nr.: HM566000.1
Taxonomie: Bacteria; Proteobacteria; Gammaproteobacteria; Vibrionales; Vibrionaceae; <i>Enterovibrio</i>
Klon-Nr.: B1_4,8,15,16,42,46
nächster bekannter Verwandter: <i>Photobacterium</i> spec. HAR72 gene for 16S rRNA, partial sequence Accessions-Nr.: AB038032.1
Taxonomie: Bacteria; Proteobacteria; Gammaproteobacteria; Vibrionales; Vibrionaceae; <i>Photobacterium</i>
Klon-Nr.: B1_5,14,40,48
nächster bekannter Verwandter: <i>Pseudomonas mandelii</i> strain McBRA2 16S ribosomal RNA gene, partial sequence Accessions-Nr.: JQ317812.1
Taxonomie: Bacteria; Proteobacteria; Gammaproteobacteria; Pseudomonadales; Pseudomonadaceae; <i>Pseudomonas</i>
Proben: B1_7,12,17,18,25
nächster bekannter Verwandter: <i>Aeromonas salmonicida</i> strain E84 16S ribosomal RNA gene, partial sequence Accessions-Nr.: JF683662.1
Taxonomie: Bacteria; Proteobacteria; Gammaproteobacteria; Aeromonadales; Aeromonadaceae; <i>Aeromonas</i>
Klon-Nr.: B1_9,20,26,30,32,37,43
nächster bekannter Verwandter: <i>Aeromonas salmonicida</i> strain ZHYYZ-5 16S ribosomal RNA gene, partial sequence Accessions-Nr.: JN106379.1
Taxonomie: Bacteria; Proteobacteria; Gammaproteobacteria; Aeromonadales; Aeromonadaceae; <i>Aeromonas</i>
Klon-Nr.: B1_19
nächster bekannter Verwandter: <i>Hyphomicrobium facile</i> subsp. <i>tolerans</i> strain IFAM I-551 16S ribosomal RNA, partial sequence Accessions-Nr.: NR_027611.1
Taxonomie: Bacteria; Proteobacteria; Alphaproteobacteria; Rhizobiales; Hyphomicrobiaceae; <i>Hyphomicrobium</i>
Klon-Nr.: B1_23
nächster bekannter Verwandter: <i>Pseudomonas</i> spec. gyq9 16S ribosomal RNA gene, partial sequence Accessions-Nr.: FJ984605.1
Taxonomie: Bacteria; Proteobacteria; Gammaproteobacteria; Pseudomonadales; Pseudomonadaceae; <i>Pseudomonas</i>
Klon-Nr.: B1_3,24
nächster bekannter Verwandter: <i>Hyphomicrobium vulgare</i> gene for 16S ribosomal RNA, partial sequence Accessions-Nr.: AB543807.2
Taxonomie: Bacteria; Proteobacteria; Alphaproteobacteria; Rhizobiales; Hyphomicrobiaceae; <i>Hyphomicrobium</i>
Klon-Nr.: Br1_27

nächster bekannter Verwandter: <i>Caulobacter</i> spec. ECN-2008 partial 16S rRNA gene Accessions-Nr.: AM940947.1
Taxonomie: Bacteria; Proteobacteria; Alphaproteobacteria; Caulobacterales; Caulobacteraceae; <i>Caulobacter</i>
Klon-Nr.: B1_35,38,39,41,44
nächster bekannter Verwandter: <i>Aeromonas salmonicida</i> subsp. <i>salmonicida</i> gene for 16S rRNA, partial sequence, strain: NBRC 12659 Accessions-Nr.: AB680308.1
Taxonomie: Bacteria; Proteobacteria; Gammaproteobacteria; Aeromonadales; Aeromonadaceae; <i>Aeromonas</i>
Klon-Nr.: B1_45
nächster bekannter Verwandter: <i>Crenothrix polyspora</i> clone 23 16S ribosomal RNA gene, partial sequence Accessions-Nr.: DQ295890.1
Taxonomie: Bacteria; Proteobacteria; Gammaproteobacteria; Methylococcales; Crenotrichaceae; <i>Crenothrix</i>
Klon-Nr.: B1_47
nächster bekannter Verwandter: <i>Methylocapsa aurea</i> partial 16S rRNA gene, type strain KYGT Accessions-Nr.: FN433469.1
Taxonomie: Bacteria; Proteobacteria; Alphaproteobacteria; Rhizobiales; Beijerinckiaceae; <i>Methylocapsa</i>

Tab. 20: Zuordnungen der Klon-Sequenz-Nummern zu den entsprechenden Taxa; Probe B1P

Klon-Nr.: B1_1 bis B1_48
nächster bekannter Verwandter: <i>Asellus aquaticus</i> 18S rRNA gene Accessions-Nr.: AJ287055.1
Taxonomie: Eukaryota; Metazoa; Ecdysozoa; Arthropoda; Crustacea; Malacostraca; Eumalacostraca; Peracarida; Isopoda; Asellota; Aselloidea; Asellidae; <i>Asellus</i>
Klon-Nr.: B1_49 bis B1_54
nächster bekannter Verwandter: <i>Rhodobacter</i> spec. ZS2-22 16S ribosomal RNA gene, partial sequence Accessions-Nr.: FJ195995.1
Taxonomie: Bacteria; Proteobacteria; Alphaproteobacteria; Rhodobacterales; Rhodobacteraceae; <i>Rhodobacter</i>

Tab. 21: Zuordnungen der Klon-Sequenz-Nummern zu den entsprechenden Taxa; Probe B1E

Klon-Nr.: B2_1
nächster bekannter Verwandter: <i>Rhodobacter</i> spec. ZS2-22 16S ribosomal RNA gene, partial sequence Accessions-Nr.: FJ195995.1
Taxonomie: Bacteria; Proteobacteria; Alphaproteobacteria; Rhodobacterales; Rhodobacteraceae; <i>Rhodobacter</i>
Klon-Nr.: B2_2
nächster bekannter Verwandter: <i>Gaiella occulta</i> strain F2-233 16S ribosomal RNA gene, partial sequence Accessions-Nr.: JF423906.1
Taxonomie: Bacteria; Actinobacteria; Rubrobacteridae; Gaiellales; Gaiellaceae; <i>Gaiella</i>
Klon-Nr.: B2_3,4,6,9,10,11,15,16,17,21,23,32,33,34,36,37,38,41,42,43,44,45,46
nächster bekannter Verwandter: <i>Aeromonas salmonicida</i> subsp. <i>salmonicida</i> gene for 16S rRNA, partial sequence, strain: NBRC 12659 Accessions-Nr.: AB680308.1
Taxonomie: Bacteria; Proteobacteria; Gammaproteobacteria; Aeromonadales; Aeromonadaceae; <i>Aeromonas</i>
Klon-Nr.: B2_5
nächster bekannter Verwandter: <i>Methylosinus trichosporium</i> 16S rRNA gene, strain KS21 Accessions-Nr.: AJ431385.2
Taxonomie: Bacteria; Proteobacteria; Alphaproteobacteria; Rhizobiales; Methylocystaceae; <i>Methylosinus</i>
Klon-Nr.: B2_7
nächster bekannter Verwandter: <i>Ectothiorhodospira</i> spec. AM4 16S ribosomal RNA gene, partial sequence Accessions-Nr.: EU252492.1
Taxonomie: Bacteria; Proteobacteria; Gammaproteobacteria; Chromatiales; Ectothiorhodospiraceae; <i>Ectothiorhodospira</i>
Klon-Nr.: B2_8

nächster bekannter Verwandter: <i>Enterovibrio</i> spec. 09BSKS-4 16S ribosomal RNA gene, partial sequence Accessions-Nr.: HM566000.1
Taxonomie: Bacteria; Proteobacteria; Gammaproteobacteria; Vibrionales; Vibrionaceae; <i>Enterovibrio</i>
Klon-Nr.: B2_12
nächster bekannter Verwandter: <i>Pseudomonas fluorescens</i> strain EvS4-B1 16S ribosomal RNA gene, partial sequence Accessions-Nr.: FJ226759.1
Taxonomie: Bacteria; Proteobacteria; Gammaproteobacteria; Pseudomonadales; Pseudomonadaceae; <i>Pseudomonas</i>
Klon-Nr.: B2_13
nächster bekannter Verwandter: <i>Geobacter metallireducens</i> GS-15, complete genome Accessions-Nr.: CP000148.1
Taxonomie: Bacteria; Proteobacteria; Deltaproteobacteria; Desulfuromonadales; Geobacteraceae; <i>Geobacter</i>
Klon-Nr.: B2_14
nächster bekannter Verwandter: <i>Hyphomicrobium facile</i> subsp. <i>tolerans</i> strain IFAM I-551 16S ribosom Accessions-Nr.: NR_027611.1
Taxonomie: Bacteria; Proteobacteria; Alphaproteobacteria; Rhizobiales; Hyphomicrobiaceae; <i>Hyphomicrobium</i>
Klon-Nr.: B2_18
nächster bekannter Verwandter: <i>Rhizobiales bacterium</i> SK12 16S ribosomal RNA gene, partial sequence Accessions-Nr.: JQ773444.1
Taxonomie: Bacteria; Proteobacteria; Alphaproteobacteria; Rhizobiales
Klon-Nr.: B2_19,30
nächster bekannter Verwandter: <i>Pedomicrobium manganicum</i> strain ATCC 33121 16S ribosomal RNA gene, partial sequence Accessions-Nr.: GU269549.1
Taxonomie: Bacteria; Proteobacteria; Alphaproteobacteria; Rhizobiales; Hyphomicrobiaceae; <i>Pedomicrobium</i>
Klon-Nr.: B2_20
nächster bekannter Verwandter: <i>Pedomicrobium fusiforme</i> partial 16S rRNA gene, strain DSM 5304 (Organism: <i>Filomicrobium fusiforme</i>) Accessions-Nr.: Y14313.1
Taxonomie: Bacteria; Proteobacteria; Alphaproteobacteria; Rhizobiales; Hyphomicrobiaceae; <i>Filomicrobium</i>
Klon-Nr.: B2_22,25,48
nächster bekannter Verwandter: <i>Methylocapsa aurea</i> partial 16S rRNA gene, type strain KYGT Accessions-Nr.: FN433469.1
Taxonomie: Bacteria; Proteobacteria; Alphaproteobacteria; Rhizobiales; Beijerinckiaceae; <i>Methylocapsa</i>
Klon-Nr.: B2_24,27,28
nächster bekannter Verwandter: <i>Flavobacterium hercynium</i> partial 16S rRNA gene, strain WB 4.2-78 Accessions-Nr.: AM177627.1
Taxonomie: Bacteria; Bacteroidetes; Flavobacteriia; Flavobacteriales; Flavobacteriaceae; <i>Flavobacterium</i>
Klon-Nr.: B2_26,35
nächster bekannter Verwandter: <i>Aeromonas hydrophila</i> subsp. <i>hydrophila</i> gene for 16S rRNA, partial sequence, strain: NBRC 13286 Accessions-Nr.: AB680394.1
Taxonomie: Bacteria; Proteobacteria; Gammaproteobacteria; Aeromonadales; Aeromonadaceae; <i>Aeromonas</i>
Klon-Nr.: B2_29
nächster bekannter Verwandter: <i>Methylocystis echinoides</i> partial 16S rRNA gene, strain 2 Accessions-Nr.: AJ458502.1
Taxonomie: Bacteria; Proteobacteria; Alphaproteobacteria; Rhizobiales; Methylocystaceae; <i>Methylocystis</i>
Proben: B2_31
nächster bekannter Verwandter: <i>Hyphomicrobium vulgare</i> gene for 16S ribosomal RNA, partial sequence Accessions-Nr.: AB543807.2
Taxonomie: Bacteria; Proteobacteria; Alphaproteobacteria; Rhizobiales; Hyphomicrobiaceae; <i>Hyphomicrobium</i>

Klon-Nr.: B2_39
nächster bekannter Verwandter: <i>Methylobacterium zatmanii</i> strain DSM 5688 16S ribosomal RNA, partial sequence
Acessions-Nr.: NR_041031.1
Taxonomie: Bacteria; Proteobacteria; Alphaproteobacteria; Rhizobiales; Methylobacteriaceae; <i>Methylobacterium</i>
Klon-Nr.: B2_40
nächster bekannter Verwandter: <i>Sphingopyxis</i> spec. Sco-B12 partial 16S rRNA gene, strain Sco-B12
Acessions-Nr.: FN386734.1
Taxonomie: Bacteria; Proteobacteria; Alphaproteobacteria; Sphingomonadales; Sphingomonadaceae; <i>Sphingopyxis</i>
Klon-Nr.: B2_47
nächster bekannter Verwandter: <i>Sphingomonas</i> spec. BAC151 16S ribosomal RNA gene, partial sequence
Acessions-Nr.: EU131005.1
Taxonomie: Bacteria; Proteobacteria; Alphaproteobacteria; Sphingomonadales; Sphingomonadaceae; <i>Sphingomonas</i>

Tab. 22: Zuordnungen der Klon-Sequenz-Nummern zu den entsprechenden Taxa; Probe B2P

Klon-Nr.: B2_1 bis B2_48
nächster bekannter Verwandter: <i>Asellus aquaticus</i> 18S rRNA gene
Acessions-Nr.: AJ287055.1
Taxonomie: Eukaryota; Metazoa; Ecdysozoa; Arthropoda; Crustacea; Malacostraca; Eumalacostraca; Peracarida; Isopoda; Asellota; Aselloidea; Asellidae; <i>Asellus</i>

Tab. 23: Zuordnungen der Klon-Sequenz-Nummern zu den entsprechenden Taxa; Probe B2E

Klon-Nr.: Br1_1,2,3,6,7,8,11,12,13,14,15,16,17,19,20,22,23,26,27,28,29,30,31,32,33,34,35,36,37,38,39,40,41,42,43,44, 45,46,47,48
nächster bekannter Verwandter: <i>Arenimonas</i> spec. CH15-1 16S ribosomal RNA gene, partial sequence
Acessions-Nr.: JN033774.1
Taxonomie: Bacteria; Proteobacteria; Gammaproteobacteria; Xanthomonadales; Xanthomonadaceae; <i>Arenimonas</i>
Klon-Nr.: Br1_4,9,10,21,24,25
nächster bekannter Verwandter: <i>Haematobacter massiliensis</i> strain H2136 16S ribosomal RNA gene, partial sequence
Acessions-Nr.: DQ342308.1
Taxonomie: Bacteria; Proteobacteria; Alphaproteobacteria; Rhodobacterales; Rhodobacteraceae; <i>Haematobacter</i>
Klon-Nr.: Br1_5
nächster bekannter Verwandter: <i>Erwinia persicina</i> strain mskrs1ap 16S ribosomal RNA gene, partial sequence
Acessions-Nr.: JN167937.1
Taxonomie: Bacteria; Proteobacteria; Gammaproteobacteria; Enterobacterales; Enterobacteriaceae; <i>Erwinia</i>
Klon-Nr.: Br1_18
nächster bekannter Verwandter: <i>Rhodobacter</i> spec. R-36943 partial 16S rRNA gene, strain R-36943
Acessions-Nr.: FR691419.1
Taxonomie: Bacteria; Proteobacteria; Alphaproteobacteria; Rhodobacterales; Rhodobacteraceae; <i>Rhodobacter</i>

Tab. 24: Zuordnungen der Klon-Sequenz-Nummern zu den entsprechenden Taxa; Probe Br1P

Klon-Nr.: Br1_1 bis Br1_48
nächster bekannter Verwandter: <i>Asellus aquaticus</i> 18S rRNA gene
Acessions-Nr.: AJ287055.1
Taxonomie: Eukaryota; Metazoa; Ecdysozoa; Arthropoda; Crustacea; Malacostraca; Eumalacostraca; Peracarida; Isopoda; Asellota; Aselloidea; Asellidae; <i>Asellus</i>

Tab. 25: Zuordnungen der Klon-Sequenz-Nummern zu den entsprechenden Taxa; Probe Br1E

Klon-Nr.:E1_1,4,5,7,8,9,10,12,13,14,15,16,17,18,23,24,27,28,31,32,33,34,35,36,37,40,42,43,44,45,46
nächster bekannter Verwandter: <i>Arenimonas</i> spec. CH15-1 16S ribosomal RNA gene, partial sequence Accessions-Nr.: JN033774.1
Taxonomie: Bacteria; Proteobacteria; Gammaproteobacteria; Xanthomonadales; Xanthomonadaceae; <i>Arenimonas</i>
Klon-Nr.: E1_2
nächster bekannter Verwandter: <i>Afipia</i> spec. BALT12-S13 16S rRNA gene, isolate BALT12-S13 Accessions-Nr.: FM998728.1
Taxonomie: Bacteria; Proteobacteria; Alphaproteobacteria; Rhizobiales; Bradyrhizobiaceae; <i>Afipia</i>
Klon-Nr.: E1_3,48
nächster bekannter Verwandter: <i>Pseudorhodobacter</i> spec. KOPRI 25878 16S ribosomal RNA gene, partial sequence Accessions-Nr.: HQ825033.1
Taxonomie: Bacteria; Proteobacteria; Alphaproteobacteria; Rhodobacterales; Rhodobacteraceae; <i>Pseudorhodobacter</i>
Klon-Nr.: E1_6
nächster bekannter Verwandter: <i>Microbacterium</i> lacus partial 16S rRNA gene, strain R-43968 Accessions-Nr.: FR691402.1
Taxonomie: Bacteria; Actinobacteria; Actinobacteridae; Actinomycetales; Micrococcineae; Microbacteriaceae; <i>Microbacterium</i>
Klon-Nr.: E1_11
nächster bekannter Verwandter: <i>Flavobacterium</i> spec. R-36233 partial 16S rRNA gene, strain R-36233 Accessions-Nr.: FR682719.1
Taxonomie: Bacteria; Bacteroidetes; Flavobacteriia; Flavobacteriales; Flavobacteriaceae; <i>Flavobacterium</i>
Klon-Nr.: E1_19
nächster bekannter Verwandter: <i>Brevundimonas</i> bullata strain BW56UT1570 16S ribosomal RNA gene, partial sequence Accessions-Nr.: JF276904.1
Taxonomie: Bacteria; Proteobacteria; Alphaproteobacteria; Caulobacterales; Caulobacteraceae; <i>Brevundimonas</i>
Klon-Nr.: E1_20,47
nächster bekannter Verwandter: <i>Haematobacter</i> massiliensis strain CCUG 47968 16S ribosomal RNA gene, partial sequence Accessions-Nr.: DQ342309.1
Taxonomie: Bacteria; Proteobacteria; Alphaproteobacteria; Rhodobacterales; Rhodobacteraceae; <i>Haematobacter</i>
Klon-Nr.: E1_21
nächster bekannter Verwandter: <i>Microbacterium oxydans</i> strain IARI-K-83 16S ribosomal RNA gene, partial sequence Accessions-Nr.: JN411364.1
Taxonomie: Bacteria; Actinobacteria; Actinobacteridae; Actinomycetales; Micrococcineae; Microbacteriaceae; <i>Microbacterium</i>
Klon-Nr.: E1_22
nächster bekannter Verwandter: <i>Exiguobacterium undae</i> gene for 16S ribosomal RNA, partial sequence Accessions-Nr.: AB334767.1
Taxonomie: Bacteria; Firmicutes; Bacillales; Bacillales Family XII. Incertae Sedis; <i>Exiguobacterium</i>
Klon-Nr.: E1_25
nächster bekannter Verwandter: <i>Pseudomonas</i> denitrificans strain KH-1 16S ribosomal RNA gene, partial sequence Accessions-Nr.: JQ612512.1
Taxonomie: Bacteria; Proteobacteria; Gammaproteobacteria; Pseudomonadales; Pseudomonadaceae; <i>Pseudomonas</i>
Klon-Nr.: E1_26
nächster bekannter Verwandter: <i>Aciditerrimonas</i> spec. CH22-21 16S ribosomal RNA gene, partial sequence Accessions-Nr.: JN033775.1
Taxonomie: Bacteria; Actinobacteria; Acidimicrobidae; Acidimicrobiales; Acidimicrobinae; <i>Aciditerrimonas</i>
Klon-Nr.: E1_29,38
nächster bekannter Verwandter: <i>Ralstonia</i> pickettii strain B1RO1 16S ribosomal RNA gene, partial sequence Accessions-Nr.: JQ689181.1
Taxonomie: Bacteria; Proteobacteria; Betaproteobacteria; Burkholderiales; Burkholderiaceae; <i>Ralstonia</i>

Klon-Nr.: E1_30
nächster bekannter Verwandter: <i>Rhizobium</i> spec. TB2-10-I 16S ribosomal RNA gene, partial sequence Acessions-Nr.: AY599702.1
Taxonomie: Bacteria; Proteobacteria; Alphaproteobacteria; Rhizobiales; Rhizobiaceae; Rhizobium/Agrobacterium group; <i>Rhizobium</i>
Klon-Nr.: E1_39
nächster bekannter Verwandter: <i>Pantoea agglomerans</i> strain CE21 16S ribosomal RNA gene, partial sequence Acessions-Nr.: JN084142.1
Taxonomie: Bacteria; Proteobacteria; Gammaproteobacteria; Enterobacteriales; Enterobacteriaceae; <i>Pantoea</i>
Klon-Nr.: E1_41
nächster bekannter Verwandter: <i>Caulobacter vibrioides</i> strain JCT-7 16S ribosomal RNA gene, partial sequence Acessions-Nr.: JQ675297.1
Taxonomie: Bacteria; Proteobacteria; Alphaproteobacteria; Caulobacterales; Caulobacteraceae; <i>Caulobacter</i>

Tab. 26: Zuordnungen der Klon-Sequenz-Nummern zu den entsprechenden Taxa; Probe E1P

Klon-Nr.: E1_2,5,6,7,8,10,11,13,14,15,16,17,19,20,22,24,25,26,29,33,34,35,38,40,44,46
nächster bekannter Verwandter: <i>Proasellus slavus</i> 18S ribosomal RNA gene, complete sequence (= <i>Proasellus cavaticus</i>) Acessions-Nr.: AF496662.1
Taxonomie: Eukaryota; Metazoa; Arthropoda; Crustacea; Malacostraca; Eumalacostraca; Peracarida; Isopoda; Asellota; Aselloidea; Asellidae; <i>Proasellus</i>
Klon-Nr.: E1_1,3,18,23,27,28,39,41,45,47,48
nächster bekannter Verwandter: <i>Gibberella moniliformis</i> p450-4 gene for ent-kaurene oxidase, exons 1-4, strain A-00149 Acessions-Nr.: AM946177.1
Taxonomie: Eukaryota; Fungi; Dikarya; Ascomycota; Pezizomycotina; Sordariomycetes; Hypocreomycetidae; Hypocreales; Nectriaceae; <i>Gibberella</i>
Klon-Nr.: E1_4,21,32,37,43
nächster bekannter Verwandter: <i>Naegleria</i> spec. SUM3/VII small subunit ribosomal RNA gene, partial sequence Acessions-Nr.: DQ768723.1
Taxonomie: Eukaryota; Heterolobosea; Schizopyrenida; Vahlkampfiidae; <i>Naegleria</i> ; unclassified <i>Naegleria</i>
Klon-Nr.: E1_9,31,36,42
nächster bekannter Verwandter: <i>Acremonium strictum</i> strain DS1bioAY4a 18S ribosomal RNA gene, partial sequence (= <i>Sarocladium strictum</i>) Acessions-Nr.: HM216184.1
Taxonomie: Eukaryota; Fungi; Dikarya; Ascomycota; Pezizomycotina; Sordariomycetes; Hypocreomycetidae; Hypocreales; mitosporic Hypocreales; <i>Sarocladium</i>
Klon-Nr.: E1_12
nächster bekannter Verwandter: <i>Pichia</i> spec. LHY1 18S ribosomal RNA gene, partial sequence Acessions-Nr.: EF119340.1
Taxonomie: Eukaryota; Fungi; Dikarya; Ascomycota; Saccharomycotina; Saccharomycetes; Saccharomycetales; Pichiaceae; <i>Pichia</i>
Klon-Nr.: E1_30
nächster bekannter Verwandter: <i>Protacanthamoeba bohemica</i> small subunit ribosomal RNA gene, complete sequence Acessions-Nr.: AY960120.1
Taxonomie: Eukaryota; Amoebozoa; Centramoebida; Acanthamoebidae; <i>Protacanthamoeba</i>

Tab. 27: Zuordnungen der Klon-Sequenz-Nummern zu den entsprechenden Taxa; Probe E1E

Klon-Nr.: E45_1
nächster bekannter Verwandter: <i>Steroidobacter denitrificans</i> strain FS 16S ribosomal RNA, partial sequence Acessions-Nr.: NR_044309.1
Taxonomie: Bacteria; Proteobacteria; Gammaproteobacteria; Xanthomonadales; Sinobacteraceae; <i>Steroidobacter</i>
Klon-Nr.: E45_2

nächster bekannter Verwandter: <i>Erwinia rhabontici</i> 16S ribosomal RNA gene, partial sequence Acessions-Nr.: U80206.1
Taxonomie: Bacteria; Proteobacteria; Gammaproteobacteria; Enterobacteriales; Enterobacteriaceae; <i>Erwinia</i> Klon-Nr.: E45_3,5,6,9,10,12,13,14,18,19,21,24,25,27,31,32,33,36,37,38,39,40,42,43,45,47
nächster bekannter Verwandter: <i>Arenimonas</i> spec. CH15-1 16S ribosomal RNA gene, partial sequence Acessions-Nr.: JN033774.1
Taxonomie: Bacteria; Proteobacteria; Gammaproteobacteria; Xanthomonadales; Xanthomonadaceae; <i>Arenimonas</i> Klon-Nr.: E45_4,17
nächster bekannter Verwandter: <i>Haematobacter massiliensis</i> strain H2136 16S ribosomal RNA gene, partial sequence Acessions-Nr.: DQ342308.1
Taxonomie: Bacteria; Proteobacteria; Alphaproteobacteria; Rhodobacterales; Rhodobacteraceae; <i>Haematobacter</i> Klon-Nr.: E45_7,22,26,28,48
nächster bekannter Verwandter: <i>Exiguobacterium undae</i> gene for 16S ribosomal RNA, partial sequence Acessions-Nr.: AB334767.1
Taxonomie: Bacteria; Firmicutes; Bacillales; Bacillales Family XII. Incertae Sedis; <i>Exiguobacterium</i> Klon-Nr.: E45_8,35
nächster bekannter Verwandter: <i>Flavobacterium</i> spec. HME6120 16S ribosomal RNA gene, partial sequence Acessions-Nr.: HM776981.1
Taxonomie: Bacteria; Bacteroidetes; Flavobacteriia; Flavobacterales; Flavobacteriaceae; <i>Flavobacterium</i> Klon-Nr.: E45_11
nächster bekannter Verwandter: <i>Rhodobacter ovatus</i> partial 16S rRNA gene, type strain JA234T Acessions-Nr.: AM690348.2
Taxonomie: Bacteria; Proteobacteria; Alphaproteobacteria; Rhodobacterales; Rhodobacteraceae; <i>Rhodobacter</i> Klon-Nr.: E45_15
nächster bekannter Verwandter: <i>Pseudorhodobacter</i> spec. KOPRI 25878 16S ribosomal RNA gene, partial sequence Acessions-Nr.: HQ825033.1
Taxonomie: Bacteria; Proteobacteria; Alphaproteobacteria; Rhodobacterales; Rhodobacteraceae; <i>Pseudorhodobacter</i> Klon-Nr.: E45_16
nächster bekannter Verwandter: <i>Steroidobacter</i> spec. ZUMI 37 gene for 16S rRNA, partial sequence Acessions-Nr.: AB548216.1
Taxonomie: Bacteria; Proteobacteria; Gammaproteobacteria; Xanthomonadales; Sinobacteraceae; <i>Steroidobacter</i> Klon-Nr.: E45_20
nächster bekannter Verwandter: <i>Rhodobacter</i> spec. CCBAU 10883 16S ribosomal RNA gene, partial sequence Acessions-Nr.: HQ437162.1
Taxonomie: Bacteria; Proteobacteria; Alphaproteobacteria; Rhodobacterales; Rhodobacteraceae; <i>Rhodobacter</i> Klon-Nr.: E45_23,34,44
nächster bekannter Verwandter: <i>Rhodobacter changensis</i> strain : JA139 16S ribosomal RNA, complete sequence Acessions-Nr.: NR_042564.1
Taxonomie: Bacteria; Proteobacteria; Alphaproteobacteria; Rhodobacterales; Rhodobacteraceae; <i>Rhodobacter</i> Klon-Nr.: E45_29
nächster bekannter Verwandter: <i>Microbacterium paraoxydans</i> strain 3200 16S ribosomal RNA gene, partial sequence Acessions-Nr.: EU714356.1
Taxonomie: Bacteria; Actinobacteria; Actinobacteridae; Actinomycetales; Micrococcineae; Microbacteriaceae; <i>Microbacterium</i> Klon-Nr.: E45_30
nächster bekannter Verwandter: <i>Rhodobacter</i> spec. R-36943 partial 16S rRNA gene, strain R-36943 Acessions-Nr.: FR691419.1
Taxonomie: Bacteria; Proteobacteria; Alphaproteobacteria; Rhodobacterales; Rhodobacteraceae; <i>Rhodobacter</i>

Klon-Nr.: E45_41
nächster bekannter Verwandter: <i>Pseudomonas</i> spec. NEAU-ST5-5 16S ribosomal RNA gene, partial sequence Accessions-Nr.: JQ762269.1
Taxonomie: Bacteria; Proteobacteria; Gammaproteobacteria; Pseudomonadales; Pseudomonadaceae; <i>Pseudomonas</i>
Klon-Nr.: E45_46
nächster bekannter Verwandter: <i>Acinetobacter johnsonii</i> 16S ribosomal RNA gene, partial sequence Accessions-Nr.: FJ976603.1
Taxonomie: Bacteria; Proteobacteria; Gammaproteobacteria; Pseudomonadales; Moraxellaceae; <i>Acinetobacter</i>

Tab. 28: Zuordnungen der Klon-Sequenz-Nummern zu den entsprechenden Taxa; Probe E45P

Klon-Nr.: E45_1,2,6,9,13,17,18,30,34,36,38,42,43,44,47,48
nächster bekannter Verwandter: <i>Proasellus slavus</i> 18S ribosomal RNA gene, complete sequence (= <i>Proasellus cavaticus</i>) Accessions-Nr.: AF496662.1
Taxonomie: Eukaryota; Metazoa; Arthropoda; Crustacea; Malacostraca; Eumalacostraca; Peracarida; Isopoda; Asellota; Aselloidea; Asellidae; <i>Proasellus</i>
Klon-Nr.: E45_4,7,10,15,19,24,39,40
nächster bekannter Verwandter: <i>Gibberella moniliformis</i> p450-4 gene for ent-kaurene oxidase, exons 1-4, strain A-00149 Accessions-Nr.: AM946177.1
Taxonomie: Eukaryota; Fungi; Dikarya; Ascomycota; Pezizomycotina; Sordariomycetes; Hypocreomycetidae; Hypocreales; Nectriaceae; <i>Gibberella</i>
Klon-Nr.: E45_5,11,12,16,20,21,22,23,25,27,29,31,32,33,35,37,41,45,46
nächster bekannter Verwandter: <i>Naegleria</i> spec. SUM3V/I small subunit ribosomal RNA gene, partial sequence Accessions-Nr.: DQ768723.1
Taxonomie: Eukaryota; Heterolobosea; Schizopyrenida; Vahlkampfiidae; <i>Naegleria</i> ; unclassified <i>Naegleria</i>
Klon-Nr.: E45_3,8,26
nächster bekannter Verwandter: <i>Protacanthamoeba bohemica</i> small subunit ribosomal RNA gene, complete sequence Accessions-Nr.: AY960120.1
Taxonomie: Eukaryota; Amoebozoa; Centramoebida; Acanthamoebidae; <i>Protacanthamoeba</i>
Klon-Nr.: E45_14,28
nächster bekannter Verwandter: <i>Sarocladium kiliense</i> strain CBS 122.29 18S ribosomal RNA gene, partial sequence Accessions-Nr.: HQ232198.1
Taxonomie: Eukaryota; Fungi; Dikarya; Ascomycota; Pezizomycotina; Sordariomycetes; Hypocreomycetidae; Hypocreales; mitosporic Hypocreales; <i>Sarocladium</i>

Tab. 29: Zuordnungen der Klon-Sequenz-Nummern zu den entsprechenden Taxa; Probe E45E

Klon-Nr.: EI_1,2,3,4,5,6,7,8,9,10,11,12,13,14,15,16,17,18,19,20,21,22,23,24,25,26,27,28,29,30,31,32,33,35,36,37,38,39,40,41,42,43,44,46,47,48
nächster bekannter Verwandter: <i>Acidovorax</i> spec. 'smarlab 133815' 16S ribosomal RNA gene, partial sequence Accessions-Nr.: AY093698.1
Taxonomie: Bacteria; Proteobacteria; Betaproteobacteria; Burkholderiales; Comamonadaceae; <i>Acidovorax</i>
Klon-Nr.: EI_34,45
nächster bekannter Verwandter: <i>Pelomonas saccharophila</i> gene for 16S rRNA, partial sequence, strain: NBRC 103037 Accessions-Nr.: AB681917.1
Taxonomie: Bacteria; Proteobacteria; Betaproteobacteria; Burkholderiales; Comamonadaceae; <i>Pelomonas</i>

Tab. 30: Zuordnungen der Klon-Sequenz-Nummern zu den entsprechenden Taxa; Probe EIP

Klon-Nr.: EV_2,3,5,12,15,16,18,21,27,30,32,35,37,38,44,45,48
nächster bekannter Verwandter: <i>Gibberella moniliformis</i> p450-4 gene for ent-kaurene oxidase, exons 1-4, strain A-00149

Acessions-Nr.: AM946177.1
Taxonomie: Eukaryota; Fungi; Dikarya; Ascomycota; Pezizomycotina; Sordariomycetes; Hypocreomycetidae; Hypocreales; Nectriaceae; <i>Gibberella</i>
Klon-Nr.: EV_1,4,6,7,8,9,10,13,20,22,23,25,26,28,29,31,33,36,39,40,41,42,43
nächster bekannter Verwandter: <i>Proasellus slavus</i> 18S ribosomal RNA gene, complete sequence = <i>Proasellus cavaticus</i>
Acessions-Nr.: AF496662.1
Taxonomie: Eukaryota; Metazoa; Ecdysozoa; Arthropoda; Crustacea; Malacostraca; Eumalacostraca; Peracarida; Isopoda; Asellota; Aselloidea; Asellidae; <i>Proasellus</i>
Klon-Nr.: EV_11,14,17,47
nächster bekannter Verwandter: <i>Fusarium</i> spec. ZLH-X6 18S ribosomal RNA gene, partial sequence
Acessions-Nr.: JQ934487.1
Taxonomie: Eukaryota; Fungi; Dikarya; Ascomycota; Pezizomycotina; Sordariomycetes; Hypocreomycetidae; Hypocreales; Nectriaceae; mitosporic Nectriaceae; <i>Fusarium</i>
Klon-Nr.: EV_19,34
nächster bekannter Verwandter: <i>Cladosporium</i> spec. 2 FW1PhC3-1 18S ribosomal RNA gene, partial sequence
Acessions-Nr.: JX273057.1
Taxonomie: Eukaryota; Fungi; Dikarya; Ascomycota; Pezizomycotina; Dothideomycetes; Dothideomycetidae; Capnodiales; Davidiellaceae; mitosporic Davidiellaceae; <i>Cladosporium</i>
Klon-Nr.: EV_24,46
nächster bekannter Verwandter: <i>Phoma</i> spec. ZHA 18S ribosomal RNA gene, partial sequence
Acessions-Nr.: JQ838011.1
Taxonomie: Eukaryota; Fungi; Dikarya; Ascomycota; Pezizomycotina; Dothideomycetes; Pleosporomycetidae; Pleosporales; Pleosporineae; Didymellaceae; mitosporic Didymellaceae; <i>Phoma</i>

Tab. 31: Zuordnungen der Klon-Sequenz-Nummern zu den entsprechenden Taxa; Probe EVE

Klon-Nr.: EI_1 bsi EOII_48
nächster bekannter Verwandter: <i>Acidovorax</i> spec. 'smarlab 133815' 16S ribosomal RNA gene, partial sequence
Acessions-Nr.: AY093698.1
Taxonomie: Bacteria; Proteobacteria; Betaproteobacteria; Burkholderiales; Comamonadaceae; <i>Acidovorax</i>

Tab. 32: Zuordnungen der Klon-Sequenz-Nummern zu den entsprechenden Taxa; Probe EIIP

Klon-Nr.: EVI_3,4,5,6,7,13,14,16,20,22,25,26,43,47
nächster bekannter Verwandter: <i>Gibberella moniliformis</i> p450-4 gene for ent-kaurene oxidase, exons 1-4, strain A-00149
Acessions-Nr.: AM946177.1
Taxonomie: Eukaryota; Fungi; Dikarya; Ascomycota; Pezizomycotina; Sordariomycetes; Hypocreomycetidae; Hypocreales; Nectriaceae; <i>Gibberella</i>
Klon-Nr.: EVI_1,2,8,10,12,15,17,19,21,32,33,34,35,36,39,40,42,45,46,48
nächster bekannter Verwandter: <i>Proasellus slavus</i> 18S ribosomal RNA gene, complete sequence = <i>Proasellus cavaticus</i>
Acessions-Nr.: AF496662.1
Taxonomie: Eukaryota; Metazoa; Ecdysozoa; Arthropoda; Crustacea; Malacostraca; Eumalacostraca; Peracarida; Isopoda; Asellota; Aselloidea; Asellidae; <i>Proasellus</i>
Klon-Nr.: EVI_9,11,18,23,24,27,28,29,30,31,37,38,41,44
nächster bekannter Verwandter: <i>Aspergillus</i> spec. han-1 gene for 16S rRNA, partial sequence
Acessions-Nr.: AB713913.1
Taxonomie: Eukaryota; Fungi; Dikarya; Ascomycota; Pezizomycotina; Eurotiomycetes; Eurotiomycetidae; Eurotiales; Trichocomaceae; mitosporic Trichocomaceae; <i>Aspergillus</i>

Tab. 33: Zuordnungen der Klon-Sequenz-Nummern zu den entsprechenden Taxa; Probe EVIE

Klon-Nr.: EIII_1,2,3,5,6,7,8,9,10,11,12,13,15,16,17,18,19,20,21,22,23,24,25,26,27,28,29,30,31,32,33,34,35,36,37,38, 39,40,41,42,43,44,45,46,47,48
nächster bekannter Verwandter:

<p><i>Acidovorax</i> spec. 'smarlab 133815' 16S ribosomal RNA gene, partial sequence Acessions-Nr.: AY093698.1</p>
<p>Taxonomie: Bacteria; Proteobacteria; Betaproteobacteria; Burkholderiales; Comamonadaceae; <i>Acidovorax</i></p>
<p>Klon-Nr.: EIII_4</p>
<p>nächster bekannter Verwandter: <i>Bradyrhizobium</i> spec. RS-46 partial 16S rRNA gene, strain RS-46 Acessions-Nr.: FM998034.1</p>
<p>Taxonomie: Bacteria; Proteobacteria; Alphaproteobacteria; Rhizobiales; Bradyrhizobiaceae; <i>Bradyrhizobium</i></p>
<p>Klon-Nr.: EIII_14</p>
<p>nächster bekannter Verwandter: <i>Mycobacterium</i> spec. 12/13.28 AW partial 16S rRNA gene, strain 12/13.28 AW Acessions-Nr.: HE575946.1</p>
<p>Taxonomie: Bacteria; Actinobacteria; Actinobacteridae; Actinomycetales; Corynebacterineae; Mycobacteriaceae; <i>Mycobacterium</i></p>

Tab. 34: Zuordnungen der Klon-Sequenz-Nummern zu den entsprechenden Taxa; Probe EIIIP

<p>Klon-Nr.: EVII_10,12,15,24,28,30,36,46,48</p>
<p>nächster bekannter Verwandter: <i>Gibberella moniliformis</i> p450-4 gene for ent-kaurene oxidase, exons 1-4, strain A-00149 Acessions-Nr.: AM946177.1</p>
<p>Taxonomie: Eukaryota; Fungi; Dikarya; Ascomycota; Pezizomycotina; Sordariomycetes; Hypocreomycetidae; Hypocreales; Nectriaceae; <i>Gibberella</i></p>
<p>Klon-Nr.: EVII_1,2,3,4,5,6,7,8,9,11,13,14,16,17,18,19,20,21,22,23,25,26,27,29,31,32,33,34,35,37,38,39,40,41,42,43,44,45,47</p>
<p>nächster bekannter Verwandter: <i>Proasellus slavus</i> 18S ribosomal RNA gene, complete sequence = <i>Proasellus cavaticus</i> Acessions-Nr.: AF496662.1</p>
<p>Taxonomie: Eukaryota; Metazoa; Ecdysozoa; Arthropoda; Crustacea; Malacostraca; Eumalacostraca; Peracarida; Isopoda; Asellota; Aselloidea; Asellidae; <i>Proasellus</i></p>

Tab. 35: Zuordnungen der Klon-Sequenz-Nummern zu den entsprechenden Taxa; Probe EVIIE

<p>Klon-Nr.: EIV_1,2,3,4,5,6,7,8,9,10,11,12,13,14,15,16,17,18,19,20,21,22,23,24,25,26,28,29,30,31,32,33,34,36,37,38,39,40,41,42,43,44,45,46,47,48</p>
<p>nächster bekannter Verwandter: <i>Acidovorax</i> spec. 'smarlab 133815' 16S ribosomal RNA gene, partial sequence Acessions-Nr.: AY093698.1</p>
<p>Taxonomie: Bacteria; Proteobacteria; Betaproteobacteria; Burkholderiales; Comamonadaceae; <i>Acidovorax</i></p>
<p>Klon-Nr.: EIV_27,35</p>
<p>nächster bekannter Verwandter: <i>Hyphomicrobium</i> spec. KC-IT-W2 16S ribosomal RNA gene, partial sequence Acessions-Nr.: FJ711209.1</p>
<p>Taxonomie: Bacteria; Proteobacteria; Alphaproteobacteria; Rhizobiales; Hyphomicrobiaceae; <i>Hyphomicrobium</i></p>

Tab. 36: Zuordnungen der Klon-Sequenz-Nummern zu den entsprechenden Taxa; Probe EIVP

<p>Klon-Nr.: EVIII_1,3,7,11,15,33,34,36,38,40,41,44,45</p>
<p>nächster bekannter Verwandter: <i>Gibberella moniliformis</i> p450-4 gene for ent-kaurene oxidase, exons 1-4, strain A-00149 Acessions-Nr.: AM946177.1</p>
<p>Taxonomie: Eukaryota; Fungi; Dikarya; Ascomycota; Pezizomycotina; Sordariomycetes; Hypocreomycetidae; Hypocreales; Nectriaceae; <i>Gibberella</i></p>
<p>Klon-Nr.: EVIII_2,4,5,6,8,9,10,12,13,14,16,17,18,19,20,21,22,23,24,25,26,27,28,29,30,31,32,35,37,39,42,43,46,47,48</p>
<p>nächster bekannter Verwandter: <i>Proasellus slavus</i> 18S ribosomal RNA gene, complete sequence = <i>Proasellus cavaticus</i> Acessions-Nr.: AF496662.1</p>
<p>Taxonomie: Eukaryota; Metazoa; Ecdysozoa; Arthropoda; Crustacea; Malacostraca; Eumalacostraca; Peracarida; Isopoda; Asellota; Aselloidea; Asellidae; <i>Proasellus</i></p>

Tab. 37: Zuordnungen der Klon-Sequenz-Nummern zu den entsprechenden Taxa; Probe EVIIIE

7.4 Originalsequenzen der ermittelten Taxa

Achromobacter spec. CCUG 3353 16S ribosomal RNA gene, partial sequence
 Accessions-Nr.: JQ746486.1
 Taxonomie:
 Bacteria; Proteobacteria; Betaproteobacteria; Burkholderiales; Alcaligenaceae; *Achromobacter*
 Origin:
 1 gtggcgagtg gcgaacgggt gagtaatgta tcggaacgtg cctagtagcg ggggataact
 61 acgcgaaagc gtagctaata ccgcatacgc cctacggggg aaagcagggg atcgcaagac
 121 cttgcaact tagagcggcc gatatccgtt tagtagttg gtgggttaac ggctcacca
 181 ggcgcacatc cgttagtgg ttgagggac gaccagccac actgggactg agacacggcc
 241 cagactccata cgggaggcag cagtgggaa ttttggacaa tggggaaac cctgatccag
 301 ccatcccgcg tgtgcgatga aggccttcgg gttgtaaagc acttttggca ggaaaagaaac
 361 gtcatgggtc aataccccgt gaaactgacg gtacctgcag aataaggacc ggctaactac
 421 gtgccagcag ccgcggtaat acgtagggtg caagcgttaa tcggaattac tggcgtaaa
 481 gcgtgcgcag gcgggttcgga aagaaagatg tgaatccca gagcttaact ttggaaactgc
 541 atttttaact accgcgactag agtgtgtcag agggaggtgg aattccgcgt gtacgtactga
 601 aatgcgtaga tatgcggagg aaacccgcgt gcgcaggcag cctctggga taacactgc
 661 gctcatgcac gaaaggctgg ggagcaaca ggattagata ccctggtagt ccacgcctta
 721 aacgatgtca actagcttttgc ggggccttcg ggcccttggta gcgcgcgtaa cgcgtgaat
 781 tgaccgcctg gggaggtacgg tcgcaagattt aaaactcaaa ggaatttgacg gggacccca
 841 caaggcgtgg atgatgtgga ttaattcgat gcaacgcgaa aaaccttacc tacccttgac
 901 atgtctggaa ttccgaagag atttggaaat gctcgcaga gaacccggaa acaggtgtgc
 961 catggctgtc gtcagctcgat gtcgtgagat gttgggttaa gtccgcac gagcgcacacc
 1021 cttgtcatta gttgcatacg aagggcactt taatggact gcccgtgaca aaccggagaa
 1081 aggtggggat gacgtcaagt cctcatggcc ctttagggta gggttcaca cgtcatacaa
 1141 tggtcgggac agagggtcgc caacccgcga ggggagccaa atcccgaaaa cccgatcgta
 1201 gtcccgatcg cgtctcgaa ctcgactgcg tgaatgcggaa atcgtagta atcgccggatc
 1261 aqcatqtcgc qqtqaatacq ttcccqgtc tttgtacacac cqcccgatc

Tab. 38: DNA-Sequenz von *Achromobacter* spec. CCUG 3353 aus der Datenbank BLAST

Aciditerrimonas spec. CH22-21 16S ribosomal RNA gene, partial sequence	
Accessions-Nr.: JN033775.1	
Taxonomie:	
Bacteria; Actinobacteria; Acidimicrobidae; Acidimicrobiales; Acidimicrobinae; Aciditerrimonas	
Origin:	
1	gacgaacgct ggcggcggtgc ctaacacatg caagtcgaac gaggtccatc ctttgggaga
61	agacactagtgc gcaacgggt gagaatacacg tgaagaacct gccccaaaga ccggataac
121	cctccgaaag gagagctaatt accggatacc cccacccgagc cgcatacgatggatggaaa
181	tggattccgc ttccggggggg ctccggggcc tatcatcgat ttgggtgggt aacggcccaac
241	caaggcatcg acgggtacgt ggtctgagag gacgatcagc cacactggga ctgagacacg
301	gcccgactc ctacggggggg cagcagtggg gaatcttgcg caatgggcgaa aagcctgacg
361	cagcaacgccc gcgtgggggg tgaaggctct cgggttgtaa accccttca gcagggacga
421	atcaagacgg tacctgcaga agaagccccg gctaactacg tgccagcagc cgccgtaaaca
481	cgttagggggc aagcgttgc cggattattt gggcgtaaag agtctcgtagg tggctgagta
541	agtccggatgt taaaatccca ggctcaacccctt gggacaccac cgatactgc tctggctaga
601	gtcccggtagg ggagcgttggg attcctgttgc tagcgttgaa atgcgcagat atcaggagga
661	acaccagcgg cgaaggcggc gctctggggc ggtacttgaca ctgaggagcg aaagcgtggg
721	tagcaaacag gattagatac cctggtagtc cacccgtaa acgttggca ctaggtgtgg
781	ggcttattca acggactccg tgccgttagt aacgcattaa gtccccccgc tggggagtac
841	ggccgcagg ctaaaactca aaggaattga cggggggcccg cacaaggcagc ggagcatgtt
901	gcttaattcg aggcaacccgg aagaaccttata ctcgggtttt acatgttagag aaaagccata
961	gagatatggt gtccttccggg gtttacaca ggttgcata ggttgcgtc agtcgtgtc
1021	gttagatgtt gggtaatgc cgcacccgg cgcacccctt gtcctatgtt gccagcaact
1081	catgggtgggg actcgtagga gactgcggg gtcaactcg gggaaagggtgg ggacgacgtc
1141	aatatcatcat gccccttata tccagggtcg caaacatgtt acaatggccg gtacaaagggg
1201	ctgcgaaacc gcgagggtggg gcaatccca gaaaggccgtt ctcagttcg attggagtct
1261	gcaactcgac tccatcgatc gggatgtgtt agtaatcccc gatcagcaac gccgggggtga
1321	atacggtttt gggccgttgcg cacaacccggc gtacacccat gaaagggttggaa aacgccccgaa
1381	ggccgtggcc gaaaccggcaaa gggacggggc totcdaagggtt gggatcagcg attaggatg

Tab. 39: DNA-Sequenz von *Aciditerrimonas* spec. CH22-21 aus der Datenbank BLAST

<i>Acidovorax</i> spec. 'smarlab 133815' 16S ribosomal RNA gene, partial sequence Accessions-Nr.: AY093698.1
Taxonomie:
Bacteria; Proteobacteria; Betaproteobacteria; Burkholderiales; Comamonadaceae; <i>Acidovorax</i>
Origin:
1 ttgatccctgg ctcagattga acgctggcg catgccttac acatgcaagt cgaacggtaa 61 caggctttcg gatgctgacg agtggcgAAC gggttagtaa tacatcgaa cgtgcccgg 121 agtggggat aacgaagcga aagcttgct aataccgcat acgatctcgat gatgaaaagca 181 gggggccca aggcccttgcg ctcacggcgc ggcgcattggc agatttagtaa gttgggtggga 241 taaaagctta ccaagccgcac gatctgttagc tggcttggaga ggacgaccag ccacactggg 301 actgagacac gggcccgact cctacgggag gggcggatgg gggatttttgg acaaattgggg

361	caagcctgat ccagccatgc cgcggtcagg atgaaggcct tcgggttgc aactgcttt
421	gtacggaaacg aaaagactcc ttctaataaa gggggtccat gacggtaccg taagaataag
481	caccggctaa ctacgtgcc a gcaggcggt taatacgtg ggtgcgagcg ttaatcgaa
541	ttactggcg taaagcgtgc gcaggcggt atgtaagaca gatgtgaat ccccggtc
601	aacctggaa ctgcattgt gactgcattc ctggagtgcg gcagaggggg atgaaattcc
661	gcgtgttagca gtgaaatgcg tagatatgcg gaggaacacc gatggcgaag gcaatccc
721	gggcgtcgc acgtacgtcat gcacaaagc gtggggagca aacaggatta gataccctgg
781	tagtccacgc cctaaacat gtcaactgtg tttgggtct tcactgactc agtaaccaag
841	ctaaccgcgtg aagtgcgtg cctggggagt acggccgca ggttggaaact caaaggaaatt
901	gacggggacc cgcacaacgc gtggatgtg tggttaat cgatgcac gaaaaacact
961	tacccacctt tgacatgtac ggaatctt agagatagag gatgtctcg aagagagccg
1021	taaacacagggt gtcgtatggc tgcgtcaggc tgcgtcgtg agatgttggg ttaagtcccc
1081	caacgagcgc aacccttgc attagttgtc agaaaaggcc actctaattgg gactgcgggt
1141	gacaaaccgg aggaagggtt ggatgcgtc aagtccatgc ggccttata ggtggggcta
1201	cacacgtcat acaatggctg gtacagaggg ttgccaaccc gcgaggggg gccaatcccc
1261	caaaggccatc ctagtcccg atcgcgtct gcaactgcac tgcgtgaatcg cggaaatcgct
1321	agtaatcgcg gatcagaatg tcgcgtgaa tacgttcccg ggttggatc acaccggccg
1381	tcacaccatg ggaggcggtt ctgcgtcaga tagttagcc aaccgcagg agggcgat
1441	ccacggcagg gtcgtact ggggtgaatcg cgtacaaacgg

Tab. 40: DNA-Sequenz von *Acidovorax* spec. 'smarlab 133815' aus der Datenbank BLAST

<i>Acidovorax</i> spec. S4 16S ribosomal RNA gene, partial sequence	
Accessions-Nr.: GU372408.1	

Taxonomie:
Bacteria; Proteobacteria; Betaproteobacteria; Burkholderiales; Comamonadaceae; *Acidovorax*

Origin:

1	ctacctgcac tcgacggtaa caggcttcg gatgtgcacg agtggcgaac gggtgatgaa
61	tacatcgaa cgtccccggag agtggggat aacggggcga aacgtttgt aataccgc
121	acgtatctcgat gatgaaagca ggggaccgc aggccttgcg ctcacggagc ggccatggc
181	agattaggtt gttggggtaa aaaaacttta ccaagccgac gatctgtac tggctgaga
241	ggacgaccac ccacactggg actggacac gggccagact cctacgggg gcagcgttgg
301	ggaattttgg acaatggcg caagcctgat ccagccatgc cgcgtcagg atgaaaggc
361	tcgggttgc aactgtttt gtacggaaacg aaaagactcc ttctaataaa gggggtccat
421	gacggtaccg taagaataag caccggctaa ctacgtgcc gcagccgcg taatacgt
481	ggtgcgagcg ttaatcgaa ttactggcg taagcgtgc gcaggcggtt atataagaca
541	gatgtgaat cccgggtc aaccctggaa ctgcattgt gactgtatag cttagatcg
601	gcagggggg atgaaattcc gctgtacgtca gtaaatatgcg gaggaacacc
661	gagggcgaag gcaatccctt gggctgtac tgacgtcat gcacgaaacgc gtggggagca
721	aacaggatata gataccctgg tagtccacgc cttaaacatgt gtcacttgt tttgggtct
781	tcactgactc agtaacgcgaa ctaacgcgtg aagttgcgg cctggggagt acggccgca
841	ggttggaaact caaaggaaatt gacggggacc cgcacaacgc gtggatgtg tggtttaatt
901	cgatgcacg cggaaaacctt accacccatc tgacatgtat ggaatctt agagatagag
961	gatgtctcgaa agagggccaa acaccaatgt gtcgtatggc tgcgtcagc tgcgtcgt
1021	agatgttggg ttaagtcccc caacgagcgc aacccttgc attagttgtc acgaaaaggcc
1081	actctaattgg gactgcggt gacaaaccgg aggaagggtt ggatgcgtc aagtccat
1141	ggcccttata ggtggggcta cacacgtcat acaatggctg gtacagaggg ttgccaaccc
1201	gcgaggggg gccaatcccc taaagccatgt ctagtcccg atcgcgtct gcaactcgac
1261	tgcgtgaatcg cggaaatcgatc agtaatcgcg gatcagaatg tcgcgtgaa tacgttcccg
1321	gtctgtatca cacaaccgtt cacaccatgg gaggcggtt tcgcgtcagaatcgatca
1381	cgcaggaggc gtacccg

Tab. 41: DNA-Sequenz von *Acidovorax* spec. S4 aus der Datenbank BLAST

<i>Acinetobacter johnsonii</i> 16S ribosomal RNA gene, partial sequence	
Accessions-Nr.: FJ976603.1	

Taxonomie:
Bacteria; Proteobacteria; Gammaproteobacteria; Pseudomonadales; Moraxellaceae; *Acinetobacter*

Origin:

1	gcggggctta cacatgcacatc tcgagcgaaaa aagggttagct tgctaccgtc cctagccgc
61	gacgggttaga taatgtcttag gaatgtccctt attagttgggg gacaacattt cggaaaggaaat
121	gtatcacccatc cttttttttttt acggggggaa gcagggttttgc ttccggaccc tgcgtatag
181	atggccctaa gtcagatgtt ctatgtgggg gggtaaaggcc ctaccaaggc gacgtatgt
241	agccggctctg agaggatgtt cccgcacactt gggactgtgaa caccggccatc actcctacgg
301	gaggcagcaatc tggggatattt tggacaaatgg ggcggggccatc gatccggccca tgccgcgtgt
361	gtggaaagg cttttttttt gtaaaggactt ttaaggcgagg aggaggctac cgagatataat
421	actcttggat agtggacgtt actcgcacaa taagcaccgg ctaactctgt gccagcagcc
481	gcggtaatac agaggggtcg agcgttaatc ggattttactg ggcgttaaagc gtgcgttgg
541	ggctttttaa gtcggatgtt aaatccctgt gcttaactt ggaatttgcatt tcgataactgg
601	gaagcttagatc tatggggatg gatgttagaa ttccagggtt agcgggtaaa tgccgttagaga
661	tctggggatgg taccgtatgc gaaaggccatc atactggacgc tgaggtacga
721	aaggatgggg gcaacacagg attagatacc ctggatgtcc atgcccataaa cgatgtctac
781	tagccgttgg ggcctttgg gctttttgtt cgcagcttac ggcgtataatc gaccgcgttgg
841	ggagtacgtt cgcacaaatc aaactcaatc gatgttgcgg gggccgcac aagcgggtgg
901	gcatgtgggtt taatccatgt caacgcacatc aacccatccatc ggttgcgtatc tagtataaa
961	tttccatggatc tggattgtt cttccggaa ctacatataa ggttgcgtatc ggctgtcgt
1021	agctcgatgtc gtgagatgtt gggtaatgc cgcacacccatc ttccatattt

1081 gccagcgggt taagccggga actttaagga tactgccagt gacaaactgg aggaaggcgg
1141 ggacgacgtc aagtcatcat ggccttaac accaggccta cacacgtgt acaatggcg
1201 gtacaagggt ttgtcacca gcgataggat gctaactca aaaagccat cgtagtcgg
1261 attggagtct gcaactcgac tccatagaat cgaaatcgat agtaatcgat gatcagaatg
1321 ccgcggtaaa tacgttccc ggtttgaca caccgaaaac tggcgaaat tgataccctg
1381 ctttgggg

Tab. 42: DNA-Sequenz von *Acinetobacter johnsonii* aus der Datenbank BLAST

<i>Acremonium strictum</i> strain DS1bioAY4a 18S ribosomal RNA gene, partial sequence (= <i>Sarocladium strictum</i>) Accessions-Nr.: HM216184.1
--

Taxonomie:

Eukaryota; Fungi; Dikarya; Ascomycota; Pezizomycotina; Sordariomycetes; Hypocreomycetidae; Hypocreales; mitosporic Hypocreales; *Sarocladium*

Origin:

1 gcaattatac agcggaaactg cgaatggact cattataaa gttatcggtt atttgatagt
61 gccttactac ttggataacc gtgttatttc tagagctaat acatgctaa aaccccgact
121 tcggaaagggt tttttttttt agataaaaaa ccaatgcct tcggggctcc ttggtgattc
181 atgataacta tacgaatcg acggccttc gccggcgatg gttcattcaa atttcttccc
241 tatcaacttt cgatgttgg gtattggcca aacatggttg caacgggtaa cggagggtaa
301 gggctcgacc ccggagaagg agcgtggaa acggctacta catccaaagg aggccggagg
361 cgcgcaaaat acccaatccc gactcgggg ggtgtgaca ataataactg atacaggccc
421 ctggggccct ttgttaatggg attagtgaca atttaatcc cttaacggg aacaatttgg
481 gggcaagtct ggtccagca gccgcgtta ttccagctcc aatagctat attaaagtgg
541 ttgtggtaa aaagctcgct agttgaacct tggcctggc tggccgtcc gcctcaccgc
601 gtgcactggc ccggccgggc ctccctct gtggaaacccc ataccctca ctggcggtgg
661 cggggaaaca ggacattac tttggaaaaaa tttagtggtt ccaggcgagg ctatgctcg
721 atacatttagc atgaaataat aaaataggac ggcgcgttct attttgtgg ttataggac
781 cgcgttaatggg attagtggtt gcatcgat tcaactgtca gaggtgaaat
841 tcttggatca ttgttgaaatg aactactcgaa aacgttggc ccaaggatgt ttccattaaat
901 caggaacgaa agttggggaa tcgaagacgaa tcagatccg tcgtgttca aaccataaaac
961 tatgccgact agggatcgaa cgggtttt catgaccgt tcggcacctt acgagaaatc
1021 aaagtgtttt ggctccagggg gggtgttgcg cgaaggctg aaacttaaag aaattgacgg
1081 aagggcacca ccagggtggg agcctgcggc ttaatttgac tcaacacggg gaaactcacc
1141 aggtccagac acaataagga ttgacagattt gagaatgttctt tcttgattttt gtgggtgg
1201 gtgcattggc gtttttagt ggtgggtgtt ctgtctgtc taatgtcgat aacgaacgag
1261 accttaatcc gctaaatagc ccgcattgtc ccggcgtgc gctggcttc tagaggact
1321 ttccggctc

Tab. 43: DNA-Sequenz von *Acremonium strictum* DS1bioAY4a aus der Datenbank BLAST

<i>Aeromonas hydrophila</i> strain QDC01 16S ribosomal RNA gene, partial sequence Accessions-Nr.: JX029046.1

Taxonomie:

Bacteria; Proteobacteria; Gammaproteobacteria; Aeromonadales; Aeromonadaceae; *Aeromonas*

Origin:

1 cdstcaatgg gggcgccct tacacatgca agtcgagcgg cagcggggaaa gtagctgt
61 acttttgcgg gcgagcggc gacgggttag taatgcctgg gaaattgccc agtcgagggg
121 gataacagt ggaaacgact gctaataccg cataccctt acggggaaa gcaggggacc
181 ttccggccctt ggcgcgttgg atatggccat gttgggttag ctatgggtt aggtatggc
241 tcaccaaggc gacgttccctt agtgggtctt agaggatgtt cagccacactt ggaactgaga
301 cacgggtccatg actccatcg gaggcagcg tggggatatt tgcacaatgg gggaaaccct
361 gatgcagcca tgccgcgtgt gtggaaagg cttccgggtt gtaaaggactt ttcagcgg
421 agggaaagggtt gatgcctaat acgttacaaat tttttttttt ctcgcagaag aagcaccgg
481 taactccgtt ccggcggccg cggtaatacg ggggtgtt ggtttatcg gaattactgg
541 gctgttaatggc caccgcggc gttggatag ttatgtgtt aagccccggg ctcaacactgg
601 gaattgcatt taaaactgtc caccgttgcgat tttttttttt tccagggtt ggtttttttt
661 gctgttaatggc caccgttgcgat tttttttttt tccagggtt ggtttttttt tccagggtt
721 gacttgcgtt caccgttgcgat tttttttttt tccagggtt ggtttttttt tccagggtt
781 cggccgtttttt tttttttttt tccagggtt ggtttttttt tccagggtt ggtttttttt
841 cttttttttt tttttttttt tccagggtt ggtttttttt tccagggtt ggtttttttt
901 gggccgtttttt tttttttttt tccagggtt ggtttttttt tccagggtt ggtttttttt
961 gctttttttt tttttttttt tccagggtt ggtttttttt tccagggtt ggtttttttt
1021 gttttttttt tttttttttt tccagggtt ggtttttttt tccagggtt ggtttttttt
1081 gttttttttt tttttttttt tccagggtt ggtttttttt tccagggtt ggtttttttt
1141 gttttttttt tttttttttt tccagggtt ggtttttttt tccagggtt ggtttttttt
1201 gttttttttt tttttttttt tccagggtt ggtttttttt tccagggtt ggtttttttt
1261 gttttttttt tttttttttt tccagggtt ggtttttttt tccagggtt ggtttttttt
1321 gttttttttt tttttttttt tccagggtt ggtttttttt tccagggtt ggtttttttt
1381 gttttttttt tttttttttt tccagggtt ggtttttttt tccagggtt ggtttttttt
1441 acgtttttttt tttttttttt tccagggtt ggtttttttt tccagggtt ggtttttttt

Tab. 44: DNA-Sequenz von *Aeromonas hydrophila* QDC01 aus der Datenbank BLAST

<i>Aeromonas hydrophila</i> subsp. <i>hydrophila</i> gene for 16S rRNA, partial sequence, strain: NBRC 13286 Accessions-Nr.: AB680394.1
--

Taxonomie:

Bacteria; Proteobacteria; Gammaproteobacteria; Aeromonadales; Aeromonadaceae; *Aeromonas*

Origin: 1 attgaacgt ggcggcaggc ctaacacatg caagtcgagc ggcaacggga aagttagcttg
61 ctactttgc cggcgagcc cgacgggtt agtaatgcct gggatctgc ccagtcgagg
121 gggataaacag ttggaaacga ctgctaatac cgcatacgcc ctacggggaa aaggagggaa
181 cctcggcc tttcgaggat ggatgaaccc aggtggattt agcttagttg tggggtaatg
241 gctcaccaag cggacgtacc ctatgttgtc tgagaggatg atcagccaca ctggaaactga
301 gagacgggttcc agacttacatggggcaggc agtggggat attgcacaaat gggggaaaacc
361 ctgtatgcgc catgcccgtt gtgtaaagaa ggccttcggg ttgtaaagca ctttcagcga
421 ggagggaaagg ttggcgctta atacgtgtca actgtgacgt tacttcgcaga agaagcaccg
481 gcttaactccg tgccagcaggc cgccgtataa cggagggtgc aagcgttaat cggaaattact
541 gggcgtaaaag cgcacgcagg cgggttgata agttagatgt gaaagccccg ggctcaacct
601 gggaaatttgc tttaaaactgt tccagctaga gtcttgatg gggggatgatc attccaggtg
661 tagcgtgaa atgcgttagatc attcggatc ataccgggtt cgaaggcggc cccctggaca
721 aagactgcgtc ctcagggtgc aaagcgtgg gagaacacag gattatgatc cttgttagtc
781 cacccgttaat cagatgtcga tttggggatgt gtgtcccttgc gacgtggctt cccggatgt
841 cgccgttaaat cgaccggcgtt gggagtagcc cgcgaagggtt aaaatctaaa tgaatttgacg
901 gggggccgc caagcgtgtt agcatgtgtt ttaattcgat gcaacgcgaa gaaaccttacc
961 tggcccttgc atgtctggaa tcctgcagatc atgcggggatgt gccttcgggaa atcagaacac
1021 aggtgtgc tggctgtcgt cagctcgatgt cgtgagatgt tgggttaatg cccgcaacac
1081 ggcgaacccccc tggccctttgt tgccagcacg taatggggg aactcaaggg agactggccgg
1141 tgataaacccg gaggaaagggtt gggatgacgt caactcatca tggcccttgc gggcagggtt
1201 acacacgtgc tacaatggcc cgtacagagg gctgcacgtt agcgtatgtt agcgtatcc
1261 aaaaaggcgcg tggtagtccg gatcggatgtt cttcaactcgat cttccgtgaatgg
1321 tagtaatcgc gaatcagaat gtcgggttgc atacgttccc gggcccttgc cacaccggcc
1381 gtcacacatc gggagtgggt tgcaccaggaa gtagatgtt taaccccttgc gaggggcgat
1441 accacgggtgtt gattcatgac tggggatgtt

Tab. 45: DNA-Sequenz von *Aeromonas hydrophila* subsp. *hydrophila* NBRC 13286 a. d. D. BLAST

Aeromonas salmonicida strain E84 16S ribosomal RNA gene, partial sequence
Accessions-Nr.: JF683662.1
Taxonomie:
Bacteria; Proteobacteria; Gammaproteobacteria; Aeromonadales; Aeromonadaceae; *Aeromonas*
Origin:
1 gacgggttag taatgcctgg ggatctgcc agtcgagggg gataacagtt ggaaacgact
61 gctaataccg catacgccct acggggaaaa ggaggggacc ttccggcctt tcgcgattgg
121 atgaacctcg gtgggattag ctagttggtg gggtaatggc tcaccaaggc gacgatccct
181 agctggtctg agaggatgt cagccacact ggaactgaga cacggtccag actcctacgg
241 gaggcagcag tggggatat tgcacaatgg gggaaacccct gatgcagcca tgccgcgtgt
301 gtgaagaagg ccttcgggtt gtaaagact ttcaaggcagg aggaaagggtt ggcgcctaatt
361 acgtgtcaac ttgtacggtt ctcgcagaag aagcaccggc taactccctg ccacgcggc
421 cggtaatacg gagggtgca gcgttaatcg haattactgg gcgttaaaggc cacgcaggcg
481 gttggataag ttagatgtga aagccccggg ctcaacctgg gaattgcatt taaaactgtc
541 cagctagagt cttgttaggg ggggtagaat tccagggtta gcgggtaaat gcgttagagat
601 ctggaggaat accgggtggcg aaggcgcccc cctggacaaa gactgacgct cagggtgcgaa
661 agcgtgggg acaaacagga ttagataccc ttgttagtcca cgcctgaaac gatgtcgatt
721 tggaggctgt gtcctggaga cgtggcttc ggagctaaacg cgttaaatcg accgccttgg
781 gagtacgcc gcaagggtta aactcaatgg aattgcaggg ggcccgacca acgcgtggag
841 catgttggttt aattcgtatc aacgcgaaga accttacatgg cccttgcatt gtctggaaatc
901 ctgttagagat acgggagttc cttcggtt aacacacag gtgtcatg gctgtcgatc
961 gctcgtgtcg ttagatgttg ggttaagtcc cgcaacgcgc gcaaccctgg tcctttgttg
1021 ccagcacgtatggggaa ctcaaggggag actgcgggtg ataaaccgg a gaaagggtgg
1081 gatgacgtca agtcatcatg gcccattacgg ccagggttac acacgtgtca caatggcg
1141 tacagaggc tgcaagctg cgtatgttgg cgaatccaa aaagcgcgtc gtatgtccgg
1201 tcggactgtc caactcgact ccgttaaaggc ggaatcgatc gtaatcgatc atcagaatgt
1261 cccgtgttaat acgttcccgq cccttgcata caccqcc

Tab. 46: DNA-Sequenz von *Aeromonas salmonicida* E84 aus der Datenbank BLAST

Aeromonas salmonicida strain ZHYZZ-5 16S ribosomal RNA gene, partial sequence
Accessions-Nr.: JN106379.1
Taxonomie:
Bacteria; Proteobacteria; Gammaproteobacteria; Aeromonadales; Aeromonadaceae; *Aeromonas*
Origin:
1 gtgcatgcg agactaccat gcaagtctgag cggcagcggg aaagtagctt gctactttg
61 ccggcgacg gccggacgggt gagtaatgcc tggggatctg cccagtcgag ggggataaca
121 gttggaaacg actgtataa ccgcatacg cctacggggg aaaggagggg accttcgggc
181 cttagcgat tggatgaaacc cagggtgggt tagctgttg gtggggtaat ggctcaccaa
241 ggcgacgatc ctttagctgtt ctgagaggat gatcagccac acttggaaactg agacacggtc
301 cagactccca cgggaggccg cagtggggaa tattgcacaa tgggggaaac cctgtatcgac
361 ccatgcgcg tggatgaaaga aggcccttcgg gttgtaaaagc actttcagcg aggaggaaag
421 gttggcgctt aatacggtc aactgtgacg ttactcgcag aagaagcacc ggctaactcc
481 gtgccagccg cccgggttaat acggagggtt caagcgtaa tcggattac tggcgtaaa
541 ggcaccccg gccgggttgtt aagtttagat tgaaagcccc gggctcaacc tgggaattgc
601 attaaaaact gtcccgatcg agtcttggtag aggggggttag aattcccgat gtacgggtga
661 aatcgatgaa tagctggagg aataccgggtt gccaaggccg cccctggac aaagactgac
721 qctcaggatc qaaqcgatq qqaqcacaaata qqattatata cccttggatq ccacqccata

781 aacgatgtcg atttggaggc ttgtgccttg agacgtggct tccggagact acgcgttaaa
841 tcgaccgcct ggggagatcg gcccgaaggt taaaactcaa atgaattgac gggggccccgc
901 acaagcggtg gagcatgtgg tttaattcga tgcaacgcga agaaccttac ctggccttga
961 catgtctgga atccgtcaga gatgcgggag tgccttcggg aatcagaaca cagggtgtgc
1021 atggctgtcg tcagtcgtg tcgtgagatg ttgggtaag tccgcacacg agcgcaaccc
1081 ctgccttgc ttgcgcacac gtaatggttg gaactcaagg gagactgcgc gtgataaaacc
1141 ggaggaaggt gggggatgcg tcaagtcatc atggccctta cggccagggc tacacacgtg
1201 ctacaatgtcc gggtacagag ggctgcagaac tagcgcatagt gagcgaatcc caaaaaggcgc
1261 tgctgtagtcc ggatcgaggat ctgcacttcg actccgtgaa gtccgaatcg cttagaatcg
1321 cgaatcagaat tgtcgcgttgc aatacgttcc cgggccttgtt acacaccgc cgtcacaccca
1381 tqqqqagtggg ttqcac

Tab. 47: DNA-Sequenz von *Aeromonas salmonicida* ZHYYZ-5 aus der Datenbank BLAST

Aeromonas salmonicida subsp. *salmonicida* gene for 16S rRNA, partial sequence, strain: NBRC 12659
Accessions-Nr.: AB680308.1

Taxonomie:
Bacteria; Proteobacteria; Gammaproteobacteria; Aeromonadales; Aeromonadaceae; *Aeromonas*

Origin:

```
1 attgaacgct ggccggcaggc ctaacacatg caagtcgagc ggcagcgaa aagttagctt
61 ctactttgc cggcgagcgg cggacgggtg agtaatgcct gggatctgc ccagtcgagg
121 gggataaacag ttggaaacga ctgctaatac cgcatacgcc ctacggggaa aaggaggggaa
181 ccttcgggccc ttgcgcatt ggtgaaccc aggtggatt agctagttgg tgggttaatg
241 gctcaccatggc ggcacgatcc ctatgttgc tgagaggatg atcaggccaca ctggaaactga
301 gacacggtcc agactcctac gggagggcgc agtggggaat attgcacaat gggggaaacc
361 ctgtatgcgcg catgcgcgtt gtgtgaagaa ggccttcggg ttgtaaagca ctttcagcga
421 ggaggaaaagg ttggcccta atacgttgc actgtgcacgt tactcgcaga agaagcacccg
481 gctaactccg tgccagcgc cgcgttataa cgggggtgc aagcgttaat cggaaattact
541 gggcgttaaag cgcacgcggc cgggtggata agtttagatg gaaagccccg ggctcaacct
601 gggaaatttgc tttaaaactc tccagctaga gtcttgtaga ggggggtaga attccagggt
661 tagcggtgaa atgcgttagag atctggagga ataccgggtgg cgaaggcggc cccctggaca
721 aagactgacg ctcaagggtgcg aaagcgtggg gagcaaacag gattagatac cctggtagtc
781 cacggcgtaa acgatgtcga ttggagggtt gtgtccttga gacgtggctt ccggagctaa
841 cgcgttaaattt cggccgcctg gggagtagacgg cgcacgggtt aaaaactcaaa tgaatttgacg
901 gggggccgcga caaggcgtgg agcatgtgtt ttaattcgt gcaacgcggaa gaacccttacc
961 tggccttgcg atgttgcggaa ttctgttagag atacgggtgg gccttcgggaa atcagaacac
1021 aggtgtgtca ttgttgtcgat cagctcgatgt cgttagatgt tgggttaatgt cccgcacacg
1081 ggcacacccccc tggcctttgt tgccagcacg taatgggtggg aactcaaggg agactgcggg
1141 tgataaaacccg gaggaagggtt gggatgacgtt caagtcatca tggcccttac ggccagggtt
1201 acacacgtgc tacaatggcg cgtacagagg gctgcaagctt agcgatagtg agcgaatcccc
1261 aaaaacgcgcg tcgtatgtccg gatcgaggcgc tgcaactcga ctccgtgaag tcggaaatgc
1321 tagtaatgcg gaatcagaat gtcgcgggtga atagttccc gggccttgcg cacaccggcc
1381 gtcacacccat gggagttgggtt tgccacccaaat gtagatgtt taaccccttgcg gaggggcgtt
1441 accacqgtgtt qattcatqac tqqqqgtqaag
```

Tab. 48: DNA-Sequenz von *Aeromonas salmonicida* subsp. *salmonicida* NBRC 12659 a. d. D. BLAST

Aeromonas sobria strain M-T-TSA 98 16S ribosomal RNA gene, partial sequence
 Accessions-Nr.: JQ795757.1
 Taxonomie: Bacteria; Proteobacteria; Gammaproteobacteria; Aeromonadales; Aeromonadaceae; *Aeromonas*
 Origin:
 1 tcatggctca gattgaacgc tggccggcagg cctaacacat gcaagtgcag cggcagcgaa
 61 aaagtagctt gctacttttgc cggcgagcg gcggacgggt gagtaatgcc tggggatctg
 121 cccagtcgag ggggataaca gttggaaac actgtataa cccgatacgc cttacgggg
 181 aaaggagggg accttcggc ctttcgcgtat tggatgaacc cagggtggat tagctagtt
 241 gtgggttaat ggctcaccaa ggcgacgatc cttatgtgtt ctgagaggat gatcggcac
 301 acttggaaactg agacacggc cagactccta cgggaggcag cagtgggaa tattgcacaa
 361 tggggaaac cctgtatgcag ccattgcgcg tttgtgttgaaga aggccctcg gttgtaaagc
 421 actttcagcg aggaggaaaag gttggcagct aatatctgtc agctgtgcg ttactcgcag
 481 aagaaggacc ggctaaactcc gtgccagcag ccgcgtaat acggagggtg caagcgttaa
 541 tccgaattac tggggcttaaa ggcgacgcg cgggttgatg aatgttagatg tgaaaggccc
 601 gggctcaacc tgggaaatttcg atttaaaact gttcagctg agtcttgatg aggggggttag
 661 aattccagggt gtacgggttgc aatgcgttgc gatctgggg aataccgggtg gcaaggccg
 721 cccccctggac aaagactgac gtcagggtgc gaaacgttgc ggagcaaaaca ggattagata
 781 ccctggtagt ccacggcgta aacgatgtcg atttggaggc tttgttcctt agacgtggct
 841 tcggagacta acgcgttaaaa tcgaccgcct ggggagtacg gccgcaggat taaaactcaa
 901 atgaatttgc gggggccgcg acaaggcgttgc gagatgtgg ttaatttgc tgcaacgcga
 961 agaardttac ctggccttgc catgttgcgaa atcctgttgc gatacgggg tgccttcggg
 1021 aatcagaaca cagggttgcg atggctgtcg tcaggctgtc tctgttgc ttgggttaag
 1081 tcccgcaacg agcgcaccc ctgccttttgc ttggcagc gtaatgttgc gaaactcaagg
 1141 gagactgccc gtgataaaacc ggaggaaagggt ggggatgcg tcaagtatc atggccctta
 1201 cggccaggcc tacacacgttgc ctacaatggc gcttacagag ggcttgcagc tagcgtatgt
 1261 gagcgaatcc caaaaaggcgc gtcgttagtcc ggatcggaggat ctgcaactcg actccgttgc
 1321 gtccgaatcg cttagatgc caaatcagaa ttggcgggttgc aataatgttcc cgggccttgt
 1381 acacaccgcg cgtcacccca ttgggatgtggg ttgcaccaga agtagatagc ttaacccctcg
 1441 ggaggggatgttgc

Tab. 49: DNA-Sequenz von *Aeromonas sobria* M-T-TSA 98 aus der Datenbank BLAST

Aeromonas spec. c55(2012) 16S ribosomal RNA gene, partial sequence
Accessions-Nr.: JQ781549.1

Taxonomie:
Bacteria; Proteobacteria; Gammaproteobacteria; Aeromonadales; Aeromonadaceae; *Aeromonas*

Origin:

```

1 tgcaagtcga gcggcagcgg gaaagttagct tgcacttt gccggcgacg ggcggacggg
61 tggataatgc ctggaaatt gcccgtcga ggggataac agttggaaac gactgcta
121 accgcatacg ccctacgggg gaaagcagg gacccctcg gcttgcgcga ttggatatgc
181 ccagggtggta tttagcttgg tggatggtaa tggctccca aggacacgtt ccctagctgg
241 tctgagggag ttagcggca cactggatc gagacacggt ccacactt acgggaggca
301 gcaatggggata atttgcaca atggggaaa cctctatcgca gccatgcgg gtgtgtgg
361 aaggccttcg gtttgtaaag cacttgcgg gaggaggaaa gtttgcgtt taatacgtt
421 cagctgtac gttactcgca gaagaagcac cggttaactc cgtgcacgca gccgcggtaa
481 tacggagggtt gcaaggctta atcggattt ctggcgtaa agcgcacgca ggcgggttgg
541 taagtttagat gtgaaagccc cgggtcaac ctggattt cattttaaac tgtccagctt
601 gaggcttgc gagggggtt gattccagg ttagcgggtt aaatgcgtt agatctgg
661 gaataccggc ggcgaaggcg gccccctggaa caaagactga cgctcagggtt cgaaagcg
721 gggagcaaac aggatggat accctggtag tccacccgtt aaacgttgc gatttggagg
781 ctgtgcctt gggatggc aacgcgtttaa atcggccgtt tggggatgtt
841 ggcccaagg tttttttttt aatgttgc cggggggccgg cacaacgggtt ggagcatgtt
901 gtttatttcg atgcaacgcg aagaacctt cctggcttgc acatgtctt aatcctcg
961 agatgcgggaa gtgccttcgg gaatcagaac acagggtgtt catggcttgc gtcagctgt
1021 gtcgtggat gttgggtttaa gtccgcacacc gggccgtt cctgtccctt gttggccgtt
1081 cgtatggtggaaacttcaag ggagacttgc ggttgcataac cggggatgtt tggggatgtt
1141 ttcaagtcat catggccctt acggccagggtt ctacacacgtt gcttacaatgg cgcgttac
1201 gggcttgcaggat tttttttttt tttttttttt tttttttttt tttttttttt tttttttttt
1261 tttttttttt tttttttttt tttttttttt tttttttttt tttttttttt tttttttttt

```

Tab. 50: DNA-Sequenz von *Aeromonas* spec. c55(2012) aus der Datenbank BLAST

Aeromonas spec. 156B 16S ribosomal RNA gene, partial sequence
Accessions-Nr.: JF444782.1

Taxonomie:
Bacteria; Proteobacteria; Gammaproteobacteria; Aeromonadales; Aeromonadaceae; *Aeromonas*

Origin:

```

1 gccggcgacg ggcggacggg tgtagtaatgc ctggggatct gcccgtcga ggggataac
61 agttggaaac gactgcta accgcatacg ccctacgggg gaaaggagg gacccctcg
121 ctttcgcga ttggatgaac ccagggtggta tttagcttgg tggctccca
181 aggcacgtt ccctagctgg tctgagggat tggatcgcca cactggatc gagacacgg
241 ccacacttcc acggggaggca gcaatggggat atttgcaca atggggaaa ccctatcg
301 gccatgcggc gtgtgtgaag aaggccttcg gtttgcgtt cactttcagc gaggaggaaa
361 gtttgcgtt taatatctgt cagctgtac gttactcgca gaagaagcac cggttaactc
421 cgtgcacgca gccgcgttta tacgggggtt gcaaggcttta atcggattt ctggcgtaa
481 agccgcacgca ggcgggttga taatgttgc gtttgcgttcc acatgttgc acatgttgc
541 cattttttttt tttttttttt tttttttttt tttttttttt tttttttttt tttttttttt
601 aaatgcgtt agatctggat gtttgcgttcc acatgttgc gtttgcgttcc acatgttgc
661 cgttgcgttcc cttttttttt tttttttttt tttttttttt tttttttttt tttttttttt
721 aaacgttgc gatttggagg ctgtgcctt gggatggc tttttttttt tttttttttt tttttttttt
781 atcggccgtt tttttttttt tttttttttt tttttttttt tttttttttt tttttttttt
841 cacaaggccgtt gggatggc tttttttttt tttttttttt tttttttttt tttttttttt
901 acatgttgc gtttgcgttcc acatgttgc gtttgcgttcc acatgttgc gtttgcgttcc
961 catggcttgc gtttgcgttcc acatgttgc gtttgcgttcc acatgttgc gtttgcgttcc
1021 cttttttttt tttttttttt tttttttttt tttttttttt tttttttttt tttttttttt
1081 cttttttttt tttttttttt tttttttttt tttttttttt tttttttttt tttttttttt
1141 cttttttttt tttttttttt tttttttttt tttttttttt tttttttttt tttttttttt
1201 cttttttttt tttttttttt tttttttttt tttttttttt tttttttttt tttttttttt
1261 cttttttttt tttttttttt tttttttttt tttttttttt tttttttttt tttttttttt

```

Tab. 51: DNA-Sequenz von *Aeromonas* spec. 156B aus der Datenbank BLAST

Afipia spec. BALT12-S13 16S rRNA gene, isolate BALT12-S13
Accessions-Nr.: FM998728.1

Taxonomie:
Bacteria; Proteobacteria; Alphaproteobacteria; Rhizobiales; Bradyrhizobiaceae; *Afipia*

Origin:

```

1 catgcgttcc gggggggccat gggggggccat gggggggccat gggggggccat gggggggccat
61 gtggccctttt gtttgcgttcc acatgttgc gtttgcgttcc acatgttgc gtttgcgttcc
121 gggaaagatt tttttttttt tttttttttt tttttttttt tttttttttt tttttttttt tttttttttt
181 gtttgcgttcc acatgttgc gtttgcgttcc acatgttgc gtttgcgttcc acatgttgc gtttgcgttcc
241 gacacggccat gggggggccat gggggggccat gggggggccat gggggggccat gggggggccat gggggggccat
301 ctggccgttcc acatgttgc gtttgcgttcc acatgttgc gtttgcgttcc acatgttgc gtttgcgttcc
361 ggacgttcc acatgttgc gtttgcgttcc acatgttgc gtttgcgttcc acatgttgc gtttgcgttcc
421 taatgttgc gtttgcgttcc acatgttgc gtttgcgttcc acatgttgc gtttgcgttcc acatgttgc gtttgcgttcc
481 agtttgcgttcc acatgttgc gtttgcgttcc acatgttgc gtttgcgttcc acatgttgc gtttgcgttcc acatgttgc gtttgcgttcc
541 cttttttttt tttttttttt tttttttttt tttttttttt tttttttttt tttttttttt tttttttttt tttttttttt
601 gaagaacaccat gtttgcgttcc acatgttgc gtttgcgttcc acatgttgc gtttgcgttcc acatgttgc gtttgcgttcc

```

661	gtggggagca aacaggattt gataccctgg tagtccacgc cgtaaacatgat gagtgcgtatg
721	tgtcggcatg catgcatgtc ggtgacgcag ctaacgcatt aagcacttgc cctggggagt
781	acggtcgcaa gattaaaact caaaggattt gacggggggcc cgcacaagcg gtggagcatg
841	tggtttaattt cgaagcaacg cgcagaacctt taccacccctt tgacatgccg ggaccaccag
901	agagatctgg ctccccttc ggggacttggg acacagtgt gcacatggctg cgtcagctcg
961	tgtcgtgaga tgggggtta agtccgcac gagcgcacacc cacgccaattt gttgccatca
1021	tttagttggg cactctaattt ggacc

Tab. 52: DNA-Sequenz von *Afipia* spec. BALT12-S13 aus der Datenbank BLAST

<i>Afipia</i> spec. sptzw29 16S ribosomal RNA gene, partial sequence	
Accessions-Nr.: GU377117.1	

Taxonomie:

Bacteria; Proteobacteria; Alphaproteobacteria; Rhizobiales; Bradyrhizobiaceae; *Afipia*

Origin:

1	ttaccatgca gtcgacgggc atcttggat gcttagtgca gacgggttag taacacgtgg
61	gaacgtacctt tcgggttccg aataatacag gggaaacttgtt actaataccg gataccctt
121	tcggggaaa gatttatcgcc cgatagatcg gcccgctt gatttagttag ttgggttaggt
181	aatggctcac caaggcgacg atcagtagctt ggtcttagag gatgatcagc cacactgggaa
241	ctgagacacg gcccacactc ctacgggagg cagcagtggg gaatatttggg caatggggaa
301	aagcctgatc cagccatgccg cgctgtgtga tgaaggccctt agggttgtaa agcacttttg
361	tccggaaaga taatgtatgtt accggaaaga taaggccccctt ctaacttgcg gccagcagcc
421	gcggtaataac gaaggggggctt ggcgttgcg ggaatctgtt ggcgttaagg ggcgttaggc
481	ggactcttaa gtcgggggtt aaaggccagg gctcaaccctt ggaatttgcgt tcgatactgt
541	gagtcttggat ttcggaaagat gttggggaa ctgcgtgtt agagggtaaa ttctgttagata
601	ttcgcaagaa caccaggccg gaggccggcc aacttggcccg atactgacgc tgaggcgcga
661	aaggctgggg agcaaacagg attagatacc ctggtagtcc acggccgtaaa cgatgaatgc
721	cagccgttgcg ggtgtatgcg cctcaatgcg gcaatgttgcg cttaaagcat tccgccttgg
781	gagtagccgttgc gcaagattaa aactcaaaagg aatttgcggg ggcccgcaaa agcgggtggag
841	catgtgggtt aatttgcgaa aacgcggcaga accttaccatc ttttgcacat gtccgggttt
901	atcggcagag atgccttct tcaggccgcg tggccggaaac acagggtgttgc catggctgtc
961	gtcagctcgat gtcgttagat gttgggtttaa gtcggccaaac gagcggcaac cctcgccctt
1021	atggccatc attcgttgg gaaactctagg gggacttgcgtt gtgataagcc gcgaggaagg
1081	tggggatgac gtcagaatctt catggccctt acaggctggg ctacacacgt gctacaatagg
1141	cgggtacaat gggcagcggaa ggaggcatcc ggtgtatc cccaaaaagcc gtctcagttc
1201	agattgtcact ctgcaactcg agtgcgtatcc ggtgtatc gttgtatcg tggatcgtca
1261	tggccacgggtt aatacgatcc cggcccttgc acacaccggc cgtcaccacca tggggatgttgg
1321	gtttaccggc aggcgtccgcg ctaaccggcaaa ggaggcaggc gaccacggta ggctcagcga
1381	ctgggggttgc g

Tab. 53: DNA-Sequenz von *Afipia* spec. sptzw29 aus der Datenbank BLAST

<i>Arenimonas</i> spec. CH15-1 16S ribosomal RNA gene, partial sequence	
Accessions-Nr.: JN033774.1	

Taxonomie:

Bacteria; Proteobacteria; Gammaproteobacteria; Xanthomonadales; Xanthomonadaceae; *Arenimonas*

Origin:

1	acggcagcac agcagtagca atactgtggg tggcgatgtt cggacgggtt aggaatacat
61	cggaaatctac ctgtcgatggggataactcg agggaaactt acgctaatac cgcatacgaa
121	ctatgggttgcg aaggccggaa ccgcggatcg tcgcgcattt ggttgcgttgc atgtccgttgc
181	agcttagttgg cggggtaaag gcccaccaag ggcgtatcg gtagctgttgc tgagaggat
241	atcagccaca ctggaaacttgc gacacgggtcc agactcttgc gggaggcagc agtggggat
301	attggacaat gggcgcaacg ctgatccagc catggccgtt gtgtgaagaa ggccttcggg
361	ttgttaagca ctttgcgttgc ggaagaaaag ccgcgttgcgat tttccgggtt gtcgtacgg
421	tacccaaataa agtgcgttgcgatcc tggccggccgc cgcgttgcgat cggccgttgc
481	aaggcttactt ccgttactt gggcgatcg ctttgcgttgc gtttgcgttgc atgtctgtcg
541	gaaaggccccc gggttacactt gggatggccg atggatcttgc gggggcttgc gtttgcgttgc
601	ggagatgttgcg atccgggttgc gtttgcgttgc gtttgcgttgc atccgggttgc gtttgcgttgc
661	cggccgttgc ttttgcgttgc gtttgcgttgc gtttgcgttgc gtttgcgttgc gtttgcgttgc
721	gattagatacc ctggtagtcc acggccatcc acgttgcgttgc gtttgcgttgc gtttgcgttgc
781	gggttgcgttgc gtttgcgttgc gtttgcgttgc gtttgcgttgc gtttgcgttgc gtttgcgttgc
841	tgaaacttgcg aggttgcgttgc gtttgcgttgc gtttgcgttgc gtttgcgttgc gtttgcgttgc
901	tgcaacacgttgc gtttgcgttgc gtttgcgttgc gtttgcgttgc gtttgcgttgc gtttgcgttgc
961	tgcgttgc gtttgcgttgc gtttgcgttgc gtttgcgttgc gtttgcgttgc gtttgcgttgc
1021	ttgggttgcgatcc tggccgttgc gtttgcgttgc gtttgcgttgc gtttgcgttgc gtttgcgttgc
1081	gaaacttgcg aggttgcgttgc gtttgcgttgc gtttgcgttgc gtttgcgttgc gtttgcgttgc
1141	atggccatcc cggccgttgc gtttgcgttgc gtttgcgttgc gtttgcgttgc gtttgcgttgc
1201	ccggcgttgc gtttgcgttgc gtttgcgttgc gtttgcgttgc gtttgcgttgc gtttgcgttgc
1261	ccggcgttgc gtttgcgttgc gtttgcgttgc gtttgcgttgc gtttgcgttgc gtttgcgttgc
1321	ccggcgttgc gtttgcgttgc gtttgcgttgc gtttgcgttgc gtttgcgttgc gtttgcgttgc
1381	cttaccggca gggccgttgc gtttgcgttgc gtttgcgttgc gtttgcgttgc gtttgcgttgc

Tab. 54: DNA-Sequenz von *Arenimonas* spec. CH15-1 aus der Datenbank BLAST

<i>Arthrobacter oxydans</i> gene for 16S rRNA, partial sequence, strain: S32219	
Accessions-Nr.: AB648980.1	

Taxonomie:

Bacteria; Actinobacteria; Actinobacteridae; Actinomycetales; Micrococcineae; Micrococcaceae; *Arthrobacter*

Tab. 55: DNA-Sequenz von *Arthrobacter oxydans* S32219 aus der Datenbank BLAST

Asellus aquaticus 18S rRNA gene
Accessions-Nr.: AJ287055.1

Taxonomie:
Eukaryota; Metazoa; Ecdysozoa; Arthropoda; Crustacea; Malacostraca; Eumalacostraca; Peracarida; Isopoda; Asellota;
Aselloidea; Asellidae; Asellus

Origin:

```

1      aaccctgggtt atccctgccag tagtcataatg cttgtctcaa agattaagcc atgcattgtct
61     cagtacaggc ctttctaagg cgaaaccgcg aatggctcat taaatcagtc atgattcatt
121    ggttaagcc aagaatttac ttggataact gtggtaattc tagagctaat acacgcaact
181     gagctccgac ccggctcgta gactggggaa gggcattt attagatcaa aaaccgatcg
241     gactccggc cgtctcaaat gagctgtat gacttgaat aacttagccg agcgctacgg
301     tcttcgtacc ggcgcgttat cttcaagtg tctgccttat cagcttoga ttgttaggta
361     tacgcctaca atggctgtaa cggtaacgg ggaatcaggg ttcgattccg gagagggagc
421     ctgagaaaacg gctaccacat ctaaggaagg cagcaggcac gcaaattacc cactccggc
481     ccggggaggt agtgacgaaa aataacgatg cgggacttcc cggaggcctc gcaatcggaa
541     tgagttcagt ttaaatccctt ggacgaggat ccatgggg gcaatgtctgg tgccagcagc
601     cgcgttaatt ccacgtccaa tagcgtatat taaagttgtcc ggggtaaaaa agtcgttagt
661     tgatctctg attcggaccc gcccacact caaggatcgc cctcgtgaa aatggtggt
721     gctttcgc ccttcgtgc cgtcgcac gtcgcgggtc ctttcgggg gtcgctcg
781     ggttagctc ggaacaacgc gtcggggacg tggcgctgc tacagggtgg taagcgatct
841     cgtgtttaa ctgaccggc cggattgaa aatgcgtcg gtcgcacgg ggtgctttc
901     accgagtgtc ccgcgcggcc gacaaggta ctttggaaaa attagagtgc tcaaaggcagg
961     caacaactca cgcctgaatg gtgttgcata gaatgtggg acaggaccc ggttctgtcc
1021    tttcattgg ttttaagaac ccgaggatata gattaacggg aacagacggg ggcatttagta
1081    ttgcgcgtc agagggtaaa ttcttggacc gtcgcagac taactactgc gaaacattt
1141    gccaagaatg ttttctttaa tcaagaacga aatggtaggg atcgaaggcg atcagatacc
1201    gccctagttc taaccataaa cgatgctaact tggcgatccg tcggcgatcat tcccacgact
1261    cgacggggag cccccggaa accaaagtct ttgatgtccg ggggaagtat ggttgc当地
1321    ctgaaactta aaggaatttg a cggaggc cccaccaggag tggagctgc gcttaatttgc
1381    actcaacacg ggaaacccctca ccaggcccg acaccgaaag gattgacaga ttgagagctc
1441    ttcttgatt cgggtgggtt tggtgcatacg cctgttttag ttgtggggc gatctgtctg
1501    gtgttccg ataacgaac agacttacc ctgtacta gtcggcgat cgttcccgat
1561    gagggggccct tcccgaggat aacgcttcc cctcgccca gctgttgtt cgggtcgat
1621    ggcgcgtt tggtaagcga aggatggcgt cctcgccgtt ggttcaactt agggggcgat
1681    gtcgcaacat cttcttagag ggtatcagccg cgtccagccg cacggaaaaag agcaataaca
1741    ggtctgtat gccccttagat cctctggcc gcaacgcgcg tacaatgaag ggatcagcgt
1801    gctttcccccc tccgaaaggaa ggggttaacc cgatgaaacc ccttcccgat tgggatgggg
1861    gcttgcagaat gtttcccatg aacgaggaaat tcccaacta gcaacttccat cagcttgcgt
1921    tgattacgtc cctgccttta gtaacaccgg cccgtcgatc ctaccgattt aatgattcag
1981    tgaggccatc ggactgtcgc cttcggttgc cccgcgttcc gcccacgagc gcctttggct
2041    gacggaaagaatgtccgact tgatcattt gaggaaatgg aagtctgtaa aagggtttccg
2101    taaggtaacc tgcqqaqqq tca

```

Tab. 56: DNA-Sequenz von *Asellus aquaticus* aus der Datenbank BLAST

Aspergillus spec. han-1 gene for 16S rRNA, partial sequence
Accessions-Nr.: AB713913.1
Taxonomie:

Eukaryota; Fungi; Dikarya; Ascomycota; Pezizomycotina; Eurotiomycetes; Eurotiomycetidae; Eurotiales;
Trichocomaceae; mitosporic Trichocomaceae; *Aspergillus*

Origin:

```

1  gcactttata ctgtgaaact gcgaatggct cattaaatca gttatcggtt atttgatagt
61 accttactac atggataacct gtgttatttc tagagctaat acatgctaaa aacctcgact
121 tcggaagggg tgtattttt agataaaaaaa ccaatgcctc tcggggctcc ttggtgattc
181 ataataactt aacgaatcgc atggccttcg cccggcgatg gttcattcaa atttctgcc
241 tatcaacttt cgatggtagg atagtgccct accatggtagg caacgggtaa cggggatta
301 gggttcgatt ccggagaggg agccgtggaa acggctacca catccaagga aggccggcagg
361 cgcgcaaaattt acccaatccc gacacgggg ggtgtgaca ataaataactg atacggggct
421 ctttgggtc tcgtatggtta agatgtaca atcaataatcc cttAACAGGG aacaatttgg
481 gggcaagtctt ggtggccagca gcccggtaa ttccagtc aatagcgat attaaagtgg
541 ttgcagttaa aaagctcgta gttgaacctt gggtctggct ggccggctcc cctcaccccg
601 agtactggtc cggctggacc ttccctctg gggaaacctca tggccttac tggctgtgg
661 gggaaaccagg acttttactg tgaaaaattt agagtgttca aaggcaggctt ttgctcaat
721 acatttagcat ggaataatag aatagacgt ggggtcttat ttgttgggtt tctaggaccg
781 cctgtatgat taataggat agtccccccggtt gtcagtttcc agctgtcaga ggtgaaattc
841 ttggatttgc tgaagactt caactcgaa acgatcgcc aaggatgttt tcattaatca
901 gggaaacgaaa gttggggat cgaagacat cagataccgt cgtatgttta accataaact
961 atgcccacta gggatcgccc ggttttcta tgatgacccg ctccggcacct tacgagaat
1021 caaagttttt gggttctggg gggagtatgg tcgcaaggct gaaacttaaa gaaatttgcg
1081 gaaggccacc acaaggcgtg gagctgcgg cttaaatttga ctcaacacgg ggaaactcac
1141 caggtccaga caaaaataagg attgacatgat tgagacgtt ttcttgatct tttggatgtt
1201 ggtgcatggc ctgttcttagt tggtaggtt atttgtcgc ttaatttgcga taacgaacga
1261 gacccggcc cttaaatagc ccggccggcc ttggggccgctt gctggct

```

Tab. 57: DNA-Sequenz von *Aspergillus* spec. aus der Datenbank BLAST

Bradyrhizobium spec. RS-46 partial 16S rRNA gene

Acessions-Nr.: FM998034.1

Taxonomie:

Bacteria; Proteobacteria; Alphaproteobacteria; Rhizobiales; Bradyrhizobiaceae; *Bradyrhizobium*

Origin:

```

1  ggctcagagc gaacgctggc ggcaggctta acacatgcaa gtcgagcggg cgtacgtacata
61 cgtcagccgc agacgggtga gtaacgcgtg ggaacgtacc ttgttgggtcg gaacaacaca
121 gggaaacttg tgcataatacc ggataaaggc ttacggggaa agatttatcg ccgaaagatc
181 gccccgcgtc tgattagctt gttggtagg taacggctca ccaaggccgac gatcgtatgc
241 ttgtctgaga ggatgtatcg ccacatgggg actgagacac gggccaaactt cctacgggg
301 gcacgtgg ggaatatgg acaatgggg caagcctgtt ccagccatgc cgcgtgatgt
361 atgaaggccc tagggttgtt aagctttt gtgcggaaag ataatgacgg taccgcaga
421 ataagccccg gctaacttcg tgccacgc cccggtaata cgaagggggg tagcgttgc
481 cggaaatcactt gggcgtaaag ggtgcgttagg cgggtcttta agtcagggtt gaaatcttgc
541 agctcaactc cagaactgcctt gatgtactg aggatcttgc gttcgggaga ggtgagtgg
601 actgcgtgt tagagggtt aatcgatgtt attcgcaga acaccagtgg cgaaggccgc
661 tcactggccc gatactgcgtc ctggggccgg aagcgtggg gacccaaacg gattagatac
721 cctggtagtc cacccgttaa acgtatgtt ccagccgtt gaaatgttac ttgcgttgc
781 cgcagctaac gcttaaagca ttccgcctgg gggtacgggt cgcaagatataaaactcaaaag
841 gaatttgcgg gggccgcac aacgggttgc gcatgttgc taatttgcacg caacgcgcac
901 aacccatcca gcccgtaca tcccggtcg ggtttccaga gatggattcc ttgcgttgc
961 ctggaccggcgtt gacagggtgtt gcatgttgcgtt cttgcgttgc gtttgggtt
1021 agtccccgcac cggccaaac ccccgccctt agtgcgtacc atttgttgc gcaactcaag
1081 gagactgcggc gtgataaaggc gcgaggaaatggggatgtac gtcacgttcc catggccctt
1141 acgggctggc ctacacacgt gtcacatgg cgggtacaaatggggctaa gggcaaccc
1201 ttgcacaaatc tcaaaaaggcc gtcctgttcc ggtttgggtt ctgcacatcg agcccatgaa
1261 gttggatgtt ctgtatgtt gggatgttgc tggccacggc aatacgttcc cggcccttgc
1321 acacaccgcg cgtcacacca tggggatgtt tttaccgaa gacgggtcgcc taaccgaaag
1381 gggccagccg gcccacgtt

```

Tab. 58: DNA-Sequenz von *Bradyrhizobium* spec. RS-46 aus der Datenbank BLAST

Brevundimonas bullata strain BW56UT1570 16S ribosomal RNA gene, partial sequence

Acessions-Nr.: JF276904.1

Taxonomie:

Bacteria; Proteobacteria; Alphaproteobacteria; Caulobacterales; Caulobacteraceae; *Brevundimonas*

Origin:

```

1  ggcctaacac atgcaagtcg aacggaccct tcggggttag tggcgacgg gtgagtaaca
61 cgtggaaacg tgcctttagg ttggaaatag ctctggaaa cgggtggtaa tgccgtatgt
121 gcccctcggg gggaaagatcc atgccttta gggccggcccg cgtctgtt gctgttgggt
181 gaggtatgg ctcaccaagg cgacgtatcg tagctggctt gagaggatgtt ccagccacat
241 tggggatgtt acacggccca aactccatcg ggaggccggatc ttgcgttgc
301 ggcgaaaggcc tgacgcggcc atgcccgtt gatgtatgg gtcctttaggt tggggatgtt
361 tttaccggg gacgtatgtt acgggttgc gggatgttcc cccggctaaatcc ttgcgttgc
421 cagccgcgtt aatcgatgtt gggatgttcc tgcgttgcgtt aaaggccgcgtt
481 taggcggaca tttaatgtt gggatgttcc cccggatgttcc tgcgttgcgtt
541 actgggtgtc ttgtgtgtt gggatgttcc tggggatgttcc tggggatgttcc
601 agatatttgcg aagaacacca gtcacatcg gtcacatcg gtcacatcg gtcacatcg
661 cggccaaaggcc tggggatgttcc acaggatgttcc tggggatgttcc tggggatgttcc

```

721 attgctagtt gtcgggctgc atgcagttcg gtgacgcagc taacgcattta agcaatccgc
781 ctggggagta cggtcgcaag attaaaactc aaaggaaattt acggggggccc gcacaaggcg
841 tggacatgt gggttaatcc gaagcaacgc gcagaaacctt accacctttt gacatgcctg
901 gagcccccacg gagacgtggc ttctcttcg gagacttagga cacaggtgtc gcatggctgt
961 cgtcaqctcq tqtc

Tab. 59: DNA-Sequenz von *Brevundimonas bullata* strain BW56UT1570 aus der Datenbank BLAST

Caulobacter vibrioides strain JCT-7 16S ribosomal RNA gene, partial sequence	
Accessions-Nr.: JQ675297.1	
Taxonomie:	
Bacteria; Proteobacteria; Alphaproteobacteria; Caulobacterales; Caulobacteraceae; Caulobacter	
Origin:	
1	gtcgaacgga tccttcggga ttagtggcg acgggtgagt aacacgtggg aacgtgcctt
61	ttggttcgga acaactcagg gaaacttggag ctaataccgg atgtgccctt cgggggaaa
121	atttatacgcc attggagccgcccgcgtctt attagatgtg tggtggggta aaggccccacc
181	aaggcgacgta tcagtagtgcgt gtctgagggg atgatctggcc acattgggac tgagacacgg
241	cccaaaactcc tacggggaggc agcagtgggg aatcttcgcg aatggggcga agcctgacgc
301	agccatgccc cgtaatgtat gaagggtctta ggattgtaaa atttttcac cggggacgat
361	aatgacggta cccggagaag aagccccggc taacttcgtg ccagcagccg cggtaatacg
421	aagggggcta gcgttgctcg gaattactgg gcgttaaaggg agcgttaggcg gactgttaa
481	ttagaggtga aagccccaggg ctcaacccctt gaattgcctt tgatactggc agtcttgagt
541	acgaaagagg tatgtggAAC tccgagtgta gaggtgaaat tcgttagatat tcggaagaac
601	accagtggcg aaggcgacat actggctcgt tactgacgct gaggctcgaa agcgtgggg
661	gcaaacaaggta tttagataccctt tggtgttcca cggccgttaaac gatgtgtgc agttgtcg
721	atccatgcgt gtccgttgacg cagcttaacgc attaagact cccgcgtgggg agtacggc
781	caagattaaa actcaaaggta attgacgggg gcccgcacaa gccgtggacg atgtgggttta
841	attcgaagca acgcgcagaa ctttaccacc ttttgacatg cctggaccgc cacagagatg
901	tqgttttccc ttccggggact qqqacat

Tab. 60: DNA-Sequenz von *Caulobacter vibrioides* JCT-7 aus der Datenbank BLAST

Tab. 61: DNA-Sequenz von *Caulobacter* spec. FWC08 aus der Datenbank BLAST

Caulobacter spec. ECN-2008 partial 16S rRNA gene
Accessions-Nr.: AM940947.1
Taxonomie:
Bacteria; Proteobacteria; Alphaproteobacteria; Caulobacterales; Caulobacteraceae; *Caulobacter*
Origin:
1 ggcaggcccta acacatgcaa gtcgaacgga tccttcggga ttagtggcg acgggtgagt
61 aacacgtggg aacgtgcctt ttggttcggaa acaacgcaga gaaaatttgcg ctaataccga
121 atgtgccctt cgggggaaag atttatcgcc attagagcgg cccgcgtctg attagctagt
181 tggtaggta aaggctcaccc aaggctacga tcagtagctg gtctgagagg atgatcagcc
241 acattgggac tgagacacgg cccaaactcc tacggggacgc agcagtgggg aatcttgccg
301 aatgggcgaa agccgtacgc agccatgcgg cgtaatgttta aaagggtctta ggattgtaaa
361 atttttccac cggggacgat aatgacggta cccggagaag aagccccgc taacttcgtg
421 ccaccaqccq cqgtataatcq aaggqqqcta qccttqctcq qaattactqg qcgtaaaggqg

481 agcgtaggcg gatagtttag tcagaggta aagcccaagg ctcaacccctt gaattgcctt
541 tgatactggc tatcttgagt ttggggagg tgagtggaa tccgagtgta gaggtgaat
601 tcgttagatat tcggaaagac accagtggcg aaggcgactc actggccaa tactgacgt
661 gaggtcgaa agcgtgggg gcaaacagga tttagatacc tttgtatcca cggcgtaaac
721 gatgagtgtct aagtggcgcc atgcgtcat gtcgggtacg cagtaacgc attaagcact
781 cccgctgggg atgacggcg caagattaaa actcaaaaggg attgacgggg gcccgcacaa
841 gcgggtggac atgtgggta attcgaaagca acgcgcgaa ctttgcattacc ttttgacatg
901 cctggaccgc tgcagagatg cagtttccc ttccgggacc aggacacagg tgcgtcatgg
961 ctgtcgctcgat ctgcgtcgat gagatgtttt gttaaagtccc gcaacgagcg caacccacgc
1021 ctttagttgc catcatttag ttgggcactc taaaagggacc gccgggtta agccggagga
1081 aggtgtggat gacgtcaagt cctcatggcc cttacagggt gggctacaca cgtgtcacaa
1141 tggcgaatc agagggttgc aaggcagcga tggtgagcca atccctaaaa gtctgttcag
1201 ttccgattgt tctctgcaac tgcgagagat gaagtggaa tgcgttagta tgcggatca
1261 gcatggcccg gtgaaatcgat tccccggccct tgatcacacc gcccgtcaca ccatggggagt
1321 tggttctacc cgaaggcgatg cgctaaccgc aaggaggcag tcgaccacgg tagggtcagc
1381 gactggggat

Tab. 62: DNA-Sequenz von *Caulobacter* spec. ECN-2008 aus der Datenbank BLAST

Chitinibacter spec. SK16 16S ribosomal RNA gene, partial sequence
 Accessions-Nr.: JN981166.1

Taxonomie:
Bacteria; Proteobacteria; Betaproteobacteria; Neisseriales; Neisseriaceae; Chitinibacter

Origin:

```

1   gctgctgtc ctttaacatg cagtcgaacgcgcacggatcttgcgtctggcgagtg
61  ggcacgggt gaggataaca tcggaaacgtccccactatggggataactatccgaaagg
121 atagctaata ccgcatacgc cctacggggaaaagagggggatcgcacagactcttttat
181 tggagcggcc gatggctgtatagtagttgttgcggtaaa ggcctaccaa ggcaacgatc
241 agtagcgggt ctttagaggac gatccggcac actggaaactcagacacacggtc cagactccta
301 cgggaggcag cagtggggaa tcttggacaa tggcgcaag cctgatccag caatgcccg
361 tgcgtgaaga aggcccttcgg gttgtaaagc gctttgtca gggagcaaat ccttgtggct
421 aataccacc ggggatgaga gtacccgtaa gataaggacc ggctaactac gtgcagcag
481 ccgcgttaat acgttagggtc caagcggttac tcggattac tggcgtaaa gcgtgcgcag
541 gtggtttgtt aagcgcgtatggaaatccccggactcaatggggaaatttgcatttgtgat
601 ggctactatcg agtacggcag aggggggtgg aattccacgt gtagcgtgaaatgcgtgat
661 gatgtggagg aacaccgtg gccaaggcaa cccctggc tgatactgactcatgtgcac
721 gaaagcgtgg ggagcaaca ggattagata ccctggtagt ccacgcctaaacgcgttct
781 actagttgtt ggggttttcg gagcttagta acgcagctaa cgcgtgaagt agaccgcctg
841 gggagtagcgg tcgcaagact aaaactcaaa ggaatttgacggggggccca aagcgggtgg
901 atgatgtggaa ttaattcgat gcaacgcgaa aaacccattacc tggtcttgac atgtacggaa
961 tcccttagag atagaggagt gcttcgggaa acgtaacac aggtgtgtca tggctgtcgt
1021 cagctcgtgt cgtgagatgt tgggttaagt ccccaacgacgcgcaaccct tgccactagt
1081 tgctaccatt cagttggac ctttagtggg actgcgggtg acaaaccggaggaagggtggg
1141 gatgacgtca agtccctcatg gcccttatga ccagggttcc acacgtcata caatggtcgg
1201 tacagagggt cgctaaccggc cgaggggtg ccaatctcac aaaaccgtcgtatccgg
1261 ttgcactctg caactcgagt gcatgaacgt ggaatcgctatgcgtatccggatcagcatgt
1321 cgcgtgtat acgttcccccgg gccttgatca caccggccgt cacaccatgg gagtgggttt
1381 cccagaagt agttaggcata accgtaaaggacgcgttac caccgtggatccatgg ttcatgactg
1441 qqqtqaqtc qaaacaqqqaq cqggq
  
```

Tab. 63: DNA-Sequenz von *Chitinibacter* spec. SK16 aus der Datenbank BLAST

Cladosporium spec. 2 FW1PhC3-1 18S ribosomal RNA gene, partial sequence
 Accessions-Nr.: JX273057.1

Taxonomie:
 Eukaryota; Fungi; Dikarya; Ascomycota; Pezizomycotina; Dothideomycetes; Dothideomycetidae; Capnodiales;
 Davidiellaceae; mitosporic Davidiellaceae; *Cladosporium*

Origin:

```

1      gtctaaagtat aagcaactat acggtaaaac tgcaatggc tcattaaatc agttatcggt
61     tatttgatag taccttacta catggataac cgtggtaatt cttagagctaa tacatgctaa
121    aaacctcgac ttccgaaggg gtgttattat tagataaaaaa accaatggcc ttccggggtc
181    ctggtaatc cataataact taacgaatcg catggccctt cgccggcgat ggttcattca
241    aatttctgcc ctatcaactt tcgatggtag gatagtggcc taccatggta tcaacgggta
301    acgggaaatt agggttcgac tccggagagg gagcctgaga aacggctacc acatccaagg
361    aaggcagcag gcgcgcaat tacccatcc cgacacgggg aggttagtgac aataaatact
421    gatacagggc tctttgggt ctgttaattt gaaatggatc aatttaataatc ccttaacagag
481    gaacaattgg agggcaagtgc tggtgcgcgc agccgcggta attccagctc caatagcgta
541    tattaaatgt gttgcagtt aaaaagctgt agttgaacct tggccctggc tggccggtcc
601    gcttcaccgc gtgtactgtt ccggcgggc ctttcttctt ggggaacctc atgccccttca
661    ctggcggtgt tggggaccca ggactttac tttggaaaaa ttagagtgaa caaaggcaggc
721    ctgtgcgtga atacatttgc atggaaataat agaataggac gtgtggttctt attttgttgg
781    ttcttaggac cggcgtaatg attaataggg atagtcgggg gcatcgttat tcaatcgta
841    gaggtgaaat tcttggatgtt atggaaagact aactactgcg aaagcatttgc ccaaggatgt
901    ttccatataat cagtggacgc aagtggggg atcgaagacgc atcagatacc gtcgtatgtt
961    taaccataaa atatggcgac tagggatcg acggcgatgg tattttgacc cgttcggcac
1021   cttagcggaa atccaaatgtt ttgggttctg gggggatgtt ggtcgcaagg ctgaaactt
1081   aaaaatttqa cggaaqqqca ccaccaqqcq tqggqctqc qgcttaattt qactcaacac
  
```

1141 gggaaactc accaggcca gacacaataa ggattgacag attgagagct ctttcttgat
1201 ttgtgggtg gtggtcatg gccgttcta gttggggag tgattgtct gcttaattgc
1261 gataacgaac gagaccttaa cctgctaat agccaggccc gcttggcg gtcgcggct
1321 tcttagaggg actatcggt caagccatg gaagtttag gcaataacag gtctgtatg
1381 cccttagatg ttctggccg cacgcgcgt acactgacag agccaaacgag ttcatttct
1441 tagccaaag gtttggtaa tcttgtaaa ctctgtcg tctgggatag agcattgc
1501 ttattgtct tcaacgagga atgccttaga agcgcatgtc atcagcatgc gttgttac
1561 tccttgcctt ttgtacacac cgccgcgtc tactaccat tgaatggctc ggtgaggcc
1621 tcggactggc ccagggaggt cggcaacgac caccaggc cggaaagtgt gtcacaaacc
1681 qtcatatta qqaqtaaaa qtcgtaacaa qgt

Tab. 64: DNA-Sequenz von *Cladosporium* spec. 2 FW1PhC3-1 aus der Datenbank BLAST

Tab. 65: DNA-Sequenz von *Crenothrix polyspora* aus der Datenbank BLAST

<i>Davidiella tassiana</i> strain UFMGCB 3684 18S ribosomal RNA gene, partial sequence (anamorph: <i>Cladosporium herbarum</i>) Accessions-Nr.: HQ533794
Taxonomie:
Eukaryota; Fungi; Dikarya; Ascomycota; Pezizomycotina; Dothideomycetes; Dothideomycetidae; Capnodiales; <i>Davidiellaceae</i> ; <i>Davidiella</i>
Origin:
1 cgcgggctt ggctggta tcataaccct ttgttgtcga ctctgttgct ccggggcgac 61 ctgccttcgg gcgggggctc cgggtggaca cttcaaaactc ttgcgttaact ttgcagtctg 121 agtaaaactta ttaataaatt aaaactttt acaaaggatc tcttgggtctt ggcatcgatg 181 aagaacgcag cggaaatgcga taagtaatgt gaattgcaga attcagtgaa tcatcgaatc 241 tttgaacgcga cattgcgccc cctggatttc cggggggcat gcctgttcga gcgtcatttc 301 accatcaag cctcgcttgg tattggggaa cgcggccgc gcgtgtctaa tcgtccggat 361 ggatcttctat

Tab. 66: DNA-Sequenz von *Davidiella tassiana* UEMGCB 3684 aus der Datenbank BLAST

Ectothiorhodospira spec. AM4 16S ribosomal RNA gene, partial sequence
 Accessions-Nr.: EU252492.1
 Taxonomie:
 Bacteria; Proteobacteria; Gammaproteobacteria; Chromatiales; Ectothiorhodospiraceae; *Ectothiorhodospira*
 Origin:
 1 gattagagtt tgatcctggc tcagattgaa cgctggcgac atgcttaaca catgcaagtc
 61 gaacggtaac aggcccttgcg ggcgtacgac gtggcgacg ggttagtaac gcgttagaat
 121 ctgccttgta gtgggggaca acccgggaa actcgggcta ataccgcata cgccttaagg
 181 gggaaaggcg gggcttctcg gacotcgcgcatatcgatga gcctgcgtcc gatttagctag
 241 ttgggtgggt aatggcccac caaggcgacg atcggtagct ggtctgagag gatgtatcgc
 301 cacactggga ctgagacacg gcccagactc ctacgggagg cagcagtggg gaatattgga
 361 caatgggcgc aagcctgatc cagcaatgcc gcgtgtgtga agaaggctg cgggttgtaa
 421 agcaacttca gtggggggaga aaagcggtgt cctaatacgt gcctgacttg acgttaccca
 481 cagaagaaga accggtaatc tccgtggccag cagccgcgtt aatacggagg gtgcaagcgt
 541 taatcggtat tactgggggtt aaaggccacat tagtggatga tgtcaatcgt atgtgtaaaacc

601 cctgggctca acctgggaac tgcatctgat actgcattggc tagagtttg tagaggagag
661 tggaaatttcc ggttagcggt tgaaatcggt agatatcgga aggaacacca gtggcgaagg
721 cgactcttgt gactaaaact gacactgagg tgcgaaagcg tggggagcaa acaggattag
781 atacccttgtt agtccacgccc gtaaacatgt agaactatgcc gtggggaggg ttacactct
841 tagtggcgca gcaaaacggtg taagtttcc gcctggggat gctggccgca aggttgaac
901 tc当地ggaaat tgacggggcc cgcacaaga ggtggagcat gtggtttaat tgcgtgcac
961 gcgaaaaacc ttacccgtcc ttgacatctt cggaaatctgtt cagagatgtt ggatgtcc
1021 cggggaaacccgaa gtgacagggtg ctgcattgggt gtgcgtca gtcgtcgtga gatgttgggt
1081 taagtccccgc aacggacgcgca acccttgcctt ctatgttgcac acactttggg tggaaactct
1141 agggagactg ccgggtacaa accggaggaa ggtggggatg acgtcaagtc atcatggccc
1201 ttatgggcag ggctacacac gtgttacaat ggccagttaca gtgggttgcc aagccgcgag
1261 gtggagctaa tccaaaaaaat ctgggtgttgc tccggattgg agtgcacac tgcactccat
1321 gaatgtccgaa tgcgttagat tgcagatca gcattgtcgc ggttataatc tcccccggcc
1381 ttgttacacac cggccgttac accatggggat ttgggtgcac cagaatgttga tagtccaacc
1441 ttccggggat cgttccaccc ggtgttgcac atgactttggg tgaatgtcgtt acaaggatgtc
1501 cgt

Tab. 67: DNA-Sequenz von *Ectothiorhodospira* spec. AM4 aus der Datenbank BLAST

Enterobacter cloacae strain MS-27 16S ribosomal RNA gene, partial sequence
Accessions-Nr.: JQ038222.1
Taxonomie:
Bacteria; Proteobacteria; Gammaproteobacteria; Enterobacterales; Enterobacteriaceae; Enterobacter; *Enterobacter cloacae* complex
Origin:
1 ccttcggca gctacacatg caagtcgaac ggtgcacag agagttgtc ctccgggtgac
61 gagttggcgaa cgggtgatgta atgtctggaa aactgcctgaa tgagggggaa taactactgg
121 aaacggtagc taataccgcataacgtcgca agaccgaaaga gggggacctt cgggccttctt
181 gccatcgat gtgcccagat gggattagct agtaggtggg gtaacggctc acctaggcgaa
241 cgatccctag ctggtctgag aggtgacca gccacactgg aactgagaca cggtccagac
301 tcctacgggaa ggcagcgtg gggaaatattt cacaatgggc gcaaggctgatgcagccatg
361 cccgtgtat gaagaaggcc ttccgggttgt aaagtactttt cagcggggag gaagggtttt
421 tggtaataa cccgacgtat tgacgttacc cgcagaagaa gcacccggctc actccgtgc
481 agcggccgcg gtaatcggaa ggggtgcgaa gttacatcgaa attactggc gtaaaggcgca
541 cgcaggcggt ctgtcaagtc ggatgtgaaa tccccggctt caacctggga actgcattcg
601 aaactggcag gctagagtct tttttttttt ggtttttttt cttttttttt ggtttttttt
661 gtagagatct ggaggaataac cgggtggcggaa ggcggcccccc tggacaaaga ctgacgctca
721 ggtgcggaaag cgtggggagc aaacaggatt agataccctg ttagtccacg ccgtaaacgaa
781 tggcgacttg gaggttgtgc ctttgaggcg tggctcccg agctaaccgcg ttaagtgcac
841 cgcctgggaa gtacggccgc aaggtaaaa ctcaaatggaa ttgacgggggg cccgcacaaag
901 cggggggac tgggtttttaa ttcatgtggaa cgcggaaagac cttacactt ctgcacatcc
961 agagaactt gcaagatgc tttttttttt cttttttttt tggggaaactc tgagacaggt gctgtacgg
1021 tggcgatcgg tggcgatcgg aatgtttttt ttaagtcccg caacggcgcc aacccttata
1081 ctttggccgg aacgggtccgg cggggaaactc aaaggagact gcaactgtata aactgggggg
1141 aggtggggat gacgtcaagt catcatggcc cttacgtatggaa gggctacaca cgtgtacaa
1201 tggcgatcgg aatgtttttt tttttttttt tttttttttt tttttttttt tttttttttt
1261 gtcggatcgg tggcgatcgg aacgggtccgg cggggaaactc aaaggagact gcaactgtata aactgggggg
1321 agaaatgtttttt tttttttttt tttttttttt tttttttttt tttttttttt tttttttttt
1381 tgggttgcgg aagaatgtttttt tttttttttt tttttttttt tttttttttt tttttttttt
1441 atg

Tab. 68: DNA-Sequenz von *Enterobacter cloacae* MS-27 aus der Datenbank BLAST

Enterobacter cloacae subsp. *cloacae* ENHKU01, complete genome
Accessions-Nr.: CP003737.1
Taxonomie:
Bacteria; Proteobacteria; Gammaproteobacteria; Enterobacterales; Enterobacteriaceae; Enterobacter; *Enterobacter cloacae* complex
Origin: –
Complete genome:
[http://www.ncbi.nlm.nih.gov/nucleotide/400173048?report=genbank&log\\$=nucltop&blast_rank=19&RID=MB9HUZY014](http://www.ncbi.nlm.nih.gov/nucleotide/400173048?report=genbank&log$=nucltop&blast_rank=19&RID=MB9HUZY014) (Stand: 20.08.2012)

Tab. 69: DNA-Sequenz von *Enterobacter cloacae* subsp. *cloacae* ENHKU01 aus der Datenbank BLAST

Enterobacter spec. HWE-103 16S ribosomal RNA gene, partial sequence
Accessions-Nr.: JQ723720.1
Taxonomie:
Bacteria; Proteobacteria; Gammaproteobacteria; Enterobacterales; Enterobacteriaceae; *Enterobacter*
Origin:
1 gggctcagag tgcactgtgg cgacaggcat cacacacaca tctagcgcta tcgcacgaaa
61 actttcttccgggtgacga gcggcgacg ggtgagtaat gtctggaaa ctgcctgatg
121 gagggggata actactggaa acggtagcta ataccgcata acgtcgcaag accaaagagg
181 gggaccttcg ggccttgc catcagatgt gcccagatgg gattagctag tagtgtgggt
241 aacggctcac cttaggcgacg atccctagct ggtctgagag gatgaccagc cacaactggaa
301 ctgagacacg gtccgacact ctacgggagg cagcgttgaa gaatttgca caatgggcgc
361 aacgcctgtg cagccatgccc gcgtgtatga agaaggcctt cgggttgtaa agtactttca
421 qcqaqqqaggaa aqqcattgtq qtaataacc qcqagtqattq acctactcq cagaqqaaqc

```

481 accggctaaac tccgtgccag cagccgcggt aatacggagg gtcaagcgt taatcgaaat
541 tactggcgtaa agacgcacg caggcggtct gtcaagtccg atgtaaatc cccgggctca
601 acctggaaac tgccattcgaa actggcagc tagagtcctt tagagggggg tagaattcca
661 ggttgtacccg tgaataatcggt agagatctgg aggaataccg gtggcagaagg cggccccctg
721 gacaactgact gacgctcagg tgccaaagcg tggggagcaa acaggatttag ataccctgt
781 agttccacggc tttaaacatgg tgcaacttggg tggttgcctt ttgaggatgt gcttccggag
841 ctaacgcgtt aagtgcacgg cctggggatg acggcccaaa ggttaaaact caaatgaaatt
901 gacggggggcc cgcacaacgc gtggagcatg tggtttattt cgatgcacg cgaagaacct
961 tacatctactt tgacatccac agaatttagc agagatgtt tagtgcctt gggaaaccgtg
1021 agacagggtc tgcatggctg tcgtcagctc gtgttgaa atgtgggtt aagtcccgca
1081 acgagcCAA cccttatccc ttgttgcacg cggttcggcc gggaaactcaa aggagactgc
1141 cagtgataaa ctggagaaag gtggggatgt cgtcaagtca tcatggccct tacggatgg
1201 gctcacacgcg tgctacaatg ggcacataaa agagaacgcg cctgcgaga gcaagcggac
1261 ctatcaaaaatg gctgtgtatg cggattgtt gctgtcaact cgactccatg aagtccggaaat
1321 cgcttagataat cgttagatcg aatgtacgg tgaataacgtt cccggccctt gtacacacccg
1381 cccgtcacac catgg

```

Tab. 70: DNA-Sequenz von *Enterobacter* spec. HWE-103 aus der Datenbank BLAST

Enterobacter spec. S6BB gene for 16S ribosomal RNA, partial sequence
 Accessions-Nr.: AB428448.1

Taxonomie:
Bacteria; Proteobacteria; Gammaproteobacteria; Enterobacteriales; Enterobacteriaceae; Enterobacter

Origin:

```

1   gccttaacaca tgcaagtgcg gcggttagcac agagagcttgc tctcgggtg acgagcggcg
61  acggggtgag taatgtctgg gaaactgcct gatggggggg gataactact ggaaacacgta
121 gtaataccg catabcgtc caagacaaa gagggggacc ttccggcctc ttgccatcg
181 atgtccccag atgggattag ctatggatggt gggtaatggc tcaccttagg gacgatccct
241 actggctctg agaggatgac cagccacact ggaactgaga cacggttccag actcctacgg
301 gaggcagcag tggggatata tgcacaatgg gcgcgaaacccct gatgcagcca tgccgcgtgt
361 atgaagaagg cttccgggtt gtaaaagtact ttcaagcgagg aggaaggcat tgggttaat
421 aaccacatgtt attgacgtt ctgcgacaag aagcaccggc taactccgtg ccagcagccg
481 cgtaataacg gagggtgca ggttaatcg gaattactgg gctgttaaaggc cacgcagccg
541 gtctgtcaag tccgtatgtt aaatccccggg ctcacacccgg gactgcatt cgaaactggc
601 aggttagagt ctgttagagg ggggttagaaat tccagggttgc ggggtgaaat gcgttagagat
661 ctggaggaat accgggtggcg aaggcgcccc cctggacaaa gactgacgct caggtcgcaa
721 agcgtgggaa gcaaacagga ttagataaccc tggtagtcca cggcgtaaac gatgtcgact
781 tggaggttgt tcccttgagg agtgggttcc ggagctaacg cgttaagtgc accgcctggg
841 gagtacggcc gcaaggttaa aactcaaatg aattgacggg ggccgcaca akgcgtggag
901 catgtggttt aattcgatgc aacgcgaaga accttaccta ctcttgacat ccagagaact
961 tagcagagat gtttgggtc ctggggaaat tctggacatg tgctgcatg gctgtcgatc
1021 gtcgtgtt gtaaaatgtt ggttaatgtcc cgcacacggc gcaaccctt tcctttgttgc
1081 ccacgggttc ggccggggaaat tcaaaaggaga ctggcagtgaa taaactggag gaaggtgggg
1141 atgacgtcaa gtcatcatgg cccttacgag tagggctaca cactgtctac aatggcatat
1201 acaaagagaa ggcacccgtc gagagcaagc ggacccctaca aagtatgtcg tagtccggat
1261 cggagtctgc aactcgactc cgtggatgtc gaatcgctag taatcgatgat tcagaatgtc
1321 acgggtgataa cgttcccccggg cttgtacac accggccggc acaccatggg agtgggttgc
1381 aaaaagaagta ggtgactttaa cttccggggag ggcgcttacc actttgttat tcattactgg
1441 cgttggatgtc taacaaatgtt gcca
  
```

Tab. 71: DNA-Sequenz von *Enterobacter* spec. S6BB aus der Datenbank BLAST

Enterovibrio spec. 09BSKS-4 16S ribosomal RNA gene, partial sequence
 Accessions-Nr.: HM566000.1

Taxonomie:
 Bacteria; Proteobacteria; Gammaproteobacteria; Vibrionales; Vibrionaceae; *Enterovibrio*

Origin:

```

 1  gagcttgctt ttgaagatga cgagcggcg acgggtgagt aatggctggg aacctgcct
 61 gacgtggggg ataacagtgt gaaacgactg ctaataccgc atgtatgttca cggaccaaaag
 121 agggggatct tcggacacct cgcgtcgga tggcccaagt tggatttagc tagtttgta
 181 gtaatggct caccaggcg acatcccta gctgttttgaa gaggatgatc agccacactg
 241 gaactgagac acggttccaga ctccatccggg aggacgcaatc gggaaatattt gcacaatggg
 301 cgcaggctg atgcagccat gccgcgtgt tgaagaaggc ctccgggtt taaagcactt
 361 tcagcagtga ggaagggttgg tacgttaata tgcgtattgtat ttgacgttag ctgcagaaga
 421 agcaccggct aactccgtc cagcagccgc ggtaataacgg aggggtgcag cgttaatccg
 481 aattactggg cgtaaagcgc atgcaggcg ttgttaaagc aagatgtgaa agccccgggc
 541 tcaacctggg aaccgcatt tgaactggca ggcttagatc ttgttagaggg gggtagaaatt
 601 tcaggtagtgc cgtgaaatg cgttagagatc tgaaggatc cccgtggcga aggcggcccc
 661 ctggacaaag actgcgcgc agatgogaaa gctgtgggag caaacaggat tagataccct
 721 ggtagtcac gctgtaaacg atgtctactt ggagggtgtg gccttagagcc gtggcttccg
 781 gagctaacgc gttaaagtata ccgcctgggg agtacggctcg caagattaaa actcaaattga
 841 attgacgggg gcccgcacaa gccgtggagc atgttgttta attcgatgca acgcgaagaa
 901 cttacctac tcttgacatc cacagaattc gctagagata gcttagtgcc ttccgggaaact
 961 gtgagacagg tgctgcattt ctgtcgatgg ctcgtgtgtt gaaatgttgg gttaaatccc
 1021 gcaacgagcc caacccttat ccttgcatttgc cagcgatgtt gtcggggaaat tccaggggaga
 1081 ctggccgtga taaacccggag gaaagggtgggg acgcgtcaat gtcatgttcccttacggag
 1141 taqqqctaca cacgtqctac aatggccatc acqaaqggca qcaaqacccq qagggtqqaqc
  
```

1201 gaatcccaga aagtacgtcg tagtccggat cggagctcgc aactcgactc cgtgaagtcg
1261 gaatcgctag taatcgatgc tcagaatgcc acggtaata cgccccggg ctttgtacac
1321 accqccccgtc acaccatqqq aqtqqqctqc accadaaq

Tab. 72: DNA-Sequenz von *Enterovibrio* spec. 09BSKS-4 aus der Datenbank BLAST

Erwinia persicina strain mskrs1ap 16S ribosomal RNA gene, partial sequence
 Accessions-Nr.: JN167937.1

Taxonomie:
 Bacteria; Proteobacteria; Gammaproteobacteria; Enterobacteriales; Enterobacteriaceae; *Erwinia*

Origin:

```

1   acagagagct tgctctcggt tgacgagtgg cggacgggtg agtaatgtct gggaaactgc
61  ctgatggagg gggataacta ctggaaacgg tagctaatac cgccataacgt cttcgacca
121 aagtggggga cttcgccggc tcacaccattt ggatgtgcgg agatgggatt agcttaggg
181 tggggtaatg gtcacccatg ggcgacatcc ctatgtgtc tgaggatgg accaggccaca
241 ctgaaactga gacacgggtcc agactctac gggaggcgc agtggggaat attgcacaaat
301 gggcgcaaggc ctgatgcaggc catgcccgggt gtatgaagaa ggccttcggg ttgtaaagta
361 cttcaaggcg ggaggaaaggc gataaggta ataacctgt cgattgacgt tacccgcaga
421 agaagcacccg gctaactccg tgccagcaggc cgccgttaata cggagggtgc aagcgttaat
481 cggaaattact gggcgtaaaag cgacacggcagg cggctgtca agtcatgtt gaaaatccccg
541 ggcttaaacct gggaaactgca ttgtaaactg gcaggctaga gtcttgtaga ggggggtttaga
601 attcggatgt tagccgtgaa atgcgttagag atctggagga ataccgggtgg cgaaggccggc
661 cccctggaca aagactgaccc ctcagggtcg aaagctggg gagcaaacag gattagatac
721 cctggtagtcc acatgttgcgat cttgggggtt gtggcccttga ggcgtggctt
781 ccggagctaa cgcgttaatgt cgaccgcctg gggagtacgg ccgcaagggtt aaaaactcaaa
841 tgaattgacg gggggcccgca caagcggtgg agcatgtgtt ttaattcgat gcaacg
  
```

Tab. 73: DNA-Sequenz von *Erwinia persicina* mskrs1ap aus der Datenbank BLAST

Erwinia rhabontici 16S ribosomal RNA gene, partial sequence
Accessions-Nr.: U80206.1
Taxonomie:
Bacteria; Proteobacteria; Gammaproteobacteria; Enterobacteriales; Enterobacteriaceae; *Erwinia*
Origin:
1 aacacatgca agtcgaacgg tagcacagag gagcttgctc tctgggtgac gagtggcgga
61 cgggtgagta atgcctggga aactgcccgta tgagggggaa taactactggaa aacacggtagc
121 taataccgcataaacgttccggaccaaaatgggggacccctt cgggcctcac accatcggt
181 gtggccagggtggattagct agtgggtgggtaatggctc acctaggcgaa cgatcccttag
241 ctggctctgaggaggatgacca gcccacactggaaactgagaca cggttccagac tcctacggga
301 ggcagcagtggaaatattgcacaatgggcgcaaggctgatgcagccatgcgcgtgttat
361 gaagaaggcc ttccgggttgtaaagtactttcagtgggggagaaaggcgatgaggtaataag
421 cctcgtcgat tgacgttacc cgcagaagaa gcaccggcta actccgtgcc agcagcccg
481 gtaatacgga ggggtcaaggttaatcgga attactgggcgtaaaagcgca cgcaggcggt
541 ctgtcaagtggatgtgaaa tccccgggtcaacctgggaaactgcattcg aaactggcg
601 actagagtctttagatggggggatggaaattc caggtgtacggtaatgcgttagagatct
661 ggagaataccgggtggcggaa ggcggcccccttggacaaagaactgacgctca ggtgcgaaag
721 cgtggggagcaaacaggatt agataccctgtatgtccacq ccgtaaacqatgtgacttq
781 gaggttgtgc ccttgaggcg tggcttcggagctaacgcgttaagtgcac cgcctgggg
841 gtacggcccaaggtaaaa ctcaaataatggatgcggggggccgcacaag cgggtggagca
901 tgggttttaatccatgtcaacgcgaagaaacttacccgttgcgttgcacatcc acggaaattcg
961 gcaagatgc cttatgtcccttgggaaacccttgagacagacgtgtcatggctgtgtcagc
1021 tctgttgtaaatgtgggatgttgcggccaaacggcgcaacccttatacttgggtgc
1081 agcggatgtcggggaaacttcaaggagac tggccgtatggggggaaagggtgggg
1141 tgacgtcaactcatcatggcccttacccggccagggtacacatgtgtacaatggcgatca
1201 caaagagaagcgacccgtcgagacaaacgggacccatataatgtgtcgatgtccggatc
1261 ggagtctgcactcgactccgtgaatgttgcggaaatcgctatgtatgtatcagaatgtca
1321 cggtaatacttccggggcttgcacaca cccggccgtca caccatgggatgtgggtgc
1381 aaagaatgtatgtatgttgcacccggaggcgcttacca ctttgcgttattatgtactgg
1441

Tab. 74: DNA-Sequenz von *Erwinia rhamontici* aus der Datenbank BLAST

<i>Exiguobacterium undae</i> gene for 16S ribosomal RNA, partial sequence Accessions-Nr.: AB334767.1
Taxonomie:
Bacteria; Firmicutes; Bacillales; Bacillales Family XII. Incertae Sedis; <i>Exiguobacterium</i>
Origin:
<pre> 1 agagtttgat cctggctca gacgaacgct ggcggcgtgc ctaatacatcg caagtcgagc 61 gcaggaactc cacggaaactc ttccggaggga agtgaaggga atgagcggcg gacgggttag 121 taacacgtaa ggaacctcgcc ccaaggattt ggataactcg gagaatatcg agctaataacc 181 gaatagttct tcagacccga tggctgtatc atgaaaggcg ctnccggcgc accttgggat 241 ggccttgcgg tgcatcgatc agttgggtgg gtaacggcgc accaaggcga cgatccatag 301 ccgacccgtgg aggggtatcg gcccacactgg gacttagaca cggccccagac tcctacggga 361 ggcagcgtt gggaaatcttc cacaatggac gaaagtctga tggagcaacg cccgcgtgagt 421 gatgaagggtt ttccggatcgaaaactctgt tgtaaggaa gaacaagtac gagaggtaat 481 gctcaacccct tgacccgttcc ttgcggagaaa gccaacggcta actacgtgcc agcagccgcg 541 gtaatacgta ggtggcaaggc ttgtccggaa attattgggc gtaaaggcgc cgcaggcggc 601 cttttaatgtc tgatgtggaa gccccccggctt caacccggggaa gggtttatgg aaactggaa </pre>

661	gctttagtac agaagagaag agtggattc catgttagc ggtgaaatgc gtagagatgt
721	ggaggaacac cagtggcga ggcgacttt tggctgtaa ctgacgtga ggcgcgaaag
781	cgtggggagc aaacaggatt agataccctg tgtagtccacg ccgtaaacga tgagtgttag
841	gtgttgggg gttccccc ctcagtctg aagctaaccgc attaagcaccc cgccctgggg
901	agtacggcc caaggctgaa actcaagga attgacgggg acccgacaaa gcggtggagc
961	atgtggtttta attcgaagca acgcaagaa ctttaccaac tcttgacatc cccttgaccg
1021	ctttagagat caagtttcc ctccgggac aagggtgaca ggtggcat ggttgcgtc
1081	agctcggtc tgagatgtt gggttaatgc ccgcaaccgc cgcaaccctt atccttagtt
1141	gccagcattt agtggggc accttagggaga ctggccgtga caaaccggag gaagggtgggg
1201	atgacgtcaa atcatcatgc cccttatgat ttgggttaca cacgtgtac aatggacggt
1261	acaaggggca gcgagacccg gagggtggagc caatccccaa aagccgtcc cagttcggt
1321	tgcaggctgc aactcgctg catgaagtcg gaatcgtag taatcgagg tcagcatact
1381	gccccgttata cgttccccc tcttgcac accccccgtc acaccacggag agtttgcac
1441	accggaaagcc ggtggatggcc caaggtgggg ccagccgtcg aaggtgggg agatgttgg
1501	ggtaagtcg taacaagtg acc

Tab. 75: DNA-Sequenz von *Exiguobacterium undae* aus der Datenbank BLAST

<i>Flavobacterium denitrificans</i> strain JS14-1 16S ribosomal RNA gene, partial sequence	
Accessions-Nr.: EU599190.1	

Taxonomie:
Bacteria; Bacteroidetes; Flavobacteriia; Flavobacteriales; Flavobacteriaceae; *Flavobacterium*

Origin:

1	tgcaagtcga ggggttagggc acttcgggtc tttagacccgg cgacacgggt cgtaacgcgt
61	atgcaatctg ctttcacag agggatagcc cagagaaatt tggattaata cctcatagca
121	ttacggatg gcatcatctt gcaattaaag tcacaacggt gaaagatgag catgcgtccc
181	attagctagt tggtaagtg acggcttacc aaggcaacga tgggttagggg tcctgagagg
241	gagatcccccc acactgggtc tgagacacgg accagactcc tacggggagc agcagtggagg
301	aatatgggtc aatggggcga agcctgaacc accatccggc cgtgcaggat gacggtccta
361	tggattgttac actgttttgc tacggaaaga aacacttcgtt cgtgaaggag cttgacggta
421	ccgttataatc aaggatccgc taactccgtc ccagcagccg cggtaataacg gaggatccaa
481	gcgttatccg gaatcatgg gtttaaagggt tcctgtggcg gtctggtaa tcagtgtgt
541	aagcccatcg ctcaacgggtg gaacggccat tgatactgtt ggacttgaat tactggaaag
601	caactagaat atgttagtta gccccgttata gcttagatgat tacatggaaat accaatttgc
661	aaggcagggtt gctaccatgt gtttagcgt gatggacgaa agcgtgggt gccaacaggaa
721	ttagataccctt tggtagtcca cgcgttaaac gatggataact agctgttggg agcaatctca
781	gtggctaaatc gaaagtgtata agtattttccat ctggggagta cgttcgcaag aatgaaactc
841	aaaggaaatggcc acggggggcc gcacaaggcg tggagcatgtt gtttaattt gatgatacgc
901	gaggaaacctt accaaggctt aatgcacac tggccgttggg gggaaacatg ctttcgcaag
961	acagtttaca aggtgctgca tgggttgcgt cagctcggtc cgtgggtgtt caggttaagt
1021	cctataacga ggcacccccc tgggtttagt tggccagcgag tagtgtcggg aactctaa
1081	agaactgcccac tggcaactgtt gggatggatgtt gggatggatgtt cttttttttt
1141	gccttgggttcc acacacgtc tacaatggcc ggtacagaga gcaacccatc cgcgggggg
1201	agcgaatctt taaaggccgtt acaggttccg atggggatgtt gcaactcgac tccgtgaac
1261	tggatgttccg agtaatcggtt tatcggccat gatccgggttata atacgttccc gggccttgc
1321	caacccggcc gtcacccat ggaagtcggg ggtgttgcgtt gtcgggttcc gcaaggagc

Tab. 76: DNA-Sequenz von *Flavobacterium denitrificans* JS14-1 aus der Datenbank BLAST

<i>Flavobacterium hercynium</i> partial 16S rRNA gene, strain WB 4.2-78	
Accessions-Nr.: AM177627.1	

Taxonomie:
Bacteria; Bacteroidetes; Flavobacteriia; Flavobacteriales; Flavobacteriaceae; *Flavobacterium*

Origin:

1	tggctcaggaa tgaacgcgtt cggcaggctt aacacatgca agtcgggggg tagagtagca
61	atacttgaga cggcgcacg ggtgcgttac gcttatgttca tctacctttt acagagggtt
121	agcccgaga aatttggatt aataccatcat agtattttat aatggcatca ttttataatt
181	aaagtccaaatc cggtaaaaga tgacatgcg tccctttagt tagttgtttaa ggttacgggt
241	taccaaggctt acgtgggtt ggggtctgtt gggggatcc ccccacactg gtactggagc
301	acggaccaga ctccctacggg aggccaggtt gggggatatt ggacaaatggg cgacacccgt
361	atccagccat gccgcgttca ggtatgggtt cctatggattt gttttttttt ttttatacgat
421	aagaaacactt acttcgttca gtaggttgcg ggtatgttca gataaaggat cggctaa
481	cgtgcggcgtt gcccgggttcc tggggatgtt gggggatcc tccggatca ttgggtttaa
541	gggggttccgtt ggcgggtttagt taatgttca gttttttttt ttttatacgat
601	ccattgtatc tggcttactt gttttttttt gttttttttt ttttatacgat
661	aaatgtttttt agattatcgat gttttttttt gttttttttt ttttatacgat
721	cgctgtatgttca gggggatcc tggggatgtt gggggatcc tccggatca ttgggtttaa
781	aaacgttccgtt gggggatcc tggggatgtt gggggatcc tccggatca ttgggtttaa
841	ccacccgttccgtt gggggatcc tggggatgtt gggggatcc tccggatca ttgggtttaa
901	gcgggtggatcc tggggatgtt gggggatcc tccggatca ttgggtttaa
961	agtttggatcc tggggatgtt gggggatcc tccggatca ttgggtttaa
1021	tggcttccgtt gggggatcc tggggatgtt gggggatcc tccggatca ttgggtttaa
1081	tagttggatcc tggggatgtt gggggatcc tccggatca ttgggtttaa
1141	gggtggggatcc tggggatgtt gggggatcc tccggatca ttgggtttaa
1201	ggccgggttca gggggatcc tggggatgtt gggggatcc tccggatca ttgggtttaa
1261	tccggatcc tggggatgtt gggggatcc tccggatca ttgggtttaa
1321	ccatgtatgttca gggggatcc tggggatgtt gggggatcc tccggatca ttgggtttaa

1381 tgggggtgcc tgaagtcggt gaccgcaagg agctgcctag gttaaaactg gtaactatggg
1441 ctaagtcgta acaaggtagc cgtaccggaa ggtgcggctg gatcacctcc t

Tab. 77: DNA-Sequenz von *Flavobacterium hercynium* WB 4.2-78 aus der Datenbank BLAST

Flavobacterium resistens strain BD-b365 16S ribosomal RNA, partial sequence
Accessions-Nr.: NR_044292.1

Taxonomie:
Bacteria; Bacteroidetes; Flavobacteriia; Flavobacteriales; Flavobacteriaceae; Flavobacterium

Origin:

```
1 agagtttgat catggcttagt gatgaacgct agcggcaggc ttaacacatg caagtcgagg
61 ggtatagtgc ttccggactt gagaccggcg cacgggtgcg taacgcgtat gcaatctacc
121 ttccacagag ggatagccca gagaaatttg gattaatccc tcatagtatt acgaccggc
181 atccggatgt aattaaagtc acaacggtga aagatgagca tgcgtcccat tagctagtgg
241 gtaaggtaac ggcttaccaa ggcacacgatg ggttaggggtc ctgagaggaa gatccccac
301 actggtaactg agacacggac cagactccca cgggaggcag cagtggagaa tattggtcaa
361 tggcgcaag cctgaaccag ccatacccg tgcaggatga cggccatgt gattgtaaac
421 tgcctttgtt cgagaagaaa caacatccatc tgtaatgtct tgacggatc gtaagaataa
481 ggcacggcata actccgtgcc agcggccgcg gtaataccgg ggcacggatc gttatccgg
541 atcattgggt ttaaagggtt cgttaggggtt tttagtaatgc acgtggtaaa gccccatcgat
601 caacgggttgc acggccatgt atactgttgc acttgcattt ttaggaatgtt actagaataat
661 gtatgttagc ggtgaaatgc tttagagatta catggaaatac caattgcggaa ggcagggttac
721 tactaatggc ttgacgttgc tggacgaaag cgtgggttagc gaacaggattt agataccctg
781 gtatgtccacg ccgttaaacgc tggataacttag ctgttgggggg caacttcgtt ggcttaacgcg
841 aagtgtataag tatcccacct ggggagatcgttccaaagaa tgaaactcaa aggaatttgac
901 gggggccgcg acaacgggttgc ggcacgttgg ttaatttcgc tgataccgcgaa ggaacccatc
961 caaggcttac atgtatggatc accgggttgg aaacagatct ttccgcagac aatttacaag
1021 gtgtcgatc gttgtcgatc gctcgccgc tgagggtgtca ggttaagtcc tataacgagc
1081 gcaacccctg ttgttagttt ccacgcgttgc atgtcggttgc ctcttacaaatg actgcccgtt
1141 caaaactgttgc ggaagggtgg gatgcgttgc aatcatcacttgc gcccttacgc cttgggggttgc
1201 cacacgttgc acaatggccgc gtacagagatc cggccacttgc gtgaccaggaa gcaatctac
1261 aaacggccgttgc acatgttgcgatc tggatgttgc caacttcgttgc cctgttgc ggaatccgtt
1321 gtaatccgttgc atcggccatc atccgggttgc tggatgttgc caacttcgttgc acaccggccgtt
1381 tcaacggccatc gaaatggggg gtcgttgcgatc tggatgttgc caacggccgttgc cttgggggttgc
1441 aacttggatc tggatgttgc tggatgttgc caacttcgttgc acaccggccgttgc
```

Tab. 78: DNA-Sequenz von *Flavobacterium resistens* BD-b365 aus der Datenbank BLAST

Flavobacterium spec. HME6120 16S ribosomal RNA gene, partial sequence
Accessions-Nr.: HM776981.1
Taxonomie:
Bacteria; Bacteroidetes; Flavobacteriia; Flavobacteriales; Flavobacteriaceae; *Flavobacterium*
Origin:
1 cggcagctta ccatgcagtc gaggggtata ggtttcgga cctagagacc ggcgcacggg
61 tgcgttaacgc gtagtcaatc tacctttcac agagggatag cccagagaaa tttggattaa
121 tacctctatcgat tataatcgagt tggcatcaac atgatattaa agatttatcg gtgaaagatg
181 agatcgctc ccattatcgta gttggatgg taacggcata ccaaggctac gatgggttagg
241 ggtcctgaga gggagatccc ccacacttgt actgagacac ggaccagact cctacggag
301 gcagcagtga ggaatattgg acaatggcg caagcctgat ccagccatgc cgctgtcagg
361 atgacggtcc tatggatttg aaactgctt tatacgagaa gaaacactcc ttctgtgaagg
421 agcttgcacgg tatcgtaaga ataaggatcg gctaactccg tgccagcagc cgccgtata
481 cgaggatcc aagcgttatc cggaaatcatt ggggtttaaag ggtccgttagg cggttttagt
541 agtcgttgtt gaaagccccat cgctcaacgg tggAACGGCC attgtatactg cttagacttgta
601 attattatgg aagaatactaga atatgtatgtg tagcggtgaa atgccttagag attacatgg
661 ataccaattt cgaaggcagg ttactactaa ttgattgacg ctgtatggacg aaagcgtggg
721 tagcgaacag gattagatc cctggtagtc cacccgtaa acgtatggata ctatgttgg
781 ggagcaattt cagtggctaa gcgaaatgtaa taagtatccc acctggggag tacgaacgc
841 agtttgaacat tcaaaggat tgacggggc cccgcacaagc ggtggagcat gtggtttaat
901 tcatgtatc gcgaggaaat ttaaccaaggc ttaaatgttag attgaccggg ttggaaacag
961 aaccttcgcgca agacaattt caaggtctg catgttgcg tcgtatcgat gccgtgaggt
1021 qtcaggtaa gtcctataac gaggccaaacc cctgttggta gttccacgc aqtcatgtcg
1081 ggaactctaa cgagactgcc agtgcaaaact gtgagggagg tggggatgac gtcaaatcat
1141 cacggccctt acgccttggg ctacacacgt gctacaatgg cccgtacaga gagcagccac
1201 tgggtgacca ggagcgaatc tacaatggcgttacatcg gatatcgcc atgatccggt gaatacgtt
1261 actccgttac gctggatatcg ctgtatcg gatatcgcc atgatccggt gaatacgtt
1321 cccggccctt tacacccgc cccgtcaagcc atggaagctg ggggtgcctg aagtccgtga
1381 ccccaaggag ctgccttaggt aa

Tab. 79: DNA-Sequenz von *Flavobacterium* spec. HME6120 aus der Datenbank BLAST

Flavobacterium spec. R-36233 partial 16S rRNA gene
Accessions-Nr.: FR682719.1
Taxonomie:
Bacteria; Bacteroidetes; Flavobacteriia; Flavobacteriales; Flavobacteriaceae; *Flavobacterium*
Origin:
1 gatgaacgct agcggcaggg ttaacacatg caagtcgagg ggtatacgtag caatactaga
61 gaccggcgca cgggtgcgtt acgcgtatgc aatctacacctt tcacagaggg atagcccgaa
121 gaaattttggta ttatacaccc atagtattat aqaatggcat cattttataa ttaaaagtccac

```

181 aacggtgaaa gatgagcatg cgccccatta gtagtttgtt aaggtaacgg cttaccaaga
241 ctacgtggg taggggtcct gagagggaga tcccccacac tggtaactgac acacggacca
301 gactccctacg ggaggcagca gtgagaaata ttggacaatgg ggcgcaccc tgatccagcc
361 atgcccgtg caggatgacg gtcctatgga ttgtaaaactg cttttgcaca ggaagaaaca
421 acattacgtg taatgtctt acggtaactgt gagaataagg atcggctaac tccgtcccg
481 cagccgcgtt aatacggagg atccaaggct tatccggat cattgggtt aaagggtccg
541 taggcgtct tataagtctg tggtaaatac tccccgtca acggggaaac ggcattgtat
601 actgttaggac ttgaattt attggaaatac tagaatatgt agttagcgg tgaaatgtt
661 agagattaca ttgaatcca attggaaagg caggtaacta ctaatggatt gacgctgat
721 gacgaaagcg tggtagcga acaggat tagtaccctgtt agtccacggc gttaacgat
781 gatactgat gttggggca agtticagttt ctaagcggaa gtgataaata tcccacccgtt
841 ggagtagcga cgcggatccaa aactaaag gaatttgcgg gggccgcac aagcggtgg
901 gcatgtgggtt taattcgatg atacgcggg aacccatcca aggcttaat gttagattgac
961 cggttggaa acagactttt cgcggacaa ttacaaggat gctgcattttt tgcgtcagc
1021 tcgtgccgtg aggtgtcagg ttaagtccta taacgacgc aacccctgtt gttagttgg
1081 agcgagtgaa gtcggggact ctaacggac tgcggacta aactggagg aaggtgggg
1141 tgacgtcaaa tcatcggc cttacggc ttggcttacac acgtgttaca atggccggta
1201 casagagcggc ccactggggc accaggagc aatctacaaa acgggttaca gttcggtatc
1261 gagtctgca ctcgactccg tgaagctgga atcgctgatc atcgatatac agccatgatc
1321 cggtaatac gttccgggc cttgtacaca cgcgggtca agccatggaa gctgggggtg
1381 cctgaagtctg gtgaccggaa ggagctgcctt agggtaaaac ttgttaacttag ggctaaatcg
1441 taacaaggtt ggcgttccgg aagg

```

Tab. 80: DNA-Sequenz von *Flavobacterium* spec. R-36233 aus der Datenbank BLAST

Flavobacterium spec. R7Sb-3-1 16S ribosomal RNA gene, partial sequence
Accessions-Nr.: JQ928691.1

Taxonomie: Bacteria; Bacteroidetes; Flavobacteriia; Flavobacteriales; Flavobacteriaceae; <i>Flavobacterium</i>
Origin: 1 tgcagtcggggtagggca cttccgtgt tgagaccggc gcacgggtgc gtaacgcgt 61 tgcaatctgc ctttcacaga gggatagccc agagaaattt ggattaatac ctcatacgat 121 tattcgatgg catcatctga taattaaatg cacaacgggtt aaagatgagc atgcgttcca 181 tttagctgtt ggttaaggtaa cggcttacca aggcgacgtt gggtaggggtt cctgaggg 241 agatccccca cactggactt gacggacggc ccacgttcc acggggggc gcaatgtgg 301 atattggtaa atggggcggca ggcgttacca ggcgttcc acgggttccat 361 ggttggtaa ctgtttttt acggggaaac acacttcc acgggttccat gttacgggt 421 cgttaaaata aggttgcgtt aactccgtc cggcggcc ggttaatacg aggatccaa 481 cgttatccgg aatcattggg tttaaagggtt cctgtggggg tttgataatg cgttgggt 541 agcccatcgcc tcaacgggtt aacggccatt gatactgtca aacttgaattt actggaaat 601 aactagaata tttttttttt cttttttttt acatggaaata ccaatttgcga 661 aggcaggtaa ctaccgggtt atggacgtt atggacggaa ggcgttgggtt cgaacaggat 721 tagataccctt ggttggccat ggcgttaccc acggatatac gctgttgggg gcaatgtt 781 tggctaaatggc aatggatggtaa atttttttt tggggatgtt gaaacgtt gttaaactca 841 aaggaaatttta cggggggccggc cacaacgggtt ggagcatgtt gttttttttt atgataacgc 901 aaggaaatcttta ccaacgggtt aatggacgtt gaccgtttt gaaacagatc tttcgcaaga 961 cagtttacaa ggttgcgtt gtttgcgtt acgttgcgtt gttttttttt aggttaat 1021 ctataacggc cggccatcc gttttttttt gccagcgat gatgttgggg actctaaacaa 1081 gacttgcgtt gcaacttgcg agggatgtt ggttgcgtt aaatcatcac ggccttac 1141 ctttttttttta cacaacgggtt acaatggccg gtcacggat gggccaccc ggcgggggg 1201 gcaatgttataa aacggccgtt acggatggc tccggatgtt caactcgact cccgttac 1261 ggttggccat gtaatggat atcggatggt atccggatgg tacgttccgg ggccttgc 1321 acaccggcccg tcaacgggtt gaaatgggg gtcgttgcgg gttttttttt caa

Tab. 81: DNA-Sequenz von *Flavobacterium* spec. R7Sb-3-1 aus der Datenbank BLAST

Flavobacterium spec. 1126-1H-08 partial 16S rRNA gene
Accessions-Nr.: HE612094.1

Taxonomie: Bacteria; Bacteroidetes; Flavobacteriia; Flavobacteriales; Flavobacteriaceae; <i>Flavobacterium</i>
Origin: 1 gtttgcgtt ggttgcgtt ggttgcgtt ggttgcgtt ggttgcgtt ggttgcgtt 61 atatgttcc ggtatagatg accggccac ggggttgcgtt ggttgcgtt ggttgcgtt 121 tacagggggta tagcccgatg aaatttttttta taatacccttca tagtataatgtt ctaccgtt 181 gtagtactat taaaatccatc acggtaaaatg atggatgtt gttttttttt gttttttttt 241 aggttacggc ttaccatggc aacgttgggtt aggggttccgtt agggggatg ccccccacact 301 ggttactgtt ggttgcgtt ggttgcgtt ggttgcgtt ggttgcgtt ggttgcgtt 361 ggcgttgcgtt ggttgcgtt ggttgcgtt ggttgcgtt ggttgcgtt ggttgcgtt 421 ttttttttttta aacggccgtt acggatggc tccggatgtt caactcgact cccgttac 481 tcggcttactt cccgttgcgtt ggttgcgtt ggttgcgtt ggttgcgtt ggttgcgtt 541 atgggggttttta aacggccgtt acggatggc tccggatgtt caactcgact cccgttac 601 cgggttgcgtt ggttgcgtt ggttgcgtt ggttgcgtt ggttgcgtt ggttgcgtt 661 gtttttttttta aacggccgtt acggatggc tccggatgtt caactcgact cccgttac 721 taatttttttta aacggccgtt acggatggc tccggatgtt caactcgact cccgttac 781 gtttttttttta aacggccgtt acggatggc tccggatgtt caactcgact cccgttac 841 tgataatgtt ggttgcgtt ggttgcgtt ggttgcgtt ggttgcgtt ggttgcgtt 901 gggccgtt ggttgcgtt ggttgcgtt ggttgcgtt ggttgcgtt ggttgcgtt

961 ggcttaaatg tagattgacc ggtttggaaa cagatcttc gcaagacaat ttacaagggt
1021 ctgcacgttt gtcgtcagct cgtgccgtga ggtgtcaggt taagtccat aacgagcgca
1081 acccctgttg ttagttgcca gcgagtcatg tcggaaactc taacaagact gccagtgc当地
1141 actgtgagga aggtggggat gacgtcaa at catcacggcc cttacgcctt gggctacaca
1201 cgtgtacaa tggccggta c agagagcagc cactggcgca ccaggagcga attctataaaa
1261 ccgttcacag ttcggatccg agtctgcAAC tcgtactccgt gaagctggaa tcgtactggaa
1321 tcggatatac gccatgtcc ggtaaatacg ttcccgccgca ttgtacacac cggccgtcaa
1381 gccatggaaag ctgggggtgc ctgaagtccg tgaccgcaag gagtcgccta gggtaaaaaca
1441 ggtaacttagg gctaaat

Tab. 82: DNA-Sequenz von *Flavobacterium* spec. 1126-1H-08 aus der Datenbank BLAST

Fusarium spec. ZLH-X6 18S ribosomal RNA gene, partial sequence
Accessions-Nr.: JQ934487.1

Taxonomie:
Eukaryota; Fungi; Dikarya; Ascomycota; Pezizomycotina; Sordariomycetes; Hypocreomycetidae; Hypocreales;
Nectriaceae; mitosporic Nectriaceae; *Fusarium*

Origin:

```

1      gctattatac agctgaaact gcgaaatggct cattatataa gttatcgttt atttgatagt
61     accttacac ttggataacc gtggtaattc tagagcta aatcccgact
121    tcggaggga tggatattt agataaaaaa ccaatgcctt ccggggctca ctgggtatcc
181    atgataactt ctgcgatcgc atggccttc gcggcgatg gttcatcaa atttcttccc
241    tatcaacttt cgatgttgg gtattggcca aacatgggtt caacgggtaa cggagggtt
301    gggctcgacc ccggagaagg agcctgagaa acggctacta catccaagga aggcagcagg
361    cgcgcaaatt acccaatccc gactcgggga ggttagtgaca ataaatactg atacagggtt
421    ctttgggtc ttgtaattgg aatgagttaca atttaaatcc cttAACGAGG aacaatttgg
481    gggcaagtct ggtgccagca gccgcgtt aaatccatcc aatagcgat attaaaggatgg
541    ttgtggttaa aaagctcgta gttgaacctt gggccgttcc ggccggccg cctcaccccg
601    tggactgttc cggccggggc ttccctctg tggaaaccccc tggcccttcac tgggtgtggc
661    gggaaaacag gactttact gtggaaaaat tagatgtctt caggcaggcc tatgtcgaa
721    tacattagca tggataataa gaataggacg tgggttctt ttttgttgg ttcttaggacc
781    ggcgtaatga ttaataggga cagtcggggg catcagtattt caatgtcgat aggtgaaatt
841    cttggattta tggaaagacta actactgcga aagcatttgc caaggatgtt ttcatataatc
901    aggaacgaaa gtttagggat cgaagacgtt cagataccgtt cttttttttt accataaaact
961    atgcccacta gggatcgac gatgttat tttgactcgat tcggcaccc acggaaaatc
1021   aaagtgtttt ggctccaggg ggagtatggt cgcggatcgat aaacttaaag aaattgcgg
1081   aaggccacca ccagggggtt agcctgcggc ttaatggat tcaacacggg gaaactcacc
1141   aggtccgacac aacatggaga ttggacgattt gagatgtt tttgtgtt tttttttt ggggtgg
1201   gtcgtatggcc gttctttttt ggtggatgtt tttgtgtt tttttttt tttttttt ggggtgg
1261   accttaacct qcttaataqcc ccgttattqct tggcaatcgat aacgaacgag

```

Tab. 83: DNA-Sequenz von *Fusarium* spec. ZLH-X6 aus der Datenbank BLAST

Tab. 84: DNA-Sequenz von *Gaiella occulta* F2-233 aus der Datenbank BLAST

Geobacter metallireducens GS-15, complete genome

Acessions-Nr.: CP000148.1

Taxonomie:

Bacteria; Proteobacteria; Deltaproteobacteria; Desulfuromonadales; Geobacteraceae; *Geobacter*

Complete genome: [http://www.ncbi.nlm.nih.gov/nucleotide/78192483?report=genbank&log\\$=nucltop&blast_rank=15&RID=MB984R1Z01R](http://www.ncbi.nlm.nih.gov/nucleotide/78192483?report=genbank&log$=nucltop&blast_rank=15&RID=MB984R1Z01R) (Stand: 13.08.2012)

Tab. 85: DNA-Sequenz von *Geobacter metallireducens* GS-15 aus der Datenbank BLAST

Gibberella moniliformis p450-4 gene for ent-kaurene oxidase, exons 1-4, strain A-00149

Acessions-Nr.: AM946177.1

Taxonomie:

Eukaryota; Fungi; Dikarya; Ascomycota; Pezizomycotina; Sordariomycetes; Hypocreomycetidae; Hypocreales; Nectriaceae; *Gibberella*

Origin:

1 aaggccggaca ggtatccgg aagccgcagg gtcggAACAG gagAGCGCAC gagggagctt
61 ccaggggaa acgcctggta tctttatagt cctgtcggtt tcGCCACCT ctgacttgag
121 cgtcgatttt tggtatgctc gtcaggGGGG cgAGGCTAT ggaaaaACGC cagcaacCGC
181 gccttttac ggttcctggc ctTTTGTGG ccttttgctc acatgttctt tcctgcgtta
241 tcccctgatt ctgtggataa ccgttattacc gcctttgagt gagctgatac cgctcggcgc
301 agccgaacga ccgagcgcag cgAGTCAGTG agcggaggaa cgGAAGAGCG cccaataacgc
361 aaaccgcctc tccccggcgt ttggccgatt cattaatgtca gctggcAcGA caggttccc
421 gactggaaag cgggcgtga ggcAacgcA attaatgtga gttagctcac tcattaggca
481 cccaggctt tacatTTTGT gcttccggct cgtatTTGT gtggAAATTGT gacggataa
541 caaTTTCAcA cagggAAACAG ctatggatc gattacggca agcttggtaC cgagctcgga
601 tccacttagta acggccggca gtgtgctgga atTCGGCTT ggctccAGCC ttctaAtggg
661 ctatgtactt tgTTTCACTA cagctggttc gtctgtcaCT gaccctcaCT gactcacaag
721 cgcgtggatca aacagtggcg tttggcctc accacggaga cggactgccc attggtaat
781 gatttactt atgcgtgc cagaaggatt caagtcaCT gccaAAAGCA cagccCTTGT
841 tgtoCCatCT ctgtgcttc gacccCTTCA gggcTTTCT ttccTCAccCA tcttcatttc
901 agaaaggatCTC cacacaAGAA gttcccaaca ttgacgtttc tcttcataca tctggacACT
961 caaCTTACCG tcgttCTCA ccAGTCAccCA tcaacaACAC tcttaactac tggTCatCTG
1021 ctctggccCTC gtccTTggCC atctgtcaac cgcgacttC aaataatgcC aagtgtgtcg
1081 tgatTTTgAC atcaatAGTA agtagAAAGC tctgatttC ttctactACA gtctcaggCt
1141 aacCTcaata ccgtcaggTC acaaaccaca taccgtgtcc ctccattatC ccgcgtCTC
1201 ttTcgacaca cctcataatC agagaACCGT gagaggcagg caaaAGACTT tcgctCTcat
1261 catataccga cggcccaAGT gacaggTCTT gggttactgg atcttcccgt ggagattcta
1321 atcaaaatTA tccagTTGGC gatttCTCCG atggTCTCC gcaTAatgtc ccatgtatcca
1381 ctTgtatACCc ttatggaga gagTgtacca ttggAAACAA gctttaCCGT cgcccaAGAG
1441 cttaggatCTC ttTgggAAAT tggcTTgtc attgagactg ctccaggGT gtatataCAC
1501 tctttcAGC agTTggGCC gtcacaACAA accAAactCG tagCCcaAA tatttCTCG
1561 cccCTCTGT caactaccta caccAGTCTC cattgactCC cACCAactat cagcaAAACA
1621 caatgaataa gttcaacAGC atgaacaATA ccattaATGA aacgCTgCTC cgacAGCTC
1681 tctcggttCT tgatgaaATA cctcataatGG ataticCTG gctaAtCTAC gttgcTTtG
1741 cgcgttggTT atgCTCtatC gtcatCCatC tcTTTCACT ccTTTCTACa gtcaatgtc
1801 ctTTTGTAGG atacggAAAGC gttttggcgt ctacatggTT tttcgttta cgttttgcT
1861 gggaaGGGGG atctatCATC agccaAGGCT acagtaAAAGT aaggAGTCCC ccCTacaACT
1921 gtcgCTgtC tctcataatC ttcaGTTCAA agactCCatC ttccaggGT gaaAGGCTGG
1981 taccgatATC gtcatCataC cgccAAactA catcgatGAA gtcggAAAGC tatCTCAGGA
2041 caaaACTCgt tcggTCgAgC ctttcatCA tgcatttGtC ggcgattAC cgcgaggCt
2101 ggttttCTC caaaAGTgTC tgcagAAcCg tggTgttCAG cagcggTTgA cgccGAAGt
2161 cgtgtcgttG actaaggTgA tgaaggAGGA acttGacttC gcaTTgactA aaggGGatGCC
2221 tgatgaaATA ggtAAactTC tcgacgttC ttgagCTGGG ttccataatG ctgataattG
2281 ttatgatgAC aatgggttGA agccgatatt gtcTCCatCA tggTCaggGT catatCAC
2341 attcCAGCCA gaggTTTCT cggccCAGAG cactGCCGCA atcAGGAatG gttgacG
2401 acagCAGAGT atagCgAGAG CCTCTCATG actggTTTA tcTCCGCGT tggTCCCT
2461 atccTAAGAC cattCgtAGC tccgttGtCA ccatttACa gaacACTact tcgcAGC
2521 tcatCTGGCC gtaaaGTTat AGGTGACATC atTCGCTCC AGCAAGGtAG tgagaAC
2581 gacatCCTCt cgtggatGt AGAAGCTGCG ACTGGGGAGG AGAAACAGGT tgacaatatt
2641 gtcagcggA tgcTTatCCT gatGCTGCA tcttACatCA tcaCggCAAt gaccatgac
2701 catgtatGT atgacttGtG tgCTCGCCt gatGataCAA AGCCTTtAG agaggAGGtC
2761 aaaggCgttG ttggTgtAG tggatGGAC aagacGGCGt tgaatCgact tcataAAAct
2821 gacagtTTtC tcaaAGAGtC gcaACGTTtC aacCCGtGt ttctCTGtaA gtcTTtC
2881 accttCTGtT tatCTGGatC ccgactcaAC ctTCCAGtA cattCAatCg catCTAcc
2941 caaCCAAtGA cactatCAGA cggcAccAAT ctTCCCAtCAG gcaCTCgCat tgccgt
3001 ttcTcAcGCGA tgcttCAGGA ctcAGCACt gttccAGGGC cagcGCCAcc aactG
3061 gacggatttA gataCtAAA gatCCGtCA gacttAAAGt atgcACAGAA gtaC
3121 tcaatGACTG atttGatTA catGGCtTt gggtatGGGA aatAtGtTt ccCTGGG
3181 ttctatGatC ctaatGAAAt gaAGtGACT ttGACtACtC ttctactACA atttGAGtC
3241 aagtGCTGtCt atggAAAGGG gagAccACGG aatAtCAGCA ttGatAGtGA catGGt
3301 gatCCGAGAG ccaggCtGtG cgttagGAAG cgtatCtGA gggAAAGtGA atGAGC
3361 tgatACatAG ggCTGGAAT agtCCtCtGG tacAGatTTt caatTTtTt cctGatAtCA
3421 ttctGatAtGA ttCAAAGtGA ctTtGAAGtA gtttGAGtC atGtCtGtCA atACG
3481 cactatCCTCt ccTAGatGT cAGCAGtTC taatGtACT caatAtCAAt caaATTG
3541 tggTCCCAAA tggAAAG

Tab. 86: DNA-Sequenz von *Gibberella moniliformis* A-00149 aus der Datenbank BLAST

Haematobacter massiliensis strain H2136 16S ribosomal RNA gene, partial sequence
 Accessions-Nr.: DQ342308.1

Taxonomie:
 Bacteria; Proteobacteria; Alphaproteobacteria; Rhodobacterales; Rhodobacteraceae; *Haematobacter*

Origin:

```

  1   aacgaacgct ggcggcaggg ctaacacatg caagtgcgac gaggacttcg gtcctagcg
  61  cgacgggtg agtaacgcgt gggAACGTC cctttgcgtt gaaatgcct tggaaactg
 121  ggagtaatac cggatgagcc ctgggggg aagatttac ggcgaaggat cggcccggt
 181  tggatttagt agttgtggg gtaatggcct accaagccga cgatccatag ctggtttgc
 241  aggatgatca gccacactgg gactgagaca cggcccagac tcctacggg ggcagcagt
 301  ggaatctta gacaatgggg gaaaccctga tctagccatg ccgcgtgac gatgaaggcc
 361  ttagggttgt aaagctctt cagctggaa gataatgacg gtaccacg aagaagcccc
 421  ggtaactcc gtgcgcggc acggaggggg ctgcgttgc tcggattac
 481  tggcgtaaa ggcgcgtg gggatgtt aagtgcagg tggaaatccca gggctcaacc
 541  ctggactgc ctttggaaact cccagtcgtt aggtcgagac aggtgagtgg aattccgagt
 601  gttagaggtga aattcgtaga tattcgagg aacaccgtg gcgaaaggccg ctcactggct
 661  cgatactgac gctgagggtc gaaagcgtgg ggagcaaaaca ggattagata ccctggtagt
 721  ccacgcgtt aacgatgaaat ggcagtcgtc gggtagcatg ctattcggtg acacaccaa
 781  cgattaaagc attccgcctg gggagtaacgg tcgcgaaggaaa aaaaactcaaa ggaattgacg
 841  gggccgcga caagggtgg agcatgtgtt ttaattcgaa gcaacgcgc gaaaccttacc
 901  aacccttgac atggggatcg cggttacgag agatcggtt cttcgttgc gctggatccc
 961  acacagggtc tgcatggctc tcgtcagctc gtgtcgtag atgttcgggtt aagtccggca
 1021 acgagcgcac cccacactt tagttgccag cattcgttgc ggcactctg gagaactgcc
 1081 gatgataagt cggagggagg tggatgtac gtcaagtcc catggccctt acgggttggg
 1141 ctacacacgt gctacaatgg tagtgcacaaatgg ggttaatcc caaaaagcta tctcgttgc
 1201 gattgggtc tgcaactcga ccccatgaaatgg tcggaaatcgc tagtaatcgc gtaacagcac
 1261 gacgcgggtgaa atacgttccc gggcctgttgc cacaccggcc gtcacaccat gggagttggg
 1321 ttacccgaa ggcgggtgcgca caaccagcaat tggaggcagc cgaccacggt gagctcagcg
 1381 actqqqqgtq
  
```

Tab. 87: DNA-Sequenz von *Haematobacter massiliensis* H2136 aus der Datenbank BLAST

Hyphomicrobium facile subsp. *tolerans* strain IFAM I-551 16S ribosomal RNA, partial sequence
 Accessions-Nr.: NR_027611.1

Taxonomie:
 Bacteria; Proteobacteria; Alphaproteobacteria; Rhizobiales; Hyphomicrobiaceae; *Hyphomicrobium*

Origin:

```

 1  gaacgctggc ggcaggctta acacatgcaa gtcgaacgcc ccgcaagggg agtggcagac
 61 gggtagttaa cacgtggaaa cttccctat agtacggat agcccaaggaa aacttggagt
 121 aataccgtat acgcccggaa ggggaaagaa ttttcgtat aggatggggc cgcgttagat
 181 tagctgttg tgtaggtat ggctcacca ggcgacgatc cttagctgtt ttgagagaac
 241 gaccagccac actgggactg agacacggcc cagactccta cggggaggcag cagtggggaa
 301 tattggacaa tgggcgcaag cctgatccag ccatggcgcg tgagtgtatga agggcttagg
 361 gttgtaaagc tctttgcgg gggacgataa tgacggtacc cggagaataa gtcccggtca
 421 acttcgtgcc agcagccgca gtaatacgaa ggggacttagc gttgttcggaa atcaactggc
 481 gtaaaaggcga cgtaggcggg tttgtaaatc aggggtgaaa tccccgggct caaccctcgga
 541 actgccttgc atactgcgaa tcttgcgttcc gatagagggtc ggtggatttc ctatgttgc
 601 ggtgaaattc tgatgatatta gggaaacac cggggcgccac ggcggccccc tggatcggt
 661 ctgacgctga ggtgcgaaag cgtggggagc aaaacaggatt agataccctg gtatgtccacg
 721 ccgtaaacgta tggatgtctag cggcggata gcttgcattt cgggtggcgca gctaacgcatt
 781 taagcatccc gcctggggag tacggccgca aggttaaaac tcaaaggaaat tgacggggc
 841 ccgcacaagg ggtggagcat gtgggttaat tcgacgcacat ggcggaaacc ttaccagtc
 901 ttgacattca ctatgcgcct ggagagatcc gggaaattcca gcaatggacca gtggggacagg
 961 tgcgtcatgg ctgtcgtcag ctgcgtcgat gagatgttgg gttaaatgtccc gcaacgcgc
 1021 caaccctcgc cattatgttc catcattttgc ttggggactc tagtggggact gcccgtgata
 1081 agccggagga aggtggggat gacgtcaagt catcatggcc cttacgggct gggctacaca
 1141 cgtgctacaa tggcggtgac aatgcgcagc cacctagcaa tagggagacta atgcacaaaa
 1201 gccgtctcag ttcatgttgc ggtctgcacat tcgacccatcata gaaatgcggaa tcgctgttac
 1261 tcgcgcatca gcatggccg gtaataacgt tcccgccctt tgatcacaccc gcccgtcaca
 1321 ccatggggat tggtcttaccat cttaaacgggt ggcgttacccg ccaaggaggca gccggccacg
 1381 gtaagggtcaat cggactggggat gaaatgcgttacaa caaggatggcc gta
  
```

Tab. 88: DNA-Sequenz von *Hypomicrobium facile* subsp. *tolerans* IFAM I-551 a. d. Datenbank BLAST

<i>Hyphomicrobium vulgare</i> gene for 16S ribosomal RNA, partial sequence Accessions-Nr.: AB543807.2
Taxonomie:
Bacteria; Proteobacteria; Alphaproteobacteria; Rhizobiales; Hyphomicrobiaceae; <i>Hyphomicrobium</i>
Origin:
<pre> 1 aacgaacgct ggcggcaggc ctaaacacatg caagtgcgaac gctgttagcaa tacagagtgg 61 cagacgggtg agtaaacacgt gggaatcttc ctatcggtac ggaatagctc agggaaactt 121 ggggttaatac cgcatacgcc ctccggggaa aagatttac gccgatagat gagccccggt 181 ctgattagct agtttgttag gtaatggctc accaaggcga cgatcagtag ctggtctgag 241 aggatgacca gcccacactgg gactgagaca cggccccagac tccctacggga ggcagcagtg 301 gggaatattg gacaatgggc gcaaggctga tccagccatg cgcgtgagt gacgaaggtc 361 ttccgattgt aaagcttctt tgccggggac gataatgcag gtaccccgac aataaggcccc 421 gactaacttc gtgccagcag ccgcggtaat acgaaagggggg ctggatgtat tcggattac </pre>

Tab. 89: DNA-Sequenz von *Hyphomicrobium vulgare* aus der Datenbank BLAST

Hypomicrobium spec. KC-IT-W2 16S ribosomal RNA gene, partial sequence
Accessions-Nr.: FJ711209.1
Origin:
1 ctcagaacga acgctggcg caggccataac acatgcaagt cgaacgctgt agcaatacag
61 agtggcacag gggtgactaa cacgtggaa tctttctatc ggtacggat agtctcaggaa
121 aacctgggt aataccgcata acggccctcg gggggaaatg ttatcgccga tagatgagcc
181 cgcgtctgat tagctatggt gtgaggtaac ggctcaccaa gggcagatc agtagctgt
241 ctgagaggat gatcggccac actgggatc agacacggcc cagactccata cgggaggcg
301 cagtggggaa tattggacaa tgggcgaag cctgatccag ccatacgcccg tgagtgcaca
361 aggtcttcgg attgtaaagc tcttttgcg gggacgataa tgacggtacc cgccagaataa
421 gccccggcta acttcgtgcc agcagccgc gtaatacggaa gggggcttagc gttgttcggaa
481 attactgggc gtaaaggcga cgtaggcgga ttttttagtc aggggtgaaa tcccggggct
541 caaccccgaa actgccttt atactgcaag tctcgagtcc ggaagaggtg agtggattc
601 cttagtgtaa ggtggaaatc gtatgatatta ggaagaacac cagtggcgaa ggcggctcac
661 tggtcccgta ctgacgctga ggtgcggaaag cgtggggagc aaacaggatt agataccctg
721 gtatgtccacg ccgttaacta tggatgttag cctgcggca gtttgcgttgcgca
781 gctaacgcgtt taagcatccc gcctggggag tacggccgc agttaaaaac tcaaaggaaat
841 tgacgggggc ccgcacaaggc ggtggagcat gtgggttaat tcgacgcac ac gcaagaac
901 ttaccagctc ttgacatgtc aggtcggtt ccagagatgg gatccccc gcaatgggtc
961 tgaacacagg tgctgtatgg ctgtcgtag ctcgtgtcgtag gagatgttgg gttaaatccc
1021 gcaacgagcg caaccctcg cattagttgc catcattcag ttggcactc tagtggact
1081 gccgggtata agccggagga aggtggggat gacgtcaagt catcatggcc cttacgggg
1141 gggctacaca cgtgtacaaa tggcggtgac aatgggcgc aacacagcaaa tggtaagct
1201 atctcaaaaaa gccgtctcgat tggctgttgg gctctgcacatc tggccggccat gaagttggaa
1261 tcgcttagtaa tcgcatc gcatggcg gttgatgttgc tccggccct tgcatacacacc
1321 gcccgtaaca ccatgggat tggctttacc cgaagacggc ggcctaaccg caaggaggca
1381 gccggccacg gtaaggtcg cgactgggtt gaaatcgtaa caa

Tab. 90: DNA-Sequenz von *Hyphomicrobium* spec. KC-IT-W2 aus der Datenbank BLAST

1261 gtaatcgtgg atcagcacgc cacggtaat acgttcccg gccttata caccgccccgt
1321 cacaccatgg gagttggct taccggacgg cgctggcca accgcaagga ggcaggcgac
1381 cacggtaggg tcagcgactg gggtaagtc gtaacaaggt agccgtaggg gaacc

Tab. 91: DNA-Sequenz von *Methylobacterium zatmanii* strain DSM 5688 aus der Datenbank BLAST

<i>Methylocapsa aurea</i> partial 16S rRNA gene, type strain KYGT
Acessions-Nr.: FN433469.1

Taxonomie:

Bacteria; Proteobacteria; Alphaproteobacteria; Rhizobiales; Beijerinckiaceae; *Methylocapsa*

Origin:

1 aacgaacgct ggcggcaggc ctaacacatg caagtcaaac gccgttagcaa tacggagtgg
61 cagacgggtg agtaaacacgt gggaaacatac ccttcgggtc ggaataactc agggaaactt
121 gtgctaatac cggatacgct cgcaaggaa aagatttatc gccgaaggat tggcccgct
181 ctgtagtagct tggggtagg gtaatggctc accaaggcga cgatcgttag ctggtcttag
241 aggatgtaca gccacatgg gactggacca cggccaaac tcctacggg ggcagcgtg
301 gggaaatattt gacaatgggc gaaagcttga tcctagccat cccgtgtagt gatgaaggcc
361 tttaggggtt aaagctttt tacctggaa gataatgacg gtaccaggag aataagcccc
421 ggctaaacttc gtgcacggc cccggtaat acgaaggggg ctacgcttgc tcggattac
481 tggggctaaa ggcacgttg gggatctt aagtccggg tgaaatccc gggctcaacc
541 tcggaaactt ctttgcatac gggatcttgc agtccgggag aggtgagtgg aactgcgagt
601 gtagagggtg aattcgtaga tattcgtcaag aacaccatg gccaaggccg ctcaactggcc
661 cggtaactgc gctgggtgc gaaaggcttgg gggcaaaaca ggattagata ccctggtagt
721 ccacccgta aacgtatgt gctagccgtt aggcaacttgc ctgcttagt ggcgtttagt
781 cgcttaagc atccgcctg gggagttacgg tcgcaagatt aaaactcaaa ggaatttacg
841 gggggccgcgca caagccgtgg agcatgttgt ttaatttgcg gcaacgcgca gaaaccttacc
901 agcttgcac atgttcgtt tggttaccat agatgtttc cttaacttgc ggtggcgaga
961 acacagggtc tgcattggctc tgcgtacgtt gttgtcgtag atgtgggtt aagtcccgca
1021 acgacgcgca ccctcgccct tagttccat catttagttt ggcactctag ggggactgccc
1081 ggtgataaggc cgaggaggaa gttgggtatg cgtcaacttgc tcatggccct tacgggttgg
1141 gctacacacg tgcataatgc gccgttgcac tggacactc gactgtatgaa aggttggaaatc
1201 ctcaaaaaggc cgtctcgtt cggatttgcac tctgcaactc gactgtatgaa aggttggaaatc
1261 gcttagatcgtt gtagatcaga acgtacggt gataacttgc cccggccctt tacacaccgc
1321 ccgtcacacc atggggatgtt gtttacccg aaggcggtt gctaaccgcgca aggaggcagg
1381 cgaccacggt agggtcacgc actgggttgc

Tab. 92: DNA-Sequenz von *Methylocapsa aurea* KYGT aus der Datenbank BLAST

<i>Methylocystis echinoides</i> partial 16S rRNA gene, strain 2
Acessions-Nr.: AJ458502.1

Taxonomie:

Bacteria; Proteobacteria; Alphaproteobacteria; Rhizobiales; Methylocystaceae; *Methylocystis*

Origin:

1 acgaacgctg gccggcaggcc taacacatgc aagtcgaacg ccctagcaat agggagtggc
61 agacgggtgta gtaacgcgtg ggaacgtacc cttcgggtcg gaataaccca gggaaacttg
121 ggctaaatacc ggatacgtgc gagagcagaa agatttatcg ccgaaggatc gggcccgctc
181 cgatttagcta gttgggtgagg taaaactca ccaaggcgcac gatcggttagc tggtcttaga
241 ggatgtatgg ccacactggg actggacacg gggccagact cctacgggg ggcgtgtagt
301 ggaatatttgc acaatggcg aaaaactgtatcc cccgtatgc cccgtgtagt atgaaggccc
361 taggggttgc aagcttttc gccaggacgataatgcggg tacctggata agaagcccc
421 gctaacttcg tgccacgtgc cccgttata cgaaggggggc tagcgttgtt cggattact
481 gggcgtaaaggc cgcacgttgc cggattttta agtcagggtt gaaatccaa ggctcaac
541 tggaaacttgc tttgtatactg gaagtctcgat gttccgggaga ggtgagtgg actgcgtgt
601 taggggtgaa attcgtatg attcgtcaaga acaccatgtt cggaaaggccg tcactggccc
661 ggtactgcg ctgagggtgc aaaggctggg gggcaaaacag gattagatac cctggtagtgc
721 cacgcgttaa actatggatc ctggcgatc gggcgatgtc tggcgttgc cggactaa
781 gcttaagca tcccgccctgg ggatgtatgc cggcaagat aactcaaa gattgacgg
841 gggcccgac aacgcgttgc gcatgttgtt taattcgaag caacgcgca aacccatcca
901 gctttgaca tggccgtt gatgccaga gatggcttc tcccgcaag gggccgggtgc
961 acagggtctg catggcttc gtcagctgt gtcgttagat gttgggtt gttccgcac
1021 gaggcgaacc ctcggccctt gttccatca ttaagggtgg cactctagg ggtactggcc
1081 tgataaggcgtt gggggatgtt gggatgtatgc tcaacttgc ctttgcctt caggctgggc
1141 tacacacgtt ctacaatggc ggtgacaaatg ggtgtggaa gggcgaccc gagcaat
1201 caaaaaggcc tctcgttgc gatttgcactc tgcacactgat gttcatgaaat gttggaaatc
1261 tagataatcgc agatcgcac gtcgttgc gataacttgc cccgttgc cacaccgc
1321 gtcacaccat gggggatgtt tttacccgaa gggcgatgttgc caaccgcac gggcgaggc
1381 accacggtagt ggt

Tab. 93: DNA-Sequenz von *Methylocystis echinoides* 2 aus der Datenbank BLAST

<i>Methylosinus trichosporium</i> 16S rRNA gene, strain KS21
Acessions-Nr.: AJ431385.2

Taxonomie:

Bacteria; Proteobacteria; Alphaproteobacteria; Rhizobiales; Methylocystaceae; *Methylosinus*

Origin:

1 gaacgcgttgc ggcagggttta acacatgc gtcgaacgccc ccgcacgggg agtggcagac
61 ggggtgatgttgc cgcgtggaa cgtggccctt gtttgcgtt aactcaggaa aacttgcgtt
121 aataccggat acgtgcgaga gcagaaatgtt tttatgcggca aggatcggcc cccgtccgt

181	tagcttagttg gtgaggtaat ggctcaccaaa ggcgacgatc ggttagcttgt ctgagaggat
241	gatcagccac attgggactg agacacggcc caaactccta cgggaggcag cagtggggaa
301	tattggacaa tgggcgaag cctgatccag ccatgcccg tgagtgtatga aggcccctagg
361	gtttaaagtc tcttcgccta gggacgataa tgacggtacc tggataagaa gccccggcta
421	acttcgtgcg acgagcccg gtaatacgaa gggggctagc gttgttcgga atcactgggc
481	gtaaagcgca cgtaggcgga tcttaaagtc aggggtgaaa tcccggatc caacctcgga
541	actgccttg atactggagg tctcgagtcc gggagaggat agtggaaactt gcgagtgtag
601	aggtaaactt cgtagatatt cgcaagaaca ccagtggcg aaggccgtca ctggcccgaa
661	actgacgctg aggtgcgaaa gctgtgggg caaacaggat tagataccct ggtagttccac
721	gcccggtaaagc atggatgtca gccgttgggg agcttgcct tcagtggcg agctaacgct
781	ttaaagcatcc cgccgtgggg gtaacgtcg aagataaaaa ctcaaaggaa ttgacgggg
841	ccccgacaag cggtggagca tgggtttaa ttcaagcaaa cgcgcagaac cttaccagct
901	tttgacatgt ccagtatgtt cgccagatg ggcttccttc ccgcaagggg ctgaaacaca
961	ggtgctgcat ggctgtcgtc agctgtgtc gtgagatgtt gggtaagtc ccgcaacgag
1021	cgcaaccctc gcccttagt gccatcattc agttgggcac tctaggggg ctgcccgtgaa
1081	taagccgcga ggaagggtggg gatggatc agtccatcg gcccctacag gctgggtac
1141	acacgtgtca caatggggt gacaatggga tggtaagggg cgaccctcg ccaatctcaa
1201	aaaggctct cagttcggt tgactctgc aactcgatg catgaaggta gaatcgtag
1261	taatcgaga tcacgacgtc ggggtgataa ctttgcatac accggccgtc
1321	acaccatggg agttggctt acccgaaaggc gtttcgttaa ccgcaaggag gcagacgacc
1381	acggtaggtt cagcgactgg ggtt

Tab. 94: DNA-Sequenz von *Methylosinus trichosporium* KS21 aus der Datenbank BLAST

<i>Microbacterium lacus</i> partial 16S rRNA gene, strain R-43968	
Accessions-Nr.: FR691402.1	

Taxonomie:

Bacteria; Actinobacteria; Actinobacteridae; Actinomycetales; Micrococcineae; Microbacteriaceae; *Microbacterium*

Origin:

1	gatgaacgt ggcggcgtgc ttaacacatg caagtcgaac ggtgaaagag agttgtct
61	ctggatcagt ggcgaacggg tgagtaacac gtgagcaatc tgccctgtac tctggataa
121	gcgctggaaa cggcgcttaa taccggatac gagctgcgaa ggcacatctca gcagctggaa
181	agaacttcgg tcagggatga gctcgccgc tatcagtag ttggtgagg aatggctcac
241	caaggcgtcg acgggtagcc ggcctgagag ggtgaccggc cacactggga ctgagacac
301	gccccagactc ctacgggggg cagcaatggg gaatattgca caatgggcgc aagcctgtat
361	cagcaacgccc gctgtgggg cgcggccctt cgggtgtaa acctcttttgc gcaaggaaaga
421	agcgaagatg acggtagctc cagaaaaaaggc accggtaac tacgtggccag cagccgggt
481	aatacgttagg gtcaagcgatc tatccggat tattgggggt aaagagctcg taggcgggtt
541	gtcgcgtctg ctgtgaaaac tgggggtca acccccgacc tgcaatgggtt acgggcac
601	tagagtgcgg tagggggat tggatttctt ggttagcgg tggatgcgc agatatcagg
661	aggaacaccg atggcgaagg cagatctctg gcccgttaact gacgctgagg agcgaaaagg
721	tggggagcaa acaggcttag ataccctgtt agtccatcccc gtaaacgtttt ggaacttagt
781	gtgggggttca ttccacggat tccgtgcgc agtaacgc ttaagttccc cgcctgggg
841	tgacggccgc aaggctaaaaa ctcaaaaggaa ttgacggggg cccgcacaag cggcggagca
901	tgccgattaa ttccgtcaaa cgcgaagaaac cttaccaagg cttgacatatac acgagaacgg
961	gccagaaatg gtcaactctt tggacactcg taaacaggat gtcgtatgtt gtcgtcagct
1021	cgtgtcgtca gatgttgggt taagtcccgca aacgagcgca accctcgatc tatgttcca
1081	gcacgtaatg gtggaaactc atggataact gccgggtca actcggagga aggtggggat
1141	gacgtcaat catcatgccc ctatgttctt gggcttacgc catgtacaa tggccggatc
1201	aaagggtctc aataccgtaa ggtggagcgaa atccaaaaaa gccgggtccca gttcggtt
1261	aggctgtcaaa ctgcacccca tgaatcggtt gtcgtctgtt atcgcagatc agcaacgct
1321	cgttgaataac gttccgggtt ctgttacaca ccggccgtca atgtatgaaa gtcgttaaca
1381	ccttgcggccaa ctttgcgttggq gggccgtcg aaggtggat cggtaattag
1441	gactaagtgc taacaaggta gccgtaccgg aagg

Tab. 95: DNA-Sequenz von *Microbacterium lacus* R-43968 aus der Datenbank BLAST

<i>Microbacterium oxydans</i> strain IARI-K-83 16S ribosomal RNA gene, partial sequence	
Accessions-Nr.: JN411364.1	

Taxonomie:

Bacteria; Actinobacteria; Actinobacteridae; Actinomycetales; Micrococcineae; Microbacteriaceae; *Microbacterium*

Origin:

1	gtggcgaacg ggtgagtaac acgtggcaaa cctgccccctg actctgggtt aagcgtggaa
61	aacggcgtct aatactggat atgtgacgtt accgcattgtt ctgcgtctgg aaagaatttc
121	gggtggggat gggctcgccg cctatcgatg tgggtgtggat gtaatggctt accaaggcgt
181	cgacgggttgc cggccctgatg aggggtgaccgc gccacactgg gactgagaca cggcccgac
241	tccatcggttgc ggcacgttgc gggatatttgc cacaatgggc gcaaggcttgc tgcaac
301	ccgcgttgcgg gacgacggcc ttccgggttgc aaaccttttgc tagcaggaa gaagcggaa
361	tgacgggttgc tgcagaaaaa ggcggccgttactacgttgc accgcgttgc gtaatacgat
421	ggggcgcaaggc gtatccggat atttgggc gtaaaaggatc cgttggcgat ttgtcggttgc
481	tgctgtgaaa tccggggatc caacccggat cctgcgttgc gttacggggatc actagatgtc
541	ggttagggggatc atttggatc ctgggttgc ggttggatgc gcaatatac gggggac
601	cgatggcgaa ggcggatcttcc tggccgttactacgttgc gggccggaa ggtggggatc
661	aaacaggcttgc agatacccttgc tggatgttgc ccttgcgttgc tggggacttgc ttgtggggatc
721	cattccacggg attcgttgc gcaatgttgc cattaaatgc cccgcctggg gatgtggggatc
781	gcaaggcttgc aactcaaaaggc aatttgcggg gacccggccaa gccggccggatc catgcggat
841	aatttgcgttgc aacggcgaa gcttaccaaa ggttgcgttgc atacgttgc gggccggaa

```
901 tggcaactc ttggacact cgtaaacagg tggtcatgg ttgtcgtag ctctgtcg  
961 gagatgtgg gttaagtccc gcaacgagcg caaccctcg tctatgttgc cagcacgtaa  
1021 tggggaaac tcatggata ctgggggtt caactcgag gaaggtgggg atgacgtcaa  
1081 atcatatgc ccctatgtc ttggcttca cgcatgtac aatggccgtt acaaagggtt  
1141 gcaataccgg gaggtggagc gaatccaaa aagccgtcc cagttcgat tgaggctcgc  
1201 aactcgacct catgaatcg gagtcgttag taatcgaga tcagcaacgta tgccgtgaat  
1261 acgttcccggtt ctctgtaca caccggccgtt ctttcatga aa
```

Tab. 96: DNA-Sequenz von *Microbacterium oxydans* IARI-K-83 aus der Datenbank BLAST

Tab. 97: DNA-Sequenz von *Microbacterium oxydans* strain O-5 aus der Datenbank BLAST

Microbacterium paraoxydans strain 3200 16S ribosomal RNA gene, partial sequence
Accessions-Nr.: EU714356.1
Taxonomie:
Bacteria; Actinobacteria; Actinobacteridae; Actinomycetales; Micrococcineae; Microbacteriaceae; *Microbacterium*
Origin:
1 gatgaacgct ggccggcgtgc ttaacacatg caagtcgaac ggtgaacacg gagcttgctc
61 tgtggatca gtggcgaacg ggtgagtaac acgtgagcaa cctggccctg actctggat
121 aagcgcttga aacggcgct aatactggat atgtacgtg accgcattgt ctgcgttgg
181 aaagatttt cggttgggaa tgggctcgcg gcatttcgc ttgttgtga ggtaatgtt
241 caccaaggcg tcgacgggta gcccggctga gagggtgacc ggccacactg ggactgagac
301 acggcccaga ctcc tacggg aggccaggat gggaaatatt gcacaatggg cgcaagctg
361 atgcagcaac gccgcgttag ggtacgcggc ctccgggtt taaaacctttt ttagcaggga
421 agaaggaaaaa gtgacggtagt ctgcagaaaaa agccgggtt aactacgtgc cagcagccgc
481 gtaatacgt agggccga cgttatccgg aattattggg ctgtaaagagc tcgttaggggg
541 ttgtcgcgt ctgtgtgaa atcccgaggc tcaaccctgg gcgtcgtgc ggtacggca
601 gactagagtgc cggttagggaa gattggaaatt cctgggttag cggtggaaatgcgcagatc
661 aggaggaaca ccgatggcga aggcagatct ctggggcgta actgacgcgtg aggagcggaaa
721 gggtggggag caaacaggct tagataccct ggtatccac cccgtaaacg ttgggaaacta
781 gttgtgggggt ccattccacg gattccgtga cgcgcgttgc gcattaagtt ccccgccctgg
841 ggagtacggc cgcaaggctaaactcaaag gaattggacgg ggacccgcac aagcggccga
901 gcatgcgtat taatccgtt caacgcggaa aacccatcca aggttgcata tatacgagaa
961 cgggcccggaaa atggtaact cttggacac tgcgtaaacag gtggtgcatg gttgtcgca
1021 gtcgtgtcg tgagatgtt ggttaagtcc cgcacgcgc gcaaccctcg ttctatgtt
1081 ccagcacgtaaatggggaa ctcatggat actgcgggg tcaactcgga ggaagggtgg
1141 gatgacgtca aatcatcatg ccccttatgt cttggcgtt acgcgttgcata caatggccgg
1201 tacaaggcgtca tgcaataccg tgagggtggag cgaatccaa aaagccggc tccagttcgga
1261 ttgagggtctg caactcgacc tcatgaatgc ggaggcgttgcata gtaatcgacg atcagcaacg
1321 ctgcgttgcatacgttcccg ggttgcgttgcata acacccggc tcaagtcatg aaagtcgttgc
1381 acacccgttgcatacgttgcata aacccttgcgttgc gaggaggcgttgc tcaagggtgg gatcgggtt
1441 taggactaaatgcgttgcata aacccgttgcata cggaaagggtgg

Tab. 98: DNA-Sequenz von *Microbacterium paraoxydans* 3200 aus der Datenbank BLAST

Micrococcus spec. HEXBA04 16S ribosomal RNA gene, partial sequence
Accessions-Nr.: JQ658423.1

Origin:
1 agatgaacg ctggccgcgt gcttaaacaca tgcaagtcga acgtgaagc ccagcttgc
61 gggtgattta gtggcgaacg ggtgagtaac acgtgagtaa cctgccccta actctggat
121 aaggctggaa aactgggtct aataccggat aggagcgtcc accgcatggt gggtgttggaa
181 aagattatac gggtttggat ggactcgccg cctatcgatc tgggtgttag gtaatggctc
241 accaaggcga cgacgggtag cggcggcttag agggtgaccg gccacactgg gactggagaca
301 cggcccgacg tcctacggaa ggcacgatc gggaaatattt cacaatggcc gaaaggcgttga
361 tgcacgcacg ccgcgtgagg gatgacggcc ttccgggttgc aaacctctt cgttagggaa
421 gaagcggaaag tgacggtacc tgacagaagaa gcacccgcta actacgtgcc agcagccgcg
481 gtaatacgta ggggtgcgagc gttatccgga attattggc gtaaagagct cgtaggcggt
541 ttgtcgcgtc tgtcgtgaaa gtcggggct taacccggaa tctgcgggtgg gtacgggcag
601 actagagtgc agtagggggag actggaaatc ctgggttagc ggtggaaatgc gcagatatac
661 ggaggaacac cgatggcgaa ggcacgttc tgggtgtaa ctgacgtga ggagcggaaag
721 catggggacgaa acaggatt agataccctt gtatcgatc cgttaaacatc tgggcacttgc
781 gtgtggggac cattccacgg ttcccgccg cgcactaaacg cattaagtgc cccgcgttgg
841 gagtacggcc gcaaggctaa aactcaaagg aatttgacggg ggcggccaca agecgccggag
901 catgcggatt aattcgatgc aacgcgaaga accttaccaa ggcttgacat gtttcgatc
961 gccgtagaga tacggttcc cctttggggc gggttcacag gtggtcatc gttgtcgatc
1021 gctctgtcg tgagatgttgc ggttaagtcc cgcaacgcgc gcaaccctcg ttccatgttgc
1081 ccagcacta atgggtggga ctcatgggg actgcgggg tcaactcgatc ggaagggttag
1141 gacgacgtca aatcatcgatc cccctttagt cttgggttc acgcatgtca caatggccgg
1201 tacaatgggt tgcgatcact tgagggtggat ctaatccaa aaagccgtc tcaatcgatc
1261 ttggggctcg caactcgacc ccatgaatc ggatcgctca gtaatcgatc atcagcaacg
1321 ctgcgtgaa tacgttcccg ggccttgcac acacccggcc tcaactcgatc aagttggta
1381 acacccgaag ccggggccctt aacccttgc gggggagccg tcgaa

Tab. 99: DNA-Sequenz von *Micrococcus* spec. HEXBA04 aus der Datenbank BLAST

Mycobacterium spec. S061 16S ribosomal RNA gene, partial sequence
Accessions-Nr.: FJ544445.1

Taxonomie:
Bacteria; Actinobacteria; Actinobacteridae; Actinomycetales; Corynebacterineae; Mycobacteriaceae; *Mycobacterium*

Origin:

```
1 cgaacgctgg cggcgtgctt aacacatgca agtcgaacgg taaggccctt cgggg tacac
 61 gagttggcgaa cgggtgagta acacgtgggt gatctgcctt gcacttcggg ataaggctgg
121 gaaactgggt ctaataccgg atatgaccat ggcgttacgg gtgtgtggg gaaagctttt
181 gcgggtgtggg atggggccgc ggcctatcag ctgttgtggg gggtaatggc ctaccaaggc
241 gacgacgggt agccggcctg agagggtgtc cggccacact gggactgaga tacggcccag
301 actcttacgg gaggcagcag tggggaatat tgcaaatgg ggcgaaggct gatgcagcga
361 cggcggcgtgg gggatggcagg cttctgggtt gtaaacctt ttcaagttaggg acgaaggcga
421 agtgcacggta cttacagaag aagcacccggc caactacgtg ccacgcggc cggtaatagc
481 tagggtgcga gctgttccg gaattactgg gctgttaaagag ctgttaggtg gtttgtcgcg
541 ttgttcgtga aatctcacag cttaactgtg agcgtgcgag cgatacggc agactggagt
601 actgcagggg agactggaaat tcctggtgta acgggtggaaat ggcgcagatataat caggagggaaac
661 accggcgtggcg aaggccgggtc tctgggcagt aactgacgct gaggagcgaat agcgtggggaa
721 ggcgcacaggaa tttagatacc tggtagtcca cggcgttaaagt ggtgggtact aggtgtgggt
781 ttccccctt ggatggccgtg cctgttagtcaa cgcattaaagt accccgcctg gggagttacgg
841 cccgcacaggct aaaaactcaaa gaaaattgacg gggggccgc caagcnacgg agcatgggt
901 taattnqatq qaaqqcqaaa
```

Tab. 100: DNA-Sequenz von *Mycobacterium* spec. S061 aus der Datenbank BLAST

Mycobacterium spec. 12/13.28 AW partial 16S rRNA gene
Accessions-Nr.: HE575946.1
Taxonomie:
Bacteria; Actinobacteria; Actinobacteridae; Actinomycetales; Corynebacterineae; Mycobacteriaceae; *Mycobacterium*
Origin:
1 aacgctggcg gcgtgcttaa cacatgcaag tcgaacggaa aggccttcg gggtaactcga
61 gtggcgaacg ggtgagtaac acgtgggtga tctgcgcctcg acttggat aagcctggga
121 aactgggtct aataccggat atacctcatg gactgcatgg ttgtgggg aaagcttttg
181 cgggtgggaa tggggcccgcc gcctatcgc ttgtgggtga gggtatggct taccaggcg
241 acgacgggta gccggcctga gagggtgacc ggccacactg ggactgagat acggcccaga
301 ctcttacggg aggacgacagt ggggaatatt gcacaatggg cgcaagcctg atgcagcgc
361 gcccgttag ggtatgacggc cttcggttgc taaaccttgc tcagcaggaa cgaagcgc
421 gtgacggtagt ctgttagaaga aggaccggcc aactacgtgc cagcagccgc ggtaatacg
481 aggtcccgag ctgtgtccgg aattactggg cgttaaagagc tcgtangtgg tttgtcgctg
541 tggtcgtgaa aactcacaggc tcaactgttgc gcgtgcgggc gataccggca gacttgatg
601 ctgcaggggaa gactggaaatt cttgtgttag cgggtggatgc cggatatac aggaggaa
661 ccgtggcgaa gggccgggtct cttggcggatc actgacgctg aggagcggaaa gcgtgggg
721 cgaacaggat tagataccct ggtatgtccac gcccgtaaacq gtgggtacta ggtgtgggt
781 tccttccttg ggatccgtgc cgtatgttgc acgtatgttgc ccccgccctgg ggagtacggc
841 cgcaaggcta aaactcaaag aaatttgacgg gggcccgac aagcggcggaa gcatgtggat
901 taatttcgtatc caacgcgaaag aacccttaccc gggtttgaca tgacaggac gtgcctag
961 ataggatcccttgcgtggcc tggatgtggcc tggatgtggcc tggatgtggcc tggatgtggcc
1021 gagatgttgg gtaatgttccgc gcaacggcgc caacccttgc ctatgttgc cagcgtgt
1081 tggccggggac tggatgtggcc tggatgtggcc tggatgtggcc tggatgtggcc tggatgtggcc
1141 qtcatcatgc cccttatgtc caggqctca cacaatgttgc aatggccatg acaaaaggct

```
1201 gcgatgccgt gaggtggagc gaatcccttc aaagccggtc tcagttcggaa tcggggctcgt  
1261 caactcgacc ccgtgaagtc ggagtcgcta gtaatcgcag atcagcaacg ctgcgggtgaa  
1321 tacgttccccg ggccttgac acaccggcccg tcacgtcatg aaagtccgta acaccggaaag  
1381 ccggtgtggct aacccttgt gggaggggagc cgtcgaaggt gggat
```

Tab. 101: DNA-Sequenz von *Mycobacterium* spec. 12/13.28 AW aus der Datenbank BLAST

Tab. 102: DNA-Sequenz von *Naegleria* spec. SUM3V/I aus der Datenbank BLAST

<i>Pantoea agglomerans</i> strain CE21 16S ribosomal RNA gene, partial sequence Accessions-Nr.: JN084142.1
Taxonomie: Bacteria; Proteobacteria; Gammaproteobacteria; Enterobacteriales; Enterobacteriaceae; <i>Pantoea</i>
Origin: 1 qqgtqacgag tggcggacgg ataaatgtatq tctggggatc tqccccataq aqggggataa

Tab. 103: DNA-Sequenz von *Pantoea agglomerans* CE21 aus der Datenbank BLAST

Pedomicrobium fusiforme partial 16S rRNA gene, strain DSM 5304 (Organism: *Filomicrombium fusiforme*)
Accessions-Nr.: Y14313.1

Bacteria: Proteobacteria: Alphaproteobacteria: Rhizobiales: Hyphomicrobiaceae: *Filomicrobium*

Bacteria; Proteobacteria; Alphaproteobacteria; Rhizobiales; Hyphomicrobiaceae; Hyphomicrobium

Origin.
1

1 cagaacgaaac gctggccgca 9gccltaaacat atgcaagtcg aacggccctag caataaggag
61 tggcagacgg gtgagtagcg cgtggaaacc taccttgg taggaataa ctggggaaaa
121 ccggctgttaa taccgttataa ggcccggaggg gggaaatgtt atcgcattta gatggggcccg
181 cgtcgattt gctagtgttgg gaggtaatgg ctcaccagg cgacgatccg tagctggct
241 gagaggatga tcagccacac tgggactgag acacggccca gactctacg ggaggcagca
301 gtggggataa ttggacaatg ggcgaaagcc tgatccagcc atggcccggt agtgacgaaag
361 gccttaggtt tgtaaaagctc ttggccggg gacgataatg acggatcccc cagaataaagc
421 cccggcttaac ttcgtgcccag cagccgggtt aatacgaagg gggtagcg tttttggggat
481 cactggggctt aaagcgcacg tagggcgatt ttgttagtcg gggtagaaatc cccggggctca
541 acctcgaaac tggctctgtat actgaaatgc tcgactccga gagaggtag tggaaatccct
601 agtgttaggg tgaaaattcgt agatattagg aagaacacca gtggcgaagg cggctcaactg
661 gctcggtact gacgctgaag tgcgaaagcg tggggagca acaggattag ataccctgtt
721 agtccacccgc gtaaaacgatg gatgctagcc gtcggcaagc ttgttgcgtc gtggcgcagc
781 taacgcattt agcacccgcg ctggggatgtt cggcccaag gttaaaactc aaaggaaattg
841 acggggggccca gcacaaggcg tgggatgtt ggtttatttc gatgcacacgc gaaaggaaatc
901 accagctttt gacattcaact gaccgtttcc agagatggat tcatcttcactg aataggcagt
961 gggacagggtt ctgcattgtt gtcgtcactg cgtgtcgtga gatgttgggt taagtcccg
1021 aacgagcgca accctcgcca ttagttgcac gcattttactt gggactcta gtgggactgc
1081 cggtgataag cccggaaagag gtggggatgtt cgtcaactt tcatggccct tacgggctgg
1141 gctacacacg tgctacaatg gcagtgcacaa tgggttataatc ccaaaaaact gtctcagttc
1201 ggatgggttt ctgcacactcg aaacatgtt gttggaaatcg ctgtatccatcg cggatcagca
1261 tgcgcgggtt aatacgttcc cggggcttgc acacccgcg cgtcacccca tgggagttgg
1321 ttttaccggca agacggcgcc ctaaccgcg aggaggcag cctggccacgg taaggcgc
1381 qactqqqgtt aqgtcgtaac aaqgtqccq

Tab. 104: DNA-Sequenz von *Pedomicrobium fusiforme* DSM 5304 aus der Datenbank BLAST

Pedomicrobium manganeseum strain ATCC 33121 16S ribosomal RNA gene, partial sequence
Accessions-Nr.: GU269549.1

Taxonomie:
Bacteria; Proteobacteria; Alphaproteobacteria; Rhizobiales; Hyphomicrobiaceae; *Pedomicrobium*

Bacteria, Proteobacteria, Alpha-proteobacteria, Rhizobiales, Hyphomicrobiaceae, Hyphomicrobium
Origin:

Origin.
1

1 tccatgggtca gaacgcacgc tggcgcgagg cctlaacacal gcaatgcaga cgcccccagca
61 atggagagtgc cgacagcggt gagtaacgcg tgggaacacctt ccctatggtt cggatagct
121 caggggaaacc tggggtaataa cccgtaaagc cttctgggggg aaagatttat cggcatttgga
181 tgggcccgcg taggatttagc tagtttgta ggtaacgcgt caccaggcgc acgatccta
241 gctggctga gaggatgatc agccacactg ggactgagac acggccccaga ctcttacggg
301 aggacgcagt ggggaattt ggacaatggg cgaaaagctg atccacccat gccgcgttag
361 tgacgaaggc ctttagggtt taaaactt ttggcgggga agataatgc ggtacccgc
421 gaataagctc cggcttaactt cgtgcccagca gccgcgttaa tacgaagggg gtcagctgtt
481 ttccgaatcta ctggggctaa agcgcacgtc ggcggattgt ttatgcaggg gtgaaatccc
541 ggggctcaac ctccggaaactg cctttgatac ttggcaatctc gagtccgata gaggtgggtg
601 gaattcctag tgttagggt aaattcgtag atatttagaa gaacaccggc ggcgaaggcg
661 gcccactggc tcgggtactga cgctgagggt cgaaaagctg ggggacaaac aggattagat
721 accctggtag tccacggccgt aaacgatgta tgctgacgcgt cagcaagcat gcttgttggt
781 ggcgcagcta acgcattaaag catccgcgtt gggggatcgc gccgcagggt taaaactcaa
841 aaaaatttgcg gggggcccgcc acaacgggtt gggatgtgg ftttaatcga cggcaacgcg

901	agaaccttac cagcccttga catgcccggc cggtttccag agatggattc ctcctagcaa
961	tagtgcggg cacagggtgt gcatggctgt cgtcagctcg tgcgtgaga tggtgggta
1021	agtccccaa cgagcgaac cctcgccatt agtgccatc atttagttgg gcactctgt
1081	gggactgccc gtgataagcc ggaggaaagggt ggggatgacg tcaagtcata atggccctta
1141	cgggctgggg tacacacgtg ctacaatggc ggtgacgtg ggcagccacc cagcgatggg
1201	gagctaatac caaaaagccg tctcgttgc gattggggta tgcaactcga ccccatgaag
1261	tcggaatcgc tagaatcgc ggatcagcac gccgcccgtga atacgttccc gggccttgc
1321	cacaccgccc gtacacccat gggagttgtt ttacccgaa gacggcgcg taaccgcaag
1381	gaggcagccg gccacggtaa

Tab. 105: DNA-Sequenz von *Pedomicrobium manganicum* ATCC 33121 aus der Datenbank BLAST

<i>Pelomonas saccharophila</i> gene for 16S rRNA, partial sequence, strain: NBRC 103037	
Accessions-Nr.: AB681917.1	

Taxonomie:

Bacteria; Proteobacteria; Betaproteobacteria; Burkholderiales; Comamonadaceae; *Pelomonas*

Origin:

1	attgaacgct ggcggcatgc cttacacatg caagtcaaac ggttaacaggta taagctgacg
61	agtggcgaac gggtgagtaa tatatcgaa cgtgcccagt cgtggggat aactgctcga
121	aagagcagct aataccgcatt acgacccgtg ggtgaaagcg ggggatcgc aagacctcgc
181	cgattggggc ggcggatatac agatggtaa gtgtggggtaaaggccca ccaaggccaa
241	gatctgttgc tggctgaga ggacgaccag ccacactggg actgagacac ggcccagact
301	cctacggggc gcacgttgc ggaaatggc acaatggcg cagcctgtat ccagccatgc
361	cgcgtgcggg aagaaggct tcgggttgc aaccgtttt gtcaggaaag aaaaggttct
421	ggttaatacc tgggactcat gacggtaacct gaagaataag caccggctaa ctacgtgc
481	gcagccgcgg taatacgtt ggtcaagcg ttaatcgaa ttactggcg taaagcgtgc
541	gcaggcgtt atgcaagaca gaggttaat ccccggtc aacctgggaa ctgcctttgt
601	gactgcatac cttagatgtc gttaggggg attgaatttc gctgttagca gtgaaatgcg
661	tagatatgcg gaggaaacacc gatggcgaag gcaatcccgtt ggcacgttac tgacgcgtcat
721	gcacgaaaggc gtggggggca aacaggattata gataccctgg tagtccacgc cctaaacgtat
781	gtcaactgggtt gtttttctc agtaacgtt ctaacgcgtt aagttgaccg
841	cctggggagt acggcccaaa gggtttaact caaaggaaattt gacggggacc cgcacaagcg
901	gtggatgtat tggtaattt cgtatcaacg cggaaaaccc tacctaccat tgacatgc
961	ggaatcctga agagattgg gagtgcgtca aagagaaccc ggcacacagg gctgcattgc
1021	cgtcgctcgc tgcgtgttgc agatgttggg ttaatggccgc aacgcgcgc aacccttgc
1081	attagttgttgc acggaaaggcc actctaataatgc gactgcgttgc gacaaacccgg aggaagggtgg
1141	ggatgcgtc aggtcatcat ggcctttagt ggtggggtaa cacaatgc tacaatggcg
1201	ggacagagggtt ctgcacccca ggcggggggtaa gctaattccca gaaacccggc cgtatgc
1261	atcgatgttgc gcaactcgac tgcgttgcgttccgaaatccgcg agtaatgc gatcgttgc
1321	ccgcgggttac gatgttccgc ggtttgttgc acaccggcc tcacaccatg ggacgggtt
1381	ctgcacccaaatggc tagtttgttgc aaccgcagg aggccgatccacccgg gttcgtact
1441	gggggttgc

Tab. 106: DNA-Sequenz von *Pelomonas saccharophila* NBRC 103037 aus der Datenbank BLAST

<i>Phoma</i> spec. ZHA 18S ribosomal RNA gene, partial sequence	
Accessions-Nr.: JQ838011.1	

Taxonomie:

Eukaryota; Fungi; Dikarya; Ascomycota; Pezizomycotina; Dothideomycetes; Pleosporomycetidae; Pleosporales; Pleopsporinae; Didymellaceae; mitosporic Didymellaceae; *Phoma*

Origin:

1	tgcgtatgttgc agtataagca ttataccgtt aaactgcgaa tggctcatta aatcaggat
61	cgtttatgg atagttaccc ttactacttgc taaccgttgc aattcttagat ctaatacatgc
121	ctgaaaaccc caaattccggg aggggtgttat ttattagata aaaaaccaac gcccctcggg
181	gtttcttgcgtt gattcatgtt aacttccggg atcgcatggc cttgcgcggg cgacgggttc
241	ttcaattttc tgcctatca acttccgtt gtaagggtt ggcttaccat ggttcaacgc
301	ggtaacgggg aatttaggggtt cgattccggg gaggggccctt gagaacgcgc taccacatcc
361	aaggaaaggca gcaggcgcgc aatttccca atccgcacac ggggaggtag tgacaataat
421	tactgatatac gggctttttt gggcttgcgtt attggatgcgtt gatcaattttt aacctttaa
481	cgaggaacaa ttggaggggca agtctgttgc cagcagccgc ggttattccca gctccaatag
541	cgtatattaa agttgttgc gttaaaaaggc tcgtatgttgc aacttggcc tggctggc
601	gtccgcctca ccgcgttgc ttgtccggcc gggccttcc ttctggagaa cctcatgc
661	tccactgggtt gttttggggca accaggactt ttacttgcgaa aaaaatttagatg tggcaaaacgc
721	aggcccttgc tcaataatgc tagcatggaa taatagaata ggcgtgcggg tccttattttt
781	ttgggttctca ggacggccgtt aatgattataggccatca gggggccatca gtattcaatt
841	gtcagagggtt aatttctgg atttattggaa gactaactac tcgcggaa gtttgc
901	atgttttcat taatcgttgc acgaaaggta ggggatcggaa gacgatcaga taccgtcgta
961	gtcttaaccgc taaaactatgc cgactaggaa tcggccgtt ttcttttgc gactcgctcg
1021	gcacccatgc agaaatccaa gttttgggtt tctggggggta gatggcgc aaggctgaaa
1081	cttaaagaaa ttggacggaa ggcacccca ggcgtggagc ctgcggctt atttgactca
1141	acacggggaa actcaccagg tccatgttgc aataggatttgc acagatttgc agtcttttc
1201	tgatgtttca ggtgggtgttgc catggccgtt cttagtgggtt ggggttgcgtt
1261	ttgcgataac gaacgagacc ttaaccgttgc aaatagccgc gctatgttgc gctggc
1321	gggttcttag agggactatc ggctcaagcc gatggatgtt tgaggcaata acaggttgc
1381	gatccctta gatgttccgg gcccacgcg cgttactgtt acagagccaa cgagtttgc
1441	acccggccg gaaaggctgg gtaatctgtt taaactctgtt cgtgttgc gttcgtact
1501	gcaattatttg ctcttcaacg aggaatgcgc agtaacgcgc atgcgttgc

1561 tacgtccctg ccctttgtac acaccggccg tgcgtactac cgattgaatg gtcgtcgag
1621 gcctccggac tggctcgaa aggttggcaa cgaccactc gagccggaaa gctggtaaa
1681 ctcggtcatt agagaaataa aaattttt

Tab. 107: DNA-Sequenz von *Phoma* spec. ZHA aus der Datenbank BLAST

<i>Photobacterium</i> spec. HAR72 gene for 16S rRNA, partial sequence Accessions-Nr.: AB038032.1

Taxonomie:
Bacteria; Proteobacteria; Gammaproteobacteria; Vibrionales; Vibrionaceae; *Photobacterium*

Origin:

```

1 aagagtttga tcatggctca gattgaacgc tggcggcagg cctaacacat gcaagtgcag
61 cggtaacaga aaagagcttg ctctttgtc gacgagcggc ggacgggtga gtaatgcctg
121 ggaatatgcc ctgtatgggg ggataactat tgaaaacgat agctaataacc gcataatctc
181 ttccggagcaa agagggggac ctccggccct ctcgcgtcag gatttagccca ggtgggattt
241 gctgttgttggggatgg ctccacaaagg cgacgatccc tagctggctt gagaggatga
301 tcagccacac tggaaactgg acacggctcca gactccatcg ggaggcagca gtggggata
361 ttgcacaatgg gggaaaccc ttagtgcggcc atgcccgtg tatgaagaag gccttcgggt
421 tggtaaagtac ttccgttgtt gaggaaaggcg ttggagttaa tagcttcagc gtttgacgtt
481 agcaacagaa gaagcacccg ctaactccgt gccagcagcc gccgttaatc ggagggtgcg
541 agcggttaatc gggtaatactg ggcgttaaagg gcatgcggc ggtctgttaa gcaagatgtg
601 aaaggccccggg gctcaacctc ggaacacgat ttgttaactgg cagactagag tctttagag
661 gggggtagaaat tttcagggtt agccggtaaa tgcgttagaga tctgtggaa taccgggtggc
721 gaaggcggcc cccctggacaa agactgcgc tcagatgcga aagcgtgggg agcaaacagg
781 attagataacc ctggtagtcc acggcgtaaa cgatgtctac ttggagggtt tggcctttag
841 ccgtggctt cggagctaac gcggttaaagg gaccgcctgg ggagtacggg cgcaagatta
901 aaactcaaat gaattgcacgg gggccgcac aagcgtggaa gcatgtgggt taattcgatg
961 caacgcgaag aaccttacct actcttgaca tccagagaat tcgcttagaga tagcttagtg
1021 ctttcggggaa ctctggaca ggtgtcgcat ggctgtcgctc agctcggtt gtgaaatgtt
1081 gggtaaagtcc cgcaacccgtt atctttttt gccagcacgt aatgggggaa
1141 actccaggaa gactgcgggt gataaaccgg aggaagggtgg ggacgcgtc aagtcatcat
1201 ggcctttagc agtagggcta cacacgtgt acaatggcgat atacagagggtt ctgcgtgt
1261 gcgatagtga gcaatccca caaagtacgt cgtatccgg attggaggct gcaactcgac
1321 tccatgaagt cggaaatcgct agtaatcgta aatcagaatg tcacgggtgaa tacgttccg
1381 ggccttgcgtac acacccggcc tcacaccatg ggagtgggtt gcaccagaag tagatagtt
1441 aacccctcggg agggcggttta ccacgggtgtt gttcatgact ggggtgaagt cgtaacaagg
1501 ta

```

Tab. 108: DNA-Sequenz von *Photobacterium* spec. HAR72 aus der Datenbank BLAST

<i>Pichia</i> spec. LHY1 18S ribosomal RNA gene, partial sequence Accessions-Nr.: EF119340.1

Taxonomie:

Eukaryota; Fungi; Dikarya; Ascomycota; Saccharomycotina; Saccharomycetes; Saccharomycetales; Pichiaceae; *Pichia*

Origin:

```

1 atgaaaaatc atgcttcggg ctcttgattt attcataata ctagtcgaat cgcatggctt
61 acgccccggcg atgatgcatt caaattctgc cctatcaact gtcgtatggta ggatagtggc
121 ctaccatg [gap 100 bp] Expand Ns
229 gc agcaggcgcc
241 caaattaccc aatcataatt cagggaggta gtgacaataa ataacgtatc agggcccttc
301 tgggtcttgc aatttggaaatg agtacaatgt aaataccatc acggagaaatc attggaggggc
361 aagtctgggtt ccagcagccg cggtaattcc agctccatc gcttatattt aagttgttgc
421 agttaaaaatc ctcgttagttt aacttgggc ctggcaggcc ggtccgtttt ttggcgagta
481 ctgaccctgc cggggcttc cttctcgatc acctccctc tggagaggcg aaccaggact
541 ttacttttgc aaaaatttgc gtttccaaatg cggccatcc ctcgaatata ttgcgttgc
601 ataatagaat aggacgtttt gtttccatgc gtttccatgc aggacatcg taatgttgc
661 tagggacggt cggggccatc agtatttgc tgcgttgc gaaattttt gattttacttgc
721 agactaacta ctgcgaaatc attttgcgcg gacgttttca ttaatcaaga acgaaatgtt
781 ggggatcgaa gatgtatcgc taccgtcgat gtttccatgc taaactatgc cgacttaggg
841 tcgggtgttgc tttttataat gactcactcg gcacccatgc agaaatcaaa gtctttgggt
901 tctggggggaa gtatggcgatc aagggtgaaa cttaaaggaa ttgacggaa ggcaccacca
961 ggagtggggcc ctgcggccatc atttgcgttgc acacggggaa actccacccgg tccagacaca
1021 ataaggatttgc acaggatgg agtcttttgc tttttttttt ggttgggtttt catggccgtt
1081 cttatgttttttgc ggttgggttttgc gtttccatgc gtttccatgc ttttttttttgc
1141 aataatcgccg actatgtttt gtttccatgc acgttttgc gtttccatgc ttttttttttgc
1201 tcgtatggaaatc ttgttggccatc taacggatgc ttttttttttgc ttttttttttgc
1261 cgcgttacac ttttttttttgc ttttttttttgc ttttttttttgc ttttttttttgc
1321 tggggggggcc ctgcggccatc atttgcgttgc acacggggaa actccacccgg tccagacaca
1381 tagtaatcgccg aatgtatcgc ttttttttttgc ttttttttttgc ttttttttttgc
1441 gtcgttacac ttttttttttgc ttttttttttgc ttttttttttgc ttttttttttgc
1501 actccctccctt ggaggccatc atttgcgttgc acacggggaa actccacccgg tccagacaca
1561 aacaagggtttt ccgttaggttgc acctgcggaa ggatcatttgc agaaccgtgg cctgcgttgc
1621 ttgcggccgtt ccaaccaata cacagtgtgt ttttttttttgc ttttttttttgc ttttttttttgc
1681 gttttaaaca cagaatatttgc ttttttttttgc ttttttttttgc ttttttttttgc ttttttttttgc
1741 cttcacatc

```

Tab. 109: DNA-Sequenz von *Pichia* spec. LHY1 aus der Datenbank BLAST

Proasellus slavus 18S ribosomal RNA gene, complete sequence (= *Proasellus cavaticus*)
Accessions-Nr.: AF496662.1

Taxonomie:

Eukaryota; Metazoa; Arthropoda; Crustacea; Malacostraca; Eumalacostraca; Peracarida; Isopoda; Asellota; Aselloidea; Asellidae; *Proasellus*

Origin:

```

1  gancctgcca gtngtcatat gcttgctca aagattaagc catgcgtc tcagtacagg
61  ctttctaag gcgaaaccgc gaatggctca ttaaatcagt catgattcat tagattaagc
121 caaaaattta cttggataac tgtggtaatt cttagagctaa tacatcaac tgagctccga
181 cccggccgtc agactggga agggcgctt ttagatca aaaaccaatc ggacctcggt
241 ccgtctcaa tgagttgg tgactgtaa taattttc cgagcgatc ggtcttagt
301 cccggccgt atcttcaag tgtctgcctt atcagcttc gattgttagt tatacgccct
361 caatggctgt aacgggtaa ggggaatcag gttcgttcc gggagggga gcctgagaaaa
421 cggctaccac atctaaggaa ggcagcaggc acgcaatc cccactccca gctcgcccc
481 gtagtgcga aaaataacga tgcgggactc ttccgaggcc tcgcaatcgg aatgaggta
541 cttaaatcc ttggacgagg atccactaga gggcaagtct ggtgccagca gccgcggtaa
601 ttccagctc agtagcgat attaaatgg ctgcgtttaa aaagctcgta gttggatctc
661 tgatggac cggccggcca ctcaggata gcctcgctg aaaaatggag ggcgtctacg
721 ttgcgtatcg cgcctcgac ggkcgccggc gcctcgatcg aggtgtgg cgcgttccga
781 acggggatca aacccgggtg cgtcgccggc tctcttacag gcccggtaa gatcccggt
841 gttcaactgc cggccggga ttgaaaatgc cgtcgctcg cacgggtgc tcttcacccg
901 gtgtcccgcg tggccgacaa gttcaacttg aaaaaattag agtgcctaaa gcaggcaaca
961 actcacgcct gaatgggtt gcatggaaatg atggAACAGG acctcggtt tggcccttta
1021 atgggtttc tgaacccgg gtaatgatca acggggaaacg acgggggcat tagattgc
1081 acgttagagg tgaattttt ggacccgtc aagactaact actgcgaaag catttgc当地
1141 gaatgtttt attaaatcaag aacggaaatgg agggatcg aaggcgatc ataccggcc
1201 agttctaacc ataaacgatc ctaactggcg atccgtcgcc gtcatccca cgactcgacg
1261 gggagcccc gggaaaccaa agtcttgc ttccggggg agtatgggg caaagctgaa
1321 acttaaaggaa attgacggaa gggcaccacc aggagggtggm cctgcgggtt aatttgc当地
1381 aacacggggg aactcaccag gcccggacac cggaaaggatt gacagattga gagctcttc
1441 ttgatccggg gggatgggtt gcatggccgt tcttagttt tggagcgatc tgcgtgggg
1501 attccgatcaa cgaacggac tctacttgc taacttagtgc tcggatcgatc tcccgccggg
1561 gaccatcccg aggttaacgc ctcccgtag ccccccggc tttgtcggt cgtcgccggc
1621 gctgggtca agttacgggt ggcgtctcg cgggtggc atccatgggg cgtccgtcgc
1681 agtacgtttt tagaggaaatc acgggggtcc acggcaccgc aatagagcaa taacaggctt
1741 gtgtatccct tagatgttct gggccgcacg cgcgttacaa tgaaggattc agcgtgtt
1801 ccccgcttgc aaagatccgg taacccgtt aactccctt ccgatgggg ttggggctt
1861 caattgtttc ccatgaacga ggaatttcca gtaaggcgaa gtcatcgatc tgcgttgatt
1921 acgtccctgc ctttgtaca cacccggcgct cgtactacc gattgaatga ttcagtggg
1981 gcatcggtt ggcgcctcg ttgtctcg ggttacgtc tcgagcgcct taggctgac
2041 gaaagatgtc cgaatgtatc catttagagg aagtaaaaatc cgtaacaagg tttccgtat
2101 gaaacctgcgg aagga

```

Tab. 110: DNA-Sequenz von *Proasellus slavus* / *Proasellus cavaticus* aus der Datenbank BLAST

Protacanthamoeba bohemica small subunit ribosomal RNA gene, complete sequence
Accessions-Nr.: AY960120.1

Taxonomie:

Eukaryota; Amoebozoa; Centramoebida; Acanthamoebidae; *Protacanthamoeba*

Origin:

```

1  gtgtcataat gcttgctca aagattaagc catgcgtc taatgtataaa cgagattata
61  cagtggact gcggatggct cattaaatca gtatagttt atttgtggg tccttttct
121 ttccgctac ttggataacc gttagatacc tagagctaat acatgcac gaccccaact
181 aaaaaaaaaa ggaggccggc gggggcaact cggcgatct tcatcccgat caccctcg
241 aaaaaaaaaa ttatttagat aaaaaacccgaa cacagggcac ttgtccctg gaccccgcc
301 agtacggta actcgatccg atccgtatcca acggcttcc tcttcggggg ggagccggc
361 acgattcatt caaaatccctg ccctatcaac tctcgatggt aggatagagg cctaccatgg
421 tcgcaacggg taacggggaa ttgggttcg atccggaga gggagctga gagatggata
481 ccacttctaa ggaaggccgc aggcgcgaa attaccaat cccgcacccgg gggaggtagt
541 gacaataat aacgtcggtt gtctcgacaa ggcctcgca atcgatgaa gcacggctca
601 aaaaaaaaaa cgatggcgta ttggaggcga agtctggcgc cagcagccgc ggtatccca
661 gctccatag ctatattaa agttgtgc gttaaaaatc tcgtatgggg atctcgccgg
721 gaggcgagcc cggcccgccg cgactcgccg ggcacccggc ccccccaccc cccctccgg
781 gcccggccccc ccccccgttgc actccggctg gggggctgaa aaaaaaaaaa ggggggggg
841 gggggcaactc catctcttc ttctcttgcg gcccggaccc ttatccatgaa ggtatccgg
901 gtgttcaaaag cggccggcga tctttctcg ctttgcatac gtcagcatgg gataatggaa
961 tagggccccc ctccatatttcc cttttttcc cggggccggg gttatggatgg ataggatgg
1021 tggggccat cttatattaa ttgtcaggagg tggaaattttt ggtttatgaa aagatcgact
1081 tcggcgaaatc catttgcac ggtatgggg attaaatcaag aacggaaatgg aagggatcg
1141 agacgtatcg ataccgtcg agtcttacc accaaatccgtt ccgaccggcg atccggagac
1201 gtcgtatggc tgactccccc ggcagctgtt gggaaatcacc aagtcttgg gttccggggg
1261 gatgtatggc gcaaggctga aacttaaagg aattgtacggg agggcaccac caggatggg
1321 gctcgccgc taatttgcact caacacgggg aacccatccca ggtcccgacca taatgggg
1381 tgacagatgg agactcgatc ttgttgcata tgggggtgg tgcgtggcc ttcttagtt
1441 gtggggcgat ttgtctggg aattccgtt accaaccggg cctcgccctt ctaaatag
1501 acggccgaccc cgtatccaa aacccgggg cggagggccg gttcccgatc gggcgagggg
1561 gcaaccctt tcgttgcggc ctcggggccctt cttccggatca ggcggatggcc tcggccggcc

```

1621 cgcttcttag agggactgcc ggcatccagc cgacggaggt tcgaggcaat aacaggcttg
1681 ttagtgcctt agatgttctg ggccgcacgc gcgcataact gatcgagaca gcgagtcctt
1741 cccgcctcgcc cgaagggtcc gggcaaccctc gtcaaggctcg atctgtctgg ggatagaccg
1801 ttgcaactgt cggtctcgaa cgaggataat cttagtaagc cgggtcatca gcccgcgtt
1861 attaagttcc tggcccttgtt acacaccggc cgtcgatctt accgatcgaa cgttccggc
1921 aaggccctcgag atctcgaccgc gtcgcgcattt cggccaaaccgg ggtcgccggg tcggacaaag
1981 tcggctgaac cttaccgttt agaggaagga caagtcgtaa caaggttt

Tab. 111: DNA-Sequenz von *Protacanthamoeba bohemica* aus der Datenbank BLAST

Pseudomonas denitrificans strain KH-1 16S ribosomal RNA gene, partial sequence
Accessions-Nr.: JQ612512.1
Taxonomie:
Bacteria; Proteobacteria; Gammaproteobacteria; Pseudomonadales; Pseudomonadaceae; *Pseudomonas*
Origin:
1 gtcgagcgga agaaggggagc ttgcgtcccg attcagcggc ggacgggtga gtacgagcc
61 gggaatctgc ctggtagtgg gggataaacgt tccgaaaaggc acgctaatac cgcgtacgtc
121 ctacggaga aagcaggaa tcttcggacc ttgcgtatc agatgagccc aggtcggatt
181 agcttaggg tgggttaaag gtcacccatc gcgacgatcc gtaactggc tgaggaggatg
241 atcagtca ca ctggaactga gacacggtcc agactctac gggaggcgc agtggggat
301 attggacaat gggggaaacc ctgatccagc catggccgt gtgtgaagaa ggttttcgg
361 ttgttaaagca cttaaatttgg gggaggaaaggc ttgttgccat atatccagca attttgacgt
421 tacccgacaga ataaggaccgc gctaaactctg tgccagcgc cgcggataa cagagggtgc
481 aacgcttaat cggtaattact gggcttaaaggc cgcggtagg tggttcagta agatgggtgt
541 gaaatccccg ggcttaacctt gggaaactgtc ttcatatactg ctgagctaga gtacggtaga
601 gggtagtggaa atttcctgtg tagcgggtgaa atgcgttagat ataggaaggaa acaccagtgg
661 cgaaggcgcac tacctggact gatactgaca ctgaggtgcg aaagcgtggg gagcaaacag
721 gattagatac cctggtagtc cacggcgtaa acgatgtcaa ctggccgttg gaatccctga
781 gatttttagtgc ggcgcgttaa cgcactaagt tgacggccgt gggagtagcgg tcgdaagatt
841 aaaactcaaa tgaatttgacg gggggccgcga caagcgggtgg agcatgtgg ttaattcga
901 gcaacgcgaa gaaaccttacc tggcccttgat acgtctggaa cttcccgagat atggattgg
961 gccttcggga gctcagacac aggtgctgc tggctgtcg cagtcgtgt cgtgagatgt
1021 tgggttaagt cccgttaacgca ggcacccat tgcgtccatgt taccagcggg ttaagccggg
1081 cactctaggc agactggcg tgacaaaccg gaggaagggt gggatgacgt caagtcatca
1141 tggcccttac ggccagggtc acacacgtgc tacaatgggg gatacaagg gttgccaagc
1201 cgcggatgttgg agctaatacc ataaaggatctc tgcgtatccg gatggaggtc tgcaactcg
1261 ctccatgtaa tggcaatcgcc tagtaatcg tggatcagaat gccacgggtga atacgttccc
1321 gggccctgttca cacaccggcc gtcacccat gggagtgggt tgccaccagaa gtacgtatgc
1381 taacct

Tab. 112: DNA-Sequenz von *Pseudomonas denitrificans* strain KH-1 aus der Datenbank BLAST

Pseudomonas fluorescens strain EvS4-B1 16S ribosomal RNA gene, partial sequence
Accessions-Nr.: FJ226759.1

Taxonomie:
Bacteria; Proteobacteria; Gammaproteobacteria; Pseudomonadales; Pseudomonadaceae; *Pseudomonas*

Origin:

1 tggggngncn nncncnnat nngcgccgga cgggtgagta atgccttagga atctgcctgg
61 tagtggggga caacgtttcg aaaggaaacgc taataccgc tacgtcctac gggagaaaagc
121 aggggacctt cgggccttcg gctcatcgat gagccttaggt cgatttagct agttgggtgaa
181 gtaatggc tcaccaggcga cgatccgtaa tcgtgttagt gatgtatca gtcacactgg
241 aactggaca cggtccagac tcctacggga ggcagcgtg ggaatattt gacaatgggc
301 gaaagcctga tccagccatg ccgcgtgtgt gaagaaggc tcgcattgtt aaagcacttt
361 aagtggggag gaagggttgtt agattaatac tctgcattt tgacgttacc gacagaataa
421 gcacccgcta actctgtgcc agcagccgc gtaatacaga ggtgcaagc gtaatcgga
481 attactgggc gtaaaggcgc cgttaggtgt tcgttaagtt ggatgtgaaa tccccggc
541 caacctggga actgcattca aaactgtcga gctagatgtt gtagaggggt ggtgaattt
601 cctgtgtagc ggtgaatgt gtatgtatag gaaggaaac cagtggcga ggcgaccacc
661 tggactgata ctgcacactga ggtgcgaaag cgtggggagc aaacaggatt agataccctg
721 gtatgtccacg ccgttaaacgca tgcataactt ccgttggttgc ctttgagctc ttatggc
781 agctaaccga ttaagtgtac cgcctggga gtacggccgc aagggtaaaa ctcaaatgaa
841 ttgacggggg cccgcacaag cggtgagca tgcgtttaa ttcaagggaa cgcgaagaa
901 cttaccaggc cttgcacatcc aatgaacttt ccagagatgg attggtcct tcggaaacat
961 tgagacagggt gctgcattgc tgcgtcaagc tcgtgtcggt agatgttggg ttaagtcccg
1021 taacgagcgc aacccttgc cttagttacc agcaacgttat ggtggcact ctaaggagac
1081 tggccgtacaa acaccggagg aagggtggga tgacgtcaag tcatcatggc cttacggcc
1141 tgggtcacac acgtgttaca atggtcgttcaaaagggttgc ccaaggccgc aggtggagct
1201 aatcccataa aaccgtatcgat gtcggatc gcagtcgtca actcgactgc gtgaagtgcga
1261 atcqctaata tcqnaatcaa atccnt

Tab. 113: DNA-Sequenz von *Pseudomonas fluorescens* EvS4-B1 aus der Datenbank BLAST

<i>Pseudomonas mandelii</i> strain McBRA2 16S ribosomal RNA gene, partial sequence Accessions-Nr.: JQ317812.1
Taxonomie:
Bacteria; Proteobacteria; Gammaproteobacteria; Pseudomonadales; Pseudomonadaceae; <i>Pseudomonas</i>
Origin:
1 acggccggac ggggtgactaa tggcttagaa tctggcttgtt agtggggat aacgcctcgaa

61 aacggacgct aataccgcac acgtcctacg ggagaaaagca ggggacccctc gggccttgc
121 ctatcagatg agcctaggta ggatttagcta gtttgtgagg taatggctca ccaaggcgac
181 gatccgtaac tggctctgaga ggatgatcag tcacactgga actgagacac ggtccagact
241 cctacggag gcagcagtgg ggaattttt acaatggcg aaagctgtat ccagccatgc
301 cgcgtgtgg aagaaggctc tccgatttta aagcacatc agttggggaa aaggggcagt
361 acctaatacgc tatctgtttt gagcttaccg acagaataag caccggctaa ctctgtgcca
421 gcagcccgaa taatacagag ggtcaacgg ttaatcgaa ttactggggaa taaagcgcgc
481 gtaggtgtt tgtaatgtt gatgtgaaat ccccggtc aacctgggaa ctgcattcaa
541 aactgacaag ctagagttat gtagagggtt gtggatttc ctgtgtacgc gtgaaatgc
601 tagatataagg aaggaaaccc agtggcgaag gcgaccaccc ggactgatac tgacactgag
661 gtgcgaaaggc gtggggagca aacaggatataccctgg tagtcacgc cgtaaacat
721 gtaactagc cgttggggac cttgagctt tagtggcgca gctaacgcataatgtgacc
781 gcctggggat tacggccca agttaaaaac tcaaatgaat tgacggggcc cccacaaacgc
841 gttggatcat gtgtttaat tcgaagcaac gcaaggaaacc ttacaggcc ttgacatcca
901 atgaactttc cagagatggc ttggtgccctt cggaaacatt gagacaggtt ctgcacggct
961 gtcgtcagct cgtgtcgta gatgtgggt taagtcccgta aacgagcgca acccttgccc
1021 ttagttacca gcacgtaatg gtggcactc taaggagact gccgtgaca aaccggagga
1081 aggtggggat gacgtcaatg catcatggcc cttacggccctt gggcacaca cgtgtctacaa
1141 tggtcgtac agagggttgc caagccgca ggtggagcta atcccgaaaa accgatcgta
1201 gtcggatc cagtcgtcaa ctcgactcgca tgaagtcgga atcgtactga atcgcgaatc
1261 aagaatgtcgc ggtgaatacgc ttcccgcccc ttgtacacac cgccgtcacc accatgggg
1321 tgggttgc

Tab. 114: DNA-Sequenz von *Pseudomonas mandelii* McBRA2 aus der Datenbank BLAST

Pseudomonas putida strain CY04 16S ribosomal RNA gene, partial sequence
Accessions-Nr.: JX082200.1

Taxonomie:
Bacteria; Proteobacteria; Gammaproteobacteria; Pseudomonadales; Pseudomonadaceae; *Pseudomonas*

Bacteria, Fungi

Origin: 1 tttatgggc ggcggctaca catcgactcg agcggatgag aagagcttc tcttcgtac
61 agccggcggac gggtgagtaa tgccttagaa tctgccttgtt agtgggggac aacgttcga
121 aaggAACGCT aataccgcat acgtcctacg ggagaaagca ggggaccttc gggccttgcg
181 ctatcagatg agcctaggtc ggattagcta gttgggtgggg taatggctca ccaaggcga
241 gatccgtaacat tggctctgaga ggatgtacg tcacactgga actgagacac ggtccagact
301 cctacggag gcagcagtgg ggaatattgg acaatggcg aaagctgtat ccagccatgc
361 cgcgtgtgt aagaaggctt tcggattgt aagcacat a gttggggagg aaggccgatg
421 agttaataatc ttgtctttt gacgttaccg acagaataag caccggctaa ctctgtgc
481 gcacccggg tataatcagag ggtcaacggg ttaatcgaa ttatggggc taaaaggcgc
541 gtaggtgggt tgtaatgtt gatgtgaaag ccccggtctc aacctggaa ctgcacatccaa
601 aactggcaag ctagagtacg gtagaagggt gtggaaatttc ctgtgtagcg gtgaaatgcg
661 tagatatagg aaggaacacc agtggcgaag ggcaccaccc gactgtatac tgacactgag
721 gtgcgaaaagc gtggggagca aacaggatta gataccctgg tagtccacgc cgtaaacatg
781 gtaacttagc ctgtggaaatc cttagagatt tagtggcgca gctaaccat taagtgc
841 gcctggggag tacggccgca aggttaaaaac tcaaatgat tgacggggc cccgcacaagg
901 ggtggagcat tggtttatat tcgaagcaac gcaagaacc ttacaggcc ctgatgc
961 gagaacttcc cagagatgg tgggtgcctt cgggaaactt gacacagggt ctgcgtatgc
1021 gtctcgtact cgtgtgtgt gatgtgggt taatgtccgt aacgagcgca acccttgc
1081 ttagttacca gcacgttatg gtggcactc taaggagact gcccgtgaca aaccggaggaa
1141 aggtggggat gacgtcaatg catcatggcc ttacggctt gggctacaca cgtgtacaaa
1201 tggtcgtac agagggttgc caagccgca ggtggagctt atccacaaa accgatcgta
1261 gtcggatcg cagtctgca ctcgactgcg tgaactcgga atcgcgtatg atcgcgaatc
1321 agaatgtcgc ggtgaatacg ttccccggcc ttgtacacac cgcccgatc accatgggg
1381 tgggtgcac cagaagttagc tagtctaaacc ttccggaggaa cggtaccacg gtggatcata
1441 aqc

Tab. 115: DNA-Sequenz von *Pseudomonas putida* CY04 aus der Datenbank BLAST

Pseudomonas putida strain MC4 16S ribosomal RNA gene, partial sequence
Accessions-Nr.: JF825523.2

Accessions #: UG20020-2

Bacterial Origin:

Origin: attgaacgct ggcggcaggc ctaacacatg caagtcgagc ggatgtatcg agtttgtct
1 ctgattcgc ggcggacggg tgtagtaatgc ctaggaatct gcctggtagt gggggacaac
61 gtctcgaaag ggacgcta at accgcatacg tcctacggg gaaaacggg gacccttcggg
121 ccttgcgcta tcagatgagc ctaggtcgga ttagctagtt ggtgaggtaa tggctcacca
181 aggcgacgat ccgttaactgg tctgagagga tgatcaactgaaact gagacacgggt
241 ccgactcc acgggaggca gcgttgggat atatgggaca atggggcggaa gcctgtatcca
301 gccatgccgc gtgtgtgaa aagggttccg gattgtaaag cacttaatgt tggggagga
361 ggcatggataat taatacttgc ctgttttgc gttaccgaca gaataacgc cggctactc
421 tggccagca gcccggtaa tacagagggt gcaacgctta atcggattta ctggcgtaa
481 agcgcgcgtt ggtgggttgc taagtggat gtggaaatccc cgggctcaac ctgggaactg
541 cattcaaaac tgacaagctt gaggatggta gagggtggtg gaatttcctg tttttttttt
601 aaatgcgtat atatggaaag gaacaccgtt ggcggcaggcg accaacttggc ctgtatactg
661 cactggatgtt cggaaacgggtt gggggcaaac aggatttagat accctggtag tccacccggct
721 aaacgtatgc aactggcggtt tggggacccgtt gaggcttttttggggcggatc aacccatcaa
781

841 gttgaccggcc tggggagttac ggccgcgaagg ttaaaaactca aatgaattga cggggggcccg
901 cacaaggcggt ggagcatgtg gttaattcg aagcaacgcg aagaacctta ccaggccttg
961 acatccaatg aactttccag agatggattg gtgccttcgg gaacatttag acagggtctg
1021 catggctgtc gtcagcttgt gtcgttagat gttgggttaa gtcccgtaac gaggcacacc
1081 ctgtcccta gttaccagca cgtaatggtg ggcactctaa ggagactgcc ggtgacaaac
1141 cggaggaagg tggggatgac gtcaagtcat catggccctt acggccttggg ctacacacgt
1201 gctacaatgg tcggtagaca gggttgccaa gcccgcggat ggagctaattt ccataaaacc
1261 gatcgttagtc cggatccgcg tctgcacttc gactgcgtga agtgcgaattt cgtagtaattc
1321 gcaaatcaga atgtcgccgt gaatacgttt cccggccctt tacacaccgc cgctcacacc
1381 atgggagtgg gttgcccccg aagttagctt tctaaccctt gggaggacgg ttaccacgg
1441 qtqattcatq actqqqqtq

Tab. 116: DNA-Sequenz von *Pseudomonas putida* MC4 aus der Datenbank BLAST

Tab. 117: DNA-Sequenz von *Pseudomonas putida* MPV2 aus der Datenbank BLAST

Tab. 118: DNA-Sequenz von *Pseudomonas putida* SXMAS-6 aus der Datenbank BLAST

Tab. 119: DNA-Sequenz von *Pseudomonas* spec. gyq9 aus der Datenbank BLAST

Tab. 120: DNA-Sequenz von *Pseudomonas* spec. JCM 5415 aus der Datenbank BLAST

<i>Pseudomonas</i> spec. NEAU-ST5-5 16S ribosomal RNA gene, partial sequence Accessions-Nr.: JQ762269.1
Taxonomie:
Bacteria; Proteobacteria; Gammaproteobacteria; Pseudomonadales; Pseudomonadaceae; <i>Pseudomonas</i>
Origin:
1 tgcagtcgag cgggatgaagg gagcttgctc tctgatttcg cggcgacgg gttagtaatg 61 cctaggaatc tgccctggtag tgggggacaa cgtttcgaaa ggaacgctaa taccgcatac 121 gtcctacggg agaaagcagg ggacacctcg gccttgcgct atcagatgag cctaggtcgg 181 attagctagt tggtgaggta aaggctcacc aaggcgacga tccgttaactg gtctgagagg 241 atgatcagtc acactggaa tgagacacgg tcccaactcc tacgggaggc agcagtgggg 301 aatattggac aatggggcga aatgttgcattcc agccatgcgg cgtgtgtgaa gaaggcttc 361 ggatgttaaa gcactttaag ttggggggaa gggcgatctaag ctatatacattt gctgtttt

421 cgttaccgcagaataagca ccggctaaact tcgtgcgcgcg agccgcggta atacgaaggc
481 tgcaagcgtt aatcgaaatt actgggcgta aagcgcgcgt aggtggttcg ttaagtggc
541 tgtgaaaagcc cccggctaa cctggaaact gcatccaaaa ctggcgagct agagtatggc
601 agagggttgtt ggaatttcct gtgtagcggt gaaatgcgta gatataggaa ggaacaccag
661 tggcgaaggc gaccacctgg gctaatactg acactggatgcgcaagcggt ggggagcaaa
721 caggattaga taccctggta gtccacgcgcg taaaacgtatgt cgactagccg ttggggatcct
781 tgatgttca gtggcgcgcg taacgcattaa agtcgaccgc ctggggagata cggccgcgaag
841 gttaaaaactc aaatgaaattg acgggggccc gcacaacgcg tggagcatgt gggttaattc
901 gaagcaacgc gaagaacctt accaggccctt gacatgcaga gaacttcca gagatggatt
961 ggtgccttcg ggaactctga cacagggtct gcatggctgt cgtagctcg tgcgtgaga
1021 tgggggtta agtccccgtaa cgagcgcaac ccttgcctt agtaccagc acgttaaggc
1081 gggactctta aggagactgc cggtgacaaa ccggaggaag gtggggatga cgtcaagtca
1141 tcatggccct tacggcctgg gctacacacg tgctacatgc gtcgttacaa aggggttgc
1201 agccgcgagg tggagctaat cccataaaac cgatcgtagt cccgtacgc gtcgtcaact
1261 cgactgcgtg aagtccggat cgcttagtaat cgtgaatcag aatgtcacgg taaatacgtt
1321 cccggccctt gtacacaccg cccgtcacac catggggatgt gggttgccttca gaagtagct
1381 gtct

Tab. 121: DNA-Sequenz von *Pseudomonas* spec. NEAU-ST5-5 aus der Datenbank BLAST

Tab. 122: DNA-Sequenz von *Pseudomonas* spec. R-41390 aus der Datenbank BLAST

Pseudorhodobacter spec. KOPRI 25878 16S ribosomal RNA gene, partial sequence
Accessions-Nr.: HQ825033.1
Taxonomie:
Bacteria; Proteobacteria; Alphaproteobacteria; Rhodobacterales; Rhodobacteraceae; *Pseudorhodobacter*
Origin:
1 tgcggatcgac acgggttcctt cgggactagt ggcggacggg tgtagtaacgc gtggaaacat
61 acccttttgtt acggaaatgc ctcggggaaac tgagactaat accgttatgtc cccttcgggg
121 gaaagattttt tcgcggaaagg attggcccg gttggatttg tagttgggtt gggtaatggc
181 ctaccaagcc gacgatccat agctggttt agaggatgtt cagccacact gggactgaga
241 cacggcccg actcctacgg gaggcaggcg tggggaaatct tagacaatgg gggaaaccct
301 gatcttagcca tgccgcgtga tcgatgaagg cctttagggttt gtaaagatct ttcagatggg
361 aagataatga cggtaccatc agaagaagcc cccgctaact ccgtgccagc agccgcggta
421 atacggaggg ggcttagcgtt attcggattt actgggcgtt aagccgcacgtt aggccggatta
481 gaaagtccatc ggttagatcc cagggtccaa ccttggaaatcc gcctttgaaa ctccatgtct
541 tgaggtcgag agagggtgatc ggaattccga gtgttagggatc gaaattcgta gatattcgga
601 ggaacaccatc tggcgaaggc ggctactgg ctcgatctg acgctggatgtt gcgaaagcgt
661 gggggccaaa caggatttgc taccctggta tgccacggcc taaacgatgtt atgcccgtcg
721 tcgggtatc tgctatttcgg tgacacacctt aacggattaa gcattccggc tggggagttac
781 ggcggcaagg ttaaaactca aaggaaattttt cggggggcccg cacaagcggtt ggagcatgtt
841 gtttaattcg aagcaacgcg cagaacccatc ccaacccctt acatggatat cgccgcctgt
901 gagacagacgc tttcgttgc gctggatcatc acacagggtgc tgcatggctg tcgtcagatc
961 gtgtcgatc atgttgcgtt aagtccggca acggcgccaa cccacatttt tagttggccat
1021 cattcgttgc ggcactttagt aaaaactgcg ggtgtataagg cggggaaagg ttgtggatgac
1081 gtcggatccatc gatggccctt acggggatgggg ctacacacgtt gctacaatgtt ttgtgacaat

```
1141 gggtaatcc caaaaagcca tctcagttcg gattgggtc tgcaactcga ccccatgaag  
1201 tcgaaatcgc tagtaatcgc gtaacagcat gacgcegtga ataacgttccc gggccttgta  
1261 cacacccgccc gtcacaccat gggaaatttgg a tctaccggaa ggttgtgcgc caacctgc  
1321 a
```

Tab. 123: DNA-Sequenz von *Pseudorhodobacter* spec. KOPRI 25878 aus der Datenbank BLAST

Ralstonia picketii strain B1RO1 16S ribosomal RNA gene, partial sequence
Accessions-Nr.: JQ689181.1

Taxonomie:
Bacteria; Proteobacteria; Betaproteobacteria; Burkholderiales; Burkholderiaceae; Ralstonia

Origin:

```
1      catgcaagtc gaacggcagc atgatctagc ttgcttagatt gatggcgagt ggcgaacggg
61     ttagtaatac atcggAACgt gcccgttagt gggggataac tagtcgaaag attagcta
121    accgcatacg acctgggggt gaaagtgggg gaccgcaagg cctcatgcta taggagcggc
181    cgatgtctga tttagttagtt ggtgggttaa aggctccaca aggcgacgat cagttagctgg
241    tctgagagga cgatcAGCCA cactgggact gagaaacggc ccagactctt acgggaggca
301    gcagtgggg aTTTGGACA atgggCGAAA gcctgtatcca gcaatGCCGc gtgtgtgaag
361    aaggccttcg ggTTgtAAAG cactttgtc cgggaaAGAA tggtctgtt taatacctgg
421    ggtcgatgac ggtACCCGAA gaataAGAC gggtaacta cgtGCCAGCA gcccggtaa
481    tacgttaggtt ccaaggctt atcggaaat ctggggtaa agcgtgcgc ggcgggttg
541    caagaccgt gtggaaATCCC cgagCTTAAC ttggggattt cattgggtgac tgacggctt
601    gagttgttca gaggggggtt gaatttccacg tgtagcagtg aatacgctgt agatgtggag
661    gaataccgtt ggcgaaggca gccccctggg ataacactga cgctcatgca cggaaAGCgt
721    gggagcaaac aggatttagat accctggtag tccacGCCt aaacgatgtc aactagttgt
781    tggggattca tttccTTAGT aacgttagta acgctgttggg acgttgggatc ttgaccggct ggggagtagc
841    gtcgcaagat taaaactcaa aggaattgtac gggggACCCGc acaacgCgggt gatgtgtgg
901    attaaatgtc tgcaacgcga aaaacccatc ctacccttga catggccacta acgaaggcaga
961    gatgcattag tggtcgaaag gagaaggatgg acacaggtgc tgcatggctg tcgtcagctc
1021   qtgtcgttag atqttgggtt aagtcccgc acqagcqcaa cccttgtctc tagttgtctc
1081   gaaaggccac tcttagagaga ctggccgtga caaaccggag gaagggtgggg atgacgtcaa
1141   gtccctatgg cccttatggg tagggcttca cacgtcatac aatggtgcat acagagggtt
1201   gccaaggccg gaggtggagc taatcccaaga aatgcatcg tagtccggat cgtgtctgc
1261   aactcgacta cgtgaagctt gaatcgctgtaatccggc tgcatgc gcccgtgaata
1321   cgttggggg tttgtacac accggccgtc acacatggg atggggcttt accagaagta
1381   attagccaa ccgcataccca ccgcataccca cgttagt
```

Tab. 124: DNA-Sequenz von *Ralstonia picketii* B1RO1 aus der Datenbank BLAST

Rhizobiales bacterium SK12 16S ribosomal RNA gene, partial sequence
Accessions-Nr.: JQ773444.1

Taxonomie:
Bacteria; Proteobacteria; Alphaproteobacteria; Rhizobiales

Origin:

```

1    agagtttcat cctggctcaag aacgaacgct ggcggcaggc ttaacacatg caagtcgaaac
61   gcacccatcg gtgagtgcca gacgggtgg taacgcgtgg gaacgtgcct ttccgtctgg
121  aataaccccg ggaaatctgg gctaataccg gatacgccct ccggggggaaa gatttatcg
181  cggaaatcg cggccgcgtcg gatttagttt tggtggggat aatggcctac caaggctac
241  atccctgtact ggtctgagag gatgatcagc cacactggga ctgagacacg gccccagactc
301  ctacgggagg cagcagtggg gaatatttggaa caatgggggaa aaccctgatc cagccatgcc
361  gcgtgagtga agaaggcctt agggttggaa agctcttcga gccccggaaa taatgacgg
421  acccgccaaaa gaagccccgg ctaactccgt gccagcagcc gcggtataac ggagggggct
481  agcgttgttc ggaattactgg ggcgtaaacg ggcgttggc ggactttcaa gtccgggtgt
541  aaatcccgag gcttaaacctc ggaactgcct ttgatactgt ttgtcttgag tccggggagaa
601  gtgagcggaa ttccctgtgtt agagggttggaa ttctgtatggaa taggaagaa caccatggc
661  gaaggcggct cactggggccg gtactgacgc tgaggcgcga aagcgtgggg agcaaacagg
721  attagatacc ctggtagtccc acggcgtaaa cgtatggatgc tagccgtcg tcacgtatgt
781  gatccgtggc gcagactaacc cattaagcat cccgcctggg gagttacggc gcaagattaa
841  aactcaaagg aattgacggg gggccgcaca agcgggtggag catgtggttt aattcggggc
901  aacgcgaaga accttacccgc cccttgcacat cccgggttgg ggaccagaga tggaccccat
961  ttaaccccgcc tgacagggtgc tgcattggctc tgcgtacgc ttgtcggtgg atgttgggtt
1021 aagtcccgcc acggcgccaa cccctacatc tagttggccat cattaatgttggcactctag
1081 tgggactgcc ggtgataacg cggaggaaagg tggggatggat gtcacgtcat catggccctt
1141 acgggctggg ctacacacgt gctacaatgg cgggtgacaga gggcagccac tcggcgcacga
1201 ggagctaatc cctaaaaacc gtctcgttgc ggattgttct ctgcaactcg agagcatgaa
1261 gtcggaaatcg cttagaatcg cggatcagca tgccgcgtgt aataacgttcc cggggcttgc
1321 acacaccggcc cgtcaacacca tgggacttgg cttaaccgcg agacgggtgcg ctaacctcgc
1381 aagggggcggc acggccggccac ggttagggtca gcgactgggg tgaagtcgt acaaggtaat
1441 ctgg

```

Tab. 125: DNA-Sequenz von *Rhizobiales bacterium* SK12 aus der Datenbank BLAST

Rhizobium spec. TB2-10-I 16S ribosomal RNA gene, partial sequence
Accessions-Nr.: AY599702.1
Taxonomie:
Bacteria; Proteobacteria; Alphaproteobacteria; Rhizobiales; Rhizobiaceae; *Rhizobium*/Agrobacterium group; *Rhizobium*
Origin:
1 ccaacgcgtgg cggcaggctt aacacatgtca agtccggccg ccccgaaaggaa gggccggcaga

```

61 cgggtgagta acgcgtggga atctaccat ctctacggaa taactcaggg aaacttgtc
121 taataccgtta tacgccccta gggggaaaga ttatcggag atggatgagc ccgcgttgg
181 ttagctagg ggtgggtaa aggctacca aggcgacgat ccatagctgg tctgagagga
241 tgatcagcca cattggact gagacacggc ccaaactct acgggaggca gcagtgggg
301 atattggaca atgggcgcaaa gcctgatcca gccatgccgc gtgtgtatg aaggccttag
361 gggtgaaag cacttcacc ggagaagata atgacggtat ccggagaaga agcccccgt
421 aacttcgtgc cagcagccgc ggtatatacg aggggctag cggttgcgg aattactggg
481 cgtaaagcgc acgttagggcg atcgtatcg caggggtgaa atcccagagc tcaactctgg
541 aactgcctt gatactgtcg atctagatg tggaaaggtg ggttggaaatt ccgagtgttag
601 aggtgaaatt cgtatgtttt cggaggaca ccagtggcgaa aggccgtca ctggccatt
661 actgacgctg aggtgogaaa gctgggggg caaacaggat tagataccct ggtatgtccac
721 gccgtaaacg atgaatgtt ggcgtgggt agttactat tcgggtccgc agctaacgc
781 ttaaacattc cgcctgggg gtagcgtc aagattaaaa ctcaaaggaa ttgacggggg
841 cccgcacaag cgggtggagca tgggtttaa ttcaagcaa cgcgcagaac cttaccagct
901 cttgacatcc cgtatcgccgaa cagttggagac attgtccctc agttaggtctg gatcggtgac
961 aggtgtcgca tggctgtcgct cagtcgtgt cgtagatgt tgggttaagt cccgcacacg
1021 ggcgcacccct cgccttagt tgccgaccatc tgggtggca ctctaagggg actgcccgtg
1081 ataagccgag aggaagggtt ggtatcgatc aagtccctcat ggccttacg ggctgggcta
1141 cacacgtctc acaatgggg tggatcgatc cagcggatcc gcgaggctgaa gctaattcc
1201 aaaagccatc tcagttcgaa ttgcactctg caactcgatc gcatgaaatg ggaatcgcta
1261 gtaatcgca gatcgtatgc tgcgttgaat acgttcccg gccttgata caccgccccgt
1321 cacaccatgg gagggtttt taccggaaagg tagtgcgtca accgcaaggaa ggcagctaa
1381 cacggtaggg tca

```

Tab. 126: DNA-Sequenz von *Rhizobium* spec. TB2-10-I aus der Datenbank BLAST

<i>Rhodobacter changlensis</i> strain : JA139 16S ribosomal RNA, complete sequence Accessions-Nr.: NR_042564.1
Taxonomie:
Bacteria; Proteobacteria; Alphaproteobacteria; Rhodobacterales; Rhodobacteraceae; <i>Rhodobacter</i>
Origin:
1 acctgcggcg gcctaccatg caagtcaac gggaccttcg ggtctatgg cggacgggtg 61 agtaacgcgt gggacatgc ccaaaggatc gggatagct cggggaaactg ggtgtataac 121 cgtatgtgc cttcggggaa aagatttac gcctttgtat tggcccggt tggatttagt 181 agttgggtgg gtaatggctt accaaacggca cgtatccatg ctgggtttagg aggtatgtca 241 gcccacactg gactgagaca cggccacagac tcctacgggaa ggcagcgtg gggaaatctt 301 gacaatgggg gaaaccccttca tcagatccatg cccgtgtatc gatgaaggcc tttaggttgg 361 aaagatctt cagttggggaa gataatgacg gtaatccac gagaaggcccc ggctaaactcc 421 gtgcacgtcg cccgcgtat acgggggggg ctatcgatc tggaaattac tggcgtaaa 481 ggcacgtat gggatcgaa aagttggggg tggaaatccca gggctcaacc ctggaaactgc 541 cttcaaaact cccgttcttgg aggtcgagag aggtatgtgg aattccgatgt gtagagggt 601 aattcgatgtatc tttcgaggaa aacacccatgt gcaaggccgg ctcaactgtcg cgtatctgt 661 gtcgatgtgc gaaacgttgg gggatcaaaca ggtttagata ccctggatgt ccacgcgt 721 aacgatgtatc gcaatcgatc gggatcgatc ctatcgatc acacacttac cggatataac 781 attccgcctg gggatgtatc cccgtatgggggggggggggggggggggggggggggggggggg 841 caagcgttgg agcatgtgtt ttaatccaa gcaacgcgc gaaaccttacc aacccttgc 901 atggcgtatc cccgttccaga gatggccctt tctcgataga gacactgcac acagggtgt 961 catggctgtc gtcagctgt gtcgtatggat gtcgttggaa gtcggcaac ggcgcacacc 1021 cacgtccctt gttccatgtt cttcgatgttgggggggggggggggggggggggggggggg 1081 gggatgtatc tggatgtatc cccgttccatc tggcccttac ggggtgggttgggttgg 1141 tacaatggta gtcgatgtatc gttatcccaaaaatgtatc tcagttcgaa ttgggttgc 1201 caactcgacc ccatgtatc gggatcgatc gtaatcgatc aacagatgt ggcgtgt 1261 acgttcccg gcttgcata caccgccccgt cacaccatgg gatgttgc taccggaaagg 1321 cgggtcgccca accagcaatg gggcggcc accacggtag gatgtatc tgggtatgtt

Tab. 127: DNA-Sequenz von *Rhodobacter changlensis* JA139 aus der Datenbank BLAST

<i>Rhodobacter megalophilus</i> strain R6W-5-1 16S ribosomal RNA gene, partial sequence Accessions-Nr.: JQ692104.1
Taxonomie:
Bacteria; Proteobacteria; Alphaproteobacteria; Rhodobacterales; Rhodobacteraceae; <i>Rhodobacter</i>
Origin:
1 ggactatgtgg cggacgggtt agtaacgcgt gggacgtac cttttgtttc ggaatagcc 61 cggggaaactg gggatataac cgaatgtgcc ctacggggaa aagatttac ggcacaaaggat 121 cggccgcgt tggatgtatc tggatgtatc gttatggggat accaaggccg cgtatccat 181 ctgggtttagt aggtatgtatc gttatggggat gactgatc gggccacagat tcctacggg 241 ggcacgtat gggatccatc gacaatgggg gcaaggctgtatc tctatcgatc cccgtgtat 301 gatgtatc gttatgggtt gggatccatc gttatggggat gataatgacg gtatccca 361 aagaaggcccc ggcataactcc gttatggggat gggatccatc acgggggggg ctagcgat 421 tcggatgtatc tggatgtatc gggatccatc gggatccatc gggatccatc gggatccatc 481 gggatccatc tggatgtatc gggatccatc gggatccatc gggatccatc gggatccatc 541 aattccgatgtatc tggatgtatc gggatccatc gggatccatc gggatccatc gggatccatc 601 ctcactgtatc gtcactgtatc gggatccatc gggatccatc gggatccatc gggatccatc 661 ccctggatgtatc cccgtatgg 721 acacacccatc gggatccatc gggatccatc gggatccatc gggatccatc gggatccatc 781 gggatccatc gggatccatc gggatccatc gggatccatc gggatccatc gggatccatc 841 gggatccatc gggatccatc gggatccatc gggatccatc gggatccatc gggatccatc

901	tggataccac acagggtctg catggctgtc gtcagctcg gtctgagat gttcggttaa
961	gtccggcaac gagcgcaacc cacatttca gtgcctca ttcatgtgg cactctggag
1021	aaactggcg tgataagcc gaggaaagggt tgatgacgt caagtccca tggccctac
1081	gggttgggtt acacacgtgc tacaatgggt gtacaatccca aaaagccatc
1141	tcagttcgga ttgggtctg caactcgacc ccatgaagtc ggaatcgcta gtaatcgct
1201	aacagcatga cgccgtgaat acgtccccgg gcctgtaca caccgcccgt cacaccatgg
1261	gaattggatc taccggaaagg tggtgtctc

Tab. 128: DNA-Sequenz von *Rhodobacter megalophilus* R6W-5-1 aus der Datenbank BLAST

<i>Rhodobacter ovatus</i> partial 16S rRNA gene, type strain JA234T
Acessions-Nr.: AM690348.2

Taxonomie:

Bacteria; Proteobacteria; Alphaproteobacteria; Rhodobacterales; Rhodobacteraceae; *Rhodobacter*

Origin:

1	tacagctgcc tgacacatgc aagtgcgacg aagtcttcgg acttagcggc ggacgggtaa
61	gtaacgcgtg ggaacatacc caaaaggtaacg gaatagccct gggaaaactgg gagaatacc
121	gtatgtgcc ttcggggaa agattatcg ccttggatt gggccgcgtt ggatttaggtt
181	gttgggtggg taatggccta ccaagccgac gatccatagc tggttgaga ggtatgtac
241	ccacactggg actgagacac gcccagact cctacggag gcagcgtgg ggaatcttag
301	acaatggggc caaggcgtat ctggatgc cgcgtgatcg atgaaggct taggggtgt
361	aagatctttc aggtggaaag ataatgcaccc taccacccaga agaagccccg gctaactccg
421	tgccgcgcg cgcgttaata ccggggggc tagcgttatt cggatattt gggcgtaaaag
481	cgcacgtagg cggattggaa agtcagaggta gaaatcccaag ggctcaacct tggactgccc
541	tttggaaactc ccagtcttgc ggtcgagaga ggtgagtgaa attccgatgt tagaggtgaa
601	attcgttagat attcggagga acaccaggta cgaaggcggc tcactggctc gataactgacg
661	ctgagggtcg aaagcgtggg gagcaaacag gattagatac cctggtagtc cacgcgttaa
721	acgatgtatcc ccaatcgatgc ggcgcgttgc tggtcggtga cacacctaacc ggttaaagca
781	ttccgcctgg ggatgcggc cgcgcgttgc aacttcggaa gatttgacgg gggccgcac
841	aaggcggttgc gcatgtgttta atttcggaa caacgcgcac aaccttacca acccttgaca
901	tgggtatcgcc gggaccagag atggctttt cagttcggtt ggataccaca caggtgtgc
961	atggctgtcg tcagctcgat tcgttgatgc ttccgtttaag tccggcaacg agcgcaacc
1021	acgtccttag ttgcgcgcgc tcagttggc actctaggaa aactgcgggt gataagccgg
1081	aggaaggtgtt ggtgtacgc aagtccat ggccttacg ggttgggttca cacacgtgt
1141	acaatggcgac tgacaatggg taatcccaaa aaatgtgtct cagttcgatgt tgggtctgc
1201	aactcgaccat catgaatgcg gaatgcgttgc taatcgatgc acagcatgac gcggtgaata
1261	cgttccgggg cttgttacac accgcgcgtc acaccatggg aattgggttcc acccgaaaggc
1321	ggtgcccaaa cctcgcaaga ggaggcagcc gaccacgttgc ggatcgttgc ctgggttgc
1381	c

Tab. 129: DNA-Sequenz von *Rhodobacter ovatus* JA234T aus der Datenbank BLAST

<i>Rhodobacter</i> spec. CCBAU 10883 16S ribosomal RNA gene, partial sequence
Acessions-Nr.: HQ437162.1

Taxonomie:

Bacteria; Proteobacteria; Alphaproteobacteria; Rhodobacterales; Rhodobacteraceae; *Rhodobacter*

Origin:

1	tcttcggact tagcggcgga cgggtggatc acgcgtggg acataccaa aggtacggaa
61	tagcctcgaa aactggggta taatccgttgc tgcccttc gggggaaaga tttatcgct
121	ttggattggc ccgcgttgc tttagttagt ggtggggtaa tggcctacca agccgcacgt
181	ccatagctgg tttggaggg tgatgcgc cacttggact gacacgcgg ccagactcct
241	acggggaggca gcgtggggg atcttagaca atggcgcaaa gcctgtatctt gccatggcc
301	gtgatcgatgc aaggccttag ggttggaaatc atctttcagc tggggagata atgacgtac
361	cagcagaaga agccccggct aactccgtgc cagcaggccg gtaatacgg agggggctag
421	cgttggtcgg aattactggg cgtaaagcgc acgtggccg attggaaatg cagaggtgaa
481	atcccaggcc tcaacccgtt aactgcctt gaaactccca gtcttgcgtt cggagggat
541	gagtggaaatt cccgtgttag aggtggaaatt cgtatgtatc cggagggaca ccagtggcg
601	aggcggtca ctgggtcgatc acgtgcgtc aggtgcggaa gctgtggggg caaacaggat
661	tagataccctt ggtgttccac gcccgttacgc atgaatgcgc gacgtcgccg agcatgtt
721	tcgggtgtcac acctaaccgg ttaagcattt cgcctgggg gtaacggccg aagggttttt
781	ctcaaaggaa ttgacggggg cccgcacaag cgttggagca tgggtttttt ttcgaagca
841	cgcgcagaaac cttaccaacc cttgcgtatgc ggtatgcgcg accggagacg gttcttcgt
901	tccggctggc tccaaacacgc gtgtcgatgc gtcgtgtca gtcgtgtcg tgagatgtc
961	gtttaatgcg ccgcacgcgc gcaaccacgc ctttagttt ccatcagggtt atgctggca
1021	ctctaaaggaa actgcgggtttaa aggcggaa ggaagggtgtt gatgcgtca agtcctcat
1081	gccttacgg gttgggttcc acacgttgcata caatgggtt gacaatgggtt taatcccaaa
1141	aaggccatctc agttcggttcc ggggttgcata actgcaccc atgaatgggtt aatcgatgt
1201	aatcgatgttcc cggatgcgc ggttgcata acgtcccccc atgaatgggtt aatcgatgt
1261	caccatggggttaa cccggatggcc gtcgttgcata cggccatccatc cagcaatgggtt

Tab. 130: DNA-Sequenz von *Rhodobacter* spec. CCBAU 10883 aus der Datenbank BLAST

<i>Rhodobacter</i> spec. R-36943 partial 16S rRNA gene
Acessions-Nr.: FR691419.1

Taxonomie:

Bacteria; Proteobacteria; Alphaproteobacteria; Rhodobacterales; Rhodobacteraceae; *Rhodobacter*

Origin:

1 aatgaacgct ggccggcaggc ctaacacatg caagtgcAAC gggtccttcg ggacttagtg
61 cgacgggtg agtaacgcgt gggAACatAC ccttggTAC gggatAGCCT cggaaACTG
121 ggtgtataAC cgtatgtGCC ctccggggA aagatttATC gccaaggAGT tggcccgGT
181 tggattAGGT agttgggtGGG gtaatggcT accaagCCGA cgtatccatAG ctggTTTGA
241 aggatgtca GCCACACTGG gactgAgaca CGGCCGAGAC tcctacGGGA ggcagcAGTG
301 gggaatCTTA gacaATGGGG gaaACCTGTA tctacGGCAT CGCGTGTAC gatGAAGGCC
361 tttagggTTG AaAGATCTT cAGCTGGAA gataATGACG gtaccAGCAG aagaAGCCCC
421 ggCTAactCC gtGCCAGCAG CCGCGGTAA acggaggGGG ctacGGTTA tcggAAATTAC
481 tggcgtaAA gCgcAcGTAG gCggAtCGGA aagtcaGAGG tgaatATCCCA gggctcaACC
541 ttggAACTGC ctTtggAAACT cccggTCTT AGGTCGAGAG AGGTGAGTGG aattccGAgt
601 gttagggTGA aattcgtAGA tattcggAGG AACACCGATG gCgaAGGCGG ctcactGGT
661 cgtactGAC gctggggTGC gaaAGCGTGG ggAGGAAACA ggATTAGATA ccTcggTAGT
721 ccacGCCGTA aacgatGAAT gCcAGACGTc gggcAGCAtG ctGTTcGGTg tcacacCTAA
781 cggattaAGC atTCCGCTT gggAGTAcGG cggcaAGGT AAAACTCAAA ggaattGAcG
841 ggggCCCGCA caaGCGGTG gacatgtGG ttaattcGAA gcaacGCGCA gaacCTTacc
901 aaccCTTgAC atTGGCAGTGA ccgttCCAGA gatGGTTCT ttcCgtAAAG gacactGCAC
961 acaggTGTG catGGCTGTc gtCAGCTGT gtcgtGAGAT gttcGGTTAA gtccGGCAAC
1021 gagcgcAACC cacgtcCTTA gttgcCATCA ttcaGTTGGG cactctAGGG aaactGCCG
1081 tgataAGCC gaggAAggTG tggatGAcGT caagtCCTCA tggccCTTAC gggTTGGGT
1141 acacacGTc tacaATGGCA gtGacaATGG gttGatCCCA aaaAGCTGTc tcagttcGGA
1201 ttggggTCTG caactcGACC ccatGAGTC ggaatcGCTA gtaatcGCTG aacAGCAtG
1261 cgcggTGAAT acgttCCCGG gccttGtACa caccGGCCGT cacaccATGG gaattGgtc
1321 tacccGAAgg cggTgcGCCA acctcGCAAG aggAGGcAGC cggacacCGGT aggtacGtg
1381 actggggTGA agtCGTAACA aggtAGGCGT agggGAACC

Tab. 131: DNA-Sequenz von *Rhodobacter* spec. R-36943 aus der Datenbank BLAST

Rhodobacter spec. ZS2-22 16S ribosomal RNA gene, partial sequence
 Accessions-Nr.: FJ195995.1
 Taxonomie:
 Bacteria; Proteobacteria; Alphaproteobacteria; Rhodobacterales; Rhodobacteraceae; *Rhodobacter*
 Origin:
 1 agagtttgc cctggctca gatgaacgct ggccggcaggc ctaacacatg caagtgcgaa
 61 gagcccttcg gggtagtgg cggacgggtg agtaacgcgt gggAACATAC ccaaaggta
 121 ggaatagtct cgggaaactg gggtaatac cgtatgtgcc ttatgtctgt agtgggtta
 181 gggaaaagat ttatcgcc tggattggcc cgcgttggat taggttagttt gtgggtta
 241 ggcctaccaa gccgacgatc catagcttgtt tgagaggat gatcagccac actgggactg
 301 agacacggcc cagactccta cgggaggcag cagtgggaa tcttagacaa tggcgcaag
 361 cctgatctag ccattgcgcg tgatcgatga aggoccttagg gttgtaaaga tctttcagat
 421 gggaaagata tgacggtacc atcagaagaa gcccggcta actccgtgcc agcagccgcg
 481 gtaatacgga gggggcttagt gttattcgga attactggc gtaaagcgca cgtaggcgga
 541 tcgaaaagt ggaggtgaaa tcccgaggct caaccttggg acggccttca aaactcctgg
 601 tcttgagttc gagagagggtg agtggattc cgagtgtaga ggtgaaattc gtatattc
 661 ggaggaacac cagtggcgaa ggcggctcac tggctcgata ctgacgctga ggtgcgaaag
 721 cgtggggagc aaacaggatt agataccctg gtagtccacg cctgtaaacga tgaatgcca
 781 tcgtcagcaa gcatgcttg tggtgacaca ccttaacggat taagcattcc gcctggggag
 841 tacggccgca aggttaaac tcaaaggaaat tgacggggc cccgacaaagc ggtggagcat
 901 gtgggttaat tcgaaggcaac ggcggcata accccatgg tttacatgg tattcgcggac
 961 ctggagacag gtcttctgtt cttggctggat atcacacagg tgctcgatgg ctgtcgta
 1021 ctctgtcgat gagatgttcg gttaaatcg gcaacggacgca aacccacac tcttagttc
 1081 cagcattcag ttgggcactc taggagaact gcccggatc agccggagga aggtgtggat
 1141 gacgtcaagt cctcatggcc ttacgggtt gggctacaca cgtgtacaa tggtagtgac
 1201 aatgggttaa tccccaaaaat ctatctcgtt tcggattggg gtctgcactt cggccatg
 1261 aagtccggat cgtctgtttt cgcgtaaacag catgacgcgg taaatcggtt cccggccctt
 1321 gtcacacccg cccgtcacaat catggggat ggttttaccc gacgacgctg cgtaacc
 1381 taaggaggcc agggccggccat ggttaggatca ggcactgggg taaatcggtt acaaggtagc
 1441 cgtat

Tab. 132: DNA-Sequenz von *Rhodobacter* spec. ZS2-22 aus der Datenbank BLAST

Sarocladium kiliense	strain CBS 122.29	18S ribosomal RNA gene, partial sequence
Acessions-Nr.:	HQ232198.1	
Taxonomie:		
Eukaryota; Fungi; Dikarya; Ascomycota; Pezizomycotina; Sordariomycetes; Hypocreomycetidae; Hypocreales; mitosporic Hypocreales; Sarocladium		
Origin:		
1	tgttgtcata	tgcttgc ttc aaagattaag ccatgcatgt ctaagtataa gcaattatac
61	agcgaaactg	cgaatggctc attatataag ttatcgaaa ttgtatagtg ccttactact
121	tggataaccg	tggtaattct agagctaata catgtaaaaa accccgactt cggaagggtt
181	gtattttata	gataaaaaac caatgcctt cgggctctt tggtgattca tgataactat
241	acgaatcgca	cggccttgcg cggcgatgg ttcatcaaa ttcttcctt atcaactttc
301	gatgtttggg	tattggccaa acatgggtgc aacgggttaac ggagggttag ggctcgaccc
361	cggagaagga	gcctgagaaa cggctactac atccaaggaa ggcagcaggc gcgaaattha
421	cccaatcccc	actcgggag gtgtgacaaa taaatactga tacaggccc ttccgggcct
481	tgttaattgg	atgagtacaa tttaatccc ttaaggaga acaattggag ggcaagtctg
541	gtgcggcag	cgccggtaat ccagctcca atagctata tttaaagggtt tttgggttaaa
601	aaqctcgtaa	ttqaaccttg qqqctqgctq qccqgtccqc ctaccqccqt qcactqgtcc

661 ggccgggccc ttccctctgt ggaacccat acccttcaact gggcgtggcg gggaaacagg
721 acatttactt tgaaaaaaatt agagtgcctt aggccaggct atgtcgaat acatttagcat
781 ggaataataa aataggacgc gcggttctat ttgttggtt tataggaccg ccgtaatgtat
841 taatagggac agtcggggc atcagttatc aactgtcaga ggtgaattt ttggatcgt
901 tgaagactaa ctactgcgaa agcatttgcg aaggatgttt tcattaatca ggaacgaaag
961 ttaggggatc gaagacgatc agataccgtc gtagtcttaa ccataaacta ttccgacttag
1021 ggatcggacg gtgttattca tgaccgttc ggcacccatc gagaatcaa agtgttggg
1081 ctcagggggg agtatggtcg caaggctgaa acttaaagaa attacggaa gggcaccacc
1141 agggtgtgag ctcgcgctt aatttgcgtc aacacgggaa aacttaccacat gtcacac
1201 aataaggatt gacagattga gagcttttgc ttgattttgtt ggggtgttgc gcatggccgt
1261 tcttagttgg tgggtgtact tgcgtcttta attgcataa cgaacgagac cttAACCTGC
1321 taaatagccc gcattgcctt ggcagtgcgc tggcttctta gaggactttt cggctcaagc
1381 cgaaggaaat ttgaggcaat aacaggcttgc tgatgcctt agatgttctg ggcgcacac
1441 gctgtacact gacggggtca gcgaggcttctt tggccggaaag gcccggtaa ttgtttagc
1501 cccctgcgtc ttggggatag agcattgcaat ttatgcgtct tcaacgaggaa atccctagta
1561 agcgcaacttgc atcagttgc gttgattacat tccctgcctt ttgtcacacac cggccgtcgc
1621 tactaccgat tgaatggcgc agtggggcgt ccggacttgc ccaggagggt gggcaactac
1681 caccaggcgc cgaaaatgttcaaaatctcg gtcatttgcg ggaagtaaaa gtcgttaacaa
1741 ggtctcggtt ggtgaaccag cggagggg

Tab. 133: DNA-Sequenz von *Sarocladium kiliense* CBS 122.29 aus der Datenbank BLAST

Sphingomonas spec. LC435 16S ribosomal RNA gene, partial sequence
Accessions-Nr.: JQ014557.1
Taxonomie:
Bacteria; Proteobacteria; Alphaproteobacteria; Sphingomonadales; Sphingomonadaceae; *Sphingomonas*
Origin:
1 tgcaagtgcga acgaaactctt cggagtttagt ggcgcacggg tgcgtAACGC gtggaaatct
61 gccttgggtt acggataaat tcagaaaaat ttgtgtcaat accgtataat gacttcggc
121 caaagattta tcggccaagg atgagccgc gtaagattag ctatgttg gggtaaaagc
181 ctacaaggc gacgatctt agctggctg agaggatgt cagccacact gggactgaga
241 cacggccccag actcttacgg gaggcagcag tggggaaat tggacaatgg gcgaaaggct
301 gatccagcaa tgccgcgtga gtgatgaagg ctttaggggtt gtaaaggctct ttaccgggg
361 atgataatga cagtaccggg agaataagct ccggctaact ccgtgccagc agcccggtta
421 atacggaggg agcttagcgtt gttcggatt actgggcgtt aagcgcgcgtt aggccgtttt
481 ttaagtccaga ggttaaaggcc cggggctcaa ccccgaaatt gccttgaaa ctggaaaact
541 tgaatcttgg agaggttcgtt ggaattccga ttgttagaggtt gaaattccgtt gatattccgg
601 agaaacccagg tggcgaaggc gactgtactgg acaagtattt acgtcgagggtt gcgaaaggct
661 ggggagcaaa caggattaga taccctgttta tccacccggc taaacgatgt taacttagctg
721 tccgggttca tagaattttt gttccgcgcgta taacgcattttt atttatccgc ctggggagta
781 cggtcgcaag attaaaaactt aaaggaaattt acgggggcctt gcacaaggcg tggagcatgt
841 gggttaatttca gaagcaacgc gcagaacattt accagcgttt gacatccgtt tccgggatatt
901 gagagatctt ttcccttcaat tccgtgttgcgtt cagtttttttgcgttgcgttgcgttgcgttgc
961 ctctgttcgtt gagatgtttt gttaaatccc gcaacaggcg caaccctcat cccttagttgc
1021 catcatttcag tggggactt taaggaaatcc gcccgttgcata agccggaggaa agtgtggggat
1081 gacgtcaagt cctcatggcc cttacgcgtt gggcttacaca cgtgttacaaat tggcaactac
1141 agtggggcaggc aacctcgca ggggttagtta aatccaaaaat gttgttccgttgcgttgcgttgc
1201 tctctgcacat tcgagagcatt gaaaggcgaaat tcgcttagttaat tcgctggatca

Tab. 134: DNA-Sequenz von *Sphingomonas* spec. LC435 aus der Datenbank BLAST

Sphingomonas spec. Q5 16S ribosomal RNA gene, partial sequence
 Accessions-Nr.: FJ581440.1
 Taxonomie: Bacteria; Proteobacteria; Alphaproteobacteria; Sphingomonadales; Sphingomonadaceae; *Sphingomonas*
 Origin:
 1 gtcgaacgaa ggcttcggcc tttagtggcgc acgggtgcgt aacgcgtggg aatctgcccc
 61 ttggttcgga ataacagttt gaaatgactg ctaataccgg atgatgcgt aagtccaaag
 121 atttatcgcc aagggtatggaa cccgcgttagg atttagtgcgt tggtgtggta agagcgcacc
 181 aaggcgacga tccttagtgc gtctgaggg atgatcagcc acatgggac tgagacacgg
 241 cccgacatcc tacgggaggc agcagtgggg aatattggac aatgggcgaa agcgtatcc
 301 agcaatgccg cgtgactgtat gaaggcotta ggggtgtaaa gctttttac ccggatgtat
 361 aatgacagta ccgggagaat aagctccggc taactccgtc ccagcagccg cggtataatc
 421 gagggagcta gcgttattcg gaattactgg gcgttaaagcg cacgtaggcg gctttgtaa
 481 taagaggta aagcccagag ctcaactctg gaattgcctt ttagactgca tcgctgtaa
 541 catggagagg tcagtgaaat tccgagtgta gaggtgaaat tcgttagatat tcgaaagaac
 601 accagtggcg aaggccgtcg actggacatg tattgcgt gagggtgcga agcgtgggg
 661 gcaaaacagga tttagatacc tggtagtcca cgcgttaaac gatgataact agctgtccgg
 721 ggacttggtc ctgggtggc gcagctaaacg cattaagttt tccgcctggg gatgtccgg
 781 gcaaggtaa aactcaaatg aattgacggg ggcctgcaca agcgggtggag catgtggtt
 841 aatttgcaga aacgcgcaga accttaccag cggttgcacat ggttaggacgg ctccagaga
 901 tggatttcctt cccttcgggg acctacacac aggtgtgcga tggctgtcgt cagctcgtgt
 961 cgtgatgtt tgggttaagt cccgcacacg ggcgcacccct cgcctttagt taccatcat
 1021 tagttggta ctcttaagga accgcgggtg ataagccgga ggaagggtggg gatgacgtca
 1081 agtcctcatg ggccctacgc gctgggtac acacgtgcata caatggcaac tacagtgggc
 1141 agcaatcccg cgagggttagt ctaatttcca aaagtgtct cagttcggat tggttctctgc
 1201 aactcgagag catgaaggcg gaatcg

Tab. 135: DNA-Sequenz von *Sphingomonas* spec. Q5 aus der Datenbank BLAST

Sphingopyxis spec. Sco-B12 partial 16S rRNA gene	
Accessions-Nr.: FN386734.1	
Taxonomie:	
Bacteria; Proteobacteria; Alphaproteobacteria; Sphingomonadales; Sphingomonadaceae; Sphingopyxis	
Origin:	
1	ggctcagaac gaacgctggc ggcattgtta acacatgaa gtcgaacgag accttcgggt
61	ctagtggcgc acgggtcggt aacgcgtggg aatctgcctt taggtacggataaactcaga
121	gaaatttgtt ctaataccgt atgatgtcga aagaccaaag atttatcgcc taaggatgag
181	cccgcttaag attagcttgt tggtgaggta aaagctcacc aaggcgacga tcttttagtgc
241	gtctgagagg atgatcagcc acactgggac tgagacacgg cccagactcc tacgggaggc
301	agcagtgggg aatattggac aatggggcga agcctgatcc agcaatgccc cgtgagtgtat
361	gaaggccta ggggtgtaaa gctctttac caggatgtat aatgacagta cctggagaat
421	aagctccggc taactccgt ccagcggc cggtaatacgt gaggggagcta gcgttgcgt
481	gaattactgg gctgttaaaggc tacgtggcgttattcaag tcagatgtaa aagcctggag
541	ctcaactcca gaactgcctt tgaaactaga tagttagata cacggagagg tttagtggaaat
601	tccgagtgtt gaggtgtaaa tcgttagatata tcggaaagaa accagtggc aaggcgacta
661	actggacgtt tattgacgtt gaggtacgaa agcgtgggg gcaaacagga ttagatacccc
721	tgttagtcca cgccgttaaac gatgataact agctgttcgg gctctacgag cctgagtggc
781	gcagcttaacg cattaagtta tccgcctggg gagtacggc gcaaggattaa aactcaaagg
841	aatttgacggg ggcctgcaca agcgggtggg catgtggttt aattcgaagc aacgcgcaga
901	acatttacag cggttgcatacataatcggtt gttttcagatcgttattacatc tcaatttgcgc
961	tggattatgtt acagggtgtt catggctgtc gtcaatgtt gtcgttgcgtt gttgggtttaa
1021	gtcccccaac gagcgcaccc ctgcgttccatca gttggccatca ttcatgttggg cactctaagg
1081	aaactggccgg tgataagccg gaggaagggtt gggatgacgtt caagtccctca tggcccttac
1141	acgctgggtt acacacgtgc tacaatggcg gtgcacgtgg gcagcaaccg ggcgcaccgg
1201	acttaatctc caaaaacccgtt ctcagttccgtt attgttcttca gcaacttcgag agcatgaagg
1261	cggaatcgctt agtaatcggtt gatcgcgtt cccgggtt gaa tacgttccca ggccttgcgt
1321	acaccggcccg tcacaccatgtt gatgttggat tcacccgaag gcagtgcgtt aaccgcacagg
1381	aqqcaqctgtt ccacqgttgggg tt

Tab. 136: DNA-Sequenz von *Sphingopyxis* spec. Sco-B12 aus der Datenbank BLAST

Stenotrophomonas rhizophila strain N-2 16S ribosomal RNA gene, partial sequence
Accessions-Nr.: JQ890538.1
Taxonomie:
Bacteria; Proteobacteria; Gammaproteobacteria; Xanthomonadales; Xanthomonadaceae; *Stenotrophomonas*
Origin:
1 tgcagtcgaa cggcagcaca gtaagagctt gcttttatgg gtggcgagtg gcggacgggt
61 gaggataaca tcggaatca ccttttcgtg gggataacg tagggaaact tacgtaata
121 ccgcatacga ccttcgggtg aaagcagggg accttcgggc ctgcgcggg tagatgagcc
181 gatgtcgat tagctagttt gccccgtaaa ggccaccaa ggccgacgatc cgtagcttgt
241 ctgagaggat gatcagccac actggaaactg agacacggtc cagactccta cgggaggcag
301 cagtgggaa tattggacaa tgggcgcaga cctgatccag ccataccgcg tgggtgaaga
361 aggccctcgg gttgtaaagc ccttttggg ggaaagaaaa gcagtcggct aatacccggt
421 tggctctgacg gtacccaaag aataagcacc ggctacttc gtgcacgcac ccgcggtaat
481 acaagggttg caagcgttac tcggaaattac tggcgtaaa gcgtcgatc gtgggtgtt
541 aagtctgtt tgaaaggccc gggctcaacc tgggatttcg atggataact gggcgactag
601 atgtgtttagt agggatgttg aattcccggt tagcgttgc aatgcgtaga gatcgggagg
661 aacatccatg gcgaaggcag ctacctggac caacactgac actgaggcac gaaagcgtgg
721 ggagcaaaca ggatttagata ccctggtagt ccacgcctta aacgatgcga actggatgtt
781 gggtgcattt tggcacgcag tatcgaagct aacgcgttac gttcgccgc tggggagtag
841 ggtgcagaaga ctgaaactca aaggaattga cgggggccccg cacaaggcggt ggagtagtgt
901 gtttaattcg atgcaacgcg aagaacctta cttgttctt acatgtcgag aactttccag
961 agatggattt gtgccttcgg gaactcgaac acaggatgtgc catggctgc gtcagctgt
1021 gtcgtgatgat ttgggtttaa gtcggcaac gagcgttac cttgtccctt gttgcacca
1081 cgtaatggtg ggaactctaa ggagacccgc ggtgacaaac cggaggaaagg tggggatgtac
1141 gtcagaatcat catggccctt acgaccaggg ctacacacgt actacaatgg tagggacaga
1201 gggctgcataa cccgcgaggg caagccaatc ccagaaccc tatctcgtt cggattggag
1261 ttcgtcaactc gactccatgt agtcgaatc gtcgttac cgcgttac gtcagatcgtc attgtgtcggt
1321 tgaatacgtt cccggggccctt gtacacaccc cccgttacac catggggatgtt tttgcacca
1381 gaagcgggtt gctttaa

Tab. 137: DNA-Sequenz von *Stenotrophomonas rhizophila* N-2 aus der Datenbank BLAST

<i>Stenotrophomonas</i> spec. DD7 16S ribosomal RNA gene, partial sequence Accessions-Nr.: JQ435720.1
Taxonomie:
Bacteria; Proteobacteria; Gammaproteobacteria; Xanthomonadales; Xanthomonadaceae; <i>Stenotrophomonas</i>
Origin:
1 gtaggccctaa ctacagcaag tcgaacggca gcacaggaga gcttgcgttc tgggtggcga 61 gtggcgacg ggtgaggaat gcatcggaat ctactcttc gtgggggata acgttaggaa 121 acttacgcta ataccgcata cgacctacgg gtgaaagccg gggaccccg ggcctggcg 181 gaatgaatga gccgatgcc gattagctag ttggcggtt aagagccac caaggcgacg 241 atccgttagt ggtctgagag gatgatcagc cacaactggaa ctgagacacg gtccagactc 301 ctacgggagg cagcagtgg gaatattgga caatggcgcc aagcctgatc cagccatacc 361 gcgtgggtga aagaaggccctt ccgggtttaa agcccttttg ttgggaaaaga aaagcagctg 421 gttaataccctt gggttgttctg acggtagccca aagaataaaggc accgggttaac ttctgtgcgg

481 cagccgcggg aatacgaagg gtgcgaacgt tactcggaat tacttggcgt aaagcgtgc
541 tagtgtttg ttaagtctg tcgtgaaagc cctgggctca acctggaat tgcatggaa
601 actgggcac tagagtgtgg cagaggatag tggaaattcct ggtgttagcag taaaatcgct
661 agagatcagg aggaacatcc gtggcgaagg cgactgtctg gccaaacact gacactgagg
721 cacaaaaagcg tggggagacaa acaggattag atacccttgtt agtcacacgccc ctaaacatgt
781 cgaactggat gttgggtgca atttggcacg cagttatcgaa gctaacgcgt taatgttcgg
841 gcctggggag tacgggtcgca agactgaaat tcaaaggaaat tgacggggcc cccacaagg
901 gttggatgtt gttgtttat tcgatgcacaa gcaagaacc ttacccggcc ttgacatgc
961 cggaaacttcc caagatgtgg ttggtgccctt cggaaaccgt qacacagggtg ctgcatttgt
1021 gtctgcgtcgtgaa gatgttgggt taagtccgc aacgagcgca acccttgc
1081 ttagttgcca gcacgtaatg gtgggaactc taaggagacc gccggtgaca aaccggagga
1141 aggtggggat gacgtcaatg catcatggcc cttacggcca gggctacaca cgtactacaa
1201 tggtggggac agagggtcga aagccggcga cggtaagccca atcccgaaaa ccstatctca
1261 gtcggattt gaggctgca ctcgactcca tgaactcgga atcgactgtat atcgacatc
1321 agcattgtcg cggtaatac gttccggc cttgtacaca cccggctca caccatggga
1381 gtttgtgca ccagaagcag gttagcttaac cttcggggagg gcgcttgcca cggtgtggcc
1441 gatgactggg gtgaagtctg aacaaggtag cctgtatcgga agggcggctg gatcaccctcc
1501 tt

Tab. 138: DNA-Sequenz von *Stenotrophomonas* spec. DD7 aus der Datenbank BLAST

Steroidobacter denitrificans strain FS 16S ribosomal RNA, partial sequence
 Accessions-Nr.: NR_044309.1

Taxonomie:
 Bacteria; Proteobacteria; Gammaproteobacteria; Xanthomonadales; Sinobacteraceae; *Steroidobacter*

Origin:

```

 1  gtcagattt aacgctggcg gcgtgcctaa cacatgcagg tcgagcggtt acagggttag
 61 catacatgc tgacgagcgg cggaacgggtt agtaacgcgtt ggaaatctgc ctattagtgg
 121 gggataactc gggaaactc gagctaatac cgcatacgca ctacggtgga aagctgggg
 181 ccgcaaggcc tggcgttaat agatgagccc aagtgcgtt agctagtgg tagggtaatg
 241 gcttaccaag ggcacgttcc gtaactggtc tgagaggacg accagtccaca ccggaaactga
 301 gacacggtcc ggactcctac gggaggcgcg agtggggat attggacaat gggcgaaagc
 361 ctgatccagc gacgcccgcg gggtaaagaa ggcctgcggg ttgtaaagcc ctttcgttgg
 421 ggaagaaaag ctcgttgtt ataccctggg gtctgtacgtt aaccataga agaagcaccg
 481 gctaacttgc tggcgttgtt cgcgttataa cagagggtgc gagcgttaat cggaaattact
 541 gggcgttaaag cgcgcgttagg cggcttttgc agtccgtat gaaatccccg ggctcaaccc
 601 gggactgcg ttcgagactg cattgttgcgat gtatggggaa gggaaagtggg atttcaggtt
 661 tagcggtgaa atgcgttagat atctgaaggaa acatcgttgg cggaaagcgcg ttccctggacc
 721 aatactgacg ctcatgttgcg aaagcgtggg gagcaaacag gattagatac ctttgttagtc
 781 cacgcctataa acgtatggaa ctggatgtcg ggagggttct gccttcgggt gtctgtacta
 841 acgcgttaag ttctccgcctt gggggatgtacg gcccgcgtt gtaaactccaa aggaattgtac
 901 ggggacccgcg aacaagggttgc gaggatgtgg ttaatttcgcg tcaacgcgcg agaaccttac
 961 ctggcttgcg catcccgaggaa atccgttgcgat gatgcgggg tgcccttcggg aacctggaga
 1021 cagggtgtgc atggctgtcg tcagttgttgc tgctgtatggatg ttgggttaag tcccgcaacg
 1081 agcgcaaccc ttgccttag ttgcgcgtt tcagttggaa actctaaaggg gaccggccgg
 1141 gacaaacccgg aggaagggttgc ggatgcgttca aagtcatcat ggccctttagt accagggttca
 1201 cacacgtgtc acaatggcca gtacaaagggttgc gtcacccgcg gcgaggggga gctaattccca
 1261 taaaatgtgtt cgttagtccgg atgcgttgc gcaactcggtc tgctgtatggatg cggaaatcggt
 1321 agtaatgttgc aatcgttgcgtt gtcacccgttca atacgttccc gggttgcgttgc cacacccggcc
 1381 qtcacccat qqqqgttqat tqcacca
  
```

Tab. 139: DNA-Sequenz von *Steroidobacter denitrificans* FS aus der Datenbank BLAST

```
1141 aactctaagg ggaccgcgg tgacaaaccg gaggaaggtg gggatgacgt caagtcatca
1201 tggcccttat gaccagggtc acacacgtgc tacaatggcc ggtacaaagg gttgccaacc
1261 cgcgaggggg agccaatccc aaaaagccgg tcgttagtccg gatcgacgtc tgcaactcgg
1321 ctgcgtgaag tcggaatcgc tagtaatcgt gaatcagcga tgtcacgggt aatacgttcc
1381 cgggtcttgc acacaccgcc cgtcacacca tggagttga ttgcaccaga agtaggtac
1441 ctaaccgcaa ggagggcgct taccacggtg tggtaatga ctgggggtgaa gtcgtaccaa
1501 gtagccaa
```

Tab. 140: DNA-Sequenz von *Steroidobacter* spec. ZUMI 37 aus der Datenbank BLAST

7.5 Verzeichnis der Abbildungen

Seite:

<u>Abb. 1</u>	Habitus eines männlichen Individuums von <i>Asellus aquaticus</i> (Lateralansicht)	5
<u>Abb. 2</u>	Habitus von <i>Asellus aquaticus</i> , ♀ (Dorsalansicht)	6
<u>Abb. 3</u>	<i>Cladosporium herbarum</i> aus einem deutschen Trinkwasserverteilungssystemen	8
<u>Abb. 4</u>	Mobile Beprobungs- und Filterapparatureinheit der Firma Scheideler Verfahrenstechnik GmbH	9
<u>Abb. 5</u>	Hälterungs- und Versuchsreaktor	10
<u>Abb. 6</u>	Myzel von <i>Cladosporium herbarum</i> auf Agar; nach 10 Wochen bei 25 °C im Brutschrank	11
<u>Abb. 7</u>	Lage des Pleopoden 2 (plp 2) am Pleotelson (plt) von <i>Asellus aquaticus</i> , ♂ (Ventralansicht)	13
<u>Abb. 8</u>	Detailszeichnung Pleotelson von <i>Asellus aquaticus</i> , ♂ (Ventralansicht) und Detailszeichnung Pleopod 2 von <i>Asellus aquaticus</i> , ♂	14
<u>Abb. 9</u>	Darmpräparation bei <i>Asellus aquaticus</i> (Ventralansicht)	15
<u>Abb. 10</u>	Trocknungsgefäß	16
<u>Abb. 11</u>	Getrocknete Asseldärme auf einem Probenteller	16
<u>Abb. 12</u>	Aufkonzentrierte (25 µm) Trinkwasserproben von einer Entnahmestelle über einen Zeitraum von 12 Monaten	24
<u>Abb. 13</u>	Lichtmikroskopische Aufnahme Asselkot-Pellet und Detritus	26
<u>Abb. 14</u>	<i>Asellus aquaticus</i> (Dorsalansicht)	26
<u>Abb. 15</u>	Lichtmikroskopische Aufnahme des 2. Pleopoden von <i>Asellus aquaticus</i> (♂)	27
<u>Abb. 16</u>	Hydrantenspülung; <i>Proasellus cavaticus</i> , Detritus und Rostpartikel	27
<u>Abb. 17</u>	Detailzeichnung Pleopod 2 von <i>Proasellus cavaticus</i> , ♂ und mikroskopisches Präparat des plp2 von <i>Proasellus cavaticus</i> , ♂	28
<u>Abb. 18</u>	Makroskopische Aufnahme von <i>Proasellus cavaticus</i> , ♂ (Dorsal- und Lateralansicht)	29
<u>Abb. 19.1</u>	Fressversuch mit <i>Asellus aquaticus</i> (<i>Marmoricola</i> spec. und <i>Aquabacterium commune</i>)	33

<u>Abb. 19.2</u>	Fressversuch mit <i>Asellus aquaticus</i> (<i>Marmoricola</i> spec. und <i>Aquabacterium commune</i>)	34
<u>Abb. 20.1</u>	Fressversuch mit <i>Asellus aquaticus</i> (<i>Marmoricola</i> spec. und <i>Cladosporium herbarum</i>)	35
<u>Abb. 20.2</u>	Fressversuch mit <i>Asellus aquaticus</i> (<i>Marmoricola</i> spec. und <i>Cladosporium herbarum</i>)	36
<u>Abb. 20.3</u>	Fressversuch mit <i>Asellus aquaticus</i> (<i>Marmoricola</i> spec. und <i>Cladosporium herbarum</i>)	37
<u>Abb. 21</u>	Rasterelektronenmikroskopische Darmquerschnittsbilder, <i>Proasellus cavaticus</i> (Netzspülung, Probe E1)	40
<u>Abb. 22</u>	EDX-Spektrum Probe E1, Messpunkt 1	41
<u>Abb. 23</u>	EDX-Spektrum Probe E1, Messpunkt 2	41
<u>Abb. 24</u>	Rasterelektronenmikroskopische Darmquerschnittsbilder, <i>Asellus aquaticus</i> (Netzspülung, Probe Br1)	42
<u>Abb. 25</u>	EDX-Spektrum Probe Br1, Messpunkt 1	43
<u>Abb. 26</u>	EDX-Spektrum Probe Br1, Messpunkt 2	43
<u>Abb. 27</u>	EDX-Spektrum Probe Br1, Messpunkt 3	44
<u>Abb. 28</u>	Rasterelektronenmikroskopische Darmquerschnittsbilder, <i>Asellus aquaticus</i> (Hungerversuch, Probe 12)	45
<u>Abb. 29</u>	EDX-Spektrum Probe 12, Messpunkt 1	46
<u>Abb. 30</u>	EDX-Spektrum Probe 12, Messpunkt 2	46
<u>Abb. 31</u>	Rasterelektronenmikroskopische Aufnahme eines Darm- rohrs (vorderes Drittel) von <i>Proasellus cavaticus</i> (Netz- spülung, Probe E45)	47
<u>Abb. 32</u>	EDX-Spektrum Probe E45, Messpunkt	47
<u>Abb. 33</u>	Fressversuch <i>Asellus aquaticus</i> / <i>Cladosporium herbarum</i> (10P)	49
<u>Abb. 34</u>	Fressversuch <i>Asellus aquaticus</i> / <i>Cladosporium herbarum</i> (11P)	50
<u>Abb. 35</u>	Hungerversuch <i>Asellus aquaticus</i> (12P)	51
<u>Abb. 36</u>	Hungerversuch <i>Asellus aquaticus</i> (13P)	52
<u>Abb. 37</u>	Fressversuch <i>Asellus aquaticus</i> / Schwarzerlenblätter (B1P)	53
<u>Abb. 38</u>	Fressversuch <i>Asellus aquaticus</i> / Schwarzerlenblätter (B2P)	54

<u>Abb. 39</u>	Freilandprobe <i>Asellus aquaticus</i> (Br1P)	56
<u>Abb. 40</u>	Freilandprobe <i>Proasellus cavaticus</i> (E1P)	57
<u>Abb. 41</u>	Freilandprobe <i>Proasellus cavaticus</i> (EIP)	58
<u>Abb. 42</u>	Freilandprobe <i>Proasellus cavaticus</i> (E45P)	59
<u>Abb. 43</u>	Freilandprobe <i>Proasellus cavaticus</i> (E1E)	60
<u>Abb. 44</u>	Freilandprobe <i>Proasellus cavaticus</i> (EVE)	61
<u>Abb. 45</u>	Freilandprobe <i>Proasellus cavaticus</i> (EVIE)	61
<u>Abb. 46</u>	Freilandprobe <i>Proasellus cavaticus</i> (E45E)	62
<u>Abb. 47</u>	Farbcodierung der übergeordneten Taxa	63
<u>Abb. 48</u>	Übersichtsdarstellung der DNA-Analysenergebnisse Proben 10 und 11	64
<u>Abb. 49</u>	Übersichtsdarstellung der DNA-Analysenergebnisse Proben 12, 13 und Br1	64
<u>Abb. 50</u>	Übersichtsdarstellung der DNA-Analysenergebnisse Proben B1	64
<u>Abb. 51</u>	Übersichtsdarstellung der DNA-Analysenergebnisse Proben E1, EI, EII, EV, EVI	65
<u>Abb. 52</u>	Übersichtsdarstellung der DNA-Analysenergebnisse Proben E45, EIII, EIV, EVII, EVIII	65
<u>Abb. 53</u>	Sequenzlängen [Basenpaare] der Klone 1-48; Probe 10P	99
<u>Abb. 54</u>	maximale Identität [Prozent] der Klone 1-48; Probe 10P	99
<u>Abb. 55</u>	Sequenzlängen [Basenpaare] der Klone 1-48; Probe 11P	100
<u>Abb. 56</u>	maximale Identität [Prozent] der Klone 1-48; Probe 11P	100
<u>Abb. 57</u>	Sequenzlängen [Basenpaare] der Klone 1-24; Probe 10E	100
<u>Abb. 58</u>	maximale Identität [Prozent] der Klone 1-24; Probe 10E	101
<u>Abb. 59</u>	Sequenzlängen [Basenpaare] der Klone 1-24; Probe 11E	101
<u>Abb. 60</u>	maximale Identität [Prozent] der Klone 1-24; Probe 11E	101
<u>Abb. 61</u>	Sequenzlängen [Basenpaare] der Klone 1-48; Probe 12P	102
<u>Abb. 62</u>	maximale Identität [Prozent] der Klone 1-48; Probe 12P	102
<u>Abb. 63</u>	Sequenzlängen [Basenpaare] der Klone 1-48; Probe 13P	102
<u>Abb. 64</u>	maximale Identität [Prozent] der Klone 1-48; Probe 13P	103
<u>Abb. 65</u>	Sequenzlängen [Basenpaare] der Klone 1-48; Probe B1P	103

<u>Abb. 66</u>	maximale Identität [Prozent] der Klone 1-48; Probe B1P	103
<u>Abb. 67</u>	Sequenzlängen [Basenpaare] der Klone 1-48; Probe B2P	104
<u>Abb. 68</u>	maximale Identität [Prozent] der Klone 1-48; Probe B2P	104
<u>Abb. 69</u>	Sequenzlängen [Basenpaare] der Klone 1-48; Probe B1E	104
<u>Abb. 70</u>	maximale Identität [Prozent] der Klone 1-48; Probe B1E	105
<u>Abb. 71</u>	Sequenzlängen [Basenpaare] der Klone 1-48; Probe B2E	105
<u>Abb. 72</u>	maximale Identität [Prozent] der Klone 1-48; Probe B2E	105
<u>Abb. 73</u>	Sequenzlängen [Basenpaare] der Klone 1-48; Probe Br1P	106
<u>Abb. 74</u>	maximale Identität [Prozent] der Klone 1-48; Probe Br1P	106
<u>Abb. 75</u>	Sequenzlängen [Basenpaare] der Klone 1-48; Probe Br1E	106
<u>Abb. 76</u>	maximale Identität [Prozent] der Klone 1-48; Probe Br1E	107
<u>Abb. 77</u>	Sequenzlängen [Basenpaare] der Klone 1-48; Probe E1P	107
<u>Abb. 78</u>	maximale Identität [Prozent] der Klone 1-48; Probe E1P	107
<u>Abb. 79</u>	Sequenzlängen [Basenpaare] der Klone 1-48; Probe EIP	108
<u>Abb. 80</u>	maximale Identität [Prozent] der Klone 1-48; Probe EIP	108
<u>Abb. 81</u>	Sequenzlängen [Basenpaare] der Klone 1-48; Probe EIIP	108
<u>Abb. 82</u>	maximale Identität [Prozent] der Klone 1-48; Probe EIIP	109
<u>Abb. 83</u>	Sequenzlängen [Basenpaare] der Klone 1-48; Probe E45P	109
<u>Abb. 84</u>	maximale Identität [Prozent] der Klone 1-48; Probe E45P	109
<u>Abb. 85</u>	Sequenzlängen [Basenpaare] der Klone 1-48; Probe EIIIP	110
<u>Abb. 86</u>	maximale Identität [Prozent] der Klone 1-48; Probe EIIIP	110
<u>Abb. 87</u>	Sequenzlängen [Basenpaare] der Klone 1-48; Probe EIVP	110
<u>Abb. 88</u>	maximale Identität [Prozent] der Klone 1-48; Probe EIVP	111
<u>Abb. 89</u>	Sequenzlängen [Basenpaare] der Klone 1-48; Probe E1E	111
<u>Abb. 90</u>	maximale Identität [Prozent] der Klone 1-48; Probe E1E	111
<u>Abb. 91</u>	Sequenzlängen [Basenpaare] der Klone 1-48; Probe EVE	112
<u>Abb. 92</u>	maximale Identität [Prozent] der Klone 1-48; Probe EVE	112
<u>Abb. 93</u>	Sequenzlängen [Basenpaare] der Klone 1-48; Probe EVIE	112
<u>Abb. 94</u>	maximale Identität [Prozent] der Klone 1-48; Probe EVIE	113
<u>Abb. 95</u>	Sequenzlängen [Basenpaare] der Klone 1-48; Probe E45E	113

<u>Abb. 96</u>	maximale Identität [Prozent] der Klone 1-48; Probe E45E	113
<u>Abb. 97</u>	Sequenzlängen [Basenpaare] der Klone 1-48; Probe EVIIIE	114
<u>Abb. 98</u>	maximale Identität [Prozent] der Klone 1-48; Probe EVIIIE	114
<u>Abb. 99</u>	Sequenzlängen [Basenpaare] der Klone 1-48; Probe EVIIIIE	114
<u>Abb. 100</u>	maximale Identität [Prozent] der Klone 1-48; Probe EVIIIIE	115

7.6 Verzeichnis der Tabellen

	Seite:
<u>Tab. 1</u> Terminologie Crustacea	7
<u>Tab. 2</u> Physikalische Wasserparameter während der Hälterung der Isopoden in den Reaktoren	11
<u>Tab. 3</u> Zusammensetzung der gebrauchsfertigen Agarplatten für die Kultivierung von <i>Cladosporium herbarum</i>	17
<u>Tab. 4</u> Puffer und Lösungen für die Gelelektrophorese	17
<u>Tab. 5</u> Chemikalien für die Präparation der Isopoden, PCR und Gelelektrophorese	18
<u>Tab. 6</u> Zusammensetzung <i>Taq</i> PCR MasterMix	19
<u>Tab. 7</u> Zusammensetzung der PCR-Ansätze für die Vervielfältigung der prokaryotischen DNA-Sequenzen	19
<u>Tab. 8</u> Zusammensetzung der PCR-Ansätze für die Vervielfältigung der eukaryotischen DNA-Sequenzen (Fressversuche mit <i>Cladosporium herbarum</i> , Fungi)	20
<u>Tab. 9</u> Zusammensetzung des PCR-Ansatzes für die Vervielfältigung der eukaryotischen DNA-Sequenzen (Freilandproben)	21
<u>Tab. 10</u> Zuordnung der verwendeten Primer und Anzahl der Klone für die DNA-Sequenzierung	22
<u>Tab. 11</u> Ergebnisse der organoleptisch-physikalisch-chemischen und biologischen Trinkwasseruntersuchung	25
<u>Tab. 12</u> Streubereiche und Mittelwerte der maximalen Identitäten (Prokaryota)	96
<u>Tab. 13</u> Streubereiche und Mittelwerte der maximalen Identitäten (Eukaryota)	98
<u>Tab. 14</u> Zuordnungen der Klon-Sequenz-Nummern zu den entsprechenden Taxa; Probe 10P	116
<u>Tab. 15</u> Zuordnungen der Klon-Sequenz-Nummern zu den entsprechenden Taxa; Probe 10E	116
<u>Tab. 16</u> Zuordnungen der Klon-Sequenz-Nummern zu den entsprechenden Taxa; Probe 11P	116
<u>Tab. 17</u> Zuordnungen der Klon-Sequenz-Nummern zu den entsprechenden Taxa; Probe 11E	118
<u>Tab. 18</u> Zuordnungen der Klon-Sequenz-Nummern zu den entsprechenden Taxa; Probe 12P	118

<u>Tab. 19</u>	Zuordnungen der Klon-Sequenz-Nummern zu den entsprechenden Taxa; Probe 13P	119
<u>Tab. 20</u>	Zuordnungen der Klon-Sequenz-Nummern zu den entsprechenden Taxa; Probe B1P	120
<u>Tab. 21</u>	Zuordnungen der Klon-Sequenz-Nummern zu den entsprechenden Taxa; Probe B1E	121
<u>Tab. 22</u>	Zuordnungen der Klon-Sequenz-Nummern zu den entsprechenden Taxa; Probe B2P	121
<u>Tab. 23</u>	Zuordnungen der Klon-Sequenz-Nummern zu den entsprechenden Taxa; Probe B2E	123
<u>Tab. 24</u>	Zuordnungen der Klon-Sequenz-Nummern zu den entsprechenden Taxa; Probe Br1P	123
<u>Tab. 25</u>	Zuordnungen der Klon-Sequenz-Nummern zu den entsprechenden Taxa; Probe Br1E	123
<u>Tab. 26</u>	Zuordnungen der Klon-Sequenz-Nummern zu den entsprechenden Taxa; Probe E1P	124
<u>Tab. 27</u>	Zuordnungen der Klon-Sequenz-Nummern zu den entsprechenden Taxa; Probe E1E	125
<u>Tab. 28</u>	Zuordnungen der Klon-Sequenz-Nummern zu den entsprechenden Taxa; Probe E45P	125
<u>Tab. 29</u>	Zuordnungen der Klon-Sequenz-Nummern zu den entsprechenden Taxa; Probe E45E	127
<u>Tab. 30</u>	Zuordnungen der Klon-Sequenz-Nummern zu den entsprechenden Taxa; Probe EIP	127
<u>Tab. 31</u>	Zuordnungen der Klon-Sequenz-Nummern zu den entsprechenden Taxa; Probe EVE	127
<u>Tab. 32</u>	Zuordnungen der Klon-Sequenz-Nummern zu den entsprechenden Taxa; Probe EIIP	128
<u>Tab. 33</u>	Zuordnungen der Klon-Sequenz-Nummern zu den entsprechenden Taxa; Probe EVIE	128
<u>Tab. 34</u>	Zuordnungen der Klon-Sequenz-Nummern zu den entsprechenden Taxa; Probe EIIIP	128
<u>Tab. 35</u>	Zuordnungen der Klon-Sequenz-Nummern zu den entsprechenden Taxa; Probe EVIIE	129
<u>Tab. 36</u>	Zuordnungen der Klon-Sequenz-Nummern zu den entsprechenden Taxa; Probe EIVP	129
<u>Tab. 37</u>	Zuordnungen der Klon-Sequenz-Nummern zu den entsprechenden Taxa; Probe EVIIIE	129

<u>Tab. 38</u>	DNA-Sequenz von <i>Achromobacter</i> spec. CCUG 3353	130
<u>Tab. 39</u>	DNA-Sequenz von <i>Aciditerrimonas</i> spec. CH22-21	130
<u>Tab. 40</u>	DNA-Sequenz von <i>Acidovorax</i> spec. 'smarlab 133815'	130
<u>Tab. 41</u>	DNA-Sequenz von <i>Acidovorax</i> spec. S4	131
<u>Tab. 42</u>	DNA-Sequenz von <i>Acinetobacter johnsonii</i>	131
<u>Tab. 43</u>	DNA-Sequenz von <i>Acremonium strictum</i> DS1bioAY4a	132
<u>Tab. 44</u>	DNA-Sequenz von <i>Aeromonas hydrophila</i> QDC01	132
<u>Tab. 45</u>	DNA-Sequenz von <i>Aeromonas hydrophila</i> subsp. <i>hydrophila</i> NBRC 13286	132
<u>Tab. 46</u>	DNA-Sequenz von <i>Aeromonas salmonicida</i> E84	133
<u>Tab. 47</u>	DNA-Sequenz von <i>Aeromonas salmonicida</i> ZHYYZ-5	133
<u>Tab. 48</u>	DNA-Sequenz von <i>Aeromonas salmonicida</i> subsp. <i>salmonicida</i> NBRC 12659	134
<u>Tab. 49</u>	DNA-Sequenz von <i>Aeromonas sobria</i> M-T-TSA 98	134
<u>Tab. 50</u>	DNA-Sequenz von <i>Aeromonas</i> spec. c55(2012)	135
<u>Tab. 51</u>	DNA-Sequenz von <i>Aeromonas</i> spec. 156B	135
<u>Tab. 52</u>	DNA-Sequenz von <i>Afipia</i> spec. BALT12-S13	135
<u>Tab. 53</u>	DNA-Sequenz von <i>Afipia</i> spec. sptzw29	136
<u>Tab. 54</u>	DNA-Sequenz von <i>Arenimonas</i> spec. CH15-1	136
<u>Tab. 55</u>	DNA-Sequenz von <i>Arthrobacter oxydans</i> S32219	136
<u>Tab. 56</u>	DNA-Sequenz von <i>Asellus aquaticus</i>	137
<u>Tab. 57</u>	DNA-Sequenz von <i>Aspergillus</i> spec.	137
<u>Tab. 58</u>	DNA-Sequenz von <i>Bradyrhizobium</i> spec. RS-46	138
<u>Tab. 59</u>	DNA-Sequenz von <i>Brevundimonas bullata</i> strain BW56UT1570	138
<u>Tab. 60</u>	DNA-Sequenz von <i>Caulobacter vibrioides</i> JCT-7	139
<u>Tab. 61</u>	DNA-Sequenz von <i>Caulobacter</i> spec. FWC08	139
<u>Tab. 62</u>	DNA-Sequenz von <i>Caulobacter</i> spec. ECN-2008	139
<u>Tab. 63</u>	DNA-Sequenz von <i>Chitinibacter</i> spec. SK16	140
<u>Tab. 64</u>	DNA-Sequenz von <i>Cladosporium</i> spec. 2 FW1PhC3-1	140
<u>Tab. 65</u>	DNA-Sequenz von <i>Crenothrix polyspora</i>	141
<u>Tab. 66</u>	DNA-Sequenz von <i>Davidiella tassiana</i> UFMGCB 3684	141

<u>Tab. 67</u>	DNA-Sequenz von <i>Ectothiorhodospira</i> spec. AM4	141
<u>Tab. 68</u>	DNA-Sequenz von <i>Enterobacter cloacae</i> MS-27	142
<u>Tab. 69</u>	DNA-Sequenz von <i>Enterobacter cloacae</i> subsp. <i>cloacae</i> ENHKU01	142
<u>Tab. 70</u>	DNA-Sequenz von <i>Enterobacter</i> spec. HWE-103	142
<u>Tab. 71</u>	DNA-Sequenz von <i>Enterobacter</i> spec. S6BB	143
<u>Tab. 72</u>	DNA-Sequenz von <i>Enterovibrio</i> spec. 09BSKS-4	143
<u>Tab. 73</u>	DNA-Sequenz von <i>Erwinia persicina</i> mskrs1ap	144
<u>Tab. 74</u>	DNA-Sequenz von <i>Erwinia rhabontici</i>	144
<u>Tab. 75</u>	DNA-Sequenz von <i>Exiguobacterium undae</i>	144
<u>Tab. 76</u>	DNA-Sequenz von <i>Flavobacterium denitrificans</i> JS14-1	145
<u>Tab. 77</u>	DNA-Sequenz von <i>Flavobacterium hercynium</i> WB 4.2-78	145
<u>Tab. 78</u>	DNA-Sequenz von <i>Flavobacterium resistens</i> BD-b365	146
<u>Tab. 79</u>	DNA-Sequenz von <i>Flavobacterium</i> spec. HME6120	146
<u>Tab. 80</u>	DNA-Sequenz von <i>Flavobacterium</i> spec. R-36233	146
<u>Tab. 81</u>	DNA-Sequenz von <i>Flavobacterium</i> spec. R7Sb-3-1	147
<u>Tab. 82</u>	DNA-Sequenz von <i>Flavobacterium</i> spec. 1126-1H-08	147
<u>Tab. 83</u>	DNA-Sequenz von <i>Fusarium</i> spec. ZLH-X6	148
<u>Tab. 84</u>	DNA-Sequenz von <i>Gaiella occulta</i> F2-233	148
<u>Tab. 85</u>	DNA-Sequenz von <i>Geobacter metallireducens</i> GS-15	149
<u>Tab. 86</u>	DNA-Sequenz von <i>Gibberella moniliformis</i> A-00149	149
<u>Tab. 87</u>	DNA-Sequenz von <i>Haematobacter massiliensis</i> H2136	150
<u>Tab. 88</u>	DNA-Sequenz von <i>Hyphomicrobium facile</i> subsp. <i>tolerans</i> IFAM I-551	150
<u>Tab. 89</u>	DNA-Sequenz von <i>Hyphomicrobium vulgare</i>	150
<u>Tab. 90</u>	DNA-Sequenz von <i>Hyphomicrobium</i> spec. KC-IT-W2	151
<u>Tab. 91</u>	DNA-Sequenz von <i>Methylobacterium zatmanii</i> strain DSM 5688	151
<u>Tab. 92</u>	DNA-Sequenz von <i>Methylocapsa aurea</i> KYGT	152
<u>Tab. 93</u>	DNA-Sequenz von <i>Methylocystis echinoides</i> 2	152
<u>Tab. 94</u>	DNA-Sequenz von <i>Methylosinus trichosporium</i> KS21	152
<u>Tab. 95</u>	DNA-Sequenz von <i>Microbacterium lacus</i> R-43968	153

<u>Tab. 96</u>	DNA-Sequenz von <i>Microbacterium oxydans</i> IARI-K-83	153
<u>Tab. 97</u>	DNA-Sequenz von <i>Microbacterium oxydans</i> strain O-5	154
<u>Tab. 98</u>	DNA-Sequenz von <i>Microbacterium paraoxydans</i> 3200	154
<u>Tab. 99</u>	DNA-Sequenz von <i>Micrococcus</i> spec. HEXBA04	154
<u>Tab. 100</u>	DNA-Sequenz von <i>Mycobacterium</i> spec. S061	155
<u>Tab. 101</u>	DNA-Sequenz von <i>Mycobacterium</i> spec. 12/13.28 AW	155
<u>Tab. 102</u>	DNA-Sequenz von <i>Naegleria</i> spec. SUM3V/I	156
<u>Tab. 103</u>	DNA-Sequenz von <i>Pantoea agglomerans</i> CE21	156
<u>Tab. 104</u>	DNA-Sequenz von <i>Pedomicrobium fusiforme</i> DSM 5304	157
<u>Tab. 105</u>	DNA-Sequenz von <i>Pedomicrobium manganicum</i> ATCC 33121	157
<u>Tab. 106</u>	DNA-Sequenz von <i>Pelomonas saccharophila</i> NBRC 103037	158
<u>Tab. 107</u>	DNA-Sequenz von <i>Phoma</i> spec. ZHA	158
<u>Tab. 108</u>	DNA-Sequenz von <i>Photobacterium</i> spec. HAR72	159
<u>Tab. 109</u>	DNA-Sequenz von <i>Pichia</i> spec. LHY1	159
<u>Tab. 110</u>	DNA-Sequenz von <i>Proasellus slavus</i> / <i>Proasellus cavaticus</i>	160
<u>Tab. 111</u>	DNA-Sequenz von <i>Protacanthamoeba bohemica</i>	160
<u>Tab. 112</u>	DNA-Sequenz von <i>Pseudomonas denitrificans</i> strain KH-1	161
<u>Tab. 113</u>	DNA-Sequenz von <i>Pseudomonas fluorescens</i> EvS4-B1	161
<u>Tab. 114</u>	DNA-Sequenz von <i>Pseudomonas mandelii</i> McBRA2	161
<u>Tab. 115</u>	DNA-Sequenz von <i>Pseudomonas putida</i> CY04	162
<u>Tab. 116</u>	DNA-Sequenz von <i>Pseudomonas putida</i> MC4	162
<u>Tab. 117</u>	DNA-Sequenz von <i>Pseudomonas putida</i> MPV2	163
<u>Tab. 118</u>	DNA-Sequenz von <i>Pseudomonas putida</i> SXMAS-6	163
<u>Tab. 119</u>	DNA-Sequenz von <i>Pseudomonas</i> spec. gyq9	164
<u>Tab. 120</u>	DNA-Sequenz von <i>Pseudomonas</i> spec. JCM 5415	164
<u>Tab. 121</u>	DNA-Sequenz von <i>Pseudomonas</i> spec. NEAU-ST5-5	164
<u>Tab. 122</u>	DNA-Sequenz von <i>Pseudomonas</i> spec. R-41390	165
<u>Tab. 123</u>	DNA-Sequenz von <i>Pseudorhodobacter</i> spec. KOPRI 25878	165
<u>Tab. 124</u>	DNA-Sequenz von <i>Ralstonia pickettii</i> B1RO1	166

<u>Tab. 125</u>	DNA-Sequenz von <i>Rhizobiales bacterium</i> SK12	166
<u>Tab. 126</u>	DNA-Sequenz von <i>Rhizobium</i> spec. TB2-10-I	166
<u>Tab. 127</u>	DNA-Sequenz von <i>Rhodobacter changensis</i> JA139	167
<u>Tab. 128</u>	DNA-Sequenz von <i>Rhodobacter megalophilus</i> R6W-5-1	167
<u>Tab. 129</u>	DNA-Sequenz von <i>Rhodobacter ovatus</i> JA234T	168
<u>Tab. 130</u>	DNA-Sequenz von <i>Rhodobacter</i> spec. CCBAU 10883	168
<u>Tab. 131</u>	DNA-Sequenz von <i>Rhodobacter</i> spec. R-36943	168
<u>Tab. 132</u>	DNA-Sequenz von <i>Rhodobacter</i> spec. ZS2-22	169
<u>Tab. 133</u>	DNA-Sequenz von <i>Sarocladium kiliense</i> CBS 122.29	169
<u>Tab. 134</u>	DNA-Sequenz von <i>Sphingomonas</i> spec. LC435	170
<u>Tab. 135</u>	DNA-Sequenz von <i>Sphingomonas</i> spec. Q5	170
<u>Tab. 136</u>	DNA-Sequenz von <i>Sphingopyxis</i> spec. Sco-B12	171
<u>Tab. 137</u>	DNA-Sequenz von <i>Stenotrophomonas rhizophila</i> N-2	171
<u>Tab. 138</u>	DNA-Sequenz von <i>Stenotrophomonas</i> spec. DD7	171
<u>Tab. 139</u>	DNA-Sequenz von <i>Steroidobacter denitrificans</i> FS	172
<u>Tab. 140</u>	DNA-Sequenz von <i>Steroidobacter</i> spec. ZUMI 37	172

7.7 Liste der Abkürzungen

♂	männliches Individuum
♀	weibliches Individuum
µl	Mikroliter
µm	Mikrometer
µS	Mikrosiemens
a1	Antenulla
a2	Antenna
ad	lat. „an, zu“
Al	Aluminium
bp	Basenpaare
C	Kohlenstoff
Ca	Calzium
CaCO ₃	Kalziumcarbonat
cm	Zentimeter
cnts	Counts
cth	Cephalothorax
d	Durchmesser
D	Detritus
DNA	Desoxyribonukleinsäure
dNTP	Desoxynukleosidtriphosphat
EDTA	Ethylendiamintetraessigsäure
EDX	Energiedispersive Röntgenanalyse
en	Endopodit
EPS	Extrazelluläre polymere Substanzen
ex	Exopodit
Fe	Eisen
g	Gramm

gen. pap.	Genitalpapille
H	Häufigkeit
H ₂ O	Wasser
I	Individuendichte
K	Konidie
keV	Kiloelektronenvolt
Kt	Konidienträger
kV	Kilovolt
L	Liter
M	Molar
m ³	Kubikmeter
MgCl ₂	Magnesiumchlorid
min	Minuten
ml	Milliliter
mm	Millimeter
mM	Millimolar
Mn	Mangan
mx1	Maxillula
mx2	Maxilla
NaCl	Natriumchlorid
nm	Nanometer
O	Sauerstoff
P	Phosphor
PCR	Polymerasekettenreaktion
plp	Pleopod
plt	Pleotelson
prot	Protopodit
rDNA	ribosomale Desoxyribonukleinsäure
REM	Rasterelektronenmikroskop
s	Sekunden

S	Schwefel
S (16S, 18S)	Svedberg; Sedimentationskoeffizient
Si	Silizium
TAE	Tris-Acetat-EDTA
tel	Telson
thp	Thorakopod
ths	Thorakomer
TrinkwV	Trinkwasserverordnung
Tris	Tris(hydroxymethyl)-aminomethan
U	Units
urp	Uropod
V	Volt
VE H ₂ O	vollentsalztes Wasser
\bar{x}	Mittelwert